(12) ОПИСАНИЕ ИЗОБРЕТЕНИЯ К ЕВРАЗИЙСКОМУ ПАТЕНТУ

(45) Дата публикации и выдачи патента

2023.05.22

(21) Номер заявки

201891178

(22) Дата подачи заявки

2016.12.12

(51) Int. Cl. A61K 39/395 (2006.01) **C07K 16/28** (2006.01) **C07K 16/30** (2006.01) **C07K 16/46** (2006.01)

БИСПЕЦИФИЧНЫЕ МОЛЕКУЛЫ, ОБЛАДАЮЩИЕ ИММУНОРЕАКТИВНОСТЬЮ В ОТНОШЕНИИ PD-1 И СТLА-4, И СПОСОБЫ ИХ ПРИМЕНЕНИЯ

(31) 62/266,944

(32) 2015.12.14

(33) US

(43) 2019.01.31

(86) PCT/US2016/066060

(87)WO 2017/106061 2017.06.22

(71)(73) Заявитель и патентовладелец:

МАКРОДЖЕНИКС, ИНК. (US)

(72)Изобретатель:

> Джонсон Лесли С., Чичили Гурунад Редди, Шах Калпана, Ла Мотте-Мос Росс, Мур Пол А., Бонвини Эцио, Кёниг Скотт (US)

(74) Представитель:

Нилова М.И. (RU)

WO-A1-2014209804 WO-A1-2014164427 (56)

WO-A1-2013173223

OTT et al. "CTLA-4 and PD-1/PD-L1 blockade: new immunotherapeutic modalities with durable clinical benefit in melanoma patients," Clinical Cancer Research, 01 October 2013 (01.10.2013), Vol. 19, No. 19, Pgs. 5300-5309, entire document

CN-A-104974253

Изобретение относится к биспецифичным молекулам (например, диателам, биспецифичным антителам, тривалентным связывающим молекулам и т.д.), которые содержат по меньшей мере один сайт связывания, обладающий иммуноспецифичностью в отношении эпитопа PD-1, и по меньшей мере один сайт связывания, обладающий иммуноспецифичностью в отношении эпитопа CTLA-4 (т.е. "биспецифичные в отношении PD-1 x CTLA-4 молекулы"). Биспецифичные в отношении PD-1 x CTLA-4 молекулы согласно изобретению способны одновременно связываться с PD-1 и CTLA-4, в частности, когда указанные молекулы расположены на поверхности клеток человека. Изобретение относится к фармацевтическим композициям, которые содержат такие биспецифичные в отношении PD-1 x CTLA-4 молекулы, и способам, включающим применение таких биспецифичных молекул для лечения рака и других заболеваний и состояний. Изобретение также относится к способам, включающим применение таких биспецифичных в отношении РD-1 х CTLA-4 молекул для стимуляции иммунного ответа.

Перекрестная ссылка на родственные заявки

Настоящая заявка является частичным продолжением и испрашивает приоритет согласно заявке на патент США с серийным номером № 62/266 944 (подана 14 декабря 2015, на рассмотрении), которая полностью включена в настоящую заявку.

Ссылка на перечень последовательностей

Настоящая заявка включает один или более перечней последовательностей в соответствии со Сводом федеральных нормативных актов США (C.F.R., 37, 1.821 и далее), которые представлены на машиночитаемых носителях (название файла: 1301_0134PCT_ST25.txt, создан 4 декабря 2016, размер - 186,040 байтов); указанный файл полностью включен в настоящую заявку посредством ссылки.

Область техники

Настоящее изобретение относится к биспецифичным молекулам (например, диателам, биспецифичным антителам, тривалентым связывающим молекулам и т.д.), которые содержат по меньшей мере один сайт связывания эпитопа, обладающий иммунноспецифичностью в отношении эпитопа PD-1, и по меньшей мере один сайт связывания эпитопа, обладающий иммунноспецифичностью в отношении эпитопа CTLA-4 (т.е. "молекулам, биспецифичным в отношении PD-1 x CTLA-4"). Настоящее изобретение относится к таким молекулам, биспецифичным в отношении PD-1 x CTLA-4, содержащим два сайта связывания эпитопа, обладающих иммунноспецифичностью в отношении одного (или двух) эпитопа (эпитопов) РD-1, и два сайта связывания эпитопа, обладающих иммунноспецифичностью в отношении одного (или двух) эпитопа (эпитопов) СТLА-4. Настоящее изобретение также относится к таким молекулам, биспецифичным в отношении PD-1 x CTLA-4, которые дополнительно содержат Fc-фрагмент иммунноглобулина. Биспецифичные в отношении PD-1 x CTLA-4 молекулы согласно настоящему изобретению способны одновременно связываться с PD-1 и CTLA-4, в частности, когда указанные молекулы расположены на поверхности клеток человека. Изобретение относится к фармацевтическим композициям, которые содержат указанные биспецифичные в отношении PD-1 х CTLA-4 молекулы, и способам, включающим применение указанных биспецифичных молекул в лечении рака и других заболеваний и состояний. Настоящее изобретение также относится к способам, включающим применение таких биспецифичных в отношении PD-1 x CTLA-4 молекул для стимуляции иммунного ответа.

Уровень техники

І. Ответ иммунной системы на рак.

Иммунная система млекопитающих обладает природной способностью распознавать и уничтожать раковые клети (Topalian, S.L. et al. (2015) "Immune Checkpoint Blockade: A Common Denominator Approach to Cancer Therapy" Cancer Cell 27:450-461). Иммунная система здоровых субъектов находится в состоянии покоя, и ее активность подавляется совокупностью различных ингибирующих рецепторов и лигандов. Такие пути "контрольных точек" регуляции иммунного ответа важны в поддержании аутотолерантности (т.е. предотвращении атаки иммунной системы субъекта против его/ее собственных клеток -"аутоиммунной" реакции) и ограничении сопутствующего повреждения ткани во время противомикробных или противоаллергических иммунных ответов. После распознавания ракового антигена, выявления микробного патогена или присутствия аллергена ряд активирующих рецепторов и лигандов вызывает активацию иммунной системы. Такая активация приводит к активации макрофагов, клеток-естественных киллеров (NK-клеток) и антиген-специфичных цитотоксических Т-клеток и стимулирует высвобождение различных цитокинов, действие которых направлено на борьбу с обнаруженной угрозой здоровью субъекта (Dong, C. et al. (2003) "Immune Regulation by Novel Costimulatory Molecules", Immunolog. Res. 28(1):39-48; Viglietta, V. et al. (2007) "Modulating Co-Stimulation" Neurotherapeutics 4:666-675; Korman, A.J. et al. (2007) "Checkpoint Blockade in Cancer Immunotherapy" Adv. Immunol. 90:297-339). Иммунная система способна возвращаться в свое нормальное состояние покоя, когда компенсаторные ингибирующие иммунные сигналы преобладают над активирующими иммунными сигналами.

Таким образом, можно считать, что патологическое состояние при раковом заболевании (и, фактически, патологическое состояние при инфекционных заболеваниях) отражает неспособность к адекватной активации иммунной системы субъекта. Такая неспособность может отражать неадекватную презентацию активирующих иммунных сигналов или неадекватную способность ослаблять ингибирующие иммунные сигналы у субъекта. На основе некоторых примеров исследователи определили, что раковые клетки могут иммунную систему, чтобы ускользать от обнаружения иммунной системой (Topalian, S.L. et al. (2015) "Immune Checkpoint Blockade: A Common Denominator Approach to Cancer Therapy" Cancer Cell 27:450-461).

Особое значение имеет связывание между лигандами B7-1 (CD80) и B7-2 (CD86), которые экспрессируются на поверхности антиген-презентирующей клетки, и рецепторами CD28 и CTLA-4 CD4⁺ Тлимфоцита (Sharpe, A.H. et al. (2002) "The B7-CD28 Superfamily" Nature Rev. Immunol. 2:116-126; Dong, C. et al. (2003) "Immune Regulation by Novel Costimulatory Molecules" Immunolog. Res. 28(1):39-48; Lindley, P.S. et al. (2009) "The Clinical Utility Of Inhibiting CD28-Mediated Costimulation" Immunol. Rev. 229:307-321). Связывание B7-1 или B7-2 с CD28 стимулирует активацию Т-клеток; связывание B7-1 или B7-2 с CTLA-4 ингибирует активацию Т-клеток (Dong, C. et al. (2003) "Immune Regulation by Novel Costimulatory Molecules" Immunolog. Res. 28(1):39-48; Lindley, P.S. et al. (2009) "The Clinical Utility Of Inhibiti-

ing CD28-Mediated Costimulation" Immunol. Rev. 229:307-321; Greenwald, R.J. et al. (2005) "The B7 Family Revisited", Ann. Rev. Immunol. 23:515-548). CD28 конститутивно экспрессируется на поверхности Т-клеток (Gross, J., et al. (1992) "Identification And Distribution Of The Costimulatory Receptor CD28 In The Mouse" J. Immunol. 149:380-388), а экспрессия СТLА-4 быстро повышается после активации Т-клеток (Linsley, P. et al. (1996) "Intracellular Trafficking Of CTLA4 And Focal Localization Towards Sites Of TCR Engagement" Immunity 4:535-543). Поскольку рецептор СТLА-4 обладает более высокой аффинностью (Sharpe, A.H. et al. (2002) "The B7-CD28 Superfamily" Nature Rev. Immunol. 2:116-126; Topalian, S.L. et al. (2015) "Immune Checkpoint Blockade: A Common Denominator Approach to Cancer Therapy" Cancer Cell 27:450-461), связывание лигандов сначала приводит к пролиферации Т-клеток (через CD28), а затем ее ингибированию (в результате начала экспрессии СТLА-4), вызывая, таким образом, подавление эффекта, когда пролиферация больше не требуется.

II. CTLA-4.

Цитотоксический связанный с Т-лимфоцитами белок-4 (СТLА-4; CD152) представляет собой мембранный белок I типа с одним трансмембранным доменом, образующий связанный дисульфидной связью гомодимер (Schwartz J.C., et al. (2001) "Structural Basis For Co-Stimulation By The Human CTLA-4/B7-2 Complex" Nature 410:604-608). Были охарактеризованы варианты альтернативного сплайсинга, кодирующие различные изоформы, включая растворимую изоформу, которая функционирует как мономер (Magistrelli G., et al. (1999) "A Soluble Form Of CTLA-4 Generated By Alternative Splicing Is Expressed By Nonstimulated Human T Cells" Eur. J. Immunol. 29:3596-3602; Oaks M.K. et al. (2000) "A Native Soluble Form Of CTLA-4", Cell Immunol 201:144-153).

СТLА-4 в первую очередь является внутриклеточным антигеном, экспрессия которого на поверхности клетки строго регулируется ограниченной миграцией к клеточной поверхности и быстрой интернализацией (Alegre M-L, et al., (1996) "Regulation Of Surface And Intracellular Expression Of CTLA4 OnMouse T Cells" J. Immunol. 157:4762-4770; Linsley, P.S. et al. (1996) "Intracellular Trafficking Of CTLA-4 And Focal Localization Towards Sites Of TCR Engagement" Immunity 4:535-543). CTLA-4 экспрессируется на низких уровнях на поверхности наивных эффекторных Т-клеток (Alegre, M.L., et al. (1996) "Regulation Of Surface And Intracellular Expression Of CTLA4 On Mouse T Cells" J Immunol 157:4762-70) и конститутивно экспрессируется на регуляторных Т-клетках (Wang, X.B., et al. (2002) "Expression Of CTLA-4 By Human Monocytes" Scand. J. Immunol. 55:53-60).

Внеклеточная область СТLА-4 содержит единственный внеклеточный домен Ig(V), за которым следует трансмембранный участок (ТМ) и небольшой внутриклеточный цитоплазматический хвост (37 аминокислот). Внутриклеточный хвост содержит два тирозиновых мотива, которые взаимодействуют с несколькими внутриклеточными белками, включая липидкиназу фосфатидилинозитол-3-киназу (PI3K), фосфатазы SHP-2 и PP2A и клатриновые адапторные белки AP-1 и AP-2 (Rudd, C.E. et al. (2003) "Unifying Concepts In CD28, ICOS And CTLA4 Co-Receptor Signalling", Nat Rev Immunol. 3:544-56). СТLА-4 близок к CD28, при этом идентичность двух указанных белков на аминокислотном уровне составляет примерно 29% (Harper, K. (1991) "CTLA-4 And CD28 Activated Lymphocyte Molecules Are Closely Related In Mouse And Human As To Sequence, Message Expression, Gene Structure, And Chromosomal Location" J. Immunol. 147:1037-1044).

При активации наивной эффекторной Т-клетки через ее Т-клеточные рецепторы (TCR) СТLА-4 привлекается к клеточной поверхности (Linsley, P.S., et al. (1996) "Intracellular Trafficking Of CTLA-4 And Focal Localization Towards Sites Of TCR Engagement" Immunity 4:535-43). С момента начала экспрессии СТLА-4 на поверхности Т-клеток он конкурирует с CD28 (конститутивно экспрессируемым на Т-клетках) за связывание с CD80/CD86, выключая, таким образом, дальнейший сигнальный путь, опосредуемый ТСR и, таким образом, подавляя любое дальнейшее развитие Т-клеточного ответа по ТСR-сигнальному пути (Carreno, B.M., et al. (2000) "CTLA-4 (CD152) Can Inhibit T Cell Activation By Two Different Mechanisms Depending On Its Level Of Cell Surface Expression", J Immunol 165:1352-6;Chuang, E., et al. (1999) "Regulation Of Cytotoxic T Lymphocyte-Associated Molecule-4 By Src Kinases", J Immunol 162:1270-7). Таким образом, СТLА-4 действует в качестве отрицательного регулятора активации эффекторных Т-клеток, который снижает эффекторную функцию и определяет эффективность и продолжительность Т-клеточного ответа (Linsley, P.S., et al. (1996) "Intracellular Trafficking Of CTLA-4 And Focal Localization Towards Sites Of TCR Engagement" Immunity 4:535-43).

Кроме того, CTLA-4 может играть роль в усилении негативного влияния регуляторных Т-клеток в иммунном ответе на рак (Таі, Ү.Т., et al., (2012) "Potent in vitro And in vivo Activity Of An Fc-Engineered Humanized Anti-HM1. 24 Antibody Against Multiple Myeloma via Augmented Effector Function", Blood 119:2074-82). CTLA-4 обладает намного более высокой аффинностью в отношении белков семейства В7 по сравнению с CD28 и, таким образом, его экспрессия на Т-клетке определяет преобладание отрицательной регуляции указанной Т-клетки (Allison, J.P., et al. (1995) "Manipulation Of Costimulatory Signals То Enhance Antitumor T-Cell Responses", Curr Opin Immunol 7:682-6). Механизм участия СТLА-4 в супрессорной функции регуляторных Т-клеткок не до конца выяснен, но экспрессия СТLА не регуляторных Т-клетках усиливает супрессорную функцию этих клеток (Таі, Ү.Т., et al., (2012) "Potent in vitro And in vivo Activity Of An Fc-Engineered Humanized Anti-HM1.24 Antibody Against Multiple Myeloma via Aug-

mented Effector Function"; Blood 119:2074-82).

Сообщается, что блокирование CTLA-4 усиливает Т-клеточные ответы in vitro (Walunas, T.L., et al. (1994) "CTLA-4 Can Function As A Negative Regulator Of T Cell Activation", Immunity 1:405-413) и in vivo (Kearney, E.R., et al. (1995) "Antigen-Dependent Clonal Expansion Of A Trace Population Of Antigen-Specific CD4+ T Cells in vivo Is Dependent On CD28 Costimulation And Inhibited By CTLA-4", J. Immunol. 155:1032-1036).

В связи с этим было сделано предположение, что блокирование CTLA-4 с помощью антител против CTLA-4 сможет обеспечить новые способы лечения заболеваний, в частности, заболеваний человека, при которых стимуляция иммунной системы должна оказывать благоприятный эффект, например, для лечения раковых и инфекционных заболеваний (см. Leach, D.R. et al. (1996) "Enhancement Of Antitumor Immunity By CTLA-4 Blockade" Science 271:1734-1736 и международные публикации согласно РСТ № WO 01/14424; WO 00/37504). Разработка блокаторов функции СТLА-4 была сосредоточена на применении моноклональных антител, таких как ипилимумаб (см. например, Hodi, F.S., et al., (2003) "Biologic Activity Of Cytotoxic T Lymphocyte-Associated Antigen 4 Antibody Blockade In Previously Vaccinated Metastatic Melanoma And Ovarian Carcinoma Patients" Proc. Natl. Acad. Sci. (США) 100:4717-4717) и тремелимумаб (Ribas, A. et al. (2005) "Antitumor Activity In Melanoma And Anti-Self Responses In A Phase I Trial With The Anti-Cytotoxic T Lymphocyte-Associated Antigen 4 Monoclonal Antibody CP-675,206" Oncologist 12: 873-883).

III. Рецептор программированной гибели 1 ("PD-1").

Рецептор программированной гибели 1 ("PD-1", также известный как "CD279"), является мембранным белком I типа из обширного семейства CD28/CTLA-4 Т-клеточных регуляторов, которые осуществляют отрицательную регуляцию широкого спектра иммунных ответов (Ishida, Y. et al. (1992) "Induced Expression Of PD-1, A Novel Member Of The Immunoglobulin Gene Superfamily, Upon Programmed Cell Death", EMBO J. 11:3887-3895; публикации заявки на патент США № 2007/0202100; 2008/0311117; 2009/00110667; патенты США № 6 808 710; 7 101 550; 7 488 802; 7 635 757; 7 722 868; международная публикация согласно РСТ № WO 01/14557).

Взаимодействия рецептор-лиганд системы PD-1, по-видимому, являются еще более сложными, чем взаимодействия системы CD28/CTLA-4. PD-1 экспрессируется на клеточной поверхности активированных Т-клеток, В-клеток и моноцитов (Agata, Y. et al. (1996) "Expression Of The PD-1 Antigen On The Surface Of Stimulated Mouse T And B Lymphocytes" Int. Immunol. 8(5):765-772; Yamazaki, T. et al. (2002) "Expression Of Programmed Death 1 Ligands By Murine T-Cells And APC" J. Immunol. 169:5538-5545), а также экспрессируется на низком уровне в Т-клетках-естественных киллерах (NK-клетках) (Nishimura, H. et al. (2000) "Facilitation Of Beta Selection And Modification Of Positive Selection In The Thymus Of PD-1-Deficient Mice", J. Exp. Med. 191:891-898; Martin-Orozco, N. et al. (2007) "Inhibitory Costimulation And Anti-Tumor Immunity" Semin. Cancer Biol. 17(4):288-298).

Внеклеточный участок PD-1 состоит из единственного иммунноглобулинового домена (Ig)V, идентичного на 23% эквивалентному домену CTLA-4 (Martin-Orozco, N. et al. (2007) "Inhibitory Costimulation And Anti-Tumor Immunity" Semin. Cancer Biol. 17(4):288-298). За внеклеточным доменом IgV следует трансмембранный домен и внутриклеточный хвост. Внутриклеточный хвост содержит два сайта фосфорилирования, расположенных в иммуннорецепторном ингибирующем мотиве на основе тирозина и иммуннорецепторном переключающем мотиве на основе тирозина, что дает основания полагать, что PD-1 отрицательно регулирует TCR-сигналы (Ishida, Y. et al. (1992) "Induced Expression Of PD-1, A Novel Member Of The Immunoglobulin Gene Superfamily, Upon Programmed Cell Death" EMBO J. 11:3887-3895; Blank, C. et al. (2006) "Contribution Of The PD-L1/PD-1 Pathway To T-CeII Exhaustion: An Update On Implications For Chronic Infections And Tumor Evasion Cancer", Immunol. Immunother. 56(5):739-745).

РD-1 осуществляет ингибирование иммунной системы путем связывания с B7-H1 и B7-DC (также известными как PD-L1 и PD-L2, Flies, D.B. et al. (2007) "The New B7s: Playing a Pivotal Role in Tumor Immunity", J. Immunother. 30(3):251-260; патенты США № 6 803 192; 7 794 710; публикации заявок на патенты США № 2005/0059051; 2009/0055944; 2009/0274666; 2009/0313687; международные публикации РСТ № WO 01/39722; WO 02/086083).

B7-H1 и B7-DC широко экспрессируются на поверхности многих типов тканей человека и мыши, таких как сердце, плацента, мышцы, эмбриональная печень, селезенка, лимфатические узлы и тимус, а также печень, легкие и почки, в островковых клетках поджелудочной железы и тонком кишечнике мыши (Martin-Orozco, N. et al. (2007) "Inhibitory Costimulation And Anti-Tumor Immunity", Semin. Cancer Biol. 17(4):288-298). У людей экспрессия белка B7-H1 была обнаружена в эндотелиальных клетках (Chen, Y. et al. (2005) "Expression of B7-H1 in Inflammatory Renal Tubular Epithelial Cells" Nephron. Exp. Nephrol. 102:e81-e92; de Haij, S. et al. (2005) "Renal Tubular Epithelial Cells Modulate T-Cell Responses Via ICOS-L And B7-H1" Kidney Int. 68:2091-2102; Mazanet, M.M. et al. (2002) "B7-H1 Is Expressed By Human Endothelial Cells And Suppresses T-Cell Cytokine Synthesis" J. Immunol. 169:3581-3588), миокарде (Brown, J.A. et al. (2003) "Blockade Of Programmed Death-1 Ligands On Dendritic Cells Enhances T-Cell Activation And Cytokine Production" J. Immunol. 170:1257-1266), синцитиальном слое трофобласта (Petroff, M.G. et al. (2002) "B7 Family Molecules: Novel Immunomodulators At The Maternal-Fet al Interface" Placenta 23:S95-S101).

Эти молекулы также экспрессируются резидентными макрофагами некоторых тканей, макрофагами, активированными интерфероном (IFN)- γ или фактором некроза опухоли (ФНО)- α (Latchman, Y. et al. (2001) "PD-L2 Is A Second Ligand For PD-1 And Inhibits T-Cell Activation", Nat. Immunol 2:261-268), и в опухолях (Dong, H. (2003) "B7-H1 Pathway And Its Role In The Evasion Of Tumor Immunity" J. Mol. Med. 81:281-287).

Было обнаружено, что взаимодействие между В7-Н1 и РD-1 приводит к передаче критичного костимулирующего отрицательного сигнала на Т- и В-клетки (Martin-Orozco, N. et al. (2007) "Inhibitory Costimulation And Anti-Tumor Immunity" Semin. Cancer Biol. 17(4):288-298) и действует как индуктор клеточной гибели (Ishida, Y. et al. (1992) "Induced Expression Of PD-1, A Novel Member Of The Immunoglobulin Gene Superfamily, Upon Programmed Cell Death", EMBO J. 11:3887-3895; Subudhi, S.K. et al. (2005) "The Balance Of Immune Responses: Costimulation Verse Coinhibition", J. Molec. Med. 83:193-202). Более конкретно, было обнаружено, что взаимодействие между рецептором PD-1 и лигандом B7-H1 в низких концентрациях приводит к передаче ингибирующего сигнала, который сильно подавляет пролиферацию антиген-специфичных CD8+ Т-клеток; при более высокой концентрации взаимодействие с PD-1 не ингибирует пролиферацию Т-клеток, но значительно снижает продукцию множества цитокинов (Sharpe, A.H. et al. (2002) "The B7-CD28 Superfamily" Nature Rev. Immunol. 2:116-126). Было обнаружено, что пролиферация и продукция цитокинов как в покоящихся, так и ранее активированных CD4 и CD8 T-клетках, и даже в нативных Т-клетках из пуповинной крови подавляется растворимыми гибридными белками В7-H1-Fc (Freeman, G. J. et al. (2000) "Engagement Of The PD-1 Immunoinhibitory Receptor By A Novel B7 Family Member Leads To Negative Regulation Of Lymphocyte Activation" J. Exp. Med. 192:1-9; Latchman, Y. et al. (2001) "PD-L2 Is A Second Ligand For PD-1 And Inhibits T-Cell Activation", Nature Immunol. 2:261-268; Carter, L. et al. (2002) "PD-LPD-L Inhibitory Pathway Affects Both CD4(+) and CD8(+) T-cells And Is Overcome By IL-2", Eur. J. Immunol. 32(3):634-643; Sharpe, A.H. et al. (2002) "The B7-CD28 Superfamily", Nature Rev. Immunol. 2:116-126).

Участие В7-Н1 и РD-1 в подавлении активации и пролиферации Т-клеток указывает на то, что указанные биомолекулы могут служить в качестве терапевтических мишеней для лечения воспаления и рака. В связи с этим было предложено применение антитела против PD-1 для лечения инфекций и опухолей и для положительной регуляции приобретенного иммунного ответа (см. публикации заявок на патенты США № 2010/0040614; 2010/0028330; 2004/0241745; 2008/0311117; 2009/0217401; патенты США № 7 521 051; 7 563 869; 7 595 048; международные публикации РСТ № WO 2004/056875; WO 2008/083174). Были описаны антитела, способные специфично связываться с PD-1 (Agata, T. et al. (1996) "Expression Of The PD-1 Antigen On The Surface Of Stimulated Mouse T And B Lymphocytes" Int. Immunol. 8(5):765-772; and Berger, R. et al. (2008) "Phase I Safety And Pharmacokinetic Study Of CT-011, A Humanized Antibody Interacting With PD-1, In Patients With Advanced Hematologic Malignancies" Clin. Cancer Res. 14(10):3044-3051; см. также патенты США № 8 008 449 и 8 552 154; публикации патентов США № 2007/0166281; 2012/0114648; 2012/0114649; 2013/0017199; 2013/0230514 и 2014/0044738 и международные патентные публикации согласно РСТ № WO 2003/099196; WO 2004/004771; WO 2004/056875; WO 2004/072286; WO 2006/121168; WO 2007/005874; WO 2008/083174; WO 2009/014708; WO 2009/073533; WO 2012/135408, WO 2012/145549 и WO 2013/014668).

Однако несмотря на все такие достижения уровня техники, остается необходимость в улучшенных композициях, способных более активно направлять иммунную систему организма против раковых клеток или инфицированных патогеном клеток, в частности, при более низкой терапевтической концентрации и/или со сниженными побочными эффектами. Несмотря на то, что приобретенный иммунитет может являться мощным механизмом защиты против рака и заболевания, его действию часто препятствуют механизмы иммунносупрессии/ускользания от иммунного ответа в микроокружении опухоли, такие как экспрессия РD-1 и СТLА-4. Более того, ко-ингибирующие молекулы, экспрессируемые опухолевыми клетками, иммунными клетками и стромальными клетками в опухолевом окружении могут существенно ослаблять Т-клеточные ответы против раковых клеток. Кроме того, применение антител против СТLА-4 вызывает хорошо известные побочные эффекты, называемые "иммунноопосредованными нежелательными явлениями" (иНЯ). Иммуноопосредованные нежелательные явления (иНЯ) включают колит/диарею, дерматит, гепатит, эндокринопатии и воспалительную миопатию. Было описано, что эти отдельные побочные эффекты возникают из-за нарушения иммуннологической толерантности при блокировании CTLA-4 (Di Giacomo, A.M., et al. (2010) "The Emerging Toxicity Profiles Of Anti-CTLA-4 Antibodies Across Clinical Indications" Semin Oncol. 37:499-507). Таким образом, способы терапевтического лечения, позволяющие избежать указанных ограничений, имели бы огромное преимущество.

Как подробно описано ниже, настоящее изобретение решает описанную задачу путем обеспечения биспецифичных в отношении PD-1 х CTLA-4 молекул. Такие биспецифичные молекулы способны связываться с молекулами PD-1 и CTLA-4, которые присутствуют на поверхности истощенных и толерантных инфильтрирующих опухоли лимфоцитов и других типов клеток, и, таким образом, нарушать способность таких молекул клеточной поверхности отвечать на соответствующие лиганды. Таким образом, биспецифичные в отношении PD-1 х CTLA-4 молекулы согласно настоящему изобретению действуют, блокируя опосредуемое PD-1- и CTLA-4 подавление иммунной системы для обеспечения активации или

продолжения активации иммунной системы. Указанные свойства дают возможность применения таких биспецифичных молекул в стимуляции иммунной системы и, в частности, в лечении рака и связанных с патогеном заболеваний и состояний. Настоящее изобретение направлено на достижение указанных и других целей.

Краткое описание изобретения

Настоящее изобретение направлено на биспецифичные молекулы (например, диатела, биспецифичные антитела, тривалентные связывающие молекулы и т.д.), содержащие по меньшей мере один сайт связывания, обладающий иммунноспецифичностью в отношении эпитопа PD-1, и по меньшей мере один сайт связывания, обладающий иммунноспецифичностью в отношении эпитопа CTLA-4 (т.е. "биспецифичные в отношении PD-1 x CTLA-4 молекулы"). Настоящее изобретение относится к таким молекулам, биспецифичным в отношении PD-1 x CTLA-4, которые содержат два сайта связывания эпитопа, обладающих иммунноспецифичностью в отношении одного (или двух) эпитопа (эпитопов) PD-1, и два сайта связывания эпитопа, обладающих иммунноспецифичностью в отношении одного (или двух) эпитопа (эпитопов) CTLA-4. Настоящее изобретение также направлено на такие биспецифичные в отношении PD-1 x CTLA-4 молекулы, которые дополнительно содержат Fc-фрагмент иммунноглобулина. Биспецифичные в отношении PD-1 x CTLA-4 молекулы согласно настоящему изобретению способны одновременно связываться с PD-1 и CTLA-4, в частности, в том виде, в котором указанные молекулы распределены на поверхности клеток человека. Изобретение направлено на фармацевтические композиции, которые содержат такие биспецифичные в отношении PD-1 x CTLA-4 молекулы, и способы, включающие применение таких биспецифичных молекул для лечения рака и других заболеваний и состояний. Настоящее изобретение также относится к способам, включающим применение таких биспецифичных в отношении PD-1 x CTLA-4 молекул для стимуляции иммунного ответа.

Более подробно, изобретение обеспечивает биспецифичную молекулу, содержащую один или более сайтов связывания эпитопа, способных иммунноспецифично связываться с эпитопом (эпитопами) PD-1, и один или более сайтов связывания эпитопа, способных иммунноспецифично связываться с эпитопом (эпитопами) CTLA-4, где указанная молекула содержит:

- (A) вариабельный домен тяжелой цепи и вариабельный домен легкой цепи антитела, которое связывается с PD-1; и
- (B) вариабельный домен тяжелой цепи и вариабельный домен легкой цепи антитела, которое связывается с CTLA-4;

где указанная биспецифичная связывающая молекула представляет собой:

- (i) диатело, где указанное диатело представляет собой ковалентно связанный комплекс, который содержит две, три, четыре или пять полипептидных цепей; или
- (ii) тривалентную связывающую молекулу, где указанная тривалентная связывающая молекула представляет собой ковалентно связанный комплекс, который содержит три, четыре, пять или более полипептидных цепей.

Изобретение относится к варианту реализации таких биспецифичных молекул, где указанная биспецифичная связывающая молекула проявляет активность, превышающую активность двух моноспецифичных молекул, одна из которых содержит вариабельный домен тяжелой цепи и вариабельный домен легкой цепи антитела, которое связывается с PD-1, и другая из которых содержит вариабельный домен тяжелой цепи и вариабельный домен легкой цепи антитела, которое связывается с CTLA-4.

Изобретение относится к варианту реализации всех таких биспецифичных молекул, где указанная молекула вызывает меньше иммунноопосредованных нежелательных явлений (иНЯ) при введении субъекту, нуждающемуся в указанном введении, по сравнению с иНЯ, вызываемыми введением моноспецифичного антитела, которое связывается с СТLА-4, такого как ипилимумаб.

Изобретение дополнительно относится к варианту реализации таких биспецифичных молекул, где указанная молекула содержит Fc-фрагмент. Изобретение дополнительно относится к варианту реализации таких биспецифичных молекул, где указанный Fc-фрагмент представляет собой вариант Fc-фрагмента, который содержит:

- (A) одну или более модификаций аминокислот, которые снижают аффинность указанного варианта Fс-фрагмента в отношении FсүR, и/или
- (В) одну или более модификаций аминокислот, которые увеличивают время полужизни в сыворотке крови указанного варианта Fc-фрагмента.

Изобретение дополнительно относится к варианту реализации таких биспецифичных молекул, где модификации, приводящие к снижению аффинности указанного варианта Fc-фрагмента в отношении FcγR, включают замену L234A; L235A или L234A и L235A, где нумерация соответствует индексу EC по Кэбату.

Изобретение дополнительно относится к варианту реализации таких биспецифичных молекул, где модификации, приводящие к увеличению времени полужизни варианта Fc-фрагмента в сыворотке крови, включают замену M252Y; M252Y и S254T; M252Y и T256E; M252Y, S254T и T256E или K288D и H435K, где нумерация соответствует индексу EC по Кэбату (Kabat).

Изобретение дополнительно относится к варианту реализации всех таких биспецифичных молекул, где указанная молекула представляет собой диатело и содержит два сайта связывания эпитопа, способные иммунноспецифично связываться с эпитопом PD-1, и два сайта связывания эпитопа, способные иммунноспецифично связываться с эпитопом CTLA-4.

Изобретение дополнительно относится к варианту реализации всех таких биспецифичных молекул, где указанная молекула представляет собой тривалентную связывающую молекулу и содержит два сайта связывания эпитопа, способных иммунноспецифично связываться с эпитопом PD-1, и один сайт связывания эпитопа, способный иммунноспецифично связываться с эпитопом CTLA-4.

Изобретение дополнительно относится к варианту реализации всех таких биспецифичных молекул, где указанная молекула способна связываться с молекулами PD-1 и CTLA-4, присутствующими на клеточной поверхности.

Изобретение дополнительно относится к варианту реализации всех таких биспецифичных молекул, где указанная молекула способна одновременно связываться с PD-1 и CTLA-4.

Изобретение дополнительно относится к варианту реализации всех таких биспецифичных молекул, где указанная молекула способна стимулировать клетки иммунной системы, в частности, где указанная стимуляция приводит к:

- (А) пролиферации иммунных клеток, и/или
- (В) продукции и/или высвобождению иммунными клетками по меньшей мере одного цитокина, и/или
- (C) продукции и/или высвобождению иммунными клетками по меньшей мере одной литической молекулы, и/или
 - (D) экспрессии иммунными клетками по меньшей мере одного маркера активации.

Изобретение дополнительно относится к варианту реализации всех таких биспецифичных молекул, где клетка иммунной системы представляет собой Т-лимфоцит или естественную клетку-киллер (NK-клетку).

Изобретение дополнительно относится к варианту реализации всех таких биспецифичных молекул, где сайты связывания эпитопа, способные иммунноспецифично связываться с эпитопом PD-1, содержат:

- (A) VH-домен PD-1 mAb 1 (SEQ ID NO: 47) и VL-домен PD-1 mAb 1 (SEQ ID NO: 48); или
- (B) VH-домен PD-1 mAb 2 (SEQ ID NO: 49) и VL-домен PD-1 mAb 2 (SEQ ID NO: 50); или
- (C) VH-домен PD-1 mAb 3 (SEQ ID NO: 51) и VL-домен PD-1 mAb 3 (SEQ ID NO: 52); или
- (D) VH-домен PD-1 mAb 4 (SEQ ID NO: 53) и VL-домен PD-1 mAb 4 (SEQ ID NO: 54); или
- (E) VH-домен PD-1 mAb 5 (SEQ ID NO: 55) и VL-домен PD-1 mAb 5 (SEQ ID NO: 56); или
- (F) VH-домен PD-1 mAb 6 (SEQ ID NO: 57) и VL-домен PD-1 mAb 6 (SEQ ID NO: 58); или
- (G) VH-домен PD-1 mAb 6-I VH (SEQ ID NO: 86) и VL-домен PD-1 mAb 6-SQ VL (SEQ ID NO: 87); или
 - (H) VH-домен PD-1 mAb 7 (SEQ ID NO: 59) и VL-домен PD-1 mAb 7 (SEQ ID NO: 60); или
- (I) VH-домен mAb против PD-1 8 (SEQ ID NO: 61) и VL-домен mAb против PD-1 8 (SEQ ID NO: 62) Изобретение дополнительно относится к варианту реализации всех таких биспецифичных молекул, где сайт (сайты) связывания эпитопа, способный иммунноспецифично связываться с эпитопом СТLA-4, содержит:
- (A) VH-домен CTLA-4 mAb 1 (SEQ ID NO: 76) и VL-домен mAb против CTLA-4 (SEQ ID NO: 77); или
 - (В) VH-домен CTLA-4 mAb 2 (SEQ ID NO: 78) и VL-домена CTLA-4 mAb 2 (SEQ ID NO: 79); или
 - (C) VH-домен CTLA-4 mAb 3 (SEQ ID NO: 90) и VL-домена CTLA-4 mAb 3 (SEQ ID NO: 91).
 - Изобретение дополнительно относится к таких биспецифичных молекул, где:
- (A) сайты связывания эпитопа, способные иммунноспецифично связываться с эпитопом PD-1, содержат VH-домен PD-1 mAb 6-I VH (SEQ ID NO: 86) и VL-домен PD-1 mAb 6-SQ (SEQ ID NO: 87) и
- (В) сайт (сайты) связывания эпитопа, способные иммунноспецифично связываться с эпитопом СТLА-4, содержит (содержат) VH-домен CTLA-4 mAb 3 (SEQ ID NO: 90) и VL-домен CTLA-4 mAb 3 (SEQ ID NO: 91).

Изобретение дополнительно относится к варианту реализации всех указанных биспецифичных молекул, где указанная молекула содержит:

- (A) две полипептидные цепи, имеющие последовательность SEQ ID NO: 95, и две полипептидные цепи, имеющие последовательность SEQ ID NO: 96; или
- (В) две полипептидные цепи, имеющие последовательность SEQ ID NO: 97, и две полипептидные цепи, имеющие последовательность SEQ ID NO: 98; или
- (C) две полипептидные цепи, имеющие последовательность SEQ ID NO: 99, и две полипептидные цепи, имеющие последовательность SEQ ID NO: 100; или
- (D) две полипептидные цепи, имеющие последовательность SEQ ID NO: 102, и две полипептидные цепи, имеющие последовательность SEQ ID NO: 103; или
- (E) две полипептидные цепи, имеющие последовательность SEQ ID NO: 101, и две полипептидные цепи, имеющие последовательность SEQ ID NO: 100; или

- (F) одну полипептидную цепь, имеющую последовательность SEQ ID NO: 104, одну полипептидную цепь, имеющую последовательность SEQ ID NO: 105, одну полипептидную цепь, имеющую последовательность SEQ ID NO: 106, и одну полипептидную цепь, имеющую последовательность SEQ ID NO: 107; или
- (G) одну полипептидную цепь, имеющую последовательность SEQ ID NO: 108, одну полипептидную цепь, имеющую последовательность SEQ ID NO: 105, одну полипептидную цепь, имеющую последовательность SEQ ID NO: 109, и одну полипептидную цепь, имеющую последовательность SEQ ID NO: 107.

Изобретение дополнительно относится к таким биспецифичным молекулам, где указанная молекула содержит альбумин-связывающий домен, в частности, деиммунизированный альбумин-связывающий домен.

Изобретение дополнительно относится к фармацевтической композиции, которая содержит эффективное количество любой из таких биспецифичных молекул и фармацевтически приемлемый носитель.

Изобретение дополнительно относится к применению такой фармацевтической композиции или любой из описанных выше биспецифичных молекул для стимуляции иммунного ответа у нуждающегося в этом субъекта, в частности, где указанная молекула способна стимулировать клетки иммунной системы и, в частности, стимуляцию естественных клеток-киллеров (NK-клеток) и/или Т-лимфоцитов. Изобретение, в частности, относится к вариантам реализации, где указанная стимуляция приводит к пролиферации иммунных клеток, продукции и/или высвобождению иммунными клетками цитокинов (например, IFNγ, IL-2, TNFα и т.д.), продукции и/или высвобождению иммунными клетками литических молекул (например, гранзима, перфорина и т.д.) и/или экспрессии иммунными клетками маркеров активации (например, CD69, CD25, CD107a и т.д.). Изобретение дополнительно относится к способам лечения рака или других заболеваний, включающим применение или введение любой из описанных выше биспецифичных в отношении PD-1 х CTLA-4 молекул для стимуляции опосредованного иммунной системой ответа. Изобретение, в частности, относится к вариантам реализации, в которых стимулирующая иммунную систему активность любой из описанных выше биспецифичных в отношении PD-1 x CTLA-4 молекул превышает активность, обеспечиваемую совместным или комбинированным введением отдельного антитела против PD-1 и отдельного антитела против CTLA-4 (в частности, где такие антитела являются моноспецифичными в отношении указанных молекул). Изобретение также относится к вариантам реализации при которых в клетках иммунной системы, в частности, естественных клетках-киллерах (NKклетках) и/или Т-лимфоцитах, стимулированных описанными выше биспецифичными в отношении РD-1 х CTLA-4 молекулами, наблюдается усиленная пролиферация, измененная продукция и/или высвобождение цитокинов (например, IFNγ, IL-2, TNFα и т.д.), измененная продукция и/или высвобождение литических молекул и/или измененная экспрессия маркеров активации по сравнению с такими клетками, стимулированными совместным или комбинированным введением отдельного антитела против PD-1 и отдельного антитела против CTLA-4. Изобретение также относится к вариантам реализации, в которых описанные выше биспецифичные в отношении PD-1 x CTLA-4 молекулы реже вызывают иммунноопосредованные нежелательные явления (иНЯ). Изобретение дополнительно относится к вариантам реализации, в которых любая из описанных выше биспецифичных в отношении PD-1 x CTLA-4 молекул применяется для лечения заболевания или состояния, связанного с супрессией иммунной системы, в частности рака или инфекции.

Изобретение дополнительно относится к такому применению для лечения заболевания или состояния, связанного с супрессией иммунной системы, или применению в лечении указанного заболевания или состояния. Изобретение, в частности, относится к такому применению в лечении заболевания или состояния, связанного с супрессией иммунной системы, или к такому применению, где указанное заболевание или состояние представляет собой рак или инфекцию (в частности, инфекцию, характеризующуюся присутствием бактериального, грибкового, вирусного или протозойного патогена).

Изобретение, в частности, относится к такому применению, где:

(А) указанное применение представляет собой лечение рака, и указанный рак характеризуется присутствием раковой клетки, выбранной из группы, состоящей из клетки: опухоли надпочечника, ассоциированного со СПИДом рака, альвеолярной саркомы мягких тканей, астроцитарной опухоли, рака мочевого пузыря, рака кости, рака головного и спинного мозга, метастатической опухоли головного мозга, рака молочной железы, опухоли каротидного тельца, рака шейки матки, хондросаркомы, хордомы, хромофобной почечно-клеточной карциномы, светлоклеточной карциномы, рака толстой кишки, рака толстой и прямой кишки, кожной доброкачественной фиброзной гистиоцитомы, десмопластической мелкокруглоклеточной опухоли, эпендимомы, саркомы Юинга, внескелетной мукоидной хондросаркомы, несовершенного костного фиброгенеза, фиброзной дисплазии кости, рака желчного пузыря или рака желчного протока, рак желудка, гестационной трофобластической болезни, эмбрионально-клеточной опухоли, рака головы и шеи, гепатоклеточной карциномы, опухоли островковых клеток поджелудочной железы, саркомы Капоши, рака почки, лейкоза, липомы/доброкачественной липоматозной опухоли, липосаркомы/злокачественной липоматозной опухоли, рака печени, лимфомы, рака легких, медуллобластомы, ме-

ланомы, менингиомы, множественной эндокринной неоплазии, множественной миеломы, миелодиспластического синдрома, нейробластомы, нейроэндокринных опухолей, рака яичников, рака поджелудочной железы, паппилярной тиреокарциномы, опухоли паращитовидной железы, педиатрического рака, опухоли оболочек периферических нервов, феохромоцитомы, опухоли гипофиза рака предстательной железы, задней увеальной меланомы, редкого гематологического расстройства, метастатического рака почки, рабдоидной опухоли, рабдомиосаркомы, саркомы, рака кожи, саркомы мягких тканей, плоскоклеточного рака, рака желудка, синовиальной саркомы, рака яичка, рака вилочковой железы, тимомы, метастатического рака щитовидной железы и рака матки; или

(В) указанное применение представляет собой применение в лечении инфекции и указанная инфекция представляет собой хроническую вирусную, бактериальную, грибковую и паразитарную инфекцию, характеризующуюся присутствием вируса Эпштейна-Барр, вируса гепатита А (HAV); вируса гепатита В (HBV); вируса гепатита С (HCV); вирусов герпеса (например HSV-1, HSV-2, HHV-6, CMV), вируса иммуннодефицита человека (ВИЧ), вируса везикулярного стоматита (VSV), бактерий класса Васіllі, бактерий рода Сіtrobacter, холерного вибриона, дифтирийной палочки, энтеробактерий, гонококков, бактерии вида Неlісоbacter руlогі, бактерий рода Klebsiella и Legionella, менингококков, микобактерий, псевдомонад, пневмококков, риккетсий, сальмонелл, бактерий рода Serratia, стафилококков, стрептококков, столбнячной палочки, грибов рода Aspergillus (A.fumigatus, A. niger и т.д.), грибов вида Blastomyces dermatitidis, грибов рода Candida (C. albicans, C. krusei, C. glabrata, C. tropicalis и т.д.), грибов вида Стуртососсиз пеоfоrmans, грибов рода Mucorales (mucor, absidia, rhizopus), грибов видов Sporothrix schenkii, Paracoccidioides brasiliensis, Coccidioides immitis и Histoplasma capsulatum, бактерий, вызывающих лептоспироз, бактерий вида Borrelia burgdorferi, гельминтов (нематод, ленточных червей, трематод, плоских червей (например, шистосом), кишечных лямблий, червей рода Trichinella, амеб вида Dientamoeba Fragilis, трипаносом видов Ттурапоsoma brucei и Ттурапоsoma cruzi или протистов вида Leishmania donovani.

Изобретение, в частности, относится к такому применению в лечении рака, где указанный рак представляет собой рак толстой и прямой кишки, гепатоклеточную карциному, глиому, рак почки, рак молочной железы, множественную миелому, рак мочевого пузыря, нейробластому, саркому, неходжкинскую лимфому, немелкоклеточный рак легких, рак яичника, рак поджелудочной железы, рак прямой кишки, острый миелоидный лейкоз (ОМЛ), хронический миелоидный лейкоз (ХМЛ), В-клеточный острый лимфобластный лейкоз (В-ОЛЛ), хронический лимфобластный лейкоз (ХЛЛ), волосистоклеточный лейкоз (ВКЛ), бластоидную плазмоцитоидную дендритоклеточную неоплазию (БПДН), неходжкинские лимфомы (НХЛ), включая мантийноклеточный лейкоз (МКЛ) и мелкоклеточную лимфому (МКЛЛ), ходжкинскую лимфому, системный мастоцитоз или лимфому Беркитта.

Краткое описание графических материалов

На фиг. 1 представлено схематичное изображение типичного ковалентно связанного диатела, содержащего два сайта связывания эпитопа и состоящего из двух полипептидных цепей, каждая из которых содержит стимулирующий образование гетеродимера домен E-coil или K-coil (альтернативные стимулирующие образование гетеродимера домены представлены ниже). Цистеиновый остаток может присутствовать в линкере и/или в стимулирующем образование гетеродимера домене, как показано на фиг. 3B. VL- и VH-домены, которые распознают один и тот же эпитоп, показаны с помощью одинакового узора или цвета.

На фиг. 2 представлено схематичное изображение типичной ковалентно связанной молекулы диатела, содержащей два сайта связывания эпитопа и состоящей из двух полипептидных цепей, каждая из которых содержит СН2- и СН3-домен таким образом, что связанные цепи образуют целый Fc-фрагмент или часть Fc-фрагмента. VL-и VH-домены, которые распознают один и тот же эпитоп, показаны с использованием одинакового узора или цвета.

На фиг. 3А-3С представлены схематичные изображения, показывающие типичные ковалентно связанные тетравалентные диатела, содержащие четыре сайта связывания эпитопа и состоящие из двух пар полипептидных цепей (т.е. всего из четырех полипептидных цепей). Один полипептид каждой пары содержит СН2-и СН3-домен таким образом, что связанные цепи образуют целый Fc-фрагмент или часть Fc-фрагмента. VL- и VH-домены, которые распознают один и тот же эпитоп, показаны с использованием одинакового узора или цвета. Две пары полипептидных цепей могут быть одинаковыми. В таких вариантах реализации, где две пары полипептидных цепей являются одинаковыми и VL- и VH-домены распознают различные эпитопы (как показано на фиг. 3А-3В), полученная в результате молекула содержит четыре сайта связывания эпитопа и является биспецифичной и бивалентной по отношению к каждому связанному эпитопу. Согласно таким вариантам реализации где VL- и VH-домены распознают один и тот же эпитоп (например, на обеих цепях используются одинаковые CDR-участки VL-домена и одинаковые CDR-участки VH-домена), полученная в результате молекула содержит четыре сайта связывания эпитопа и является моноспецифичной и тетравалентной по отношению к единственному эпитопу. В качестве альтернативы, две пары полипептидов могут различаться. Согласно таким вариантам реализации, где две пары полипептидных цепей различаются и VL- и VH-домены каждой пары указанных полипептидов распознают различные эпитопы (как показано с использованием различающегося узора и цвета на фиг. 3С), полученная в результате молекула содержит четыре сайта связывания эпитопа и является тетраспецифичной и моновалентной по отношению к каждому связанному эпитопу. На фиг. ЗА показано содержащее Fc-фрагмент диатело, которое содержит пептидный стимулирующий образование гетеродимера домен, содержащий цистеиновый остаток. На фиг. ЗВ показано содержащее Fc-фрагмент диатело, которое содержит стимулирующие образование гетеродимера домены E-coil и K-coil, содержащие цистеиновый остаток, и линкер (необязательно с цистеиновым остатком). На фиг. ЗС показано содержащее Fc-фрагмент диатело, которое содержит домены антитела СН1 и СL.

На фиг. 4А и 4В представлены схематичные изображения типичной ковалентно связанной молекулы диатела, содержащей два сайта связывания эпитопа и состоящей из трех полипептидных цепей. Две из полипептидных цепей содержат СН2-и СН3-домен таким образом, что связанные цепи образуют целый Fc-фрагмент или его часть. Полипептидные цепи, содержащие VL- и VH-домен, дополнительно содержат стимулирующий образование гетеродимера домен. VL- и VH-домены, которые распознают один и тот же эпитоп, показаны с использованием одинакового узора или цвета.

На фиг. 5 представлено схематичное изображение типичной ковалентно связанной молекулы диатела, содержащей четыре сайта связывания эпитопа и состоящей из пяти полипептидных цепей. Две из указанных полипептидных цепей содержат СН2- и СН3-домены таким образом, что связанные цепи образуют Fc-фрагмент, который содержит целый Fc-фрагмент или его часть. Полипептидные цепи, содержащие связанные VL- и VH-домены, дополнительно содержат стимулирующий образование гетеродимера домен. VL- и VH-домены, которые распознают один и тот же эпитоп, показаны с использованием одинакового узора или цвета.

На фиг. 6А-6F представлены схематичные изображения типичных содержащих Fc-фрагмент тривалентных связывающих молекул, содержащих три сайта связывания эпитопа. На фиг. 6А и 6В схематично показаны домены тривалентных связывающих молекул, содержащих два домена связывания по типу диатела и домен связывания по типу Fab-фрагмента, с разным распределением доменов, где домен связывания по типу диатела расположен со стороны N-конца или со стороны C-конца по отношению к Fc-фрагменту соответственно. Молекулы на фиг. 6А и 6В содержат четыре цепи. На фиг. 6С и 6D схематично изображены домены тривалентных связывающих молекул, содержащих два домена связывания по типу диатела, расположенных со стороны N-конца по отношению к Fc-фрагменту, и присоединенный домен связывания по типу Fab или домен связывания по типу scFv соответственно. На фиг. 6Е и 6F схематично показаны домены тривалентных связывающих молекул, содержащих два домена связывания по типу диатела, расположенных со стороны C-конца по отношению к Fc-фрагменту, и домен связывания по типу Fab, где легкая цепь и тяжелая цепь соединены через полипептидный спейсер или домен связывания типа scFv соответственно. Трехвалентные связывающие молекулы на фиг. 6С-6F содержат три цепи. VL- и VH-домены, которые распознают один и тот же эпитоп, показаны с помощью одинакового узора и цвета.

Фиг. 7 иллюстрирует принципы настоящего изобретения, демонстрируя, что пример биспецифичной молекулы (биспецифичная в отношении PD-1 х LAG-3 молекула, обозначенная как DART A) способен стимулировать продукцию цитокинов до уровня, превышающего уровень, наблюдаемый при совместном или комбинированном введении исходных антител против PD-1 и LAG-3. Показаны профили секреции IFN γ для мононуклеарных клеток периферической крови (МКПК) типичного донора, которые стимулировали SEB (0,5 нг/мл) и обрабатывали примером биспецифичной молекулы (биспецифичная в отношении PD-1 х LAG-3 молекула DART A) или антителами против PD-1 и LAG-3 отдельно или в комбинации.

На фиг. 8А-8D показаны результаты исследования с помощью твердофазного ИФА на основе измерения связывания связывающих молекул в серийных разведениях с СТLА-4 и PD-1 человека. На фиг. 8А-8В показаны кривые связывания СТLА-4 mAb 3 G4P, DART D, TRIDENT A или DART В с растворимым hCTLA-4-Avi-His (1 мкг/мл) (фиг. 8A) или hPD-1-His (1 мкг/мл) (фиг. 8B), нанесенным на планшеты-подложки. Козьи Fc-специфичные конъюгированные с HRP антитела против иммунноглобулина человека (1:10,000) использовали в качестве вторичной детектирующей молекулы для выявления связывания. На фиг. 8С-8D показаны результаты исследования влияния изменения доменов связывания и их распределения на связывание. Биспецифичные в отношении PD-1 х СТLА-4 молекулы, содержащие домены связывания СТLА-4 антитела СТLА-4 mAb 1 (например, DART B) и СТLА-4 mAb 3 (например, DART C и DART D), инкубировали в присутствии растворимого PD-1 человека (фиг. 8С) или растворимого СТLА-4-Avi-His человека (фиг. 8D), нанесенного на планшет-подложку. Козьи-Fсγ-специфичные коньюгированные с HRP антитела против иммунноглобулина человека использовали в качестве вторичной детектирующей молекулы для выявления связывания с применением хемилюминесцентного субстрата PICO.

На фиг. 9A-9E показаны результаты оценки способности DART D, TRIDENT A, PD-1 mAb 6 G4P и СТLА-4 mAb 3 G4P и контрольной молекулы TRIDENT (имеющей два сайта связывания RSV и один сайт связывания СТLА-4) блокировать связывание лиганда с PD-1 и СТLА-1, отдельно и в комбинации. Блокирование связывания PD-L1 с PD-1 оценивали с помощью твердофазного ИФА в присутствии равного количества нерелевантного антигена (фиг. 9A) и в присутствии равного количества СТLА-4

(фиг. 9В), а блокирование связывания В7-1 с СТLА-4 оценивали в присутствии равного количества нерелевантного антигена (фиг. 9С) и в присутствии равного количества PD-1 (фиг. 9D), а также в присутствии четырехкратной концентрации PD-1 (фиг. 9E).

На фиг. 10A-10B показаны результаты оценки способности DART B, DART D, TRIDENT A, антител против CTLA-4 CTLA-4 mAb 1, CTLA-4 mAb 3 G4P и контрольного антитела hIgG связываться с клетками CHO, экспрессирующими CTLA-4 яванского макака (фиг. 10A) или CTLA-4 человека (фиг. 10B). Связывание выявляли с помощью Fc-специфичных вторичных антител против иммунноглобулина человека

На фиг. 11A-11B показаны результаты оценки способности DART C, DART D, DART E, TRIDENT A, антител против CTLA-4 CTLA-4 mAb 1, CTLA-4 mAb 3 G1AA и антитела против PD-1 PD-1 mAb 6 G4P связываться с клетками Jurkat (которые экспрессируют на своей поверхности huCTLA-4, но не экспрессируют PD-1). Связывание молекул DART и TRIDENT с CTLA-4 человека выявляли с помощью Fсспецифичных вторичных антител против иммунноглобулина человека (сортировка клеток с активированной флуоресценцией, FACS). На фиг. 11A показаны результаты оценки DART C, DART D, DART E, CTLA-4 mAb 1, CTLA-4 mAb 3 G1AA и PD-1 mAb 6 G4P. На фиг. 11B показаны результаты оценки CTLA-4 mAb 1, CTLA-4 mAb 3 G1AA, PD-1 mAb 6 G4P и TRIDENT A.

На фиг. 12A-12B показаны результаты оценки способности DART D, TRIDENT A и антител против CTLA-4 CTLA-4 mAb 1, CTLA-4 mAb 3 G1AA блокировать лиганды CTLA-4 B7-1 и B7-2 в клеточном анализе. Меченные гистидином (His) производные B7-1 и B7-2 инкубировали в присутствии клеток Jurkat и искусственных антиген-презентирующих клеток (Promega). Связывание His-B7-1 и His-B7-2 выявляли с применением антитела против His. Результаты оценки показаны на фиг. 12A (His-B7-1) и фиг. 12B (His-B7-2)

На фиг. 13 показаны результаты оценки способности DART C, DART D, TRIDENT A, CTLA-4 mAb 3 G1AA и PD-1 mAb 6 G4P обращать ингибирующий сигнал контрольной точки иммунного ответа CTLA-4, как показано в анализе репортерного гена на клетках IL-2/Luc-Jurkat-CTLA-4 на основе повышенной экспрессии люциферазы. Клетки IL-2/Luc-Jurkat-CTLA-4 инкубировали в присутствии указанных связывающих молекул (R:S= 1:0,3) в течение 30 мин при температуре 37°C, после чего добавляли искусственные антиген-презентирующие клетки Raji и продолжали инкубировать в течение 6 часов. Обращение ингибирующего сигнала контрольной точки иммунного ответа CTLA-4 определяли с помощью люциферазного анализа.

На фиг. 14 показаны результаты оценки способности DART D, TRIDENT A, PD-1 mAb 6 G4P и CTLA-4 mAb 3 G1AA связываться с клетками NSO, экспрессирующим PD-1, но не экспрессирующими CTLA-4. Связывающие молекулы инкубировали в присутствии клеток и измеряли средний коэффициент флуоресценции клеток.

На фиг. 15A-15B показаны результаты оценки способности DART D, TRIDENT A, PD-1 mAb 6 G4P и CTLA-4 mAb 3 G1AA блокировать связывание между PD-1 и его лигандами PD-L1 и PD-L2 в клеточном анализе. PD-L1-PE или PD-L2-PE инкубировали в присутствии указанных связывающих молекул и оценивали их способность связываться с клетками NSO-PD-1 путем сортировки клеток с активированной флуоресценцией (FACS). Фиг. 15A (PD-L1); фиг. 15B (PD-L2).

На фиг. 16 показаны результаты оценки способности DART D, TRIDENT A, CTLA-4 mAb 3 G1AA и PD-1 mAb 6 G4P блокировать ингибирование иммунного ответа, происходящее в результате взаимодействия PD-1/PD-L1. Связывающие молекулы инкубировали в присутствии клеток PD-L1⁺ CHO и эффекторных клеток Jurkat и оценивали их способность блокировать ингибирование иммунного ответа (путем блокирования взаимодействия PD-1/PD-L1) на основе степени наблюдаемой активации, опосредованной CD3 (как показано с помощью повышенной экспрессии люциферазы в анализе на клетках NFAT-luc/PD-1 Jurkat; Promega).

На фиг. 17 показаны результаты оценки способности DART D, TRIDENT A и антителаотрицательного контроля связываться одновременно с PD-1 и CTLA-4 в ферментационном анализе комплементации белковых фрагментов, DiscoverX. Аликвоты суспензии клеточной линии U2OS CTLA-4(1-195)-PK PD-1(1-199)-EA, клона #9, помещали в четырех повторностях в концентрации 5,000 клеток/лунку в культуральной среде для планшетов DiscoverX CP5 на 384-луночные планшеты. Клеткам позволяли прикрепляться в течение 4 часов при 37°C/5% CO₂. Затем каждую из связывающих молекул в серийных разведениях 1:3 (11 точек) добавляли к клеткам PD-1-CTLA-4 и образцы DART D и TRIDENT А добавляли к клеткам PD-1-LAG-3. Планшеты инкубировали в течение ночи (16 часов) при 37°C/5% CO₂. Выявляющий реагент PathHunter добавляли в лунки и планшет затем инкубировали в течение 1 часа при комнатной температуре в темноте и данные считывали на люминометре Envision.

На фиг. 18 показаны результаты оценки способности DART D, TRIDENT A, CTLA-4 mAb 3 G1AA, PD-1 mAb 6 G4P и комбинации CTLA-4 mAb 3 G1AA/PD-1 mAb 6 G4P (Ab Combo 1) усиливать ответ в реакции смешанной культуры лимфоцитов (СКЛ). Дендритные клетки моноцитарного происхождения получали путем обработки CD14+ моноцитов гранулоцитарно-макрофагальным колониестимулирующим фактором (GM-CSF), введенным на 1 день периода инкубирования) и IL-4 (введенным на 7 день периода инкубирования). На 8 день периода инкубирования запускали реакцию СКЛ путем инкубирова-

ли CD4+ Т-клеток с дендритными клетками моноцитарного происхождения (предоставленными на 8 день периода инкубирования) и связывающих молекул против CTLA-4 и PD-1 (предоставленных на 8 день периода инкубирования). Высвобождение IFN- γ представлено в виде графика на фиг. 18. Было обнаружено, что как биспецифичные DART D, так и молекулы TRIDENT, усиливают ответ в реакции СКЛ в одинаковой степени или немного больше по сравнению с комбинацией отдельных исходных антител. Представленные данные включают семь групп столбцов (каждая из которых относится к различным связывающим молекулам: контрольный hIgG4; PD-1 mAb 6 G4P; CTLA-4 mAb 3 G1AA; комбинация CTLA-4 mAb 3 G1AA/PD-1 mAb 6 G4P (Ab Combo 1); DART D; TRIDENT A и контрольный hIgG1, слева направо соответственно); каждая группа состоит из шести столбцов (каждый относится к разной концентрации представленной молекулы: 0,016, 0,08, 0.4, 2, 10 или 50 нМ, слева направо соответственно).

На фиг. 19A-19D показан эффект введения DART D, TRIDENT A, CTLA-4 mAb 3 G1AA, PD-1 mAb 6 G4P и комбинации CTLA-4 mAb 1/PD-1 mAb 1 (Ab Combo 1) на Т-клеточные ответы с помощью анализа повторной стимуляции энтеротоксином Staphylococcus aureus типа В (SEB). На фиг. 19А-19В показаны точечные диаграммы данных сортинга активируемых флуоресценцией клеток (FACS), отражающих экспрессию такими МКПК PD-1 в зависимости СТLA-1 в отсутствие (фиг. 19A) или в присутствии (фиг. 19B) стимуляции SEB. На фиг. 19C показан эффект стимуляции SEB на секрецию IFN-у. МКПК стимулировали энтеротоксином типа В Staphyloсоссиз aureus (SEB) в концентрации 0,5 нг/мл в течение 48 часов. Клетки затем собирали, промывали и заново помещали на 96-луночные планшеты с антителами в различных концентрациях в присутствии свежего SEB на дополнительные 48 часов. Супернатант затем собирали и анализировали продукцию IFN-у с помощью проточной цитометрии/твердофазного ИФА. Как биспецифичные DART, так и белок TRIDENT, показали повышенную ответную продукцию IFN-у, которая соответствовала суммарному ответу, наблюдаемому при введении комбинации отдельных исходных mAb. Сходные результаты наблюдались в анализе стимуляции SEB, в котором МКПК культивировали с высокой концентрацией (500 нг/мл) SEB в течение 72 часов. Представлены шесть групп столбцов, каждая из которых относится к различным молекулам связывания. Каждая группа состоит из семи столбцов, которые отражают результат, полученный при использовании связывающей молекулы в концентрации 25 нМ, 6,25 нМ, 1,56 нМ, 0,39 нМ, 0,09 нМ, 0,02 нМ или 0,006 нМ (слева направо соответственно). На фиг. 19D показано высвобождение IL-2 для типичного донора. МКПК стимулировали 0,5 нг/мл SEB в течение 48 часов, собирали, промывали и заново помещали в 96-луночные планшеты со свежим SEB в присутствии либо DART D. TRIDENT A. CTLA-4 mAb 3 G1AA. PD-1 mAb 6 G4P. либо комбинации CTLA-4 mAb 3 G1AA/PD-1 mAb 6 G4P (Ab Combo 1) на дополнительные 48 часов и измеряли высвободившийся IL-2. Представлены семь групп столбцов, каждая из которых относится к различным связывающим молекулам или состояниям. Каждая группа состоит из трех столбцов, отражающих результат, полученный при использовании связывающей молекулы в концентрации 0,5 нМ, 5 нМ или 50 нМ соответственно (слева направо). При использовании антител в комбинации каждое антитело добавляли при указанной концентрация таким образом, что общая концентрация добавляемого антитела удваивалась.

На фиг. 20A-20В показана активность биспецифичных в отношении PD-1 х CTLA-4 молекул на модели болезни "трансплантат против хозяина" (БТПХ) у мышей NOG с трансплантированными МКПК. Подсчет CD3+ Т-клеток осуществляли путем сортировки клеток с активированной флуоресценцией (FACS) в день исследования (фиг. 20A) у мышей, которые получали DART D в дозе 50 мг/кг или 500 мг/кг (фиг. 20A). За выживаемостью следили на протяжении всего исследования; данные представлены на графике в виде процентной выживаемости на фиг. 20B.

На фиг. 21A-21C показаны графики зависимости концентрации в сыворотке от времени для яванских макаков (обозначенных с помощью 6-тизначного буквенно-цифрового кода), которые получали DART D в концентрации 50 мг/кг на 1, 8 и 15 сутки исследования (фиг. 21A), DART D в концентрации 75 мг/кг на 1, 8 и 15 сутки исследования (фиг. 21B) или Trident A в концентрации 5 мг/кг на 1 сутки исследования (фиг. 21C).

На фиг. 22A-22B показан эффект введения DART D на абсолютное содержание лимфоцитов (АСЛ) у яванских макаков, которым проводили лечение. На фиг. 22A показано АСЛ в тысячах клеток/мкл (тыс.кл./мкл). На фиг. 22B показано процентное изменение АСЛ, нормированное к значению для 1 суток (D1).

На фиг. 23A-23B показана пролиферация CD4+ Т-клеток и занятость рецептора PD-1 на Т-клетках у яванских макаков, которым вводили DART D в концентрации 50 мг/кг (фиг. 23A) или DART D в концентрации 75 мг/кг (фиг. 23B)

На фиг. 24A-24B показан эффект введения DART D на пролиферацию CD4+ T-клеток у яванских макаков, которым вводили DART D в концентрации 50 мг/кг (фиг. 24A) или DART D в концентрации 75 мг/кг (фиг. 24B).

Подробное описание изобретения

Настоящее изобретение направлено на биспецифичные молекулы (например, диатела, биспецифичные антитела, тривалентные связывающие молекулы и т.д.), содержащие по меньшей мере один сайт связывания, обладающий иммунноспецифичностью в отношении эпитопа PD-1, и по меньшей мере один сайт связывания, обладающий иммунноспецифичностью в отношении эпитопа CTLA-4 (т.е. "биспеци-

фичные в отношении PD-1 х CTLA-4 молекулам, которые содержат два сайта связывания эпитопа, обладающие иммунноспецифичностью в отношении одного (или двух) эпитопа (эпитопов) PD-1, и два сайта связывания эпитопа, обладающие иммунноспецифичностью в отношении одного (или двух) эпитопа (эпитопов) PD-1, и два сайта связывания эпитопа, обладающие иммунноспецифичностью в отношении одного (или двух) эпитопа (эпитопов) CTLA-4. Настоящее изобретение также направлено на такие биспецифичные в отношении PD-1 х CTLA-4 молекулы, которые дополнительно содержат Fc-фрагмент иммунноглобулина. Биспецифичные в отношении PD-1 х CTLA-4 молекулы согласно настоящему изобретению способны одновременно связываться с PD-1 и CTLA-4, в частности, в том виде, в котором указанные молекулы распределены на поверхности клеток человека. Изобретение направлено на фармацевтические композиции, которые содержат такие биспецифичные в отношении PD-1 х CTLA-4 молекулы, и способы, включающие применение таких биспецифичных молекул в лечении рака и других заболеваний и состояний. Настоящее изобретение также относится к способам, включающим применение таких биспецифичных в отношении PD-1 CTLA-4 молекул для стимуляции иммунного ответа.

Для активации Т-клеток требуются два отдельных сигнала (Viglietta, V. et al. (2007) "Modulating Co-Stimulation" Neurotherapeutics 4:666-675; Korman, A.J. et al. (2007) "Checkpoint Blockade in Cancer Immunotherapy" Adv. Immunol. 90:297-339). Первый сигнал обеспечивает молекула Т-клеточного рецептора (ТСR), экспрессируемая на поверхности Т-клетки, которая распознала пептидный антиген, связанный с человеческим лейкоцитарным антигеном (HLA), экспрессируемым на поверхности антигенпрезентирующей клетки (АПК). Второй сигнал обеспечивается взаимодействием когнатных пар костимулирующих лигандов В7-1 и В7-2, экспрессируемых на АПК, и их соответствующих рецепторов CD28 и CTLA-4, экспрессируемых на Т-клетках.

Связывание молекул B7-1 и B7-2 с CD28 стимулирует пролиферацию Т-клеток и дополнительно вызывает повышенную экспрессию CTLA-4. CTLA-4 является отрицательным регулятором, который конкурирует с В7-1 и В7-2 за связывание с СD28. Таким образом, ответ на заболевание включает две фазы: начальная фаза включает стимуляцию пролиферации Т-клеток; последующая фаза "сводит на нет" иммунный ответ и возвращает иммунную систему субъекта в состояние покоя. Антитела, которые связываются с CD28, могут имитировать связывание В7-1 или В7-2 и, таким образом, вызывать или усиливать эффекторные функции Т-клеток и возникновение иммунной реакции, направленной на ликвидацию опухоли; такие антитела являются ко-стимулирующими. Напротив, антитела, которые блокируют связывание СТLА-4 с В7-1 и В7-2, могут предотвращать возвращение Т-клеток в состояние покоя; поддерживая, таким образом, непрерывную пролиферацию указанных Т-клеток, что может приводить к аутоиммунной реакции и развитию "иммунноопосредованных нежелательных явлений" (иНЯ) (Wang, L. et al. (March 7, 2011) "VISTA, A Novel Mouse Ig Superfamily Ligand That Negatively Regulates T-Cell Responses" J. Exp. Med. 10.1084/jem.20100619:l-16; Lepenies, B. et al. (2008) "The Role Of Negative Costimulators During Parasitic Infections" Endocrine, Metabolic & Immune Disorders - Drug Targets 8:279-288). Особо важное значение имеет связывание между лигандами В7-1 (СD80) и В7-2 (СD86) антиген-презентирующей клетки и рецепторами CD28 и CTLA-4 CD4⁺ Т-лимфоцита (Sharpe, A.H. et al. (2002) "The B7-CD28 Superfamily", Nature Rev. Immunol. 2:116-126; Dong, C. et al. (2003) "Immune Regulation by Novel Costimulatory Molecules" Immunolog, Res. 28(1):39-48; Lindley, P.S. et al. (2009) "The Clinical Utility Of Inhibiting CD28-Mediated Costimulation", Immunol. Rev. 229:307-321), Связывание B7-1 или B7-2 с CD28 стимулирует активацию Т-клеток; связывание B7-1 или B7-2 с CTLA-4 ингибирует указанную активацию (Dong, C. et al. (2003) "Immune Regulation by Novel Costimulatory Molecules", Immunolog. Res. 28(1):39-48; Lindley, P.S. et al. (2009) "The Clinical Utility Of Inhibiting CD28-Mediated Costimulation" Immunol. Rev. 229:307-321; Greenwald, R.J. et al. (2005) "The B7 Family Revisited", Ann. Rev. Immunol. 23:515-548). CD28 конститутивно экспрессируется на поверхности Т-клеток (Gross, J., et al. (1992) "Identification And Distribution Of The Costimulatory Receptor CD28 In The Mouse", J. Immunol. 149:380-388), тогда как экспрессия CTLA-4 стимулируется сразу после активации Т-клеток (Linsley, P. et al. (1996) "Intracellular Trafficking Of CTLA4 And Focal Localization Towards Sites Of TCR Engagement" Immunity 4:535-543). Поскольку рецептор CTLA-4 обладает более высокой аффинностью (Sharpe, А.Н. et al. (2002) "The B7-CD28 Superfamily" Nature Rev. Immunol. 2:116-126), связывание лигандов сначала вызывает пролиферацию Т-клеток (через CD28), а затем ее ингибирует (в результате начала экспрессии CTLA-4), подавляя, таким образом, эффект, когда пролиферация больше не требуется.

Наряду с описанными выше взаимодействиями, второй набор рецепторов и связывающих лигандов функционирует как ингибитор иммунной системы, действуя, таким образом, в качестве тормоза для замедления опосредованного CD28/B7-1/B7-2 усиления иммунного ответа. Указанный дополнительный ответ включает связывание рецептора белка программированной клеточной гибели-1 (PD-1), экспрессируемого на поверхности Т-клеток, с соответствующими лигандами: PD-L1, экспрессируемым на антигенпрезентирующих клетках (AПК), и PD-L2, экспрессируемым на эпителиальных клетках (Chen L. et al. (2013) "Molecular Mechanisms Of T-Cell Co-Stimulation And Co-Inhibition" Nature Reviews Immunology 13(4):227-242). В отличие от антител-агонистов, которые связываются с CD28, обеспечивая непосредственную стимуляцию Т-клеточных ответов, антитела, которые связываются с PD-1 или PD-L1, действуют как антагонисты или блокируют вовлечение PD-1/PD-L1 и, таким образом, поддерживают активацию Т-

клеток путем предотвращения передачи отрицательного сигнала Т-клеткам. в таком случае антитела, которые связываются с PD-1 или PD-L1, усиливают или поддерживают пролиферацию, цитотоксичность и/или секрецию цитокинов Т-клеток. В совокупности, антитела-агонисты, такие как антитела против CD28, направлены на положительные сигнальные пути и, таким образом, являются ко-стимуляторами, тогда как антитела-антагонисты, такие как антитела против CTLA-4 и антитела против PD-1, направлены на отрицательные сигнальные пути и называются ингибиторами контрольных точек иммунного ответа.

Как описано выше, CTLA-4 и PD-1 представляют собой канонические ингибирующие иммунный ответ контрольные точки, которые проявляют различные ингибирующие эффекты на активацию Тклеток. Биспецифичные в отношении PD-1 x CTLA-4 молекулы согласно настоящему изобретению способны связываться с молекулами клеточной поверхности PD-1 и CTLA-4, которые присутствуют на поверхности лимфоцитов и, таким образом, нарушать способность указанных молекул клеточной поверхности отвечать на их соответствующие рецепторы. Не ограничиваясь какой-либо теорией или механизмом, авторы изобретения считают, что связывание PD-1 может приводить к прекращению ингибирования Т-клеток (например, в местах локализации опухоли и/или в результате инфекции) и что связывание CTLA-1 может стимулировать поликлональную активацию и стимуляцию. В таком случае биспецифичные в отношении PD-1 x CTLA-4 молекулы согласно настоящему изобретению способны ослаблять опосредованное PD-1 и CTLA-4 ингибирование иммунной системы и обеспечивать продолжительную активацию иммунной системы. В настоящей заявке было показано, что биспецифичные молекулы, которые направлены на два иммунномодулирующих пути, являются более активными по сравнению с комбинацией раздельных антител. Настоящее изобретение также обеспечивает биспецифичные в отношении PD-1 x CTLA-4 молекулы с отношением связывания PD-1:CTLA-4, составляющим 1:1, 1:2, 2:2 и 2:1, которые позволяют полное блокирование как PD-1, так и CTLA-4, а также блокирование, распространяющееся на CTLA-4 при его ко-экспрессии с PD-1. Таким образом, биспецифичные в отношении PD-1 x CTLA-4 молекулы согласно настоящему изобретению обеспечивают неожиданное преимущество по сравнению с комбинацией отдельных антител против PD-1 и против CTLA-4. Дополнительно, биспецифичные в отношении PD-1 x CTLA-4 молекулы согласно настоящему изобретению могут обеспечивать стимуляцию иммунного ответа со сниженным риском иммунноопосредованных нежелательных явлений (иНЯ).

І. Антитела и их связывающие домены.

Антитела согласно настоящему изобретению представляют собой молекулы иммунноглобулинов, способные специфично связываться с мишенью, такой как углевод, полинуклеотид, липид, полипептид и т.д., по меньшей мере через один сайт распознавания антигена, расположенный в вариабельном домене указанной молекулы иммунноглобулина. В настоящей заявке термины "антитело" и "антитела" относятся к моноклональным антителам, мультиспецифичным антителам, антителам человека, гуманизированным антителам, синтетическим антителам, гибридным антителам, поликлональным антителам, камелизированным (верблюжьим) антителам, одноцепочечным Fv-фрагментам (scFv), одноцепочечным антителам, Fab-фрагментам, F(ab')-фрагментам, связанным дисульфидной связью биспецифичным Fv-фрагментам (sdFv), интрателам и связывающим эпитоп фрагментам любых из перечисленных выше молекул. В частности, термин "антитело" включает молекулы иммунноглобулинов и иммуннологически активные фрагменты молекул иммунноглобулинов, т.е. молекулы, которые содержат сайт связывания эпитопа. Молекулы иммунноглобулинов могут быть любого типа (например, IgG, IgE, IgM, IgD, IgA и IgY), класса (например, IgG_1 , IgG_2 , IgG_3 , IgG_4 , IgA_1 и IgA_2) или подкласса. В настоящей заявке считается, что Fcфрагмент принадлежит конкретному изотипу, классу или подклассу IgG, если его аминокислотная последовательность имеет наибольшую гомологию с указанным изотипом по сравнению с другими изотипами IgG. Было показано, что помимо известных способов применения антител в диагностике, антитела применимы в качестве терапевтических агентов. Антитела способны иммунноспецифично связываться с полипентидом или белком или небелковой молекулой благодаря присутствию в такой молекуле конкретного домена или фрагмента или структуры ("эпитопа"). Содержащая эпитоп молекула может обладать иммунногенной активностью, вызывающей ответную продукцию антитела у животного; такие молекулы называются "антигенами". Последние несколько десятилетий наблюдается оживленный интерес к терапевтическому потенциалу антител, и антитела стали одним из ведущих классов получаемых биотехнологическим путем лекарственных средств (Chan, C.E. et al. (2009) "The Use Of Antibodies In The Treatment Of Infectious Diseases" Singapore Med. J. 50(7):663-666). Более 200 лекарственных средств на основе антител были одобрены для применения или находятся в стадии разработки.

Термин "моноклональное антитело" относится к гомогенной популяции антител, где указанное моноклональное антитело состоит из аминокислот (природных и неприродных), которые вовлечены в селективное связывание антигена. Моноклональные антитела являются высоко специфичными и направлены против единственного эпитопа (или антигенного сайта). Термин "моноклональное антитело" включает не только интактные моноклональные антитела и полноразмерные моноклональные антитела, но также их фрагменты (такие как Fab, Fab', F(ab')₂ Fv), одноцепочечные антитела (scFv), их мутанты, гибридные белки, содержащие часть антитела, гуманизированные моноклональные антитела, химерные моноклональные антитела и любые другие модифицированные конфигурации молекулы иммунноглобулина, обладающие сайтом распознавания антигена, необходимой специфичностью и способностью связывать-

ся с антигеном. Подразумевается, что настоящее изобретение не ограничивает источник антитела или способ его получения (например, получение с использованием гибридомы, фагового отбора, рекомбинантной экспрессии, трансгенных животных и т.д.). Термин включает целые иммунноглобулины, а также фрагменты и т.д., описанные выше, в рамках определения "антитело". Способы получения моноклональных антител известны в данной области техники. Один способ, который можно использовать, представляет собой способ по Колеру (Kohler, G. et al. (1975) "Continuous Cultures Of Fused Cells Secreting Antibody Of Predefined Specificity", Nature 256:495-497) или его модификацию. Обычно моноклональные антитела вырабатывают у мышей, крыс или кроликов. Антитела получают путем иммунизации животного иммунногенным количеством клеток, клеточных экстрактов или белковых препаратов, которые содержат желаемый эпитоп. Иммуноген может представлять собой, но не ограничивается указанными, первичные клетки, культивируемые клеточные линии, раковые клетки, белки, пептиды, нуклеиновые кислоты или ткань. Клетки, используемые для иммунизации, можно культивировать в течение периода времени (например, по меньшей мере 24 часов) до их применения в качестве иммунногена. Клетки можно применять в качестве иммунногенов самостоятельно или в комбинации с неденатурирующим адъювантом, таким как Ribi (см. например, Jennings, V.M. (\995) "Review of Selected Adjuvants Used in Antibody Production", ILAR J. 37(3):119-125). В целом, клетки следует хранить интактными и предпочтительно жизнеспособными при использовании в качестве иммунногенов. Интактные клетки могут позволить лучшее выявление антигенов у иммунизированного животного по сравнению с разрушенными клетками. Применение денатурирующих или жестких адъювантов, например, адъюванта Фрейнда, может приводить к разрыву клеток и, таким образом, не рекомендуется. Иммуноген можно вводить многократно с периодическими интервалами, например, два раза в неделю или один раз в неделю, или можно вводить таким образом, чтобы поддерживать жизнеспособность у животного (например, в тканевом рекомбинанте). В качестве альтернативы, существующие моноклональные антитела и любые другие эквивалентные антитела, которые обладают иммунноспецифичностью в отношении желаемого патогенного эпитопа можно секвенировать и получать рекомбинантным путем с помощью любых способов, известных в данной области техники. Согласно одному варианту реализации изобретения такое антитело секвенируют и полинуклеотидную последовательность затем клонируют в вектор для экспрессии или амплификации. Последовательность, кодирующую интересующее антитело, можно поддерживать в векторе в хозяйской клетке, и хозяйскую клетку затем можно размножать и замораживать для будущего применения. Полинуклеотидную последовательность такого антитела можно применять для генетических манипуляций для создания моноспецифичных или мультиспецифичных (например, биспецифичных, триспецифичных и тетраспецифичных) молекул согласно изобретению, а также молекул с оптимизированной аффинностью, химерного антитела, гуманизированного антитела и/или кананизированного (собачьего) антитела для улучшения аффинности или других характеристик антитела. Общий принцип в гуманизировании антитела включает сохранение основной последовательности антиген-связывающей части антитела при замене оставшейся части антитела не человеческого происхождения на последовательности антитела человека.

Природные антитела (такие как антитела IgG) состоят из двух легких цепей, объединенных с двумя тяжелыми цепями. Каждая легкая цепь содержит вариабельный домен (VL) и константный домен (CL). Каждая тяжелая цепь содержит вариабельный домен (VH), три константных домена (СН1, СН2 и СН3) и шарнирный участок, расположенный между доменами СН1 и СН2. Основной структурной единицей природных иммунноглобулинов (например, IgG), таким образом, является тетрамер, содержащий две легкие цепи и две тяжелые цепи, которые обычно экспрессируются в виде гликопротеина с молекулярной массой примерно 150000 Да. Аминоконцевая ("N-концевая") часть каждой цепи содержит вариабельный домен, состоящий примерно из 100-110 или более аминокислот, отвечающих в первую очередь за распознавание антигена. Карбоксиконцевая ("С-концевая") часть каждой цепи определяет константную область, при этом легкие цепи имеют единственный константный домен, а тяжелые цепи обычно содержат три константных домена и шарнирный участок. Таким образом, структура легких цепей молекулы IgG представляет собой n-VL-CL-с, и структура тяжелых цепей IgG представляет собой n-VH-CH1-Н-СН2-СН3-С (где Н представляет собой шарнирный участок, а n и с представляют собой N-конец и Сконец полипептида соответственно). Вариабельные домены молекулы IgG состоят из гипервариабельных участков (CDR), которые содержат остатки, контактирующие с эпитопом, и сегменты, не представляющие собой CDR, называемые каркасными участками (FR), которые в целом поддерживают структуру и определяют такую ориентацию петель CDR, которая позволяет указанное контактирование (несмотря на то что конкретные каркасные остатки могут также контактировать с антигеном). Таким образом, домены VL и VH имеют структуру n-FR1-CDR1-FR2-CDR2-FR3-CDR3-FR4-с. Полипептиды, которые представляют собой или могут служить в качестве первого, второго и третьего CDR легкой цепи антитела, обозначаются в настоящей заявке как домен CDR_11 , домен CDR_12 и домен CDR_13 соответственно. Аналогично, полипептиды, которые представляют собой или могут служить в качестве первого, второго и третьего CDR тяжелой цепи антитела обозначаются в настоящей заявке как домен CDR_H1, домен CDR_H2 и домен CDR_L3 соответственно. Таким образом, термины домен CDR_L1, домен CDR_L2, домен CDR_L3, домен CDR_H1, домен CDR_H2 и домен CDR_H3 относятся к полипептидам, которые при встраивании в белок придают ему способность связываться с конкретным эпитопом, независимо от того, представляет ли собой указанный белок антитело, содержащее легкие и тяжелые цепи, диатело или молекулу связывания с единственной цепью (например, scFv, а BiTe и т.д.) или белок другого типа. Соответственно при использовании в настоящей заявке термин "связывающий эпитоп фрагмент" обозначает фрагмент антитела, способный иммунноспецифично связываться с эпитопом, и термин "сайт связывания эпитопа" относится к части молекулы, содержащей связывающий эпитоп фрагмент. Связывающий эпитоп фрагмент может содержать 1, 2, 3, 4, 5 или все 6 из доменов CDR указанного антитела и, несмотря на способность иммунноспецифично связываться с указанным эпитопом, может проявлять иммунноспецифичность, аффинность или селективность в отношении такого эпитопа, который отличается от эпитопа указанного антитела. Однако предпочтительно связывающий эпитоп фрагмент содержит все 6 из доменов CDR указанного антитела. Связывающий эпитоп фрагмент антитела может представлять собой единственную полипептидную цепь (например, scFv) или может содержать две или более полипептидных цепей, каждая из которых содержит аминоконец и карбоксиконец (например, диатело, Fab-фрагмент, Fab₂-фрагмент и т.д.). Если специально не указано, домены белковых молекул, описанных в настоящей заявке, расположены в направлении от N-конца к C-концу.

Изобретение, в частности, включает биспецифичные в отношении PD-1 х CTLA-4 связывающие молекулы, содержащие один, два или больше двух одноцепочечных фрагментов вариабельного домена ("scFv") антитела против PD-1 и один, два или более двух одноцепочечных фрагментов вариабельного домена антитела против CTLA-4. Одноцепочечные фрагменты вариабельного домена получены путем связывания вариабельного домена легкой и тяжелой цепи с помощью короткого линкерного пептида. Линкеры можно модифицировать для обеспечения дополнительных функций, например, для возможности присоединения лекарственных средств или присоединения к твердым подложкам. Одноцепочечные варианты могут быть получены либо рекомбинантным, либо синтетическим путем. Для синтетического получения scFv можно применять автоматический синтезатор. Для рекомбинантного получения scFv в подходящую хозяйскую клетку - эукариотическую, такую как клетку дрожжей, растений, насекомых или млекопитающих, или прокариотическую, такую как Е. coli - можно вводить подходящую плазмиду, содержащую полинуклеотид, кодирующий scFv. Полинуклеотиды, кодирующие интересующий scFv, можно получить с помощью стандартных процедур, таких как лигирование полинуклеотидов. Полученный в результате scFv можно выделять с применением стандартных методов очистки белка, известных в данной области техники.

Изобретение, в частности, также включает биспецифичные в отношении PD-1 x CTLA-4 молекулы, содержащие гуманизированные антитела против PD-1 и против CTLA-4. Термин "гуманизированное" антитело относится к гибридной молекуле, в целом полученной с помощью рекомбинантных методов и содержащей сайт связывания антигена иммунноглобулина из видов не человеческого происхождения с сохраненной структурой иммунноглобулиновой молекулы, основанной на структуре и/или последовательности иммунноглобулина человека. Полинуклеотидную последовательность вариабельных доменов такого антитела можно применять для генетической манипуляции для создания таких производных и для улучшения аффинности или других характеристики указанного антитела. Общий принцип в гуманизировании антитела включает сохранение основной последовательности антиген-связывающей части антитела при замене оставшейся части антитела не человеческого происхождения на последовательности антитела человека. Существует четыре общих этапа гуманизирования моноклонального антитела: (1) определение нуклеотидной и предсказанной аминокислотной последовательности вариабельных доменов легкой и тяжелой цепи исходного антитела; (2) проектирование гуманизированного антитела или канинизированного (собачьего) антитела, т.е. принятие решения о том, какой каркасный участок антитела будет использоваться во время процесса гуманизирования или канинизирования; (3) фактическое осуществление методов/технологий гуманизирования или канинизирования и (4) трансфекция и экспрессия гуманизированного антитела. См., например, патенты США № 4 816 567; 5 807 715; 5 866 692 и 6 331 415.

Сайт связывания антигена может содержать полноразмерный вариабельный домен, слитый с константным доменом, или только гипервариабельные участки (CDR) указанного вариабельного домена, привитые к подходящим каркасным участкам. Сайты связывания антигена могут представлять собой сайты дикого типа или сайты, модифицированные с помощью одной или более аминокислотных замен. Это позволяет избавиться от константной области, являющейся иммунногеном у субъектов, представляющих собой людей, но вероятность возникновения иммунного ответа на чужеродный вариабельный домен сохраняется (LoBuglio, A.F. et al. (1989) "Mouse/Human Chimeric Monoclonal Antibody In Man: Kinetics And Immune Response" Proc. Natl. Acad. Sci. (США) 86:4220-4224). Другой подход фокусируется не только на обеспечении константных областей человеческого происхождения, но и на модифицировании вариабельных доменов, а также их реконструкции с максимальным приближением к форме человеческого происхождения. Известно, что вариабельные домены как тяжелых, так и легких цепей содержат три гипервариабельных участка (CDR), различающихся в зависимости от конкретного антигена и определяющих способность связывания. Указанные домены фланкированы четырьмя каркасными участками (FR), которые являются относительно консервативными для данного вида и предположительно обеспечивают поддержку для CDR. При создании антител не человеческого происхождения, направленных на конкретный антиген, вариабельные домены можно "реконструировать" или "гуманизировать" путем прививания CDR, полученных от антитела не человеческого происхождения, к FR, присутствующим в человеческом антителе, которое подлежит модифицированию. Было описано применение указанного подхода к различным антителам Sato, K. et al. (1993) Cancer Res 53:851-856. Riechmann, L. et al. (1988) "Reshaping Human Antibodies for Therapy" Nature 332:323-327; Verhoeyen, M. et al. (1988) "Reshaping Human Antibodies: Grafting An Antilysozyme Activity" Science 239:1534-1536; Kettleborough, C. A. et al. (1991) "Humanization Of A Mouse Monoclonal Antibody By CDR-Grafting: The Importance Of Framework Residues On Loop Conformation" Protein Engineering 4:773-3783; Maeda, H. et al. (1991) "Construction Of Reshaped Human Antibodies With HIV-Neutralizing Activity" Human Antibodies Hybridoma 2:124-134; Gorman, S. D. et al. (1991) "Reshaping A Therapeutic CD4 Antibody" Proc. Natl. Acad. Sci. (CIIIA) 88:4181-4185; Tempest, P.R. et al. (1991) "Reshaping A Human Monoclonal Antibody To Inhibit Human Respiratory Syncytial Virus Infection in vivo" Bio/Technology 9:266-271; Co, M. S. et al. (1991) "Humanized Antibodies For Antiviral Therapy" Proc. Natl. Acad. Sci. (CIIIA) 88:2869-2873; Carter, P. et al. (1992) "Humanization Of An Antipl85her2 Antibody For Human Cancer Therapy" Proc. Natl. Acad. Sci. (CIIIA) 89:4285-4289; Co, M.S. et al. (1992) "Chimeric And Humanized Antibodies With Specificity For The CD33 Antigen" J. Immunol. 148:1149-1154. Согласно некоторым вариантам реализации изобретения гуманизированные антитела сохраняют все последовательности CDR (например, гуманизированное мышиное антитело, которое содержит все шесть CDR от мышиных антител). Согласно другим вариантам реализации гуманизированные антитела содержат один или более CDR (один, два, три, четыре, пять или шесть), которые отличаются по последовательности от исходного антитела.

Был описан ряд молекул "гуманизированных" антител, содержащих сайт связывания антигена, происходящий из иммунноглобулина не человеческого происхождения, включая гибридные антитела, содержащие вариабельный домен и связанные с ним гипервариабельные участки (CDR) грызунов или модифицированный вариабельный домен и связанные с ними гипервариабельные участки (CDR) грызунов, слитые с константными доменами иммунноглобулина человека (см. например, Winter et al. (1991) "Man-made Antibodies" Nature 349:293-299; Lobuglio et al. (1989) "Mouse/Human Chimeric Monoclonal Antibody In Man: Kinetics And Immune Response" Proc. Natl. Acad. Sci. (CIIIA) 86:4220-4224 (1989), Shaw et al. (1987) "Characterization Of A Mouse/Human Chimeric Monoclonal Antibody (17-1A) To A Colon Cancer Tumor-Associated Antigen" J. Immunol. 138:4534-4538, Brown et al. (1987) "Tumor-Specific Genetically Engineered Murine/Human Chimeric Monoclonal Antibody" Cancer Res. 47:3577-3583). Другие ссылки описывают CDR грызунов, привитые к поддерживающему каркасному участку (FR) человека до слияния с подходящим константным доменом человеческого антитела (см. например, Riechmann, L. et al. (1988) "Reshaping Human Antibodies for Therapy" Nature 332:323-327; Verhoeyen, M. et al. (1988) "Reshaping Human Antibodies: Grafting An Antilysozyme Activity" Science 239:1534-1536; and Jones et al. (1986) "Replacing The Complementarity-Determining Regions In A Human Antibody With Those From A Mouse" Nature 321:522-525). В другой ссылке описаны CDR грызунов, которые поддерживаются рекомбинантно "венированными" каркасными участками грызунов. См., например, публикацию европейского патента № 519,596. Указанные "гуманизированные" молекулы сконструированы таким образом, чтобы минимизировать нежелательный иммунный ответ в отношении молекул антител грызунов, направленных против иммунноглобулина человека, ограничивающий продолжительность и эффективность терапевтического применения указанных фрагментов у реципиентов, представляющих собой людей. Другие способы гуманизации антител, которые также можно применять, описаны в источнике Daugherty et al. (1991) "Polymerase Chain Reaction Facilitates The Cloning, CDR-Grafting, And Rapid Expression Of A Murine Monoclonal Antibody Directed Against The CD18 Component Of Leukoсуte Integrins" Nucl. Acids Res. 19:2471-2476 и в патентах США № 6 180 377; 6 054 297; 5 997 867 и 5 866 692.

II. Рецепторы Fcy (FcyRs).

СН2- и СН3-домены двух тяжелых цепей взаимодействуют с образованием Fc-фрагмента, который представляет собой домен, распознаваемый клеточными рецепторами Fc, включая, но не ограничиваясь Fc-рецепторами гамма (FcγRs). В настоящей заявке термин "Fc-фрагмент" применяется для определения С-концевого участка тяжелой цепи IgG. Аминокислотная последовательность домена СН2-СН3 примера человеческого IgG1 представляет собой (SEQ ID NO: 1)

```
231 240 250 260 270 280

APELLGGPSV FLFPPKPKDT LMISRTPEVT CVVVDVSHED PEVKFNWYVD

290 300 310 320 330

GVEVHNAKTK PREEQYNSTY RVVSVLTVLH QDWLNGKEYK CKVSNKALPA

340 350 360 370 380

PIEKTISKAK GQPREPQVYT LPPSREEMTK NQVSLTCLVK GFYPSDIAVE

390 400 410 420 430

WESNGQPENN YKTTPPVLDS DGSFFLYSKL TVDKSRWQQG NVFSCSVMHE

440 447

ALHNHYTQKS LSLSPGX
При нумерации в соответствии с индексом EC по Кэбату, где X представляет собой
```

Аминокислотная последовательность домена CH2-CH3 примера IgG2 человека представляет собой (SEQ ID NO: 2)

```
231 240 250 260 270 280

APPVA-GPSV FLFPPKPKDT IMISRTPEVT CVVVDVSHED PEVQFNWYVD

290 300 310 320 330

GVEVHNAKTK PREEQFNSTF RVVSVLTVVH QDWLNGKEYK CKVSNKGLPA

340 350 360 370 380

PIEKTISKTK GQPREPQVYT LPPSREEMTK NQVSLTCLVK GFYPSDISVE

390 400 410 420 430

WESNGQPENN YKTTPPMLDS DGSFFLYSKL TVDKSRWQQG NVFSCSVMHE

440 447

ALHNHYTQKS LSLSPGX
при нумеращии в соответствии с индексом EC по Кэбату, где X представляет собой лизин (К) или отсутствует.
```

Аминокислотная последовательность домена CH2-CH3 примера человеческого IgG3 представляет собой (SEQ ID NO: 3)

```
231 240 250 260 270 280

APELLGGPSV FLFPPKPKDT LMISRTPEVT CVVVDVSHED PEVQFKWYVD

290 300 310 320 330

GVEVHNAKTK PREEQYNSTF RVVSVLTVLH QDWLNGKEYK CKVSNKALPA

340 350 360 370 380

PIEKTISKTK GQPREPQVYT LPPSREEMTK NQVSLTCLVK GFYPSDIAVE

390 400 410 420 430

WESSGQPENN YNTTPPMLDS DGSFFLYSKL TVDKSRWQQG NIFSCSVMHE

440 447

ALHNRFTQKS LSLSPGX
при нумерации в соответствии с индексом EC по Кэбату, где X представляет собой лизин (К) или отсутствует.
```

Аминокислотная последовательность домена CH2-CH3 примера человеческого IgG4 представляет собой (SEQ ID NO: 4)

```
231 240 250 260 270 280

APEFLGGPSV FLFPPKPKDT LMISRTPEVT CVVVDVSQED PEVQFNWYVD

290 300 310 320 330

GVEVHNAKTK PREEQFNSTY RVVSVLTVLH QDWLNGKEYK CKVSNKGLPS

340 350 360 370 380

SIEKTISKAK GQPREPQVYT LPPSQEEMTK NQVSLTCLVK GFYPSDIAVE

390 400 410 420 430

WESNGQPENN YKTTPPVLDS DGSFFLYSRL TVDKSRWQEG NVFSCSVMHE

440 447

ALHNHYTQKS LSLSLGX
при нумерации в соответствии с индексом EC по Кэбату, где X представляет собой лизин (К) или отсутствует.
```

На протяжении настоящей заявки нумерация остатков в константной области тяжелой цепи IgG представляет собой нумерацию согласно индексу ЕС в соответствии с Кэбатом (Kabat et al., SE-QUENCES OF PROTEINS OF IMMUNOLOGICAL Interest, 5th Ed. Public Health Service, NH1, MD (1991) ("Kabat"), где указанный источник специально включен в настоящую заявку посредством ссылки. Термин "индекс EC по Кэбату" относится к нумерации IgG1 человека по европейской системе нумерации антител. Аминокислоты из вариабельных доменов зрелых тяжелых и легких цепей иммунноглобулинов обозначены с помощью номера положения аминокислоты в цепи. Кэбат описал множество аминокислотных последовательностей антител, идентифицировал консенсусные аминокислотные последовательности для каждой подгруппы и присвоил каждой аминокислоте номер остатка. CDR идентифицированы, как определено по Кэбату (следует понимать, что CDR_H1 начинается на пять остатков раньше в соответствии с нумерацией Чотия (Chothia, C. & Lesk, A. M. ((1987) "Canonical structures for the hypervariable regions of immunoglobulins" J. Mol. Biol. 196:901-917). Схема нумерации по Кэбату распространяется на антитела, не включенные в перечень перечисленных им антител, путем выравнивания интересующего антитела с одной из консенсусных последовательностей по Кэбату со ссылкой на консервативные аминокислоты. Указанный способ присвоения остаткам номеров стал стандартным в данной области техники и позволяет легко идентифицировать аминокислоты в эквивалентных положениях в различных антителах, включая гибридные или гуманизированные варианты. Например, аминокислота в положении 50 легкой цепи антитела человека занимает положение, эквивалентное аминокислоте в положении 50 легкой цепи антитела мыши

Полиморфизмы были обнаружены в нескольких различных положениях в пределах константных областей антитела (например, положениях в Fc-фрагменте, включая, но не ограничиваясь положениями 270, 272, 312, 315, 356 и 358 при нумерации в соответствии с индексом ЕС по Кэбату) и, таким образом, могут быть небольшие различия между представленной последовательностью и последовательностями согласно предшествующему уровню техники. Полиморфные формы иммунноглобулинов человека были хорошо охарактеризованы. В настоящее время известно 18 Gm-аллотипов: G1m (1, 2, 3, 17) или G1m (а,

х, f, z), G2m (23) или G2m (n), G3m (5, 6, 10, 11, 13, 14, 15, 16, 21, 24, 26, 27, 28) или G3m (b1, c3, b3, b0, b3, b4, s, t, g1, c5, u, v, g5) (Lefranc, et al., "The Human IgG Subclasses: Molecular Analysis Of Structure, Function And Regulation:' Pergamon, Oxford, cтр. 43-78 (1990); Lefranc, G. et al., 1979, Hum. Genet.: 50, 199-211). Специально предполагается, что антитела согласно настоящему изобретению могут включать любой аллотип, изоаллотип или гаплотип любого гена иммунноглобулина и не ограничиваются аллотипом, изоаллотипом или гаплотипом последовательностей, представленных в настоящей заявке. Более того, в некоторых экспрессионных системах С-концевой аминокислотный остаток (выделенный жирным шрифтом выше) домена СНЗ может удаляться посттрансляционно. Таким образом, С-концевой остаток домена СНЗ является необязательным аминокислотным остатком в биспецифичных в отношении PD-1 х CTLA-4 молекулах согласно изобретению. Настоящее изобретение специально включает биспецифичные в отношении PD-1 х CTLA-4 молекулы с отсутствием С-концевого остатка СНЗ-домена. Также настоящее изобретение специально включает такие конструкции, которые содержат С-концевой остаток, представляющий собой лизин, домена СНЗ.

Как указано выше, Fc-фрагмент природных антител IgG способен связываться с клеточными Fcгамма рецепторами (FcyR). Такое связывание приводит к передаче иммунной системе активирующих или ингибирующих сигналов. Способность такого связывания стимулировать диаметрально противоположные функции отражает структурные различия разных FcγR и, в частности, указывает на то, содержит связанный Гсү иммуннорецепторный активирующий мотив на основе тирозина (ІТАМ) или иммуннорецепторный ингибирующий мотив на основе тирозина (ITIM). Привлечение различных цитоплазматических ферментов к указанным структурам определяет результат FcyR-опосредованных клеточных ответов. ІТАМ-содержащие FcyR включают FcyRI, FcyRIIIA, FcyRIIIA и активируют иммунную систему при связывании с Fc-фрагментом. FcүRIIB представляет собой единственный известный на сегодня природный ІТІМ-содержащий ГсүР; он действует таким образом, чтобы ослаблять или подавлять иммунную систему при связывании с Fc-фрагментом. Нейтрофилы человека экспрессируют ген FcyRIIA. Кластеризация FcvRIIA путем образования иммунного комплекса или поперечного связывания специфичных антител служит для агрегации ITAM со связанными с рецептором киназами, которые облегчают фосфорилирование ITAM. Фосфорилированный ITAM служит в качестве докинг-сайта для Syk-киназы, активация которой приводит к активации последующих субстратов (например, РІзК). Клеточная активация приводит к высвобождению провоспалительных медиаторов. Ген FcyRIIB экспрессируется в Влимфоцитах; его внеклеточный домен на 96% идентичен FcyRIIA и неотличимым от него образом связывается с комплексами IgG. Наличие ITIM в цитоплазматическом домене FcγRIIB определяет этот ингибиторный подкласс FcyR. Недавно была установлена молекулярная основа описанного ингибирования. При ко-лигировании с активирующим FcyR мотив ITIM рецептора FcyRIIB фосфорилируется и привлекает SH2-домен инозитолполифосфат-5'-фосфатазы (SHIP), которая гидролизирует фосфоинозитоловые мессенджеры, высвобождающиеся в результате активации тирозинкиназы, опосредуемоый ІТАМсоедржащим FcyR, что в результате предотвращает вход внутриклеточного Ca⁺⁺. Таким образом, поперечное связывание FcvRIIB гасит активирующий ответ на лигирование FcvR и подавляет клеточную чувствительность. Таким образом, прекращается активация и пролиферация В-клеток и секреция ими анти-

Биспецифичные антитела, мультиспецифичные диатела и диатела DART®.

Способность антитела связываться с эпитопом антигена зависит от присутствия и аминокислотной последовательности VL- и VH-доменов антитела. В результате взаимодействия легкой и тяжелой цепи антитела и, в частности, взаимодействия его VL- и VH-доменов, образуется один из двух сайтов связывания эпитопа природного антитела, такого как IgG. Природные антитела способны связываться только с одним видом эпитопа (т.е. они являются моноспецифичными), несмотря на то что они могут связываться со множеством копий эпитопов данного вида (т.е. проявляют бивалентность или мультвалентность).

Домены связывания антител и биспецифичных в отношении PD-1 х CTLA-4 молекул согласно настоящему изобретению связываются с эпитопами "иммунноспецифичным" образом. В настоящей заявке указано, что антитело, диатело или другая связывающая эпитоп молекула "иммунноспецифично" связываться с участком другой молекулы (т.е. эпитопом), если она реагирует или связывается чаще, быстрее, с большей продолжительностью и/или с большей аффинностью с указанным эпитопом по сравнению с альтернативными эпитопами. Например, антитело, которое иммунноспецифично связывается с вирусным эпитопом, представляет собой антитело, которое связывается с данным вирусным эпитопом с большей аффинностью, авидностью, с большей скоростью и/или с большей продолжительностью по сравнению с иммунноспецифичным связыванием с другими вирусными эпитопами или невирусными эпитопами. При встрече указанного определения также необходимо понимать, что, например, антитело (или фрагмент или эпитоп), которое иммунноспецифично связывается с первой мишенью, может или не может специфично или предпочтительно связываться со второй мишенью. В связи с этим "иммунноспецифичное связывание" не обязательно требует исключительного связывания (несмотря на то, что может включать исключительное связывание). В целом, ссылка на связывание относится (но не обязательно) к "иммунноспецифичному" связыванию. Указано, что две молекулы способны связываться друг с другом с

"физиологической специфичностью", если такое связывание характеризуется специфичностью, с которой рецепторы связываются с их соответствующими лигандами.

Один аспект согласно настоящему изобретению основан на знании того, что функциональную активность антител можно повышать путем создания мультиспецифичных молекул на основе антител, которые могут одновременно связываться с одним или более эпитопами (эпитопом) PD-1, а также одним или более эпитопами (эпитопом) CTLA-4. Для молекул, содержащих более одного сайта связывания эпитопа, иммунноспецифичного в отношении эпитопа PD-1, указанные эпитопы могут быть идентичны друг другу, перекрываться или быть отдельными друг от друга; связывание с одним таким эпитопом может конкурировать или не конкурировать со связыванием с другими такими эпитопами. Аналогично, для молекул, содержащих более одного сайта связывания эпитопа, иммунноспецифичного в отношении эпитопа СТLA-4, такие эпитопы могут быть идентичны друг другу, перекрываться или быть отдельными друг от друга; связывание с одним таким эпитопом может конкурировать или не конкурировать со связыванием со вторым таким эпитопом. Специально предусмотрено, что указанные характеристики можно независимо изменять с получением биспецифичных в отношении PD-1 х СТLА-4 молекул, которые, например, обладают:

- (1) способностью связываться с двумя идентичными эпитопами PD-1 и с:
- (a) двумя идентичными эпитопами CTLA-4; или
- (b) двумя перекрывающимися эпитопами CTLA-4; или
- (c) двумя отдельными эпитопами CTLA-4; или
- (2) способностью связываться с двумя перекрывающимися эпитопами PD-1 и с:
- (a) двумя идентичными эпитопами CTLA-4; или
- (b) двумя перекрывающимися эпитопами CTLA-4; или
- (c) двумя отдельными эпитопами CTLA-4;
- (3) способностью связываться с двумя отдельными эпитопами PD-1 и с:
- (a) двумя идентичными эпитопами CTLA-4; или
- (b) двумя перекрывающимися эпитопами CTLA-4; или
- (c) двумя отдельными эпитопами CTLA-4.

Для получения молекул, обладающих более высокой способностью связывания по сравнению с природными антителами, было разработано большое количество различных рекомбинантных биспецифичных антител (см. например, международные публикации согласно РСТ № WO 2008/003116, WO 2009/132876, WO 2008/003103, WO 2007/146968, WO 2009/018386, WO 2012/009544, WO 2013/070565), B большинстве из которых используются линкерные пептиды для слияния дополнительного эпитопсвязывающего фрагмента (например, scFv, VL, VH и т.д.) с антителом или для слияния в пределах его каркасной структуры (IgA, IgD, IgE, IgG или IgM) или для слияния нескольких связывающих эпитоп фрагментов (например, два Fab фрагмента или scFv). В альтернативных формах используются линкерные пептиды для слияния эпитопсвязывающего фрагмента (например, scFv, VL, VH и т.д.) с доменом димеризации, таким как домены CH2-CH3 или альтернативные полипептиды (WO 2005/070966, WO 2006/107786A WO 2006/107617A, WO 2007/046893). Публикации согласно РСТ № WO 2013/174873, WO 2011/133886 и WO 2010/136172 описывают трехспецифичное антитело, в котором домены СL и СН1 были перемещены из соответствующих природных положений, и домены VL и VH были изменены (WO 2008/027236; WO 2010/108127) таким образом, чтобы обеспечить возможность связывания указанного антитела с более чем одним антигеном. Публикации РСТ № WO 2013/163427 и WO 2013/119903 описывают модификацию домена СН2 таким образом, чтобы он содержал аддукт гибридного белка, имеющий домен связывания. Публикации РСТ № WO 2010/028797, WO2010028796 и WO 2010/028795 описывают рекомбинантные антитела, Fc-фрагменты которых были заменены на дополнительные VL- и VH-домены таким образом, чтобы образовывались тривалентные связывающие молекулы. Публикации согласно РСТ № WO 2003/025018 и WO2003012069 описывают рекомбинантные диатела, отдельные цепи которых содержат scFv-домены. Международная публикация согласно РСТ № WO 2013/006544 описывает мультивалентные Fab-молекулы, синтезированные в виде единственной полипептидной цепь и затем подвергнутые протеолизу с получением гетеродимерных структур. Публикации согласно РСТ № WO 2014/022540, WO 2013/003652, WO 2012/162583, WO 2012/156430, WO 2011/086091, WO 2008/024188, WO 2007/024715, WO 2007/075270, WO 1998/002463, WO 1992/022583 и WO 1991/003493 описывают добавление дополнительных доменов связывания или функциональных групп к антителу или к части антитела (например, добавление диатела к легкой цепи антитела, или добавление дополнительных доменов VL и VH к легким или тяжелым цепям антитела, или добавление гетерологичного гибридного белка, или сцепление нескольких Fab-доменов друг с другом).

В уровне техники также описана возможность получать диатела, которые отличаются от таких природных антител способностью связываться с двумя или большим числом различных эпитопов (т.е. проявляющие биспецифичность или мультиспецифичность помимо бивалентности или мультивалентности) (см. например, Holliger et al. (1993) " 'Diabodies': Small Bivalent And Bispecific Antibody Fragments", Proc.

Natl. Acad. Sci. (CIIIA) 90:6444-6448; US 2004/0058400 (Hollinger et al.); US 2004/0220388 / WO 02/02781 (Mertens et al.); Alt et al. (1999) FEBS Lett. 454(1-2):90-94; Lu, D. et al. (2005) "A Fully Human Recombinant IgG-Like Bispecific Antibody To Both The Epidermal Growth Factor Receptor And The Insulin-Like Growth Factor Receptor For Enhanced Antitumor Activity", J. Biol. Chem. 280(20): 19665-19672; WO 02/02781 (Mertens et al); Olafsen, T. et al. (2004) "Covalent Disulfide-Linked Anti-CEA Diabody Allows Site-Specific Conjugation And Radiolabeling For Tumor Targeting Applications" Protein Eng. Des. Sel. 17(1):21-27; Wu, A. et al. (2001) "Multimerization Of A Chimeric Anti-CD20 Single Chain Fv-Fv Fusion Protein Is Mediated Through Variable Domain Exchange" Protein Engineering 14(2): 1025-1033; Asano et al. (2004) "A Diabody For Cancer Immunotherapy And Its Functional Enhancement By Fusion Of Human Fc Domain" Abstract 3P-683, J. Biochem. 76(8):992; Takemura, S. et al. (2000) "Construction Of A Diabody (Small Recombinant Bispecific Antibody) Using A Refolding System", Protein Eng. 13(8):583-588; Baeuerle, P. A. et al. (2009) "Bispecific T-Cell Engaging Antibodies For Cancer Therapy" Cancer Res. 69(12):4941-4944).

Основой дизайна диатела является производное антитела, известное как одноцепочечный фрагмент вариабельного домена (scFv). Такие молекулы получают путем связывания вариабельного домена легкой и/или тяжелой цепи с помощью короткого связывающего пептида. В публикации Bird et al. (1988) ("Single-Chain Antigen-Binding Proteins" Science 242:423-426, описан пример связывающих пептидов, которые обеспечивают связь длиной примерно 3,5 нм между карбокси-концом одного вариабельного домена и амино-концом другого вариабельного домена. Были созданы и использовались линкеры с другими последовательностями (Bird et al. (1988) ("Single-Chain Antigen-Binding Proteins" Science 242:423-426). Линкеры, в свою очередь, можно модифицировать для получения дополнительных функций, таких как присоединение лекарственных средств или присоединение к твердым подложкам. Одноцепочечные варианты могут быть получены либо рекомбинантным, либо синтетическим путем. Для получения scFv синтетическим путем можно применять автоматический синтезатор. Для получения scFv рекомбинантным путем можно вводить подходящую плазмиду, содержащую полинуклеотид, который кодирует scFv, в подходящую клетку-хозяина - эукариотическую, такую как клетки дрожжей, растений, насекомых или млекопитающих, или прокариотическую, такую как E. coli. Полинуклеотиды, кодирующие целевой scFv, могут быть получены с помощью стандартных процедур, таких как лигирование полинуклеотидов. Полученный в результате scFv можно выделять с применением стандартных методов очистки белка, известных в данной области техники.

Получение биспецифичных связывающих молекул (например, не моноспецифичных диател) обеспечивает значительное преимущество по сравнению с антителами, включая, способность к "транс-" связыванию, достаточную для ко-лигирования и/или обеспечения солокализации различных клеток, которые экспрессируют разные эпитопы, и/или способность к "цис"-связыванию, достаточную для колигирования и/или обеспечения солокализации различных молекул, экспрессируемых одной и той же клеткой, но не ограничиваясь перечисленным. Таким образом, существуют различные варианты применения биспецифичных связывающих молекул (например, не моноспецифичных диател), включая терапию и иммуннологическую диагностику. Биспецифичность обеспечивает очень гибкие возможности в проектировании и конструировании диател для различных приложений, обеспечивая повышенную авидность к мультимерным антигенам, поперечное связывание различных антигенов и таргетированное нацеливание на конкретные типы клеток на основании присутствия обоих антигенов-мишеней. Благодаря своей повышенной валентности, низкой скорости диссоциации и быстрому всасыванию из кровотока (для диател малого размера, ~50 кДа или меньше), молекулы диател, известные в данной области техники, также показали особою применимость в области визуализации опухолей (Fitzgerald et al. (1997) "Improved Tumour Targeting By Disulphide Stabilized Diabodies Expressed In Pichia pastoris", Protein Eng. 10:1221).

Возможность создавать биспецифичные диатела привела к их применению для ко-лигирования двух клеток ("транс"-связывания), например, путем ко-лигирования рецепторов, присутствующих на поверхности различных клеток (например, поперечного связывания цитотоксических Т-клеток с опухолевыми клетками) (Staerz et al. (1985) "Hybrid Antibodies Can Target Sites For Attack By T Cells", Nature 314:628-631, and Holliger et al. (1996) "Specific Killing Of Lymphoma Cells By Cytotoxic T-Cells Mediated By A Bispecific Diabody", Protein Eng. 9:299-305; Marvin et al. (2005) "Recombinant Approaches To IgG-Like Bispecific Antibodies" Acta Pharmacol. Sin. 26:649-658). В качестве альтернативы или дополнительно, биспецифичные диатела можно применять для ко-лигирования молекул, таких как рецепторы и т.д., которые присутствуют на поверхности одной и той де клетки ("цис"-связывание). Ко-лигирование различных клеток и/или рецепторов можно применять для модулирования эффекторных функций и/или сигнального пути клетки иммунной системы. Однако плата за эти преимущества высока. Образование таких не моноспецифичных диател требует успешного соединения двух или более отдельных и различных полипептидов (т.е. для образования указанных не моноспецифичных диател требуется, чтобы они формировались путем гетеродимеризации полипептидных цепей различных видов), в противоположность моноспецифичным диателам, которые образуются путем гомодимеризации идентичных полипептидных цепей. Поскольку необходимо обеспечивать по меньшей мере два различных полипептида (т.е. два вида полипептидов) для образования не моноспецифичного диатела, и поскольку гомодимеризация таких полипептидов приводит к получению неактивных молекул (Takemura, S. et al. (2000) "Construction Of A Diabody (Small Recombinant Bispecific Antibody) Using A Refolding System," Protein Eng. 13(8):583-588), получать такие полипептиды нужно таким образом, чтобы предотвратить образование ковалентной связи между полипептидами одного вида (т.е. чтобы предотвратить гомодимеризацию) (Takemura, S. et al. (2000) "Construction Of A Diabody (Small Recombinant Bispecific Antibody) Using A Refolding System", Protein Eng. 13(8):583-588). Соответственно, в уровне технике было предложено нековалентное соединение таких полипептидов (см. например, Olafsen et al. (2004) "Covalent Disulfide-Linked Anti-CEA Diabody Allows Site-Specific Conjugation And Radiolabeling For Tumor Targeting Applications", Prot. Engr. Des. Sel. 17:21-27; Asano et al. (2004) "A Diabody For Cancer Immunotherapy And Its Functional Enhancement By Fusion Of Human Fc Domain" Abstract 3P-683, J. Biochem. 76(8):992; Takemura, S. et al. (2000) "Construction Of A Diabody (Small Recombinant Bispecific Antibody) Using A Refolding System", Protein Eng. 13(8):583-588; Lu, D. et al. (2005)" A Fully Human Recombinant IgG-Like Bispecific Antibody To Both The Epidermal Growth Factor Receptor And The Insulin-Like Growth Factor Receptor For Enhanced Antitumor Activity" J. Biol. Chem. 280(20): 19665-19672).

Однако работы в данной области техники подтвердили, что биспецифичные диатела, состоящие из нековалентно связанных полипептидов, нестабильны и легко диссоциируют с образованием нефункциональных мономеров (см. например, Lu, D. et al. (2005) "A Fully Human Recombinant IgG-Like Bispecific Antibody To Both The Epidermal Growth Factor Receptor And The Insulin-Like Growth Factor Receptor For Enhanced Antitumor Activity", J. Biol. Chem. 280(20): 19665-19672).

В процессе решения этой задачи в данной области техники был достигнут успех в разработке стабильных ковалентно связанных гетеродимерных не моноспецифичных диател, названных диателами DART® (Dual Affinity Re-Targeting Reagents, ре-направленные реагенты с двойной аффинностью); см., например, публикации патентов США №2013-0295121; 2010-0174053 и 2009-0060910; публикации европейских патентов № ЕР 2714079; ЕР 2601216; ЕР 2376109; ЕР 2158221 и международные публикации согласно РСТ № WO 2012/162068; WO 2012/018687; WO 2010/080538 и Sloan, D.D. et al. (2015) "Targeting HIV Reservoir in Infected CD4 T Cells by Dual-Affinity Re-targeting Molecules (DARTs) that Bind HIV Envelope and Recruit Cytotoxic T Cells", PLoS Pathog. 11(11):e1005233. doi: 10.1371/journal.ppat. 1005233; Al Hussaini, M. et al. (2015) "Targeting CD 123 In AML Using A T-Cell Directed Dual-Affinity Re-Targeting (DART®) Platform", Blood pii: blood-2014-05-575704; Chichili, G.R. et al. (2015) "A CD3xCD123 Bispecific DART For Redirecting Host T Cells To Myelogenous Leukemia: Preclinical Activity And Safety In Nonhuman Primates" Sci. Transl. Med. 7(289):289ra82; Moore, P.A. et al. (2011) "Application Of Dual Affinity Retargeting Molecules To Achieve Optimal Redirected T-Cell Killing Of B-Cell Lymphoma", Blood 117(17):4542-4551; Veri, M.C. et al. (2010) "Therapeutic Control Of B Cell Activation Via Recruitment Of Fcgamma Receptor IIb (CD32B) Inhibitory Function With A Novel Bispecific Antibody Scaffold" Arthritis Rheum. 62(7): 1933-1943; Johnson, S. et al. (2010) "Effector Cell Recruitment With Novel Fv-Based Dual-Affinity Re-Targeting Protein Leads To Potent Tumor Cytolysis And in vivo B-Cell Depletion" J. Mol. Biol. 399(3):436-449). Такие диатела содержат два или более ковалентно объединенных полипептидов и включают встраивание в каждый из используемых видов полипептидов одного или более цистеиновых остатков, создающих возможность образования дисульфидных связей и, таким образом, ковалентного связывания одной или более пар таких полипептидных цепей друг с другом. Например, было показано, что добавление цистеинового остатка к С-концу такой конструкции позволяет образовываться дисульфидной связи между задействованными полипептидными цепями, которая стабилизирует полученное в результате диатело, без воздействия на характеристики связывания диатела.

Много вариантов таких молекул описано (см. например, публикации патентов США № 2015/0175697; 2014/0255407; 2014/0099318; 2013/0295121; 2010/0174053; 2009/0060910; 2007-0004909; публикации европейских патентов № EP 2714079; EP 2601216; EP 2376109; EP 2158221; EP 1868650 и международные публикации согласно РСТ № WO 2012/162068; WO 2012/018687; WO 2010/080538; WO 2006/113665) и предложено в настоящей заявке.

В данной области техники известны альтернативные конструкции для применения в случаях, когда нужна тетравалентная молекула, но Fc-фрагмент не требуется, включая, без ограничения, тетравалентные тандемные антитела, также называемые "TandAb" (см. например, публикации патентов США № 2005-0079170, 2007-0031436, 2010-0099853, 2011-020667 2013-0189263; публикации европейских патентов № EP 1078004, EP 2371866, EP 2361936 и EP 1293514; публикации согласно РСТ № WO 1999/057150, WO 2003/025018 и WO 2013/013700), которые образованы путем гомодимеризации двух идентичных цепей, каждая из которых содержит домен VH1, VL2, VH2 и VL2.

IV. Предпочтительные биспецифичные в отношении PD-1 х CTLA-4 молекулы.

Один вариант реализации настоящего изобретения относится к молекулам, биспецифичным в отношении PD-1 х CTLA-4, которые способны связываться с "первым эпитопом" и "вторым эпитопом", где указанные эпитопы не идентичны друг другу. Такие биспецифичные молекулы содержат домены "VL1"/"VH1", которые способны связываться с первым эпитопом, и домены "VL2"/"VH2", которые способны связываться со вторым эпитопом. Обозначения "VL1" и "VH1" относятся, соответственно, к ва-

риабельному домену легкой цепи и вариабельному домену тяжелой цепи таких биспецифичных молекул, где указанные домены связываются с "первым" эпитопом. Аналогично, обозначения "VL2" и "VH2" относятся, соответственно, к вариабельному домену легкой цепи и вариабельному домену тяжелой цепи таких биспецифичных молекул, где указанные домены связываются со "вторым" эпитопом. Не имеет значения, обозначен ли конкретный эпитоп как первый или как второй эпитоп; такие обозначения важны только с точки зрения присутствия и ориентации доменов полипептидных цепей молекулы связывания согласно настоящему изобретению. Согласно одному варианту реализации изобретения один такой эпитоп представляет собой эпитоп PD-1 человека, а другой такой эпитоп представляет собой эпитоп СТLА-4. Согласно конкретным вариантам реализации изобретения биспецифичная молекула содержит более двух сайтов связывания эпитопов. Такие биспецифичные молекулы связываются по меньшей мере с одним эпитопом PD-1 и по меньшей мере одним эпитопом СТLА-4 и могут дополнительно связываться с дополнительными эпитопами PD-1 и/или дополнительными эпитопами CTLA-4.

Настоящее изобретение, в частности, относится к молекулам, биспецифичным в отношении PD-1 х CTLA-4 (например, биспецифичным антителам, биспецифичным диателам, тривалентым связывающим молекулам и т.д.), которые содержат связывающие эпитоп фрагменты антитела, которые обеспечивают их способность координированно связываться по меньшей мере с одним эпитопом PD-1 и по меньшей мере с одним эпитопом CTLA-4. Выбор VL- и VH-доменов для полипептидных доменов таких молекул координируется таким образом, чтобы VL-домен и VH-домен одной и той же полипептидной цепи не могли образовывать сайт связывания эпитопа, способный связываться с PD-1 или с CTLA-4. Выбор указанных доменов дополнительно координируется таким образом, чтобы сборка полипептидных цепей, которые образуют указанные биспецифичные в отношении PD-1 х CTLA-4 молекулы, происходила с образованием по меньшей мере одного функционального сайта связывания антигена, специфичного в отношении по меньшей мере одного функционального сайта связывания антигена, специфичного сайта связывания антигена, специфичного в отношении по меньшей мере одного эпитоп CTLA-4.

Настоящее изобретение, в частности, относится к таким молекулам, биспецифичным в отношении PD-1 x CTLA-4, которые проявляют активность, превышающую указанную активность двух моноспецифичных молекул, одна из которых содержит вариабельный домен тяжелой цепи и вариабельный домен легкой цепи антитела, которое связывается с PD-1, и другая из которых содержит вариабельный домен тяжелой цепи и вариабельный домен легкой цепи антитела, которое связывается с CTLA-4. Примеры такой активности включают ослабление активности PD-1, ослабление активности CTLA-4, усиление активации иммунной системы, усиление эффекторной функции, усиление противоопухолевой активности. В настоящей заявке указанное ослабление активности относится к снижению на 10% или более, снижению на 20% или более, снижению на 50% или более, снижению на 80% или более или снижению на 90% или более ингибирующей активности PD-1 и/или CTLA-4 или полному устранению такой ингибирующей активности PD-1 и/или CTLA-4. В настоящей заявке указанное усиление активности относится к усилению на 10% или более, усилению на 20% или более, усилению на 50% или более, усилению на 80% или более или усилению на 90% или более стимулирующей иммунную систему активности, опосредованной или зависимой от экспрессии или присутствия PD-1 и/или CTLA-4, по сравнению с активностью, которую проявляют две моноспецифичные молекулы, одна из которых содержит вариабельный домен тяжелой цепи и вариабельный домен легкой цепи антитела, которое связывается с PD-1, и другая из которых содержит вариабельный домен тяжелой цепи и вариабельный домен легкой цепи антитела, которое связывается с CTLA-4. Примеры активности, приводящей к активации иммунной системы, включают, но не ограничиваются следующими, пролиферацию клетки иммунной системы (например, Т-лимфоцитов, естественных клеток-киллеров (NK-клеток)), продукцию и/или высвобождение иммунными клетками цитокинов, продукцию и/или высвобождение иммунными клетками литических молекул (например, гранзима, перфорина и т.д.) и/или экспрессию иммунными клетками маркеров активации. Цитокины, которые высвобождаются при активации иммунной системы, известны в данной области техники и включают, но не ограничиваются следующими: IFNy, IL-2 и TNFa, (см. например, Janeway, C.A. et al. 2011) Immunobiology" 8th ed. Garland Science Publishing, NY; Banyer, J.L. (2000) "Cytokines in innate and adaptive immunity" Rev Immunogenet. 2:359-373). Маркеры активации, экспрессируемые иммунными клетками, известны в данной области техники и включают, но не ограничиваются следующими: СD69, CD25 и CD107a (см. например, Janeway, C.A. et al. (2011) IMMUNOBIOLOGY" 8th ed. Garland Science Publishing, NY; Shipkova, M. и Wieland, E. (2012) "Surface markers of lymphocyte activation and markers of cell proliferation", Clin Chim Acta 413:1338-1349).

А. Биспецифичные в отношении PD-1 x CTLA-4 антитела.

Настоящее изобретение включает биспецифичные антитела, способные одновременно связываться с PD-1 и CTLA-4. Согласно некоторым вариантам реализации изобретения биспецифичное антитело, способное одновременно связываться с PD-1 и CTLA-4, получают с помощью любого из способов, описанных в международных публикациях согласно PCT № WO 1998/002463, WO 2005/070966, WO 2006/107786 WO 2007/024715, WO 2007/075270, WO 2006/107617, WO 2007/046893, WO 2007/146968, WO 2008/003103, WO 2008/003116, WO 2008/027236, WO 2008/024188, WO 2009/132876, WO 2009/018386, WO 2010/028797, WO2010028796, WO 2010/028795, WO 2010/108127, WO 2010/136172,

WO 2011/086091, WO 2011/133886, WO 2012/009544, WO 2013/003652, WO 2013/070565, WO 2012/162583, WO 2012/156430, WO 2013/174873 и WO 2014/022540, каждая из которых таким образом полностью включена в настоящую заявку посредством ссылки.

В. Биспецифичные в отношении PD-1 x CTLA-4 диатела без Fc-фрагментов.

Один вариант реализации настоящего изобретения относится к биспецифичным диателам, которые содержат и, наиболее предпочтительно, состоят из, первой полипептидной цепи и второй полипептидной цепи, последовательности которых позволяют полипептидным цепям ковалентно связываться друг с другом с образованием ковалентно связынного диатела, которое способно одновременно связываться с PD-1 и CTLA-4.

Первая полипептидная цепь такого варианта реализации биспецифичных диател содержит (в направлении от N-конца к C-концу) N-конец, VL-домен моноклонального антитела, способный связываться с PD-1 или CTLA-4 (т.е. VL_{PD-1} или VL_{CTLA-4}), первый промежуточный спейсерный пептид (линкер 1), VH-домен моноклонального антитела, способный связываться с CTLA-4 (если указанная первая полипептидная цепь содержит VL_{PD-1}) или с PD-1 (если указанная первая полипептидная цепь содержит VL_{CTLA-4}), второй промежуточный спейсерный пептид (линкер 2), необязательно содержащий цистеиновый остаток, стимулирующий образование гетеродимера домен, и C-конец (фиг. 1).

Вторая полипептидная цепь указанного варианта реализации биспецифичных диател содержит (в направлении от N-конца к C-концу) N-конец, VL-домен моноклонального антитела, способного связываться с PD-1 или CTLA-4 (т.е. VL_{PD-1} или VL_{CTLA-4} , где VL-домен не включен в первую полипептидную цепь диатела), промежуточный спейсерный пептид (линкер 1), VH-домен моноклонального антитела, способного связываться с CTLA-4 (если указанная вторая полипептидная цепь содержит VL_{PD-1}) или с PD-1 (если указанная вторая полипептидная цепь содержит VL_{CTLA-4}), второй промежуточный спейсерный пептид (линкер 2), необязательно содержащий цистеиновый остаток, стимулирующий образование гетеродимера домен и C-конец (фиг. 1).

VL-домен первой полипептидной цепи взаимодействует с VH-доменом второй полипептидной цепи с образованием первого функционального сайта связывания антигена, специфичного в отношении первого антигена (т.е. PD-1 или CTLA-4). Аналогично, VL-домен второй полипептидной цепи взаимодействует с VH-доменом первой полипептидной цепи с образованием второго функционального сайта связывания антигена, специфичного в отношении второго антигена (т.е. CTLA-4 или PD-1). Таким образом, выбор VL- и VH-доменов первой и второй полипептидных цепей координируют таким образом, чтобы две полипептидные цепи диатела вместе содержали VL- и VH-домены, способные связываться как с эпитопом PD-1, так и с эпитопом CTLA-4 (т.е. совместно содержали VL_{PD-1}/VH_{PD-1} и VL_{CTLA-4}/VH_{CTLA-4}).

Длина промежуточного линкерного пептида (линкер 1, который разделяет указанные VL- и VH-домены) наиболее предпочтительно выбрана таким образом, чтобы по существу или полностью предотвращать связывание VL- и VH-доменов полипептидной цепи друг с другом (например, длина промежуточного линкера составляет от 0, 1, 2, 3, 4, 5, 6, 7, 8 или 9 аминокислотных остатков). Таким образом, VL-и VH-домены первой полипептидной цепи по существу или полностью не способны связываться друг с другом. Аналогично, VL- и VH-домены второй полипептидной цепи по существу или полностью не способны связываться друг с другом. Предпочтительный промежуточный спейсерный пептид (линкер 1) имеет последовательность (SEQ ID NO: 5): GGGSGGGG.

Длину и состав второго промежуточного спейсерного пептида (линкер 2) выбирают на основе выбора одного или более полипептидных доменов, способствующих указанной димеризации (т.е. "способствующих образованию гетеродимера доменов"). Обычно второй промежуточный спейсерный пептид (линкер 2) содержит 3-20 аминокислотных остатка. В частности, когда используемый стимулирующий образование гетеродимера домен (домены) содержит/не содержит цистеиновый остаток, используется второй цистеинсодержащий промежуточный спейсерный пептид (линкер 2). Второй цистеинсодержащий промежуточный спейсерный пептид (линкер 2) содержит 1, 2, 3 или более цистеинов. Предпочтительный цистеинсодержащий спейсерный пептид (линкер 2) имеет последовательность SEQ ID NO: 6: GGCGGG. В качестве альтернативы, Линкер 2 не содержит цистеин (например, GGG, GGGS (SEQ ID NO: 7), LGGGSG (SEQ ID NO: 8), GGGSGGGSGGG (SEQ ID NO: 9), ASTKG (SEQ ID NO: 10), LEPKSS (SEQ ID NO: 11), APSSS (SEQ ID NO: 12) и т.д.), и используется цистеинсодержащий стимулирующий образование гетеродимера домен, как описано ниже. Необязательно, используют как цистеинсодержащий линкер 2, так и цистеинсодержащий стимулирующий образование гетеродимера домен.

Стимулирующие образование гетеродимера домены могут представлять собой GVEPKSC (SEQ ID NO: 13), или VEPKSC (SEQ ID NO: 14), или AEPKSC (SEQ ID NO: 15) на одной полипептидной цепи и GFNRGEC (SEQ ID NO: 16) или FNRGEC (SEQ ID NO: 17) на другой полипептидной цепи (US2007/0004909).

Согласно предпочтительному варианту реализации изобретения стимулирующие образование гетеродимера домены содержат тандемно повторяющиеся спиральные домены с противоположным зарядом, например, спиральные домены "E-coil"(SEQ ID NO:18: EVAALEK-EVAALEK-EVAALEK), глутаматные остатки которых будут иметь отрицательный заряд при рН 7, и "K-спиральные" домены (SEQ ID NO: 19: KVAALKE-KVAALKE-KVAALKE-KVAALKE), лизиновые остатки которых будут иметь положительный заряд при рН 7.

Присутствие таких заряженных доменов способствует связыванию между первым и вторым полипептидами и, таким образом, способствует образованию гетеродимера. Можно применять стимулирующие образование гетеродимера домены, которые содержат такие модификации описанных выше последовательностей E-coil и K-coil, которые обеспечивают включение одного или более цистеиновых остатков. Присутствие таких цистеиновых остатков допускает ковалентное связывание спирального домена, присутствующего на одной полипептидной цепи, с комплементарным спиральным доменом, присутствующим на другой полипептидной цепи, обеспечивая, таким образом ковалентное связывание полипептидных цепей друг с другом и повышая стабильность диатела. Примеры таких предпочтительных стимулирующих образование гетеродимера доменов, в частности, включают модифицированный домен E-coil, имеющий аминокислотную последовательность <u>EVAACE</u>K-<u>EVAALE</u>K-<u>EVAALE</u>K-<u>EVAALE</u>K (SEQ ID NO: 20), и модифицированный домен K-coil, имеющий аминокислотную последовательность куласке-куласке-куласке (SEQ ID NO: 21)

Как описано в международной публикации патентной заявки WO 2012/018687, для улучшения фармакокинетических свойств диател in vivo, диатело можно модифицировать таким образом, чтобы оно содержало полипептидную часть связывающегося с сывороткой крови белка на одном или более концах указанного диатела. В наиболее предпочтительном варианте такая полипептидная часть связывающегося с сывороткой белка добавлена на С-конце диатела. Альбумин представляет собой самый распространенный белок в плазме крови, время полужизни которого у людей составляет 19 суток. Альбумин содержит несколько сайтов связывания малых молекул, которые позволяют ему нековалентно связываться с другими белками и таким образом увеличивать их время полужизни в сыворотке. Альбумин-связывающий домен 3 (ABD3) белка G штамма Streptococcus G148 состоит из 46 аминокислотных остатков, образующих стабильную трехспиральную нить, и обладает высокой специфичностью связывания с альбумином (Johansson, M.U. et al. (2002) "Structure, Specificity, And Mode Of Interaction For Bacterial Albumin-Binding Modules" J. Biol. Chem. 277(10):8114-8120). Таким образом, особо предпочтительная полипептидная часть связывающегося с сывороткой крови белка для улучшения фармакокинетических свойств диатела in vivo, представляет собой альбумин-связывающий домен (ABD) из белка G стрептококка, и более предпочтительно, альбумин-связывающий домен 3 (ABD3) белка G штамма Streptococcus G148 (SEQ ID NO: 22): LAEAKVLANR ELDKYGVSDY YKNLIDNAKS AEGVKALIDE ILAALP.

Как описано в международной публикации патентной заявки WO 2012/162068 (которая включена в настоящую заявку посредством ссылки), "деиммунизированные" варианты SEQ ID NO: 22 способны ослаблять или предотвращать связывание ГКГС класса ІІ. По результатам комбинирования мутаций следующие далее комбинации замен считаются предпочтительными для образования такого деиммунизированного ABD: 66D/70S +71A; 66S/70S +71A; 66S/70S +79A; 64A/65A/71A; 64A/65A/71A+66S; 64A/65A/71A+66D; 64A/65A/71A+66E; 64A/65A/79A+66S; 64A/65A/79A+66D; 64A/65A/79A+66E. Варианты ABD, имеющие модификации L64A, I65A и D79A, или модификации N66S, T70S и D79A. Вариант деиммунизированного ABD, имеющего аминокислотную последовательность

Laeakvlanr eldkygvsdy yknli ${f D}_{66}$ nak ${f S}_{70}$ ${f A}_{71}$ egvkalide ilaalp (${f SEQ}$

ID NO:23),

или аминокислотную последовательность

LAEAKVLANR ELDKYGVSDY YKN $\underline{\mathbf{A}}_{64}\underline{\mathbf{A}}_{65}$ NNAKT VEGVKALI $\underline{\mathbf{A}}_{79}$ E ILAALP (\mathbf{SEQ}

ID NO:24),

или аминокислотную последовательность

LAEAKVLANR ELDKYGVSDY YKNLIS₆₆NAKS₇₀ VEGVKALIA₇₉E ILAALP (SEQ

ID NO:25),

в частности, являются предпочтительными для использования в качестве такого деиммунизированного АВО и по существу проявляют связывание, соответствующее связыванию молекулы дикого типа, обеспечивая при этом ослабление связывания молекул МНС класса ІІ. Таким образом, первая полипептидная цепь такого диатела, содержащего ABD, содержит третий линкер (линкер 3), предпочтительно расположенный со стороны С-конца по отношению к домену E-coil (или K-coil) такой полипептидной цепи таким образом, что располагается между доменом E-coil (или K-coil) и ABD (который предпочтительно представляет собой деиммунизированный ABD). Предпочтительная последовательность для такого линкера 3 представляет собой SEQ ID NO: 7: GGGS

С. Биспецифичные в отношении PD-1 х СТLА-4 диатела, содержащие Fc-фрагменты.

Один вариант реализации настоящего изобретения относится к биспецифичным содержащим Fcфрагмент диателам, способным одновременно связываться с PD-1 и CTLA-4. Добавление домена CH2-СНЗ IgG к одной или обеим из полипептидных цепей диатела таким образом, что объединение цепей указанного диатела приводит к образованию Fc-фрагмента, повышает биологическое время полужизни и/или изменяет валентность диатела. Включение доменов CH2-CH3 IgG в обе полипептидные цепи указанного диатела позволяет образование двухцепочечного биспецифичного содержащего Fc-фрагмент диатела (фиг. 2).

В качестве альтернативы, включение доменов CH2-CH3 IgG только в одну из полипептидных цепей диатела дает возможность образования более сложного четырехцепочечного биспецифичного содержащего Fc-фрагмент диатела ((фиг. 3А-3С). На фиг. 3С показано типичное четырехцепочечное диатело, содержащее константный домен легкой цепи (СL) и константный домен тяжелой цепи СН1, однако в качестве альтернативы можно применять фрагменты таких доменов, а также других полипептидов (см. например, (фиг. 3А и 3В, публикации патентов США № 2013-0295121; 2010-0174053 и 2009-0060910; публикации европейских патентов № ЕР 2714079; ЕР 2601216; ЕР 2376109; ЕР 2158221 и международные публикации согласно РСТ № WO 2012/162068; WO 2012/018687; WO 2010/080538). Таким образом, например, вместо домена СН1 можно применять пептид, имеющий аминокислотную последовательность GVEPKSC (SEQ ID NO: 13), VEPKSC (SEQ ID NO: 14) или AEPKSC (SEQ ID NO: 15), полученный из шарнирного участка IgG человека, а вместо домена CL можно применять 6 С-концевых аминокислот легкой каппа-цепи иммунноглобулина человека, GFNRGEC (SEQ ID NO: 16) или FNRGEC (SEQ ID NO: 17). Типичное пептид-содержащее четырехцепочечное диатело показано на фиг. 3А. В качестве альтернативы или дополнительно можно применять пептид, содержащий тандемные спиральные домены с прозарядом, такие как спиральные домены "E-coil" (SEO тивоположным EVAALEK-EVAALEK-EVAALEK или SEQ ID NO: 19: EVAACEK-EVAALEK-EVAALEK) и домены "K-coil" (SEQ ID NO: 20: kvaalke-kvaalke-kvaalke или SEQ ID NO: 21: kvaacke-kvaalke-kvaalke). Пример содержащего спиральный домен четырехцепочечного диатела показан на фиг. 3В.

Биспецифичные содержащие Fc-фрагмент молекулы согласно настоящему изобретению могут содержать дополнительные промежуточные спейсерные пептиды (линкеры). Такие линкеры обычно встраивают между стимулирующим образование гетеродимера доменом пептида (например, E-coil или K-coil) и доменами CH2-CH3 и/или между доменами CH2-CH3 и вариабельным доменом (т.е. VH или VL). Обычно дополнительные линкеры содержат 3-20 аминокислотных остатков. Линкеры, которые можно применять в биспецифичных содержащих Fc-фрагмент молекулах диатела согласно настоящему изобретению включают: GGGS (SEQ ID NO: 7), LGGGSG (SEQ ID NO: 8), GGGSGGGSGGG (SEQ ID NO: 9), ASTKG (SEQ ID NO: 10), DKTHTCPPCP (SEQ ID NO: 26), EPKSCDKTHTCPPCP (SEQ ID NO: 27), LEPKSS (SEQ ID NO: 11), APSSS (SEQ ID NO:28) и APSSSPME (SEQ ID NO: 29), LEPKSADKTHTCPPC SEQ ID NO: 30), GGC и GGG. SEQ ID NO: 11 можно применять вместо GGG или GGC для облегчения клонирования. Кроме того, за аминокислотами GGG или SEQ ID NO: 11 может сразу следовать последовательность SEQ ID NO: 26 с образованием альтернативных линкеров: GGGDKTHTCPPCP (SEQ ID NO: 31) и LEPKSSDKTHTCPPCP (SEQ ID NO: 32). Биспецифичные содержащие Fc-фрагмент молекулы согласно настоящему изобретению могут включать шарнирный участок IgG в дополнение к линкеру или вместо него. Примеры шарнирных участков включают: EPKSCDKTHTCPPCP (SEQ ID NO: 33) из IgG1, ERKCCVECPPCP (SEQ ID NO: 34) из IgG2, ESKYGPPCPSCP (SEQ ID NO:35) из IgG4 и ESKYGPPCPECP (SEQ ID NO: 36) вариант шарнирного участка IgG4, содержащий стабилизирующую замену S228P (при нумерации в соответствии с индексом ЕС по Кэбату) для снижения скорости обмена цепей.

Как показано на фиг. 3А-3С, биспецифичные содержащие Fc-фрагмент диатела согласно изобретению могут содержать четыре различные цепи. Первая и третья полипептидные цепи такого диатела содержат три домена: (i) VL1 -содержащий домен, (ii) VH2-содержащий домен, (iii) стимулирующий образование гетеродимера домен и (iv) домен, содержащий последовательность CH2-CH3. Вторая и четвертая полипептидные цепи содержат: (i) VL2-содержащий домен, (ii) VH1 -содержащий домен и (iii) стимулирующий образование гетеродимера домен, где указанные стимулирующие образование гетеродимера домены способствуют димеризации первой/третьей полипептидных цепей со второй/четвертой полипептидными цепями. Домены VL и/или VH третьей и четвертой полипептидных цепей и домены VL и/или VH первой и второй полипептидных цепей могут быть одинаковыми или могут различаться таким образом, чтобы позволять тетравалентное связывание, которое является моноспецифичным, биспецифичным или тетраспецифичным. Обозначения "VL3" и "VH3" относятся, соответственно, к вариабельному домену легкой цепи и вариабельному домену тяжелой цепи указанного диатела, которые связываются с "третьим" эпитопом. Аналогично, обозначения "VL4" и "VH4" относятся, соответственно, к вариабельному домену легкой цепи и вариабельному домену тяжелой цепи указанного диатела, которые связываются с "четвертым" эпитопом. Общая структура полипептидных цепей типичных четырехцепочечных биспецифичных содержащих Fc-фрагмент диател согласно изобретению представлена в табл. 1.

		<u> </u>			
Таблица 1					
Биспецифичная молекула	2-я цепь	NH ₂ -VL2-VH1-HPD-COOH			
	1-я цепь	NH ₂ -VL1-VH2-HPD-CH2-CH3-COOH			
	1-я цепь	NH ₂ -VL1-VH2-HPD-CH2-CH3-COOH			
	2-я цепь	NH ₂ -VL2-VH1-HPD-COOH			
Тетраспецифичная молекула	2-я цепь	NH ₂ -VL2-VH1-HPD-COOH			
	1-я цепь	NH ₂ -VL1-VH2-HPD-CH2-CH3-COOH			
	3-я цепь	NH ₂ -VL3-VH4-HPD-CH2-CH3-COOH			
	4-я цепь	NH2-VL4-VH3-HPD-COOH			

HPD = стимулирующий образование гетеродимера домен.

Согласно конкретному варианту реализации изобретения диатела согласно настоящему изобретению представляют собой биспецифичные тетравалентные (т.е. обладающие четырьмя сайтами связывания эпитопа) Fc-содержащие диатела, которые состоят из четырех (общее число) полипептидных цепей

(фиг. 3A-3C). Биспецифичные тетравалентные Fc-содержащие диатела согласно изобретению содержат два сайта связывания эпитопа, обладающих иммунноспецифичностью в отношении PD-1 (которые могут быть способны связываться с одним или с разными эпитопами PD-1), и два сайта связывания эпитопа, обладающих иммунноспецифичностью в отношении CTLA-4 (которые могут быть способны связываться с одним или с разными эпитопами CTLA-4).

Согласно другому варианту реализации изобретения биспецифичные содержащие Fc-фрагмент диатела могут содержать три полипептидные цепи. Первый полипептид такого диатела содержит три домена: (i) VL1 -содержащий домен, (ii) VH2-содержащий домен и (iii) домен, содержащий последовательность CH2-CH3. Второй полипептид такого диатела содержит: (i) VL2-содержащий домен, (ii) VH1 - содержащий домен и (iii) домен, способствующий гетеродимеризации и образованию ковалентной связи с первой полипептидной цепью указанного диатела. Третий полипептид такого диатела содержит последовательность CH2-CH3. Таким образом, первая и вторая полипептидные цепи такого диатела соединяются вместе с образованием сайта связывания VL1/VH1, который способен связываться с первым эпитопом (т.е. PD-1 или CTLA-4), а также сайта связывания VL2/VH2, который способен связываться со вторым эпитопом (т.е. CTLA-4 или PD-1). Первый и второй полипептиды связаны друг с другом через дисульфидную связь, включающую цистеиновые остатки в соответствующих третьих доменах. Следует отметить, что первая и третья полипептидные цепи объединяются друг с другом с образованием Fсфрагмента, который стабилизируется через дисульфидную связь. Такие биспецифичные диатела обладают повышенной активностью. На фиг. 4A и 4B показаны структуры таких диател. Такие содержащие Fсфрагмент биспецифичные диатела могут иметь любую из двух ориентаций (табл. 2).

Таблица 2					
	3-я цепь	NH₂-CH2-CH3-COOH			
Первая ориентация	1-я цепь	NH ₂ -VL1-VH2-HPD-CH2-CH3-COOH			
	2-я цепь	NH ₂ -VL2-VH1-HPD-COOH			
Вторая ориентация	3-я цепь	NH ₂ -CH ₂ -CH ₃ -COOH			
	1-я цепь	NH ₂ -CH ₂ -CH ₃ -VL ₁ -VH ₂ -HPD-COO			
	2-я цепь	NH ₂ -VL2-VH1-HPD-COOH			

HPD = стимулирующий образование гетеродимера домен.

Согласно конкретному варианту реализации изобретения диатела согласно настоящему изобретению представляют собой биспецифичные бивалентные (т.е. содержащие два сайта связывания эпитопа) Fc-содержащие диатела, которые в общем состоят из трех полипептидных цепей ((фиг. 4A-4B). Биспецифичные бивалентные Fc-содержащие диатела согласно изобретению содержат один сайт связывания эпитопа, обладающий иммунноспецифичностью в отношении PD-1, и один сайт связывания эпитопа, обладающий специфичностью в отношении CTLA-4.

Согласно другому варианту реализации изобретения биспецифичные содержащие Fc-фрагмент диатела могут в общем содержать пять полипептидных цепей. Согласно конкретному варианту реализации изобретения две из пяти полипептидных цепей имеют одинаковую аминокислотную последовательность. Первая полипептидная цепь такого диатела содержит: (i) VH1-содержащий домен, (ii) CH1-содержащий домен и (ііі) домен, содержащий последовательность СН2-СН3. Первая полипептидная цепь может представлять собой тяжелую цепь антитела, которая содержит VH1 и константную область тяжелой цепи. Вторая и пятая полипептидные цепи такого диатела содержат: (i) VL1-содержащий домен и (ii) CLсодержащий домен. Вторая и/или пятая полипептидные цепи такого диатела могут представлять собой легкие цепи антитела, которые содержат VL1, комплементарный VH1 первой/третьей полипептидной цепи. Первая, вторая и/или пятая полипептидные цепи могут быть выделены из природного антитела. В качестве альтернативы, указанные цепи могут быть сконструированы рекомбинантным путем. Третья полипептидная цепь такого диатела содержит: (i) VH1-содержащий домен, (ii) CH1-содержащий домен, (iii) домен, содержащий последовательность CH2-CH3, (iv) VL2-содержащий домен, (v) VH3содержащий домен и (vi) стимулирующий образование гетеродимера домен, где указанные стимулирующие образование гетеродимера домены способствуют димеризации третьей цепи с четвертой цепью. Четвертый полипептид таких диател содержит: (i) VL3-содержащий домен, (ii) VH2-содержащий домен и (iii) домен, способствующий гетеродимеризации, и образует ковалентную связь с третьей полипептидной цепью указанного диатела.

Таким образом, первая, вторая, третья и пятая полипептидные цепи таких диател соединяются вместе с образованием двух сайтов связывания VL1/VH1, способных связываться с первым эпитопом. Третья и четвертая полипептидные цепи таких диател связываются вместе с образованием сайта связывания VL2/VH2, который способен связываться со вторым эпитопом, а также сайта связывания VL3/VH3, который способен связываться с третьим эпитопом. Первый и третий полипептиды связаны друг с другом через дисульфидную связь, включающую цистеиновые остатки в соответствующих константных областях. Следует отметить, что первая и третья полипептидные цепи объединяются друг с другом с образованием Fc-фрагмента. Такие биспецифичные диатела обладают повышенной активностью. На фиг. 5 показана структура таких диател. Следует понимать, что домены VL1/VH1, VL2/VH2 и VL3/VH3 могут

быть одинаковыми или могут различаться таким образом, чтобы позволить связывание, которое является моноспецифичным, биспецифичным или триспецифичным. Однако, как предложено в настоящей заявке, указанные домены предпочтительно выбраны таким образом, чтобы обеспечивать связывание с PD-1 и CTLA-4.

VL- и VH-домены полипептидных цепей выбраны таким образом, чтобы образовывать сайт связывания VL/VH, специфичный в отношении желаемого эпитопа. VL/VH сайты связывания, образованные путем соединения полипептидных цепей, могут быть одинаковыми или различаться таким образом, чтобы позволять тетравалентное связывание, которое является моноспецифичным, биспецифичным, триспецифичным или тетраспецифичным. В частности, VL- и VH-домены могут быть выбраны таким образом, что биспецифичное диатело может содержать два сайта связывания для первого эпитопа и два сайта связывания для второго эпитопа или три сайта связывания для первого эпитопа и один сайт связывания для второго эпитопа или два сайта связывания для первого эпитопа, один сайт связывания для второго эпитопа и один сайт связывания для третьего эпитопа (как изображено на фиг. 5). Общая структура полипептидных цепей типичных пятицепочечных содержащих Fc-фрагмент диател согласно изобретению представлена в табл. 3.

Таблица З				
Биспецифичные молекулы (2x2)	2-я цепь	NH ₂ -VL1-CL-COOH		
	1-я цепь	NH ₂ -VH1-CH1-CH2-CH3-COOH		
	3-я цепь	NH ₂ -VH1-CH1-CH2-CH3-VL2-VH2-HPD-COOH		
	5-я цепь	NH ₂ -VL1-CL-COOH		
	4-я цепь	NH ₂ -VL2-VH2-HPD-COOH		
Биспецифичные молекулы (3x1)	2-я цепь	NH2-VL1-CL-COOH		
	1-я цепь	NH ₂ -VH1-CH1-CH2-CH3-COOH		
	3-я цепь	NH ₂ -VH ₁ -CH ₁ -CH ₂ -CH ₃ -VL ₁ -VH ₂ -HPD-COOH		
	5-я цепь	NH2-VL1-CL-COOH		
	4-я цепь	NH ₂ -VL2-VH1-HPD-COOH		
Триспецифичные молекулы (2x1x1)	2-я цепь	NH2-VL1-CL-COOH		
	1-я цепь	NH ₂ -VH1-CH1-CH2-CH3-COOH		
	3-я цепь	NH ₂ -VH1-CH1-CH2-CH3-VL2-VH3-HPD-COOF		
	5-я цепь	NH2-VL1-CL-COOH		
	4-я цепь	NH ₂ -VL3-VH2-HPD-COOH		

HPD = стимулирующий образование гетеродимера домен.

Согласно конкретному варианту реализации изобретения диатела согласно настоящему изобретению представляют собой биспецифичные тетравалентные (т.е. содержащие четыре сайта связывания эпитопа) Fc-содержащие диатела, которые состоят из пяти (общее число) полипептидных цепей, содержащих два сайта связывания эпитопа, обладающих иммунноспецифичностью в отношении PD-1 (которые могут быть способны связываться с одним или с разными эпитопами PD-1) и два сайта связывания эпитопа, специфичных в отношении CTLA-4 (которые могут быть способны связываться с одним или с разными эпитопами CTLA-4). Согласно другому варианту реализации изобретения биспецифичные тетравалентные Fc-содержащие диатела согласно изобретению содержат три сайта связывания эпитопа, обладающих иммунноспецифичностью в отношении PD-1 (которые могут быть способны связываться с одним или с двумя или тремя разными эпитопами PD-1) и один сайт связывания эпитопа, специфичный в отношении CTLA-4. Согласно другому варианту реализации изобретения биспецифичные тетравалентные Fc-содержащие диатела согласно изобретению содержат один сайт связывания эпитопа, обладающий иммунноспецифичностью в отношении PD-1, и три сайта связывания эпитопа, специфичных в отношении CTLA-4 (которые могут быть способны связываться с одним или с двумя или тремя разными эпитопами CTLA-4).

D. Биспецифичные в отношении PD-1 x CTLA-4 тривалентые связывающие молекулы, содержащие Fc-фрагменты.

Дополнительный вариант реализации настоящего изобретения относится к биспецифичным тривалентым связывающим молекулам, содержащим Fc-фрагмент, способным одновременно связываться с эпитопом PD-1 и эпитопом, присутствующим на CTLA-4. Такие биспецифичные тривалентные связывающие молекулы содержат три сайта связывания эпитопа, два из которых представляют собой домены связывания по типу диатела, которые обеспечивают сайт связывания A и сайт связывания B, и один из которых представляет собой домен связывания по типу Fab-фрагмента (или домен связывания типа scFv), который обеспечивает сайт связывания С (см. например, (фиг. 6A-6F и заявки PCT № PCT/US15/33081 и PCT/US15/33076). Такие биспецифичные тривалентные молекулы, таким образом, содержат домены "VL1"/"VH1", которые способны связываться с первым эпитопом, домены "VL2"/"VH2", которые способны связываться с первым эпитопом, домены "VL2"/"VH2", которые способны связываться с вторым эпитопом, и домены "VL3" и "VH3", которые способны связываться с "третьим" эпитопом такой тривалентной молекулы. "Домен связывания по типу диатела" представляет собой тип сайта связывания эпитопа, присутствующего на диателе и, в частности, диателе DART®, как описано выше. Каждый из "домена связывания по типу Fab" и "домена связывания по типу scFv" представляет собой сайт связывания эпитопа, которые образуется путем взаимодействия

VL-домена легкой цепи иммунноглобулина и комплементарного VH-домена тяжелой цепи иммунноглобулина. Домены связывания по типу Fab отличаются от домена связывания по типу диатела тем, что две полипептидные цепи, которые образуют домен связывания по типу Fab, содержат только один сайт связывания эпитопа, тогда как две полипептидные цепи, которые образуют домен связывания типа диатела содержат по меньшей мере два сайта связывания эпитопа. Аналогично, домены связывания по типу scFv также отличаются от домена связывания по типу диатела тем, что они содержат только один сайт связывания эпитопа. Таким образом, при использовании в настоящей заявке домены связывания по типу Fab и по типу scFv отличаются от домена связывания по типу диатела.

Обычно тривалентные связывающие молекулы согласно настоящему изобретению содержат четыре различные полипептидные цепи (см. (фиг. 6A-6B), однако молекулы могут содержать меньшее или большее количество полипептидных цепей, например, в результате слияния таких полипептидных цепей друг с другом (например, через пептидную связь) или в результате разделения таких полипептидных цепей с образованием дополнительных полипептидных цепей или в результате соединения меньшего количества или дополнительных полипептидных цепей через дисульфидные связи. (фиг. 6C-6F иллюстрируют указанный аспект настоящего изобретения при помощи схематичного изображения таких молекул, содержащих три полипептидные цепи. Как представлено на фиг. 6A-6F, тривалентные связывающие молекулы согласно настоящему изобретению могут иметь альтернативные варианты ориентации, при которых домен связывания по типу диатела расположен со стороны N-конца ((фиг. 6A, 6C и 6D) или C-конца ((фиг. 6B, 6E и 6F) по отношению к Fc-фрагменту.

Согласно конкретным вариантам реализации первая полипептидная цепь таких тривалентных связывающих молекул согласно настоящему изобретению содержит: (i) VL1-содержащий домен, (ii) VH2содержащий домен, (iii) стимулирующий образование гетеродимера домен и (iv) домен, содержащий последовательность CH2-CH3. Домены VL1 и VL2 расположены со стороны N-конца или со стороны Сконца по отношению к СН2-СН3-содержащему домену, как представлено в табл. 4 (см. также (фиг. 6А и 6В). Вторая полипептидная цепь таких вариантов реализации тривалентных связывающих молекул содержит: (i) VL2-содержащий домен, (ii) VH1-содержащий домен и (iii) стимулирующий образование гетеродимера домен. Третья полипептидная цепь таких вариантов реализации тривалентных связывающих молекул содержит: (i) VH3-содержащий домен, (ii) CH1-содержащий домен и (iii) домен, содержащий последовательность СН2-СН3. Третья полипептидная цепь может представлять собой тяжелую цепь антитела, которая содержит VH3 и константную область тяжелой цепи, или полипептид, который содержит указанные домены. Четвертый полипептид таких вариантов реализации содержит: (i) VL3-содержащий домен и (ii) CL-содержащий домен. Четвертые полипептидные цепи могут представлять собой легкую цепь антитела, которая содержит VL3, комплементарный VH3 третьей полипептидной цепи, или полипептид, который содержит указанные домены. Третью или четвертая полипептидная цепь может быть выделена из природных антител. В качестве альтернативы, указанные полипептидные цепи могут быть созданы рекомбинантным путем, синтетическим путем или другими способами.

Вариабельный домен легкой цепи первой и второй полипептидных цепей отделены от вариабельных доменов тяжелой цепи указанных полипептидных цепей с помощью промежуточного спейсерного пептида, длина которого слишком мала, чтобы позволить доменам VL1/VH2 (или доменам VL2/VH1) указанных цепей соединяться с образованием сайта связывания эпитопа, способного связываться либо с первым, либо со вторым эпитопом. Предпочтительный промежуточный спейсерный пептид (линкер 1), используемый для этой цели, имеет последовательность (SEQ ID NO: 5): GGGSGGGG. Другие домены тривалентных связывающих молекул могут быть разделены одним или более промежуточными спейсерными пептидами (линкерами), необязательно содержащими цистеиновый остаток. В частности, как представлено выше, такие линкеры, как правило, встроены между вариабельными доменами (т.е. VH или VL) и пептидными стимулирующими образование гетеродимера доменами (например, E-coil или K-coil) и между такими пептидными стимулирующими образование гетеродимера доменами (например, E-coil или K-coil) и доменами CH2-CH3. Пример линкеров, применимых для создания тривалентных связывающих молекул, представлены выше и также описаны в заявках согласно РСТ №: PCT/US15/33081 и PCT/US15/33076. Таким образом, первая и вторая полипептидные цепи такой тривалентной связывающей молекулы связываются вместе с образованием сайта связывания VL1/VH1, способного связываться с первым эпитопом, а также сайта связывания VL2/VH2, который способен связываться со вторым эпитопом. Третья и четвертая полипептидные цепи таких тривалентных связывающих молекул связываются вместе с образованием сайта связывания VL3/VH3, который способен связываться с третьим эпитопом.

Как описано выше, тривалентные связывающие молекулы согласно настоящему изобретению могут содержать три полипептида. Трехвалентные связывающие молекулы, содержащие три полипептидные цепи, можно получать путем связывания доменов четвертого полипептида, расположенных со стороны N-конца по отношению к VH3-содержащему домену третьего полипептида (например, с помощью промежуточного спейсерного пептида (линкера 4)). В качестве альтернативы, используют третью полипептидную цепь тривалентной связывающей молекулы согласно изобретению, содержащую следующие домены: (i) VL3-содержащий домен, (ii) VH3-содержащий домен и (iii) домен, содержащий последовательность CH2-CH3, где VL3 и VH3 отделены друг от друга промежуточным спейсерным пептидом, длина

которого является достаточной (составляет по меньшей мере 9 или более аминокислотных остатков) для возможности соединения указанных доменов с образованием сайта связывания эпитопа. Один предпочтительный промежуточный спейсерный пептид, который можно применять для этой цели, имеет последовательность: GGGGSGGGGGGGGGGG (SEQ ID NO: 37).

Следует понимать, что домены VL1/VH1, VL2/VH2 и VL3/VH3 таких тривалентных связывающих молекул могут различаться, обеспечивая возможность связывания, которое является биспецифичным или триспецифичным. Однако, как предложено в настоящей заявке, указанные домены выбраны таким образом, чтобы обеспечивать тривалентную связывающую молекулу, способную связываться с PD-1 и CTLA-4.

В частности, VL- и VH-домены могут быть выбраны таким образом, чтобы тривалентная связывающая молекула содержала два сайта связывания PD-1 (которые могут быть способны связываться с одним эпитопом PD-1 или с разными эпитопами PD-1) и один сайт связывания CTLA-4, или один сайт связывания PD-1 и два сайта связывания CTLA-4 (которые могут быть способны связываться с одним эпитопом CTLA-4 или с разными эпитопами CTLA-4), или один сайт связывания для PD-1, один сайт связывания для CTLA-4 и один сайт связывания для третьего антигена, который не представляет собой PD-1 или CTLA-4. Общая структура полипептидных цепей типичных тривалентных связывающих молекул согласно изобретению представлена на фиг. 6A-6F и в табл. 4

Таблица 4					
Четырехцепочечная молекула 1-й вариант ориентации	2-я цепь	NH ₂ -VL2-VH1-HPD-COOH			
	1-я цепь	NH ₂ -VL1-VH2-HPD-CH2-CH3-COOH			
	3-я цепь	NH ₂ -VH ₃ -CH ₁ -CH ₂ -CH ₃ -COOH			
	2-я цепь	NH ₂ -VL3-CL-COOH			
Четырехцепочечная молекулы 2-я вариант ориентации	2-я цепь	NH ₂ -VL2-VH1-HPD-COOH			
	1-я цепь	NH ₂ -CH2-CH3-VL1-VH2-HPD-COOH			
	3-я цепь	NH ₂ -VH ₃ -CH ₁ -CH ₂ -CH ₃ -COOH			
	2-я цепь	NH ₂ -VL3-CL-COOH			
Трехцепочечная молекула 1-й вариант ориентации	2-я цепь	NH ₂ -VL2-VH1-HPD-COOH			
	1-я цепь	NH ₂ -VL1-VH2-HPD-CH2-CH3-COOH			
	3-я цепь	NH ₂ -VL3-VH3-HPD-CH2-CH3-COOH			
Трехцепочечная молекула 2-й вариант ориентации	2-я цепь	NH ₂ -VL2-VH1-HPD-COOH			
	1-я цепь	NH ₂ -CH2-CH3-VL1-VH2-HPD-COOF			
	3-я цепь	NH ₂ -VL3-VH3-HPD-CH2-CH3-COOH			

HPD = стимулирующий образование гетеродимера домен.

Один вариант реализации настоящего изобретения относится к биспецифичным тривалентым связывающим молекулам, которые содержат два сайта связывания эпитопа для PD-1 и один сайт связывания эпитопа для CTLA-4.

Два сайта связывания эпитопа для PD-1 могут связываться с одним эпитопом или различными эпитопами. Другой вариант реализации настоящего изобретения относится к биспецифичным тривалентым связывающим молекулам, которые содержат один сайт связывания эпитопа для PD-1 и два сайта связывания эпитопа для CTLA-4. Два сайта связывания эпитопа для CTLA-4 могут связываться с одним эпитопом или с разными эпитопами CTLA-4. Как описано выше, такие биспецифичные тривалентные связывающие молекулы могут содержать три, четыре, пять или более полипептидных цепей.

V. Константные домены и Fc-фрагменты.

В настоящей заявке предложены константные домены антитела, применимые для создания биспецифичных в отношении PD-1 х CTLA-4 молекул (например, антител, диател, тривалентных связывающих молекул и т.д.) согласно изобретению.

Предпочтительный домен CL представляет собой CL-домен каппа IgG человека. Аминокислотная последовательность примера домена CL-домена каппа человека представляет собой (SEQ ID NO: 38)

RTVÄAPSVFI FPPSDEQLKS GTASVVCLLN NFYPREAKVQ WKVDNALQSG NSQESVTEQD SKDSTYSLSS TLTLSKADYE KHKVYACEVT HQGLSSPVTK SFNRGEC

В качестве альтернативы, пример CL-домена представляет собой CL-домен лямбда IgG человека. Аминокислотная последовательность примера CL-домена лямбда человека представляет собой (SEQ ID NO: 39)

```
QPKAAPSVTL FPPSSEELQA NKATLVCLIS DFYPGAVTVA WKADSSPVKA
GVETTPSKQS NNKYAASSYL SLTPEQWKSH RSYSCQVTHE GSTVEKTVAP
```

Как предложено в настоящей заявке, биспецифичные в отношении PD-1 х CTLA-4 молекулы согласно изобретению могут содержать Fc-фрагмент. Fc-фрагмент таких молекул согласно изобретению может относиться к любому изотипу (например, IgG1, IgG2, IgG3 или IgG4). Биспецифичные в отношении PD-1 х CTLA-4 молекулы согласно изобретению могут дополнительно содержать CH1-домен и/или шарнирный участок. CH1-домен и/или шарнирный участок при их наличии могут относиться к любому изотипу (например, IgG1, IgG2, IgG3 или IgG4) и предпочтительно относятся к тому же изотипу, что и

желаемый Гс-фрагмент.

Пример CH1-домена представляет собой CH домен IgG1 человека. Аминокислотная последовательность примера CH1 домена IgG1 человека представляет собой (SEQ ID NO: 40)

ASTKGPSVFP LAPSSKSTSG GTAALGCLVK DYFPEPVTVS WNSGALTSGV HTFPAVLQSS GLYSLSSVVT VPSSSLGTQT YICNVNHKPS NTKVDKRV

Пример CH1-домен представляет собой CH домен IgG2 человека. Аминокислотная последовательность примера CH1 домена IgG2 человека представляет собой (SEQ ID NO: 41)

ASTKGPSVFP LAPCSRSTSE STAALGCLVK DYFPEPVTVS WNSGALTSGV HTFPAVLQSS GLYSLSSVVT VPSSNFGTQT YTCNVDHKPS NTKVDKTV

Пример CH1-домена представляет собой домен CH1 IgG4 человека. Аминокислотная последовательность примера CH1-домена IgG4 человека представляет собой (SEQ ID NO: 42)

ASTKGPSVFP LAPCSRSTSE STAALGCLVK DYFPEPVTVS WNSGALTSGV HTFPAVLQSS GLYSLSSVVT VPSSSLGTKT YTCNVDHKPS NTKVDKRV

Один пример шарнирного участка представляет собой шарнирный участок IgG1 человека. Аминокислотная последовательность примера шарнирного участка IgG1 человека представляет собой (SEQ ID NO: 33): EPKSCDKTHTCPPCP.

Другой пример шарнирного участка представляет собой шарнирный участок IgG2 человека. Аминокислотная последовательность примера шарнирного участка IgG2 человека представляет собой (SEQ ID NO: 34): ERKCCVECPPCP.

Другой пример шарнирного участка представляет собой шарнирный участок IgG4 человека. Аминокислотная последовательность примера шарнирного участка IgG4 человека представляет собой (SEQ ID NO: 35): ESKYGPPCPSCP. Как описано в настоящей заявке, шарнирный участок IgG4 может содержать стабилизирующую мутацию, такую как замена S228P. Пример аминокислотной последовательности стабилизированного шарнирного участка IgG4 представляет собой (SEQ ID NO: 36): ESKYGPPCPPCP.

Fc-фрагмент содержащих Fc-фрагмент молекул (например, антител, диател, тривалентных молекул и т.д.) согласно настоящему изобретению может представлять собой полный Fc-фрагмент (например, полный Fc-фрагмент IgG) или только часть Fc-фрагмента. Необязательно Fc-фрагмент содержащей Fc-фрагмент молекулы согласно настоящему изобретению не содержит C-концевой аминокислотный остаток, представляющий собой лизин.

В классических иммунных реакциях взаимодействие комплексов антиген-антитело с иммунными клетками приводит к широкому спектру ответов, варьирующих от эффекторных функций, таких как зависимая от антитела цитотоксичность, дегрануляция тучных клеток и фагоцитоз, до иммунномодулирующих сигналов, таких как сигналы, регулирующие пролиферацию лимфоцитов и секрецию антител. Все из указанных взаимодействий инициируются через связывание Fc-фрагмента антитела или иммунных комплексов со специализированными рецепторами клеточной поверхности на гематопоеэтичеких клетках. Разнообразие клеточных ответов, вызываемых антителами и иммунными комплексами, является результатом структурной гетерогенности трех Fc рецепторов: FcγRI (CD64), FcγRII (CD32) и FcγRIII (CD16). FcγRI (CD64), FcγRIIA (CD32A) и FcγRIII (CD16) являются активирующими рецепторами (т.е. стимулируют иммунную систему); FcγRIIB (CD32B) является ингибирующим рецептором (т.е. подавляет иммунную систему). Кроме того, взаимодействие с неонатальным Fc-рецептором (FcRn) опосредует рециклирование молекул IgG из эндосом к клеточной поверхности и их высвобождение в кровь. Примеры аминокислотной последовательности IgG1 (SEQ ID NO: 1), IgG2 (SEQ ID NO: 2), IgG3 (SEQ ID NO: 3) и IgG4 (SEQ ID NO: 4) дикого типа представлены выше.

Модификация Fc-фрагмента может приводить к изменению фенотипа, например, изменению времени полужизни в сыворотке крови, изменению стабильности, изменению чувствительности к клеточным ферментам или изменению эффекторной функции. Таким образом, может быть желательно модифицировать содержащую Fc-фрагмент биспецифичную в отношении PD-1 х CTLA-4 молекулу согласно настоящему изобретению для изменения ее эффекторной функции, например, для усиления эффективности такой молекулы в лечении рака. Снижение или устранение эффекторной функции является желательным в определенных случаях, например, в случае антител, механизм действия которых включает блокирование или антагонизм, но не уничтожение клеток, содержащих антиген-мишень. Повышение эффекторной функции в целом является желательным, когда действие направлено на нежелательные клетки, такие как опухолевые и чужеродные клетки, где FcγR экспрессируются на низком уровне, например, на опухолеспецифичные В-клетки с низком уровнем FcγRIIB (например, клетки неходжкинской лимфомы, CLL и лимфомы Беркитта). Молекулы согласно изобретению, обладающие такой приобретенной или измененной эффекторной функциональной активностью, применимы для лечения и/или предотвращения заболевания, расстройства или инфекции, при которых повышение эффективности эффекторной функциональной активносты указанных молекул является желаемым.

Таким образом, согласно конкретным вариантам реализации Fc-фрагмент содержащих Fc-фрагмент молекул согласно настоящему изобретению может представлять собой инженерный вариант Fc-фрагмента. Несмотря на то что Fc-фрагмент биспецифичных содержащих Fc-фрагмент молекул согласно настоящему изобретению может обладать способностью связываться с одним или более Fc-рецепторами

(например, FcγR)), более предпочтительно, такой вариант Fc-фрагмента обладает измененным связыванием с FcγRIA (CD64), FcγRIIA (CD32A), FcγRIIB (CD32B), FcγRIIIA (CD16a) или FcγRIIIB (CD16b) (по сравнению со связыванием, которое проявляет Fc-фрагмент дикого типа), например, имеет повышенную способность связывания с активирующим рецептором и/или имеет значительно сниженную способность или не имеет способности связываться с ингибирующим рецептором (рецепторами). Таким образом, Fc-фрагмент содержащих Fc-фрагмент молекул согласно настоящему изобретению может содержать некоторые или все из CH2 доменов и/или некоторые или все из CH3 доменов полноразмерного Fc-фрагмента или может содержать вариант последовательности CH2 и/или вариант последовательности CH3 (который может содержать, например, одну или более инсерций и/или одну или более делеций по сравнению с доменами CH2 или CH3 полноразмерного Fc-фрагмента). Такие Fc-фрагменты могут содержать не представляющие собой Fc полипептидный части или части неприродных полноразмерных Fc-фрагментов или могут иметь неестественную ориентацию доменов CH2 и/или CH3 (например: два домена CH2 или два домена CH3 или CH3 домен, связанный с доменом CH2 в направлении от N-конца к C-концу, и т.д.

Модификации Fc-фрагмента, идентифицированные как изменяющие эффекторные функции, известны в данной области техники, включая модификации, которые повышают связывание с активирующими рецепторами (например, FcγRIIA (CD16A) и снижают связывание с ингибирующими рецепторами (например, FcγRIIB (CD32B) (см. например, Stavenhagen, J.B. et al. (2007) "Fc Optimization Of Therapeutic Antibodies Enhances Their Ability To Kill Tumor Cells In Vitro And Controls Tumor Expansion In Vivo Via Low-Affinity Activating Fcgamma Receptors" Cancer Res. 57(18):8882-8890). В табл. 5 перечислены примеры одной, двух, трех, четырех и пяти замен (по сравнению с аминокислотной последовательностью SEQ ID NO: 1) примеров модификаций, которые повышают связывание с активирующими рецепторами и/или снижают связывание с ингибирующими рецепторами.

	Ta	блица 5					
Варианты предпочтительных активирующих замен Fc-фрагментов							
Варианты с одной заменой							
F243L	R292G	D270E	R292P				
Y300L	P396L						
Варианты с двумя заменами							
F243L и R292P	F243L и Y300L	F243L и P396L	R292P и Y300L				
D270E и P396L	R292P и V305I	Р396L и Q419H	P247L и N421K				
R292P и P396L	Y300L и P396L	R255L и P396L	R292P и P305I				
K392T и P396L							
Варианты с тремя	заменами						
F243L, P247L и N42	21K	P247L, D270E и N-	P247L, D270E и N421K				
F243L, R292P и Y30	00L	R255L, D270E и P2	R255L, D270E и P396L				
F243L, R292P и V30)5I	D270E, G316D и R	D270E, G316D и R416G				
F243L, R292P и P396L		D270E, K392T и P	D270E, K392T и P396L				
F243L, Y300L и P396L		D270E, P396L и Q419H					
V284M, R292L и K370N		R292P, Y300L и P3	R292P, Y300L и P396L				
Варианты с четыр	ьмя заменами						
L234F, F243L, R292P и Y300L		F243L, P247L, D270E и N421K					
L234F, F243L, R292	Ри Y300L	F243L, R255L, D270E и P396L					
L235I, F243L, R292	Ри Y300L	F243L, D270E, G316D и R416G					
L235Q, F243L, R292P и Y300L		F243L, D270E, K392T и P396L					
P247L, D270E, Y300L и N421K		F243L, R292P, Y300L и P396L					
R255L, D270E, R292G и P396L		F243L, R292P, V305I и P396L					
R255L, D270E, Y300L и P396L		F243L, D270E, P39	F243L, D270E, P396L и Q419H				
D270E, G316D, P396L и R416G							
Варианты с пятью	заменами	·					
L235V, F243L, R292P, Y300L и P396L		F243L, R292P, V30	F243L, R292P, V305I, Y300L и P396L				
L235P, F243L, R292	Р, Y300L и Р396L						

Примеры вариантов Fc-фрагментов IgG1 человека со сниженным связыванием с CD32B и/или повышенным связыванием с CD16A включают замены F243L, R292P, Y300L, V305I или P296L. Указанные аминокислотные замены могут присутствовать в Fc-фрагменте IgG1 человека в любой комбинации. Согласно одному варианту реализации изобретения вариант Fc-фрагмента IgG1 человека содержит замены F243L, R292P и Y300L. Согласно другому варианту реализации изобретения вариант Fc-фрагмента IgG1 человека содержит замену F243L, R292P, Y300L, V305I и P296L.

Согласно конкретным вариантам реализации изобретения Fc-фрагменты биспецифичных в отношении PD-1 x CTLA-4 молекул согласно настоящему изобретению предпочтительно обладают пониженной (или по существу не обладают) способностью связываться с FcγRIA (CD64), FcγRIIA (CD32A), FcγRIIB (CD32B), FcγRIIIA (CD16a) или FcγRIIIB (CD16b) (по сравнению со связыванием, проявляемым Fcфрагментом IgG1 дикого типа (SEQ ID NO: 1). Согласно конкретному варианту реализации изобретения биспецифичные в отношении PD-1 x CTLA-4 молекулы согласно настоящему изобретению содержат Fcфрагмент IgG, который обладает сниженной эффекторной функцией, связанной с антителозависимой клеточной цитотоксичностью (АЗКЦ). Согласно предпочтительному варианту реализации изобретения домены CH2-CH3 таких биспецифичных в отношении PD-1 x CTLA-4 молекул содержат любую 1, 2, 3 или 4 из замен: L234A, L235A, D265A, N297Q и N297G. Согласно другому варианту реализации изобретения домены CH2-CH3 содержат замену N297Q, замену N297G, замены L234A и L235A или замену D265A, поскольку указанные мутации предотвращают связывание FcR. В качестве альтернативы, используется домен CH2-CH3 природного Fc-фрагмента, который сам по себе обладает пониженной (по

существу не обладает) способностью связывания с FcqRIIIA (CD16a) и/или сниженную эффекторную функцию (по сравнению со связыванием и эффекторной функцией Fc-фрагмента IgG1 дикого типа (SEQ ID NO: 1)). Согласно конкретному варианту реализации изобретения биспецифичные в отношении PD-1 х CTLA-4 молекулы согласно настоящему изобретению содержат Fc-фрагмент IgG2 (SEQ ID NO: 2) или Fc-фрагмент IgG4 (SEQ ID:NO:4). При использовании Fc-фрагмента IgG4 настоящее изобретение также включает введение стабилизирующей мутации, такой как замена S228P в шарнирном участке, описанная выше (см. например, SEQ ID NO: 36). Поскольку замены N297G, N297Q, L234A, L235A и D265A предотвращают эффекторную функцию, указанные замены предпочтительно не используются при условиях, при которых эффекторная функция является желаемой.

Предпочтительная последовательность IgG1 для доменов CH2 и CH3 содержащих Fc-фрагмент молекул согласно настоящему изобретению с пониженной или устраненной эффекторной функцией будет содержать замены L234A/L235A (SEQ ID NO: 43)

```
APEAAGGPSV FLFPPKPKDT LMISRTPEVT CVVVDVSHED PEVKFNWYVD GVEVHNAKTK PREEQYNSTY RVVSVLTVLH QDWLNGKEYK CKVSNKALPA PIEKTISKAK GQPREPQVYT LPPSREEMTK NQVSLTCLVK GFYPSDIAVE WESNGQPENN YKTTPPVLDS DGSFFLYSKL TVDKSRWQQG NVFSCSVMHE ALHNHYTQKS LSLSPGX где, X представляет собой лизин (K) или отсутствует.
```

Время полужизни в сыворотке крови белков, содержащих Fc-фрагменты, можно повышать путем повышения аффинности связывания Fc-фрагмента в отношении FcRn. Термин "время полужизни" при использовании в настоящей заявке означает фармакокинетическое свойство молекулы, которое представляет собой показатель среднего времени жизни молекул после их введения. Время полужизни можно выражать как время, необходимое для выведения пятидесяти процентов (50%) известного количества молекулы из организма субъекта (например, пациента, представляющего собой человека или других млекопитающих) или из его конкретного компартмента, например, при измерении в сыворотке, т.е. как время полужизни в кровеносной системе или в других тканях. В целом, повышение времени полужизни приводит к повышению среднего времени удержания (СВУ) вводимой молекулы в кровотоке.

Согласно некоторым вариантам реализации изобретения биспецифичные в отношении PD-1 x СТLА-4 молекулы согласно настоящему изобретению содержат вариант Fc-фрагмента, где указанный вариант Fc-фрагмента содержит по меньшей мере одну аминокислотную модификацию по сравнению с Гс-фрагментом дикого типа, обеспечивающую указанной молекуле увеличенное время полужизни (по сравнению с молекулой, содержащей Fc-фрагмент дикого типа). Согласно некоторым вариантам реализации изобретения биспецифичные в отношении PD-1 x CTLA-4 молекулы согласно настоящему изобретению содержат вариант Fc-фрагмента IgG, где указанный вариант Fc-фрагмента содержит увеличивающую время полужизни аминокислотную замену в одном или более положениях, выбранных из группы, состоящей из 238, 250, 252, 254, 256, 257, 256, 265, 272, 286, 288, 303, 305, 307, 308, 309, 311, 312, 317, 340, 356, 360, 362, 376, 378, 380, 382, 413, 424, 428, 433, 434, 435 и 436. Множество мутаций, способных увеличивать время полужизни содержащей Fc-фрагмент молекулы, известны в данной области техники и включают, например, M252Y, S254T, T256E и их комбинации. См., например, мутации, описанные в патентах США № 6,277,375, 7,083,784; 7,217,797, 8,088,376; публикациях патентов США № 2002/0147311; 2007/0148164 и международных публикациях № WO 98/23289; WO 2009/058492 и WO 2010/033279, которые полностью включены в настоящую заявку посредством ссылки. Биспецифичные в отношении РD-1 х СТLА-4 молекулы с увеличенным временем полужизни также включают молекулы, содержащие варианты Fc-фрагментов с заменами двух или более из остатков 250, 252, 254, 256, 257, 288, 307, 308, 309, 311, 378, 428, 433, 434, 435 и 436. В частности, две или более замены выбраны из T250Q, M252Y, S254T, T256E, K288D, T307Q, V308P, A378V, M428L, N434A, H435K и Y436I.

Согласно конкретному варианту реализации изобретения биспецифичные в отношении PD-1 x CTLA-4 молекулы содержат вариант Fc-фрагмента IgG, содержащий следующие замены:

```
(A) M252Y, S254T и T256E;
```

- (B) M252Y и S254T;
- (C) M252Y и T256E;
- (D) T250Q и M428L;
- (E) T307Q и N434A;
- (F) A378V и N434A;
- (G) N434A u Y436I;
- (H) V308Р и N434А или
- (I) K288D и H435K.

Согласно предпочтительному варианту реализации биспецифичные в отношении PD-1 x CTLA-4 молекулы содержат вариант Fc-фрагмента IgG, содержащий любую 1, 2 или 3 из замен: M252Y, S254T и T256E. Изобретение дополнительно включает биспецифичные в отношении PD-1 x CTLA-4 молекулы, содержащие вариант Fc-фрагмента, содержащий:

- (А) одну или более мутаций, которые изменяют эффекторные функции и/или ГсүR; и
- (В) одну или более мутаций, которые увеличивают время полужизни в сыворотке крови.

Предпочтительная последовательность IgG1 для доменов CH2 и CH3 содержащих Fc-фрагмент молекул согласно настоящему изобретению, имеющих увеличенное время полужизни в сыворотке крови, содержит замены M252Y, S254T и T256E (SEQ ID NO: 80)

```
APEAAGGPSV FLFPPKPKDT LYITREPEVT CVVVDVSHED PEVKFNWYVD GVEVHNAKTK PREEQYNSTY RVVSVLTVLH QDWLNGKEYK CKVSNKALPA PIEKTISKAK GQPREPQVYT LPPSREEMTK NQVSLTCLVK GFYPSDIAVE WESNGQPENN YKTTPPVLDS DGSFFLYSKL TVDKSRWQQG NVFSCSVMHE ALHNHYTQKS LSLSPGX где X представляет собой лизин (K) или отсутствует.
```

Следует отметить, что домены CH2-CH3 последовательности SEQ ID NO: 80 содержат замены аминокислот в положениях 234 и 235 на аланин, таким образом, образованный Fc-фрагмент связывается слабее (или по существу не связывается) с FcγRIA (CD64), FcγRIIA (CD32A), FcγRIIB (CD32B), FcγRIIIA (CD16a) или FcγRIIIB (CD16b) (по сравнению с указанным связыванием для Fc-фрагмента дикого типа (SEQ ID NO: 1). Изобретение также включает такие домены CH2-CH3 IgG1, которые содержат остатки аланина дикого типа, альтернативные и/или дополнительные замены, которые модифицируют эффекторную функцию и/или активность связывания Fc-фрагмента с FγR.

Предпочтительная последовательность IgG4 для доменов CH2 и CH3 содержащих Fc-фрагмент молекул согласно настоящему изобретению с увеличенным временем полужизни в сыворотке крови содержат замены M252Y, S254T и T256E (SEQ ID NO: 81)

```
APEFLGGPSV FLFPPKPKDT LYITREPEVT CVVVDVSQED PEVQFNWYVD GVEVHNAKTK PREEQFNSTY RVVSVLTVLH QDWLNGKEYK CKVSNKGLPS SIEKTISKAK GQPREPQVYT LPPSQEEMTK NQVSLTCLVK GFYPSDIAVE WESNGQPENN YKTTPPVLDS DGSFFLYSRL TVDKSRWQEG NVFSCSVMHE ALHNHYTQKS LSLSLGX где, X представляет собой лизин (K) или отсутствует.
```

В случае конкретных антител, диател и тривалентных связывающих молекул, у которых первая и третья полипептидные цепи, содержащие Fc-фрагмент, не являются идентичными, желательно снижать или предотвращать возникновение гомодимеризации между доменами СН2-СН3 двух первых полипептидных цепей или между доменами СН2-СН3 двух третьих полипептидных цепей. Домены СН2 и/или СНЗ таких полипептидных цепей не должны быть идентичными по последовательности и предпочтительно модифицированы таким образом, чтобы способствовать объединению двух полипептидных цепей. Например, аминокислотную замену (предпочтительно, замену на аминокислоту, содержащую объемную боковую группу, образующую "выступ", например, триптофан) можно вводить в домен СН2 или СНЗ таким образом, чтобы стерическое влияние предотвращало взаимодействие с модифицированным сходным образом доменом и принуждало мутантный домен спариваться с доменом, в котором была создана комплементарная или адаптивная мутация, т.е. "впадина" (например, замена на глицин). Такие наборы мутаций можно встраивать в любую пару полипептидов, содержащих домены СН2-СН3, которые образуют Fc-фрагмент, для обеспечения гетеродимеризации. Способы белковой инженерии, способствующие гетеродимеризации по сравнению с гомодимеризацией, хорошо известны в данной области техники, в частности, применительно к инженерии иммунноглобулин-подобных молекул, и включены в настоящую заявку (см. например, Ridgway et al. (1996) "'Knobs-Into-Holes' Engineering Of Antibody CHS Domains For Heavy Chain Heterodimerization", Protein Engr. 9:617-621, Atwell et al. (1997) "Stable Heterodimers From Remodeling The Domain Interface Of A Homodimer Using A Phage Display Library", J. Mol. Biol. 270: 26-35, and Xie et al. (2005) "A New Format Of Bispecific Antibody: Highly Efficient Heterodimerization, Expression And Tumor Cell Lysis", J. Immunol. Methods 296:95-101; каждая из которых, таким образом, полностью включена в настоящую заявку посредством ссылки).

Предпочтительно "выступ" создается путем модифицирования Fc-фрагмента IgG таким образом, чтобы он содержал модификацию T366W. Предпочтительно "впадина" создается путем модифицирования Fc-фрагмента IgG таким образом, чтобы он содержал модификацию T366S, L368A и Y407V. Для облегчения очистки гомодимера содержащей "впадину" третьей полипептидной цепи от конечной биспецифичной гетеродимерной содержащей Fc-фрагмент молекулы, сайт связывания белка A содержащих "впадину" доменов CH2 и CH3 третьей полипептидной цепи предпочтительно модифицируют путем введения аминокислотной замены в положении 435 (H435R). Таким образом, гомодимер содержащей "впадину" третьей полипептидной цепи не будет связываться с белком A, тогда как биспецифичный гетеродимер будет сохранять свою способность связываться с белком A через сайт связывания белка A на первой полипептидной цепи. Согласно альтернативному варианту реализации изобретения содержащая "впадину" третья полипептидная цепь может содержать аминокислотные замены в положениях 434 и 435 (N434A/N435K).

Предпочтительная аминокислотная последовательность IgG1 для доменов CH2 и CH3 первой полипептидной цепи содержащей Fc-фрагмент молекулы согласно настоящему изобретению будет содержать "содержащую выступ" последовательность (SEQ ID NO: 44)

```
APEAAGGPSV FLFPPKPKDT LMISRTPEVT CVVVDVSHED PEVKFNWYVD GVEVHNAKTK PREEQYNSTY RVVSVLTVLH QDWLNGKEYK CKVSNKALPA PIEKTISKAK GQPREPQVYT LPPSREEMTK NQVSLWCLVK GFYPSDIAVE WESNGQPENN YKTTPPVLDS DGSFFLYSKL TVDKSRWQQG NVFSCSVMHE ALHNHYTQKS LSLSPGX, где X представляет собой лизин (K) или отсутствует.
```

Предпочтительная аминокислотная последовательность IgG1 для доменов CH2 и CH3 второй полипептидной цепи содержащей Fc-фрагмент молекулы согласно настоящему изобретению, состоящей из двух полипептидных цепей (или третьей полипептидной цепи содержащей Fc-фрагмент молекулы, состоящей из трех, четырех или пяти полипептидных цепей), будет иметь "содержащую впадину" последовательность (SEQ ID NO: 45)

```
APEĀĀGGPSV FLFPPKPKDT LMISRTPEVT CVVVDVSHED PEVKFNWYVD GVEVHNAKTK PREEQYNSTY RVVSVLTVLH QDWLNGKEYK CKVSNKALPA PIEKTISKAK GQPREPQVYT LPPSREEMTK NQVSLSCĀVK GFYPSDIAVE WESNGQPENN YKTTPPVLDS DGSFFLVSKL TVDKSRWQQG NVFSCSVMHE ALHNRYTQKS LSLSPGX где X представляет собой лизин (K) или отсутствует.
```

Следует отметить, что домены CH2-CH3 последовательностей SEQ ID NO: 44 и SEQ ID NO: 45 включают замены аминокислот в положениях 234 и 235 на аланин и, таким образом, образующийся Fcфрагмент связывается слабее (по существу не связывается) с FcγRIA (CD64), FcγRIIA (CD32A), FcγRIIB (CD32B), FcγRIIA (CD16a) или FcγRIIB (CD16b) (по сравнению со связыванием для Fc-фрагмента дикого типа (SEQ ID NO: 1)). Изобретение также включает такие домены CH2-CH3 IgG1, которые содержат остатки аланина дикого типа, альтернативные и/или дополнительные замены, которые модифицируют эффекторную функцию и/или активность связывания FγR Fc-фрагмента. Изобретение также включает такие домены CH2-CH3, которые дополнительно содержат одну или более увеличивающих время полужизни аминокислотных замен. В частности, как описано выше, изобретение включает такие содержащие "впадину" и такие содержащий "выступ" домены CH2-CH3, которые дополнительно содержат M252Y/S254T/T256E.

Предпочтительная аминокислотная последовательность IgG1 для дополнительно содержащих M252Y/S254T/T256E доменов CH2 и CH3 первой полипептидной цепи содержащей Fc-фрагмент молекулы согласно настоящему изобретению будет иметь "содержащую выступ" последовательность (SEQ ID NO: 82)

```
APEAAGGPSV FLFPPKPKDT LYITREPEVT CVVVDVSHED PEVKFNWYVD GVEVHNAKTK PREEQYNSTY RVVSVLTVLH QDWLNGKEYK CKVSNKALPA PIEKTISKAK GQPREPQVYT LPPSREEMTK NQVSLWCLVK GFYPSDIAVE WESNGQPENN YKTTPPVLDS DGSFFLYSKL TVDKSRWQQG NVFSCSVMHE ALHNHYTQKS LSLSPGX rqe X представляет собой лизин (K) или отсутствует.
```

Предпочтительная аминокислотная последовательность IgG1 для дополнительно содержащих M252Y/S254T/T256E доменов CH2 и CH3 второй полипептидной цепи содержащей Fc-фрагмент молекулы согласно настоящему изобретению, которая содержит две полипептидные цепи (или третьей полипептидной цепи содержащей Fc-фрагмент молекулы, которая содержит три, четыре или пять полипептидных цепей) будет иметь "содержащую впадину" последовательность (SEQ ID NO: 83)

```
APEAAGPSV FLFPPKPKDT LYITREPEVT CVVVDVSHED PEVKFNWYVD GVEVHNAKTK PREEQYNSTY RVVSVLTVLH QDWLNGKEYK CKVSNKALPA PIEKTISKAK GQPREPQVYT LPPSREEMTK NQVSLSCAVK GFYPSDIAVE WESNGQPENN YKTTPPVLDS DGSFFLYSKL TVDKSRWQQG NVFSCSVMHE ALHNRYTQKS LSLSPGX где X представляет собой лизин (K) или отсутствует.
```

Предпочтительная аминокислотная последовательность IgG4 для содержащих M252Y/S254T/T256E доменов CH2 и CH3 первой полипептидной цепи содержащей Fc-фрагмент молекулы согласно настоящему изобретению, будет иметь "содержащую выступ" последовательность (SEQ ID NO: 84)

```
APEFLGGPSV FLFPPKPKDT LYITKEPEVT CVVVDVSQED PEVQFNWYVD GVEVHNAKTK PREEQFNSTY RVVSVLTVLH QDWLNGKEYK CKVSNKGLPS SIEKTISKAK GQPREPQVYT LPPSQEEMTK NQVSLWCLVK GFYPSDIAVE WESNGQPENN YKTTPPVLDS DGSFFLYSRL TVDKSRWQEG NVFSCSVMHE ALHNHYTQKS LSLSLGX где X представляет собой лизин (K) или отсутствует.
```

Предпочтительная аминокислотная последовательность IgG4 для содержащих M252Y/S254T/T256E доменов CH2 и CH3 второй полипептидной цепи содержащей Fc-фрагмент молекулы согласно настоящему изобретению, которая содержит две полипептидные цепи (или третьей полипептидной цепи содержащей Fc-фрагмент молекулы, которая содержит три, четыре или пять полипептидных цепей) будет иметь "содержащую впадину" последовательность (SEQ ID NO: 85)

АРЕFLGGPSV FLFPPKPKDT LYITREPEVT CVVVDVSQED PEVQFNWYVD

```
APEFLGGPSV FLFPPKPKDT LYITREPEVT CVVVDVSQED PEVQFNWYVD GVEVHNAKTK PREEQFNSTY RVVSVLTVLH QDWLNGKEYK CKVSNKGLPS SIEKTISKAK GQPREPQVYT LPPSQEEMTK NQVSLSCAYK GFYPSDIAVE WESNGQPENN YKTTPPVLDS DGSFFLYSRL TVDKSRWQEG NVFSCSVMHE ALHNRYTQKS LSLSLGX где X представляет собой лизин (K) или отсутствует.
```

Следует отметить, что домены CH2-CH3 с последовательностью SEQ ID NO: 84 и SEQ ID NO: 85 содержат замены M252Y/S254T/T256E и, таким образом, образуют Fc-фрагмент IgG4, обеспечивающий увеличенное время полужизни в сыворотке крови. Изобретение также включает домены CH2-CH3 IgG4, которые содержат остатки M252/S254/T256 дикого типа.

Домены CH2-CH3 первой полипептидной цепи предпочтительно имеют "содержащую выступ" последовательность, такую как последовательность SEQ ID NO: 44. Однако следует понимать, что в первой полипептидной цепи можно применять "содержащие впадину" домены CH2-CH3 (например, SEQ ID NO: 45), в случае чего "содержащие выступ" домены CH2-CH3 (например, SEQ ID NO: 44) будут использоваться во второй полипептидной цепи содержащей Fc-фрагмент молекулы согласно настоящему изобретению, которая содержит две полипептидные цепи (или в третьей полипептидной цепи содержащей Fc-фрагмент молекулы, которая содержит три, четыре или пять полипептидных цепей).

Согласно другим вариантам реализации изобретение включает биспецифичные в отношении PD-1 х CTLA-4 молекулы, содержащие CH2- и/или CH3-домены, которые были сконструированы таким образом, чтобы способствовать гетеродимеризации в отличие от гомодимеризации, с использованием мутаций, известных в данной области техники, таких как мутации, описанные в международных публикациях согласно PCT № WO 2007/110205; WO 2011/143545; WO 2012/058768; WO 2013/06867, все из которых полностью включены в настоящую заявку посредством ссылки.

VI. Способность связывания с PD-1.

Известны антитела, которые обладают иммунноспецифичностью в отношении PD-1 (см. например, заявки на патент США № 62/198,867; 62/239,559; 62/255,140, патенты США №8,008,449; 8,552,154; международные публикации патентов согласно PCT WO 2012/135408; WO 2012/145549 и WO 2013/014668). Предпочтительная способность связываться с PD-1, применимая для создания биспецифичных в отношении PD-1 х СТLА-4 молекул согласно настоящему изобретению, представляет собой способность связываться с непрерывной или прерывистой (например, конформационной) частью (эпитопом) PD-1 человека (СD279) и, предпочтительно, также способность связываться с молекулой PD-1 одного или более видов не человеческого происхождения, в частности, видов приматов (в особенности, таких видов приматов, как яванский макак). Дополнительные желаемые антитела могут быть получены путем выделения гибридом с секрецией антитела, вызванной применением PD-1 или его пептидного фрагмента. Типичный полипептид PD-1 человека (последовательность в NCBI NP_005009.2; включая сигнальную последовательность из 20 аминокислотных остатков, показанную подчеркнутой) и 268 аминокислотных остатков зрелого белка имеет аминокислотную последовательность (SEQ ID NO: 46)

```
MQIPQAPWPVVWAVLQLGWRPGWFLDSPDRPWNPPTFSPALLVVTEGDNATFTCSFSNTSESFVLNWYRMSPSNQTDKLAAFPEDRSQPGQDCRFRVTQLPNGRDFHMSVVRARRNDSGTYLCGAISLAPKAQIKESLRAELRVTERRAEVPTAHPSPSPRPAGQFQTLVVGVVGGLLGSLVLLVWVLAVICSRAARGTIGARRTGQPLKEDPSAVPVFSVDYGELDFQWREKTPEPPVPCVPEQTEYATIVFPSGMGTSSPARRGSADGPRSAQPLRPEDGHCSWPL
```

Предпочтительные связывающиеся с PD-1 молекулы (например, антитела), применимые для создания биспецифичных в отношении PD-1 х СТLА-4 молекул согласно настоящему изобретению, содержат VL- и/или VH-домены моноклонального антитела против PD-1 человека "PD-1 mAb 1" (ниволумаб, регистрационный номер CAS:946414-94-4, также известен как 5C4, BMS-936558, ONO-4538, MDX-1106 и доступен на рынке как OPDIVO® от компании Bristol-Myers Squibb); "PD-1 mAb 2" (пембролизумаб, (ранее известный как ламбролизумаб), регистрационный номер CAS:1374853-91-4, также известен как МК-3475, SCH-900475 и доступен на рынке как KEYTRUDA® от компании Merck); "PD-1 mAb 3" (ЕН12,2H7; Dana Farber), "PD-1 mAb 4" (пидилизумаб, регистрационный номер CAS: 1036730-42-3, также известен как CT-011, CureTech) или любого из антител против PD-1 из табл. 6 и, более предпочтительно, содержат 1, 2 или все 3 из CDR_L VL-домена и/или 1, 2 или все 3 из CDR_H VH-домена такого моноклонального антитела против PD-1. Дополнительные антитела против PD-1, обладающие уникальными свойствами связывания, применимые в соответствии со способами и композициями согласно настоящему изобретению, были недавно идентифицированы (см. заявки на патенты США № 62/198,867; 62/239,559; 62/255,140). В частности, предпочтительными являются молекулы, связывающие PD-1, которые содержат гуманизированный VH и/или VL домен антитела против PD-1 "PD-1 mAb 5" (hPD-1 mAb 2,

MacroGenics); "PD-1 mAb 6" (hPD-1 mAb 7, MacroGenics); "PD-1 mAb 7" (hPD-1 mAb 9, MacroGenics) или "PD-1 mAb 8" (hPD-1 mAb 15, MacroGenics) и более предпочтительно содержат 1, 2 или все 3 из участков CDR_L VL-домена и/или 1, 2 или все 3 из участков CDR_H VH-домена указанного гуманизированного моноклонального антитела против PD-1.

A. PD-1 mAb 1.

Аминокислотная последовательность VH-домена PD-1 mAb 1 (SEQ ID NO: 47) показана ниже (остатки $CDR_{\rm H}$ подчеркнуты).

```
QVQLVESGGG VVQPGRSLRL DCKASGITFS NSGMHWVRQA PGKGLEWVAY

IWYDGSKRYY ADSVKGRFTI SRDNSKNTLF LQMNSLRAED TAVYYCATND

DYWGQGTLVT VSS
```

Аминокислотная последовательность VL-домена PD-1 mAb 1 (SEQ ID NO: 48) показана ниже (остатки CDR_1 подчеркнуты).

```
EÍVLTQSPAT LSLSPGERAT LSCRASQSVS <u>SYLA</u>WYQQKP GQAPRLLIYD
ASNRATGIPA RFSGSGSGTD FTLTISSLEP EDFAVYYCQQ SSNWPRTFGQ
GTKVEIK
```

B. PD-1 mAb 2.

Аминокислотная последовательность VH-домена PD-1 mAb 2 (SEQ ID NO: 49) показана ниже (остатки CDR_{H} подчеркнуты).

```
QÚQLVQSGVE VKKPGASVKV SCKASGYTFT <u>MYYMY</u>WVRQA PGQGLEWMG<u>G</u>

INPSNGGTNF <u>MEKFKN</u>RVTL TTDSSTTTAY MELKSLQFDD TAVYYCAR<u>RD</u>

YRFDMGFDYW GQGTTVTVSS
```

Аминокислотная последовательность VL-домена PD-1 mAb 2 (SEQ ID NO: 50) показана ниже (остатки CDR_L подчеркнуты).

```
EÍVLTQSPAT LSLSPGERAT LSC<u>raskgvs</u> <u>Tsgysylh</u>wy qokpgqaprl
Liy<u>lasyles</u> gvparfsgsg sgtdftltis slepedfavy yc<u>ohsrdlpl</u>
<u>T</u>fgggtkveik
```

C. PD-1 mAb 3.

Аминокислотная последовательность VH-домена PD-1 mAb 3 (SEQ ID NO: 51) показана ниже (остатки CDR_H подчеркнуты).

```
QVQLQQSGAE LAKPGASVQM SCKASGYSFT SSWIHWVKQR PGQGLEWIGY
IYPSTGFTEY MQKFKDKATL TADKSSSTAY MQLSSLTSED SAVYYCARWR
DSSGYHAMDY WGQGTSVTVSS
```

Аминокислотная последовательность VL-домена PD-1 mAb 3 (SEQ ID NO: 52) показана ниже (остатки CDR_L подчеркнуты).

```
DÍVLTQSPAS LTVSLGQRAT ISC<u>RASQSVS</u> <u>TSGYSYMH</u>WY QQKPGQPPKL LIK<u>FGSNLES</u> GIPARFSGSG SGTDFTLNIH PVEEEDTATY YC<u>QHSWEIPY</u> <u>TFGGGTKLEI</u> K
```

D. PD-1 mAb 4.

Аминокислотная последовательность VH-домена PD-1 mAb 4 (SEQ ID NO: 53) показана ниже (остатки CDR_{H} подчеркнуты).

```
OVOLVQSGSE LKKPGASVKI SCKASGYTFT NYGMNWVRQA PGQGLQWMGW
INTDSGESTY AEEFKGRFVF SLDTSVNTAY LQITSLTAED TGMYFCVRVG
YDALDYWGQG TLVTVSS
```

Аминокислотная последовательность VL-домена PD-1 mAb 4 (SEQ ID NO: 54) показана ниже (остатки CDR_L подчеркнуты).

```
EIVLTQSPSS LSASVGDRVT ITCSARSSVS YMHWFQQKPG KAPKLWIYRT

SNLASGVPSR FSGSGSGTSY CLTINSLQPE DFATYYCQQR SSFPLTFGGG
TKLEIK
```

E. PD-1 mAb 5.

Аминокислотная последовательность VH-домена PD-1 mAb 5 (SEQ ID NO: 55) показана ниже (CDR $_{\rm H}$ остатки подчеркнуты).

```
EVQLVESGGG LVQPGGSLRL SCAASGFVFS SFGMHWVRQA PGKGLEWVAY

ISSGSMSISY ADTVKGRFTI SRDNAKNTLY LQMNSLRTED TALYYCASLS

DYFDYWGQGT TVTVSS
```

Аминокислотная последовательность VL-домена PD-1 mAb 5 (SEQ ID NO: 56) показана ниже (остатки CDR_{L} подчеркнуты).

```
DVVMTQSPLS LPVTLGQPAS ISCrssqsly hstgntylhw ylqkpgqspq
Lliyrvsnrf sgvpdrfsgs gsgtdftlki srveaedvgv yycsqtthvp
wtfgqgtkle ik
```

F. PD-1 mAb 6.

Аминокислотная последовательность домена VH PD-1 mAb 6 (SEQ ID NO: 57) показана ниже (остатки CDR_H подчеркнуты).

```
QVQLVQSGAE VKKPGASVKV SCKASGYSFT SYMMNWVRQA PGQGLEWX1GV

IHPSDSETWL DQKFKDRVTI TVDKSTSTAY MELSSLRSED TAVYYCAREH

YGTSPFAYWG QGTLVTVSS

rde X1 представляет собой I или A.
```

Аминокислотная последовательность домена VL PD-1 mAb 6 (SEQ ID NO: 58) показана ниже (остатки CDR_L подчеркнуты).

```
EÍVLTQSPAT LSLSPGERAT LSCRAX_1ESVD NYGMSFMNWF QQKPGQPPKL LIHAASNX_2GS GVPSRFSGSG SGTDFTLTIS SLEPEDFAVY FCQQSKEVPY TFGGGTKVEI К где: X_1 представляет собой N или S и X_2 представляет собой Q или R; или
```

 X_1 представляет собой N и X_2 представляет собой Q; или X_1 представляет собой S и X_2 представляет собой Q; или X_1 представляет собой S и X_2 представляет собой R.

В частности, варианты реализации аминокислотной последовательности PD-1 mAb 6 включают:

- (a) SEQ ID NO: 57, где X_1 представляет собой I, и SEQ ID NO: 58, где X_1 представляет собой N и X_2 представляет собой Q; или
- (b) SEQ ID NO: 57, где X_1 представляет собой I, и SEQ ID NO: 58, где X_1 представляет собой S и X_2 представляет собой Q.

Пример антитела VH-домена против PD-1, обозначенный как "PD-1 mAb 6-I VH", содержит SEQ ID NO: 57, где X_1 представляет собой I, и имеет аминокислотную последовательность (SEQ ID NO: 86)

```
QVQLVQSGAE VKKPGASVKV SCKASGYSFT SYWMNWVRQA PGQGLEWIGV
IHPSDSETWL DQKFKDRVTI TVDKSTSTAY MELSSLRSED TAVYYCAREH
YGTSPFAYWG QGTLVTVSS
```

Пример VL-домена против PD-1, обозначенный как "PD-1 mAb 6-SQ VL", содержит SEQ ID NO: 58, где X_1 представляет собой S и X_2 представляет собой Q, и имеет аминокислотную последовательность (SEQ ID NO: 87)

```
EIVLTQSPAT LSLSPGERAT LSCRASESVD NYGMSFMNWF QQKPGQPPKL LHAASNQGS GVPSRFSGSG SGTDFTLTIS SLEPEDFAVY FCQQSKEVPY TFGGGTKVEI K
```

Пример антитела против PD-1, который содержит VH-домен PD-1 mAb 6-I и VL-домен PD-1 mAb 6-SQ обозначен как "PD-1 mAb 6-ISQ."

G. PD-1 mAb 7.

Аминокислотная последовательность VH-домена PD-1 mAb 7 (SEQ ID NO: 59) показана ниже (CDR $_{\rm H}$ остатки подчеркнуты).

```
EVQLVESGGG LX1RPGGSLKL SCAASGFTFS <u>SYLVX2</u>WVRQA PGKGLEWX3A<u>T</u> <u>ISGGGGNTYY</u> <u>SDSVKG</u>RFTI SRDNAKNSLY LQMNSX4RAED TATYYCAR<u>YG</u> <u>FDGAWFAY</u>WG QGTLVTVSS 
где: X_1 представляет собой V или A; X_2 представляет собой S или G; X_3 представляет собой V или T; X_4 представляет собой L или A; или X_1 представляет собой V, X_2 представляет собой S, X_3 представляет собой V и X_4 представляет собой L; или X_1 представляет собой A, X_2 представляет собой G, X_3 представляет
```

собой Т и X₄ представляет собой A. Аминокислотная последовательность VL-домена PD-1 mAb 7 (SEQ ID NO: 60) показана ниже (ос-

Аминокислотная последовательность VL-домена PD-1 mAb / (SEQ ID NO: 60) показана ниже (остатки CDR_L подчеркнуты).

```
DÍQMTQSPSS LSASVGDRVT ITC\overline{ASENIY} X1YLAWYQQKP GKAPKLLIYX2 AKTLAAGVPS RFSGSGSGTD FTLTISSLQP EDFATYYCQH HYAVPWTFGQ GTKLEIK где: X1 представляет собой S или N и X2 представляет собой N или D; или X1 представляет собой S и X2 представляет собой N; или X1 представляет собой N и X2 представляет собой D
```

В частности, варианты реализации PD-1 mAb 7 включают:

(a) SEQ ID NO: 59, где X_1 представляет собой V, X_2 представляет собой S, X_3 представляет собой V и X_4 представляет собой S и S представля

и X_4 представляет собой A, и SEQ ID NO: 60, где X_1 представляет собой N и X_2 представляет собой D.

Н. mAb против PD-1 8.

Аминокислотная последовательность VH-домена mAb против PD-1 8 (SEQ ID NO: 61) показана ниже (остатки CDR_H подчеркнуты).

```
EVQLVEŠGGG LVRPGGSLRL SCAASGFTFS SYLISWVRQA PGKGLEWVAA

ISGGGADTYY ADSVKCRFTI SRDNAKNSLY LQMNSLRAED TATYYCARRG

TYAMDYWGQG TLVTVSS
```

Аминокислотная последовательность VL-домена mAb против PD-1 8 (SEQ ID NO: 62) показана ниже (остатки CDR_L подчеркнуты).

```
DIQMTQSPSS LSASVGDRVT ITCRASENIY NYLAWYQQKP GKAPKLLIYD

AKTLAAGVPS RFSGSGSGTD FTLTISSLQP EDFATYYCQH HYAVPWTFGQ

GTKLEIK
```

I. Дополнительные антитела против PD-1.

Дополнительные антитела против PD-1, которые можно применять для создания биспецифичных в отношении PD-1 x CTLA-4 молекул согласно настоящему изобретению, представлены в табл. 6.

Таблица 6: Дополнительные антитела против PD-1				
Антитела против PD-1	Ссылка / Источник			
PD1-17; PD1-28; PD1-33; PD1-35 и PD1-F2	Патенты США № 7 488 802; 7 521 051 и 8 088 905; международная патентная публикация согласно PCT WO 2004/056875			
17D8; 2D3; 4H1; 5C4; 4A11; 7D3 и 5F4	Патенты США № 8 008 449; 8 779 105 и 9 084 776; международная патентная публикация согласно РСТ WO 2006/121168			
hPD-1,08A; hPD-1,09A; 109A; K09A; 409A;	Патенты США № 8 354 509; 8 900			
h409A11; h409A16; h409A17; кодон-	587 и 5 952 136; международная			
оптимизированный вариант 109А и кодон- оптимизированный вариант 409А	патентная публикация согласно PCT WO 2008/156712			
1ЕЗ; 1Е8 и 1НЗ	Публикация патента США 2014/0044738; международная патентная публикация согласно РСТ WO 2012/145493			
9A2; 10B11; 6E9; APE1922; APE1923; APE1924; APE1950; APE1963 и APE2058	Международная патентная публикация согласно РСТ WO 2014/179664			
GA1; GA2; GB1; GB6; GH1; A2; C7; H7; SH-A4;	Публикация патента США			
SH-A9; RG1H10; RG1H11; RG2H7; RG2H10;	2014/0356363; международная			
RG3E12; RG4A6; RG5D9; RG1H10-H2A-22-1S;	патентная публикация согласно			
RG1H10-H2A-27-2S; RG1H10-3C; RG1H10-16C;	PCT WO 2014/194302			
RG1H10-17C; RG1H10-19C; RG1H10-21С и RG1H10-23C2				
H1M7789N; H1M7799N; H1M7800N;	Публикация патента США			
H2M7780N; H2M7788N; H2M7790N;	2015/0203579; международная			
H2M7791N; H2M7794N; H2M7795N;	патентная публикация согласно			
H2M7796N; H2M7798N; H4H9019P;	PCT WO 2015/112800			
H4xH9034P2; H4xH9035P2; H4xH9037P2;				
H4xH9045P2; H4xH9048P2; H4H9057P2;				
H4H9068P2; H4xH9119P2; H4xH9120P2;				
H4Xh9128p2; H4Xh9135p2; H4Xh9145p2;				
H4Xh8992p; H4Xh8999p и H4Xh9008p;				
PD-1 mAb 1; PD-1 mAb 2; mAb против hPD-1 2;	Заявки на патент США №.			
PD-1 mAb 3; PD-1 mAb 4; PD-1 mAb 5; PD-1	62/198,867 и 62/239,559			
mAb 6; PD-1 mAb 7; mAb против hPD-1 7; mAb				
против PD-1 8; mAb против PD-1 9; mAb против				
hPD-1 9; PD-1 mAb 10; PD-1 mAb 11; PD-1 mAb				
12; PD-1 mAb 13; PD-1 mAb 14; PD-1 mAb 15 и				
mAb против hPD-1 15				

J. Пример антитела против PD-1.

Пример антитела против PD-1, обозначенный как "PD-1 mAb 6 G4P", содержит: тяжелую цепь, содержащую VH-домен PD-1 mAb 6I (SEQ ID NO: 86), CH1-домен IgG4 (SEQ ID NO: 42), стабилизированный шарнирный участок IgG 4 (SEQ ID NO: 36) и домены CH2-CH3 IgG4 без C-концевого лизина (SEQ ID NO: 4), легкую цепь, содержащую VL-домен PD-1 mAb 6SQ (SEQ ID NO: 87) и каппа-CL (SEQ ID NO: 38).

Аминокислотная последовательность целой тяжелой цепи PD-1 mAb 6 G4P (SEQ ID NO: 88) показана ниже.

```
QVQLVQSGAE VKKPGASVKV SCKASGYSFT SYWMNWVRQA PGQGLEWIGV IHPSDSETWL DQKFKDRVTI TVDKSTSTAY MELSSLRSED TAVYYCAREH YGTSPFAYWG QGTLVTVSSA STKGPSVFPL APCSRSTSES TAALGCLVKD YFPEPVTVSW NSGALTSGVH TFPAVLQSSG LYSLSSVVTV PSSSLGTKTY TCNVDHKPSN TKVDKRVESK YGPPCPPCPA PEFLGGPSVF LFPPKKDTL MISRTPEVTC VVVDVSQEDP EVQFNWYVDG VEVHNAKTKP REEQFNSTYR VVSVLTVLHQ DWLNGKEYKC KVSNKGLPSS IEKTISKAKG QPREPQVYTL PPSQEEMTKN QVSLTCLVKG FYPSDIAVEW ESNGQPENNY KTTPPVLDSD GSFFLYSRLT VDKSRWQEGN VFSCSVMHEA LHNHYTQKSL SLSLG
```

Аминокислотная последовательность целой легкой цепи PD-1 mAb 6 G4P (SEQ ID NO: 89) показана ниже.

```
EIVLTQSPAT LSLSPGERAT LSCRASESVD NYGMSFMNWF QQKPGQPPKL LIHAASNQGS GVPSRFSGSG SGTDFTLTIS SLEPEDFAVY FCQQSKEVPY TFGGGTKVEI KRTVAAPSVF IFPPSDEQLK SGTASVVCLL NNFYPREAKV QWKVDNALQS GNSQESVTEQ DSKDSTYSLS STLTLSKADY EKHKVYACEV THOGLSSPVT KSFNRGEC
```

VII. Способность связывания с СТLА-4.

Известны антитела, обладающие иммунноспецифичностью в отношении CTLA-4 (см. например, патенты США № 6,984,720; 6,682,736; 7,034,121; 7,109,003; 7,132,281; 7,411,057; 7,605,238; 7,807,797; 7,824,679; 8,017,114; 8,143,379; 8,318,916; 8,491,895; 8,784,815 и 8,883,984; публикации патентов США 2009/0123477; 2009/0252741 и 2014/0105914; международные публикации патентов согласно РСТ № WO 00/37504; WO 01/14424; WO 01/54732; WO 2006/029219; WO 2006/066568 и WO 2012/120125 и табл. 7). Предпочтительно способность связывания с СТLА-4, применимая для создания биспецифичных в отношении PD-1 х СТLА-4 молекул согласно настоящему изобретению, представляет собой способность связываться с непрерывной или прерывистой (например, конформационной) частью (эпитопом) СТLА-4 человека и предпочтительно также включает способность связываться с молекулами СТLА-4 одного или более видов не человеческого происхождения, в частности, видов приматов (и, в частности, таких видов приматов, как яванский макак). Дополнительные желаемые антитела могут быть созданы путем выделения секретирующих антитела гибридом, стимулированных с помощью СТLА-4 или его пептидного

фрагмента. Типичный полипептид СТLА-4 человека (последовательность NCBI NP_005205,2; включая сигнальную последовательность из 35 аминокислотных остатков (показана подчеркнутой) и 188 аминокислотных остатков зрелого белка) имеет аминокислотную последовательность (SEQ ID NO: 75)

```
MACLGFORKK AQLNLATRTW PCTLLFFLIF IPVFCKAMHV AQPAVVLASS
RGIASFVCEY ASPGKATEVR VTVLRQADSQ VTEVCAATYM MGNELTFLDD
SICTGTSSGN QVNLTIQGLR AMDTGLYICK VELMYPPPYY LGIGNGTQIY
VIDPEPCPDS DFLLWILAAV SSGLFFYSFL LTAVSLSKML KKRSPLTTGV
YVKMPPTEPE CEKOFOPYFI PIN
```

Предпочтительные связывающие с CTLA-4 молекулы (например, антитела), применимые для создания биспецифичных в отношении PD-1 х CTLA-4 молекул согласно настоящему изобретению, содержат VL- и/или VH-домены моноклональных антител против CTLA-4 человека "mAb CTLA-4 1" (ипилимумаб, регистрационный номер CAS: 477202-00-9, также известный как MDX010 и доступный на рынке как YERVOY® от компании Bristol-Myers Squibb); "mAb CTLA-4 2" (тремелимумаб, регистрационный номер CAS: 745013-59-6, также известный как CP-675206); "mAb CTLA-4 3" (4B6, как представлено в табл. 7) или любого из других антител против CTLA-4 из табл. 7 и, более предпочтительно, содержат 1, 2 или все 3 из CDR $_{\rm L}$ VL-домена и/или 1, 2 или все 3 из CDRH VH-домена таких моноклональных антител против CTLA-4.

A. CTLA-4 mAb 1.

Аминокислотная последовательность антитела против VH-домена CTLA-4 mAb 1 (SEQ ID NO: 76) показана ниже (остатки CDR_H подчеркнуты).

```
QVQLVESGGG VVQPGRSLRL SCAASGFTFS SYTMHWVRQA PGKGLEWVTF
ISYDGNNKYY ADSVKGRFTI SRDNSKNTLY LQMNSLRAED TAIYYCARTG
WLGPFDYWGQ GTLVTVSS
```

Аминокислотная последовательность VL-домен mAb против CTLA-4 (SEQ ID NO: 77) показана ниже (остатки CDR_L подчеркнуты).

```
EIVLTÓSPGT LSLSPGERAT LSC<u>RASOSVG</u> <u>SSYLA</u>WYQQK PGQAPRLLIY

<u>GAFSRAT</u>GIP DRFSGSGSGT DFTLTISRLE PEDFAVYYC<u>O</u> <u>QYGSSPWT</u>FG

OGTKVEIK
```

B. CTLA-4 mAb 2.

Аминокислотная последовательность VH-домена mAb2 против CTLA-4 (SEQ ID NO: 78) показана ниже (остатки CDRH подчеркнуты).

```
QVQLVESGGG VVQPGRSLRL SCAASGFTFS SYGMHWVRQA PGKGLEWVAY
IWYDGSNKYY ADSVKGRFTI SRDNSKNTLY LQMNSLRAED TAVYYCARDP
RGATLYYYYY GMDVWGQGTT VTVSS
```

Аминокислотная последовательность VL-домена mAb2 против CTLA-4 (SEQ ID NO: 79) показана ниже (остатки CDR_L подчеркнуты).

```
DIOMTOSPSS LSASVGDRVT ITCRASOSIN SYLDWYOOKP GKAPKLLIYA
ASSLOSGVPS RFSGSGSGTD FTLTISSLOP EDFATYYCOO YYSTPFTFGP
GTKVBIK
```

C. CTLA-4 mAb 3.

Аминокислотная последовательность VH-домена mAb3 против CTLA-4 (SEQ ID NO: 90) показана ниже (остатки CDR $_{\rm H}$ подчеркнуты).

```
QVQLVESGGG VVQPGRSLRL SCAASGFTFS <u>SYTMH</u>WVRQA PGKGLEWVT<u>F</u>
<u>ISYDGSNKHY ADSVKG</u>RFTV SRDNSKNTLY LQMNSLRAED TAIYYCAR<u>TG</u>
<u>WLGPFDY</u>WGQ GTLVTVSS
```

Аминокислотная последовательность VL-домена mAb3 против CTLA-4 (SEQ ID NO: 91) показана ниже (остатки CDR_L подчеркнуты).

```
EIVLTOSPGT LSLSPGERAT LSCrasosvs ssflawyook pgoaprlliy

Gassratgip drfsgsgsgt dftltisrle pedfavyyo<u>o qygsspwt</u>fg

Qgtkveik
```

D. Дополнительные антитела против CTLA-4.

Дополнительные антитела против CTLA-4, которые можно применять для создания биспецифичных в отношении PD-1 х CTLA-4 молекул согласно настоящему изобретению, представлены в табл. 7.

Таблица 7: Дополнительны	ые антитела против CTLA-4
Антитела против CTLA-4	Ссылка / Источник
mAb 26	Патент США № 7 034 121;
	международная патентная публикация согласно PCT WO 01/54732
10D1; 1E2 и 4B6	Патенты США № 6 984 720; 7 605 238; 8 017 114; 8 318 916 и 8 784 815; международная патентная публикация согласно РСТ WO 01/14424
2.1.3; 3.1.1; 4.1.1; 4.8.1; 4.9.1; 4.10.2;	Патенты США № 6 682 736; 7 109 003;
4.13.1; 4.14.3; 6.1.1; 11.2.1; 11.6.1; 11.7.1; 12.2.1; 12.3.1; 12.3.1.1; 12.9.1 и 12.9.1.1	7 132 281; 7 411 057; 7 807 797; 7 824 679; 8 143 379; 8 491 895 u 8 883 984;
	международная патентная публикация согласно PCT WO 00/37504
3В10; 8Н5; 8Н5-1В1; 3В10-4F7; 7В9-1А3; 2С7-1G10; 3В10-6Е3 и 8Н5-1А1	Публикация патента США 2014/0105914; международная патентная публикация согласно РСТ WO 2012/120125
3.7F10A2; 4.3F6B5; 4.4A7F4; 4.6С1Е3; 4.7A8H8; 4.7E11F1; 4.8H10H5; TGN2122 и TGN2422	Публикация патента США 2009/0123477; международная патентная публикация согласно РСТ WO 2006/066568
L3D10; L1B11; K4G4; KM10 и YL2	Публикация патента США 2009/0252741; международная патентная публикация согласно РСТ WO 2006/029219

Е. Примеры антител против CTLA-4.

Пример антитела против CTLA-4, обозначенный как "CTLA-4 mAb 3 G1AA" содержит тяжелую цепь, содержащую VH-домен CTLA-4 mAb 3 (SEQ ID NO: 90), CH1-домен IgG1 (SEQ ID NO: 40), шарнирную область IgG1 (SEQ ID NO: 33) и домены CH2-CH3 IgG1 с заменами L234A/L235A (SEQ ID NO: 43).

Аминокислотная последовательность целой тяжелой цепи CTLA-4 mAb 3 G1AA (SEQ ID NO: 92) показана ниже.

```
QVQLVESGGG VVQPGRSLRL SCAASGFTFS SYTMHWVRQA PGKGLEWVTF ISYDGSNKHY ADSVKGRFTV SRDNSKNTLY LQMNSLRAED TAIYYCARTG WLGPFDYWGQ GTLVTVSSAS TKGPSVFPLA PSSKSTSGGT AALGCLVKDY FPEPVTVSWN SGALTSGVHT FPAVLQSSGL YSLSSVVTVP SSSLGTQTYI CNVNHKPSNT KVDKRVEPKS CDKTHTCPPC PAPEAAGGPS VFLFPPKPKD TLMISRTPEV TCVVVDVSHE DPEVKFNWYV DGVEVHNAKT KPREEQYNST YRVVSVLTVL HQDWLNGKEY KCKVSNKALP APIEKTISKA KGQPREPQVY TLPPSREEMT KNQVSLTCLV KGFYPSDIAV EWESNGQPEN NYKTTPPVLD SDGSFFLYSK LTVDKSRWQQ GNVFSCSVMH EALHNHYTQK SLSLSPGK
```

Пример альтернативного антитела против CTLA-4, обозначенного как "CTLA-4 mAb 3 G4P", содержит тяжелую цепь, содержащую VH-домен CTLA-4 mAb 3 (SEQ ID NO: 90), CH1-домен IgG4 (SEQ ID NO: 42), стабилизированную шарнирную область IgG4 (SEQ ID NO: 36) и домены CH2-CH3 IgG4 без С-концевого лизина (SEQ ID NO: 4). Аминокислотная последовательность целой тяжелой цепи CTLA-4 mAb 3 G4P показана ниже (SEQ ID NO: 93).

```
QVQLVESGGG VVQPGRSLRL SCAASGFTFS SYTMHWVRQA PGKGLEWVTF ISYDGSNKHY ADSVKGRFTV SRDNSKNTLY LQMNSLRAED TAIYYCARTG WLGPFDYWGQ GTLVTVSSAS TKGPSVFPLA PCSRSTSEST AALGCLVKDY FPEPVTVSWN SGALTSGVHT FPAVLQSSGL YSLSSVVTVP SSSLGTKTYT CNVDHKPSNT KVDKRVESKY GPPCPPCPAP EFLGGPSVFL FPPKPKDTLM ISRTPEVTCV VVDVSQEDPE VQFNWYVDGV EVHNAKTKPR EEQFNSTYRV VSVLTVLHQD WLNGKEYKCK VSNKGLPSSI EKTISKAKGQ PREPQVYTLP PSQEEMTKNQ VSLTCLVKGF YPSDIAVEWE SNGQPENNYK TTPPVLDSDG SFFLYSRLTV DKSRWQEGNV FSCSVMHEAL HNHYTQKSLS LSLG
```

Аминокислотная последовательность целой легкой цепи CTLA-4 mAb 3 G1AA и CTLA-4 mAb 3 G4P (SEQ ID NO: 94) показана ниже.

```
EIVLTQSPGT LSLSPGERAT LSCRASQSVS SSFLAWYQQK PGQAPRLLIY GASSRATGIP DRFSGSGSGT DFTLTISRLE PEDFAVYYCQ QYGSSPWTFG QGTKVEIKRT VAAPSVFIFP PSDEQLKSGT ASVVCLLNNF YPREAKVQWK VDNALQSGNS QESVTEQDSK DSTYSLSSTL TLSKADYEKH KVYACEVTHQ GLSSPVTKSF NRGEC
```

Оба из примеров антител против CTLA-4, CTLA-4 mAb 3 G1AA и CTLA-4 mAb 3 G4P, содержат легкую цепь, содержащую VL-домен CTLA-4 mAb 3 (SEQ ID NO: 91) и CL каппа (SEQ ID NO: 38).

VIII. Примеры биспецифичных в отношении PD-1 х CTLA-4 молекул.

А. Примеры четырехцепочечных, содержащих Fc-фрагмент диател, имеющих домены Е/К-соіl.

Создавали три примера биспецифичных в отношении PD-1 x CTLA-4 четырехцепочечных содержащих Fc-фрагмент диател, имеющих домены E/K-coil, способствующие образованию гетеродимера (обозначенные как "DART B", "DART C" и "DART D"). Структура указанных содержащих Fc-фрагмент диател подробно описана ниже. Предполагается, что указанные примеры биспецифичных в отношении PD-1 x CTLA-4 диател иллюстрируют настоящее изобретение и никоим образом не ограничивают его объем.

1 DART B

DART В представляет собой биспецифичное четырехцепочечное содержащее Fc-фрагмент диатело, содержащее два сайта связывания, специфичных в отношении PD-1, два сайта связывания, специфичных в отношении CTLA-4, вариант Fc-фрагмента IgG4, сконструированный для увеличения времени полужизни, и домены E/K-coil, способствующие образованию гетеродимера. Первая и третья полипептидные цепи DART В содержат (в направлении от N-конца к C-концу): N-конец, VL-домен моноклонального антитела, способного связываться с CTLA-4 (VL_{CTLA-4} CTLA-4 mAb 1 VL) (SEQ ID NO: 77); промежуточный линкерный пептид (линкер 1: GGGSGGGG (SEQ ID NO: 5)); VH-домен моноклонального антитела, способного связываться с PD-1 (VH_{PD-1} PD-1 mAb 6-I VH) (SEQ ID NO: 86); цистеинсодержащий промежуточный линкерный пептид (линкер 2: GGCGGG (SEQ ID NO: 6)); цистеинсодержащий домен, способствующий образованию гетеродимера (E-coil) (EVAACEK-EVAALEK-EVAALEK-EVAALEK (SEQ ID NO: 20)); стабилизированную шарнирную область IgG4 (SEQ ID NO: 36); вариант домена CH2-CH3 IgG4, содержащий замены M252Y/S254T/T256E и не содержащий С-концевой остаток (SEQ ID NO: 81), и C-конец.

Аминокислотная последовательность первой и третьей полипептидных цепей DART В представляет собой (SEQ ID NO: 95)

```
EIVLTQSPGT LSLSPGERAT LSCRASQSVG SSYLAWYQQK PGQAPRLLIY GAFSRATGIP DRFSGSGSGT DFTLTISRLE PEDFAVYYCQ QYGSSPWTFG QGTKVEIKGG GSGGGQVQL VQSGAEVKKP GASVKVSCKA SGYSFTSYWM NWVRQAPGQG LEWIGVIHPS DSETWLDQKF KDRVTITVDK STSTAYMELS SLRSEDTAVY YCAREHYGTS PFAYWGQGTL VTVSSGCGG GEVAACEKEV AALEKEVAAL EKEVAALEKE SKYGPPCPPC PAPEFLGGPS VFLFPPKPKD TLYITREPEV TCVVVDVSQE DPEVQFNWYV DGVEVHNAKT KPREEQFNST YRVVSVLTVL HQDWLNGKEY KCKVSNKGLP SSIEKTISKA KGQPREPQVY TLPPSQEEMT KNQVSLTCLV KGFYPSDIAV EWESNGQPEN NYKTTPPVLD SDGSFFLYSR LTVDKSRWQE GNVFSCSVMH EALHNHYTQK SLSLSLG
```

Вторая и четвертая полипептидные цепи DART В содержат (в направлении от N-конца к С-концу): N-конец, VL-домен моноклонального антитела, способного связываться с PD-1 (VL $_{\rm PD-1}$ PD-1 mAb 6-SQ VL) (SEQ ID NO: 87); промежуточный линкерный пептид (линкер 1: GGGSGGGG (SEQ ID NO: 5)); VH-домен моноклонального антитела, способного связываться с CTLA-4 (VHCTLA-4 CTLA-4 mAb 1 VH) (SEQ ID NO: 76); цистеинсодержащий промежуточный линкерный пептид (линкер 2: GGCGGG (SEQ ID NO: 6)); цистеинсодержащий способствующий образованию гетеродимера домен (K-coil) (KVAACKE-KVAALKE-KVAALKE (SEQ ID NO: 21) и С-конец.

Аминокислотная последовательность второй и четвертой полипептидных цепей DART В представляет собой (SEQ ID NO: 96)

```
EIVLTQSPAT LSLSPGERAT LSCRASESVD NYGMSFMNWF QQKPGQPPKL LIHAASNQGS GVPSRFSGSG SGTDFTLTIS SLEPEDFAVY FCQQSKEVPY TFGGGTKVEI KGGGSGGGQQ VQLVESGGGV VQPGRSLRLS CAASGFTFSS YTMHWVRQAP GKGLEWVTFI SYDGNNKYYA DSVKGRFTIS RDNSKNTLYL QMNSLRAEDT AIYYCARTGW LGPFDYWGQG TLVTVSSGGC GGGKVAACKE KVAALKEKVA ALKEKVAALK E
```

2. DART C.

DART С представляет собой биспецифичное четырехцепочечное содержащее Fc-фрагмент диатело, которое содержит два сайта связывания, специфичных в отношении PD-1, два сайта связывания, специфичных в отношении CTLA-4, вариант Fc-фрагмента IgG4, сконструированный для увеличения времени полужизни, и домены E/K-coil, способствующие образованию гетеродимера. Первая и третья полипептидные цепи DART С содержат (в направлении от N-конца к C-концу): N-конец, VL-домен моноклонального антитела, способного связываться с CTLA-4 (VLCTLA-4 CTLA-4 mAb 3 VL) (SEQ ID NO: 91); промежуточный линкерный пептид (линкер 1: GGGSGGGG (SEQ ID NO: 5)); VH-домен моноклонального антитела, способного связываться с PD-1 (VH_{PD-1} PD-1 mAb 6-I VH) (SEQ ID NO: 86); цистеинсодержащий промежуточный линкерный пептид (линкер 2: GGCGGG (SEQ ID NO: 6)); цистеинсодержащий домен, способствующий образованию гетеродимера (E-coil) (EVAACEK-EVAALEK-EVAALEK-EVAALEK-EVAALEK (SEQ ID NO: 20)); стабилизированную шарнирную область IgG4 (SEQ ID NO: 36); вариант домена CH2-CH3 IgG4, содержащий замены M252Y/S254T/T256E и не содержащий С-концевой остаток (SEQ ID NO: 81); и C-конец.

Аминокислотная последовательность первой и третьей полипептидных цепей DART C представляет собой (SEQ ID NO: 97)

```
ÉIVLTQSPGT LSLSPGERAT LSCRASQSVS SSFLAWYQQK PGQAPRLLIY
GASSRATGIP DRFSGSGSGT DFTLTISRLE PEDFAVYYCQ QYGSSPWTFG
QGTKVEIKGG GSGGGQVQL VQSGAEVKKP GASVKVSCKA SGYSFTSYWM
NWVRQAPGQG LEWIGVIHPS DSETWLDQKF KDRVTITVDK STSTAYMELS
SLRSEDTAVY YCAREHYGTS PFAYWGQGTL VTVSSGGCGG GEVAACEKEV
AALEKEVAAL EKEVAALEKE SKYGPPCPPC PAPEFLGGPS VFLFPPKPKD
TLYITREPEV TCVVVDVSQE DPEVQFNWYV DGVEVHNAKT KPREEQFNST
YRVVSVLTVL HQDWLNGKEY KCKVSNKGLP SSIEKTISKA KGQPREPQVY
TLPPSQEEMT KNQVSLTCLV KGFYPSDIAV EWESNGQPEN NYKTTPPVLD
SDGSFFLYSR LTVDKSRWQE GNVFSCSVMH EALHNHYTQK SLSLSLG
```

Вторая и четвертая полипептидные цепи DART C содержат (в направлении от N-конца к C-концу): N-конец, VL-домен моноклонального антитела, способного связываться с PD-1 (VL $_{\rm PD-1}$ PD-1 mAb 6-SQ VL) (SEQ ID NO: 87); промежуточный линкерный пептид (линкер 1: GGGSGGGG (SEQ ID NO: 5)); VH-домен моноклонального антитела, способного связываться CTLA-4 (VHCTLA-4 CTLA-4 mAb 3 VH) (SEQ ID NO: 90); цистеинсодержащий промежуточный линкерный пептид (линкер 2: GGCGGG (SEQ ID NO: 6)); цистеинсодержащий способствующий образованию гетеродимера домен (K-coil) (KVAACKE-KVAALKE-KVAALKE (SEQ ID NO: 21) и C-конец.

Аминокислотная последовательность второй и четвертой полипептидных цепей DART C представляет собой (SEQ ID NO: 98)

```
EIVLTQSPAT LSLSPGERAT LSCRASESVD NYGMSFMNWF QQKPGQPPKL LIHAASNQGS GVPSRFSGSG SGTDFTLTIS SLEPEDFAVY FCQQSKEVPY TFGGGTKVEI KGGGSGGGQQ VQLVESGGGV VQPGRSLRLS CAASGFTFSS YTMHWVRQAP GKGLEWVTFI SYDGSNKHYA DSVKGRFTVS RDNSKNTLYL QMNSLRAEDT AIYYCARTGW LGPFDYWGQG TLVTVSSGGC GGGKVAACKE KVAALKEKVA ALKEKVAALK E
```

3. DART D.

DART D представляет собой биспецифичное четырехцепочечное содержащие Fc-фрагмент диатело, которое содержит два сайта связывания, специфичных в отношении PD-1, два сайта связывания, специфичных в отношении CTLA-4, вариант Fc-фрагмента IgG4, сконструированный для увеличения времени полужизни, и домены E/K-coil, способствующие образованию гетеродимера. Первая и третья полипептидные цепи DART D содержат (в направлении от N-конца к C-концу): N-конец, VL-домен моноклонального антитела, способного связываться с PD-1 (VL_{PD-1} PD-1 mAb 6-SQ VL) (SEQ ID NO: 87); промежуточный линкерный пептид (линкер 1: GGGSGGGG (SEQ ID NO: 5)); VH-домен моноклонального антитела, способного связываться CTLA-4 (VH_{CTLA-4} CTLA-4 mAb 3 VH) (SEQ ID NO: 90); цистеинсодержащий промежуточный линкерный пептид (линкер 2: GGCGGG (SEQ ID NO: 6)); цистеинсодержащий домен, способствующий образованию гетеродимера (E-coil) (EVAACEK-EVAALEK-EVAALEK-EVAALEK-EVAALEK (SEQ ID NO: 20)); стабилизированную шарнирную область IgG4 (SEQ ID NO: 36); вариант домена CH2-CH3 IgG4, содержащий замены M252Y/S254T/T256E и не содержащий С-концевой остаток (SEQ ID NO: 81); и C-конец.

Аминокислотная последовательность первой и третьей полипептидных цепей DART D представляет собой (SEQ ID NO: 99)

```
EIVLTQSPAT LSLSPGERAT LSCRASESVD NYGMSFMNWF QQKPGQPPKL LHAASNQGS GVPSRFSGSG SGTDFTLTIS SLEPEDFAVY FCQQSKEVPY TFGGGTKVEI KGGGSGGGGQ VQLVESGGGV VQPGRSLRLS CAASGFTFSS YTMHWVRQAP GKGLEWVTFI SYDGSNKHYA DSVKGRFTVS RDNSKNTLYL QMNSLRAEDT AIYYCARTGW LGPFDYWGQG TLVTVSSGGC GGGEVAACEK EVAALEKEVA ALEKEVAALE KESKYGPPCP PCPAPEFLGG PSVFLFPPKP KDTLYITREP EVTCVVVDVS QEDPEVQFNW YVDGVEVHNA KTKPREEQFN STYRVVSVLT VLHQDWLNGK EYKCKVSNKG LPSSIEKTIS KAKGQPREPQ VYTLPPSQEE MTKNQVSLTC LVKGFYPSDI AVEWESNGQP ENNYKTTPPV LDSDGSFFLY SRLTVDKSRW QEGNVFSCSV MHEALHNHYT QKSLSLSLG
```

Вторая и четвертая полипептидные цепи DART D содержат (в направлении от N-конца к C-концу): N-конец, VL-домен моноклонального антитела, способного связываться с CTLA-4 (VLCTLA-4 CTLA-4 mAb 3 VL) (SEQ ID NO: 91); промежуточный линкерный пептид (линкер 1: GGGSGGGG (SEQ ID NO: 5)); VH-домен моноклонального антитела, способного связываться с PD-1 (VHPD-1 PD-1 mAb 6-I VH) (SEQ ID NO: 86); цистеинсодержащий промежуточный линкерный пептид (линкер 2: GGCGGG (SEQ ID NO: 6)); цистеинсодержащий способствующий образованию гетеродимера домен (K-coil) (KVAACKE-KVAALKE-KVAALKE (SEQ ID NO: 21) и C-конец.

Аминокислотная последовательность второй и четвертой полипептидных цепей DART D представляет собой (SEO ID NO: 100)

```
EIVLTQSPGT LSLSPGERAT LSCRASQSVS SSFLAWYQQK PGQAPRLLIY
GASSRATGIP DRFSGSGSGT DFTLTISRLE PEDFAVYYCQ QYGSSPWTFG
QGTKVEIKGG GSGGGQVQL VQSGAEVKKP GASVKVSCKA SGYSFTSYWM
NWVRQAPGQG LEWIGVIHPS DSETWLDQKF KDRVTITVDK STSTAYMELS
SLRSEDTAVY YCAREHYGTS PFAYWGQGTL VTVSSGGCGG GKVAACKEKV
AALKEKVAAL KEKVAALKE
```

4. DART F.

DART F представляет собой биспецифичное четырехцепочечное содержащее Fc-фрагмент диатело, которое содержит два сайта связывания, специфичных в отношении PD-1, два сайта связывания, специфичных в отношении CTLA-4, вариант Fc-фрагмента IgG1, сконструированный для снижения/устранения эффекторной функции и для увеличения времени полужизни, и домены E/K-coil, способствующие образованию гетеродимера. Первая и третья полипептидные цепи DART F содержат (в направлении от N-конца к C-концу): N-конец, VL-домен моноклонального антитела, способного связываться с PD-1 (VL_{PD-1} PD-1 mAb 6-SQ VL) (SEQ ID NO: 87); промежуточный линкерный пептид (линкер 1: GGGSGGGG (SEQ ID NO: 5)); VH-домен моноклонального антитела, способного связываться СТLA-4 (VH_{CTLA-4} CTLA-4 mAb 3 VH) (SEQ ID NO: 90); цистеинсодержащий промежуточный линкерный пептид (линкер 2: GGCGGG (SEQ ID NO: 6)); цистеинсодержащий домен, способствующий образованию гетеродимера (E-coil) (EVAACEK-EVAALEK-EVAALEK (SEQ ID NO: 20)); линкер (SEQ ID NO: 30); вариант домена CH2-CH3 IgG1, содержащий замены L235A/L235A/M252Y/S254T/T256E и не содержащий С-концевой остаток (SEQ ID NO: 80); и C-конец.

Аминокислотная последовательность первой и третьей полипептидных цепей DART F (SEQ ID NO: 101) представляет собой

```
EIVLTQSPAT LSLSPGERAT LSCRASESVD NYGMSFMNWF QQKPGQPPKL LIHAASNQGS GVPSRFSGSG SGTDFTLTIS SLEPEDFAVY FCQQSKEVPY TFGGGTKVEI KGGGSGGGQQ VQLVESGGGV VQPGRSLRLS CAASGFTFSS YTMHWVRQAP GKGLEWVTFI SYDGSNKHYA DSVKGRFTVS RDNSKNTLYL QMNSLRAEDT AIYYCARTGW LGPFDYWGQG TLVTVSSGGC GGGEVAACEK EVAALEKEVA ALEKEVAALE KLEPKSADKT HTCPPCPAPE AAGGPSVFLF PPKPKDTLYI TREPEVTCVV VDVSHEDPEV KFNWYVDGVE VHNAKTKPRE EQYNSTYRVV SVLTVLHQDW LNGKEYKCKV SNKALPAPIE KTISKAKGQP REPQVYTLPP SREEMTKNQV SLTCLVKGFY PSDIAVEWES NGQPENNYKT TPPVLDSDGS FFLYSKLTVD KSRWQQGNVF SCSVMHEALH NHYTQKSLSL SPG
```

Вторая и четвертая полипептидные цепи DART F содержат (в направлении от N-конца к C-концу): N-конец, VL-домен моноклонального антитела, способного связываться с CTLA-4 (VLCTLA-4 CTLA-4 mAb 3 VL) (SEQ ID NO: 91); промежуточный линкерный пептид (линкер 1: GGGSGGGG (SEQ ID NO: 5)); VH-домен моноклонального антитела, способного связываться с PD-1 (VH_{PD-1} PD-1 mAb 6-I VH) (SEQ ID NO: 86); цистеинсодержащий промежуточный линкерный пептид (линкер 2: GGCGGG (SEQ ID NO: 6)); цистеинсодержащий способствующий образованию гетеродимера домен (K-coil) (KVAACKE-KVAALKE-KVAALKE (SEQ ID NO: 21) и C-конец.

Аминокислотная последовательность второй и четвертой полипептидных цепей DART F является такой же, как аминокислотная последовательность второй и четвертой полипептидных цепей DART D (SEQ ID NO: 100).

В. Примеры четырехцепочечных содержащих Fc-фрагмент диател, которые содержат CL/CH1-домены: DART E.

Был создан пример биспецифичного в отношении PD-1 х CTLA-4 четырехцепочечного содержащего Fc-фрагмент диатела, который содержит CL/CH1-домены и обозначен как "DART E". Структура указанных содержащих Fc-фрагмент диател подробно описана ниже. Предполагается, что указанный пример биспецифичного в отношении PD-1 х CTLA-4 диатела иллюстрирует настоящее изобретение и никоим образом не ограничивает его объем.

DART Е представляет собой биспецифичное четырехцепочечное содержащие Fc-фрагмент диатело, содержащее два сайта связывания, специфичных в отношении PD-1, два сайта связывания, специфичных в отношении CTLA-4, CL/CH1-домены и вариант Fc-фрагмента IgG4, сконструированный для увеличения времени полужизни. Первая и третья полипептидные цепи DART Е содержат (в направлении от N-конца к C-концу): N-конец; VL-домен моноклонального антитела, способного связываться с CTLA-4 (VL_{CTLA-4} CTLA-4 mAb 3 VL) (SEQ ID NO: 91); промежуточный линкерный пептид (линкер 1: GGGSGGGG (SEQ ID NO: 5)); VH-домен моноклонального антитела, способного связываться с PD-1 (VHPD-1 PD-1 mAb 6-I VH) (SEQ ID NO: 86); промежуточный линкерный пептид (линкер 2: LGGGSG (SEQ ID NO: 8)); CH1-домен IgG4 (SEQ ID NO: 42); стабилизированную шарнирную область IgG4 (SEQ ID NO: 36); вариант домена CH2-CH3 IgG4, содержащий замены M252Y/S254T/T256E и не содержащий С-концевой остаток (SEQ ID NO: 81), и C-конец.

Аминокислотная последовательность первой и третьей полипептидных цепей DART E представляет собой (SEQ ID NO: 102)

```
EIVLTQSPGT LSLSPGERAT LSCRASQSVS SSFLAWYQQK PGQAPRLLIY
GASSRATGIP DRFSGSGSGT DFTLTISRLE PEDFAVYYCQ QYGSSPWTFG
QGTKVEIKGG GSGGGQVQL VQSGAEVKKP GASVKVSCKA SGYSFTSYWM
NWVRQAPGQG LEWIGVIHPS DSETWLDQKF KDRVTITVDK STSTAYMELS
SLRSEDTAVY YCAREHYGTS PFAYWGQGTL VTVSSLGGGS GASTKGPSVF
PLAPCSRSTS ESTAALGCLV KDYFPEPVTV SWNSGALTSG VHTFPAVLQS
SGLYSLSSVV TVPSSSLGTK TYTCNVDHKP SNTKVDKRVE SKYGPPCPPC
PAPEFLGGPS VFLFPPKPKD TLYITREPEV TCVVVDVSQE DPEVQFNWYV
DGVEVHNAKT KPREEQFNST YRVVSVLTVL HQDWLNGKEY KCKVSNKGLP
SSIEKTISKA KGQPREPQVY TLPPSQEEMT KNQVSLTCLV KGFYPSDIAV
EWESNGQPEN NYKTTPPVLD SDGSFFLYSR LTVDKSRWQE GNVFSCSVMH
EALHNHYTQK SLSLSLG
```

Вторая и четвертая полипептидные цепи DART E содержат (в направлении от N-конца к C-концу): N-конец; VL-домен моноклонального антитела, способного связываться с PD-1 (VL $_{PD-1}$ PD-1 mAb 6-SQ VL) (SEQ ID NO: 87); промежуточный линкерный пептид (линкер 1: GGGSGGGG (SEQ ID NO: 5)); VH-домен моноклонального антитела, способного связываться CTLA-4 (VH $_{CTLA-4}$ CTLA-4 mAb 3 VH) (SEQ ID NO: 90); промежуточный линкерный пептид (линкер 2: LGGGSG (SEQ ID NO: 8)); CL-домен каппа (SEQ ID NO: 38) и C-конец.

Аминокислотная последовательность второй и четвертой полипептидных цепей DART E представляет собой (SEQ ID NO: 103)

```
EIVLÍQSPAT LSLSPGERAT LSCRASESVD NYGMSFMNWF QQKPGQPPKL LIHAASNQGS GVPSRFSGSG SGTDFTLTIS SLEPEDFAVY FCQQSKEVPY TFGGGTKVEI KGGGSGGGQQ VQLVESGGGV VQPGRSLRLS CAASGFTFSS YTMHWVRQAP GKGLEWVTFI SYDGSNKHYA DSVKGRFTVS RDNSKNTLYL QMNSLRAEDT AIYYCARTGW LGPFDYWGQG TLVTVSSLGG GSGRTVAAPS VFIFPPSDEQ LKSGTASVVC LLNNFYPREA KVQWKVDNAL QSGNSQESVT EQDSKDSTYS LSSTLTLSKA DYEKHKVYAC EVTHQGLSSP VTKSFNRGEC
```

С. Примеры тривалентных связывающих молекул, содержащих Fc-фрагменты.

Были созданы два примера биспецифичных в отношении PD-1 х CTLA-4 четырехцепочечных содержащих Fc-фрагмент тривалентных связывающих молекул (обозначенных как "TRIDENT A" и "TRI-DENT B"). Структура указанных содержащих Fc-фрагмент тривалентных связывающих молекул подробно описана ниже. Также ниже представлен трехцепочечный вариант, обозначенный как "TRIDENT C", который может быть создан. Указанные примеры биспецифичных в отношении PD-1 х CTLA-4 тривалентных связывающих молекул предложены для иллюстрации настоящего изобретения и никоим образом не ограничивают его объем.

1. TRIDENT A (ТРЕЗУБЕЦ А).

ТRIDENT А представляет собой биспецифичную, четырехцепочечную, содержащую Fc-фрагмент тривалентную связывающую молекулу, содержащую два сайта связывания, специфичных в отношении PD-1, один сайт связывания, специфичный в отношении CTLA-4, вариант Fc-фрагмента IgG4, содержащий "выступ"/"впадину", сконструированный для увеличения времени полужизни, домены E/K-coil, способствующие образованию гетеродимера, и CL/CH1-домены. Первая полипептидная цепь TRIDENT A содержит (в направлении от N-конца к C-концу): VL-домен моноклонального антитела, способного связываться с PD-1 (VL_{PD-1} PD-1 mAb 6-SQ VL) (SEQ ID NO: 87); промежуточный линкерный пептид (линкер 1: GGGSGGGG (SEQ ID NO: 5)); VH-домен моноклонального антитела, способного связываться с PD-1 (VH_{PD-1} PD-1 mAb 6-I VH) (SEQ ID NO: 86); цистеинсодержащий промежуточный линкерный пептид (линкер 2: GGCGGG (SEQ ID NO: 6)); цистеинсодержащий домен, способствующий образованию гетеродимера (E-coil) (EVAACEK-EVAALEK-EVAALEK-EVAALEK (SEQ ID NO: 20)); стабилизированную шарнирную область IgG4 (SEQ ID NO: 36); домен CH2-CH3 IgG4, содержащий "выступ" и замены M252Y/S254T/T256E и не содержащий C-концевой остаток (SEQ ID NO: 84), и C-конец.

Аминокислотная последовательность первой полипептидной цепи TRIDENT A представляет собой (SEQ ID NO: 104)

```
EIVLTQSPAT LSLSPGERAT LSCRASESVD NYGMSFMNWF QQKPGQPPKL LIHAASNQGS GVPSRFSGSG SGTDFTLTIS SLEPEDFAVY FCQQSKEVPY TFGGGTKVEI KGGGSGGGQQ VQLVQSGAEV KKPGASVKVS CKASGYSFTS YWMNWVRQAP GQGLEWIGVI HPSDSETWLD QKFKDRVTIT VDKSTSTAYM ELSSLRSEDT AVYYCAREHY GTSPFAYWGQ GTLVTVSSGG CGGGEVAACE KEVAALEKEV AALEKEVAAL EKESKYGPPC PPCPAPEFLG GPSVFLFPPK PKDTLYITRE PEVTCVVVDV SQEDPEVQFN WYVDGVEVHN AKTKPREEQF NSTYRVVSVL TVLHQDWLNG KEYKCKVSNK GLPSSIEKTI SKAKGQPREP QVYTLPPSQE EMTKNQVSLW CLVKGFYPSD IAVEWESNGQ PENNYKTTPP VLDSDGSFFL YSRLTVDKSR WQEGNVFSCS VMHEALHNHY TQKSLSLSG
```

Вторая полипептидная цепь TRIDENT A содержит (в направлении от N-конца к C-концу): N-конец, VL-домен моноклонального антитела, способного связываться с PD-1 (VL $_{PD-1}$ PD-1 mAb 6-SQ VL) (SEQ ID NO: 87); промежуточный линкерный пептид (линкер 1: GGGSGGGG (SEQ ID NO: 5)); VH-домен моноклонального антитела, способного связываться с PD-1 (VH $_{PD-1}$ PD-1 mAb 6-I VH) (SEQ ID NO: 86); цистеинсодержащий промежуточный линкерный пептид (линкер 2: GGCGGG (SEQ ID NO: 6)); цистеинсодержащий способствующий образованию гетеродимера домен (K-coil) (KVAACKE-KVAALKE-KVAALKE-KVAALKE (SEQ ID NO: 21)) и C-конец.

Аминокислотная последовательность второй полипептидной цепи TRIDENT A представляет собой (SEQ ID NO: 105)

```
EIVLTQSPAT LSLSPGERAT LSCRASESVD NYGMSFMNWF QQKPGQPPKL LIHAASNQGS GVPSRFSGSG SGTDFTLTIS SLEPEDFAVY FCQQSKEVPY TFGGGTKVEI KGGGSGGGQQ VQLVQSGAEV KKPGASVKVS CKASGYSFTS YWMNWVRQAP GQGLEWIGVI HPSDSETWLD QKFKDRVTIT VDKSTSTAYM ELSSLRSEDT AVYYCAREHY GTSPFAYWGQ GTLVTVSSGG CGGGKVAACK EKVAALKEKV AALKEKVAAL KE
```

Третья полипептидная цепь TRIDENT A содержит (в направлении от N-конца к C-концу): N-конец; VH-домен моноклонального антитела, способного связываться CTLA-4 (VH_{CTLA-4} CTLA-4 mAb 3 VH) (SEQ ID NO: 90); CH1-домен IgG4 (SEQ ID NO: 42); стабилизированную шарнирную область IgG4 (SEQ ID NO: 36); домен CH2-CH3 IgG4, содержащий "впадину" и замены M252Y/S254T/T256E и не содержащий С-концевой остаток (SEQ ID NO: 81), и C-конец.

Аминокислотная последовательность третьей полипептидной цепи TRIDENT A представляет собой (SEQ ID NO: 106)

```
QVQLVESGGG VVQPGRSLRL SCAASGFTFS SYTMHWVRQA PGKGLEWVTF ISYDGSNKHY ADSVKGRFTV SRDNSKNTLY LQMNSLRAED TAIYYCARTG WLGPFDYWGQ GTLVTVSSAS TKGPSVFPLA PCSRSTSEST AALGCLVKDY FPEPVTVSWN SGALTSGVHT FPAVLQSSGL YSLSSVVTVP SSSLGTKTYT CNVDHKPSNT KVDKRVESKY GPPCPPCPAP EFLGGPSVFL FPPKPKDTLY ITREPEVTCV VVDVSQEDPE VQFNWYVDGV EVHNAKTKPR EEQFNSTYRV VSVLTVLHQD WLNGKEYKCK VSNKGLPSSI EKTISKAKGQ PREPQVYTLP PSQEEMTKNQ VSLSCAVKGF YPSDIAVEWE SNGQPENNYK TTPPVLDSDG SFFLVSRLTV DKSRWQEGNV FSCSVMHEAL HNRYTQKSLS LSLG
```

Четвертая полипептидная цепь TRIDENT A содержит (в направлении от N-конца к C-концу): N-конец; VL-домен моноклонального антитела, способного связываться с CTLA-4 (VL $_{CTLA-4}$ CTLA-4 mAb 3 VL) (SEQ ID NO: 91); CL-домен каппа (SEQ ID NO: 38) и C-конец.

Аминокислотная последовательность четвертой полипептидной цепи TRIDENT A представляет собой (SEQ ID NO: 107)

```
EIVLTQSPGT LSLSPGERAT LSCRASQSVS SSFLAWYQQK PGQAPRLLIY
GASSRATGIP DRFSGSGSGT DFTLTISRLE PEDFAVYYCQ QYGSSPWTFG
QGTKVEIKRT VAAPSVFIFP PSDEQLKSGT ASVVCLLNNF YPREAKVQWK
VDNALQSGNS QESVTEQDSK DSTYSLSSTL TLSKADYEKH KVYACEVTHQ
GLSSPVTKSF NRGEC
```

2. TRIDENT В (ТРЕЗУБЕЦ В).

ТRIDENT В представляет собой биспецифичную четырехцепочечную содержащую Fc-фрагмент тривалентную связывающую молекулу, которая содержит два сайта связывания, специфичных в отношении PD-1, один сайт связывания, специфичный в отношении CTLA-4, вариант Fc-фрагмента IgG1, содержащий "выступ"/впадину", сконструированный для снижения/устранения эффекторной функции и для увеличения времени полужизни, домены E/K-coil, способствующие образованию гетеродимера, и CL/CH1-домены. Первая полипептидная цепь TRIDENT В содержит (в направлении от N-конца к С-концу): VL-домен моноклонального антитела, способного связываться с PD-1 (VL_{PD-1} PD-1 mAb 6-SQ VL) (SEQ ID NO: 87); промежуточный линкерный пептид (линкер 1: GGGSGGGG (SEQ ID NO: 5)); VH-домен моноклонального антитела, способного связываться с PD-1 (VH_{PD-1} PD-1 mAb 6-I VH) (SEQ ID NO: 86); цистеинсодержащий промежуточный линкерный пептид (линкер 2: GGCGGG (SEQ ID NO: 6)); цистеинсодержащий домен, способствующий образованию гетеродимера (E-coil) (EVAACEK-EVAALEK-EVAALEK (SEQ ID NO: 20)); линкер (SEQ ID NO: 31); домен CH2-CH3 IgG1, содержащий "выступ" и замены L234A/L235A/M252Y/S254T/ T256E и не содержащий С-концевой остаток (SEQ ID NO: 82), и C-конец.

Аминокислотная последовательность первой полипептидной цепи TRIDENT В представляет собой (SEQ ID NO: 108)

```
EIVLTQSPAT LSLSPGERAT LSCRASESVD NYGMSFMNWF QQKPGQPPKL LIHAASNQGS GVPSRFSGSG SGTDFTLTIS SLEPEDFAVY FCQQSKEVPY TFGGGTKVEI KGGGSGGGQQ VQLVQSGAEV KKPGASVKVS CKASGYSFTS YWMNWVRQAP GQGLEWIGVI HPSDSETWLD QKFKDRVTIT VDKSTSTAYM ELSSLRSEDT AVYYCAREHY GTSPFAYWGQ GTLVTVSSGG CGGGEVAACE KEVAALEKEV AALEKEVAAL EKGGGDKTHT CPPCPAPEAA GGPSVFLFPP KPRDTLYITR EPEVTCVVVD VSHEDPEVKF NWYVDGVEVH NAKTKPREEQ YNSTYRVVSV LTVLHQDWLN GKEYKCKVSN KALPAPIEKT ISKAKGQPRE PQVYTLPPSR EEMTKNQVSL WCLVKGFYPS DIAVEWESNG QPENNYKTTP PVLDSDGSFF LYSKLTVDKS RWQQGNVFSC SVMHEALHNU YTQKSLSLSP
```

Вторая полипептидная цепь TRIDENT В содержит (в направлении от N-конца к С-концу): N-конец, VL-домен моноклонального антитела, способного связываться с PD-1 (VL $_{\rm PD-1}$ PD-1 mAb 6-SQ VL) (SEQ ID NO: 87); промежуточный линкерный пептид (линкер 1: GGGSGGGG (SEQ ID NO: 5)); VH-домен моноклонального антитела, способного связываться с PD-1 (VH $_{\rm PD-1}$ PD-1 mAb 6-I VH) (SEQ ID NO: 86); цистеинсодержащий промежуточный линкерный пептид (линкер 2: GGCGGG (SEQ ID NO: 6)); цистеинсодержащий способствующий образованию гетеродимера домен (K-coil) (KVAACKE-KVAALKE-KVAALKE-KVAALKE-KVAALKE (SEQ ID NO: 21)) и С-конец.

Аминокислотная последовательность второй полипептидной цепи TRIDENT В является такой же, как аминокислотная последовательность второй полипептидной цепи TRIDENT A (SEQ ID NO: 105):

Третья полипептидная цепь TRIDENT В содержит (в направлении от N-конца к C-концу): N-конец; VH-домен моноклонального антитела, способного связываться CTLA-4 (VH $_{\rm CTLA-4}$ CTLA-4 mAb 3 VH) (SEQ ID NO: 90); CH1-домен IgG1 (SEQ ID NO: 40); шарнирную область IgG1 (SEQ ID NO: 33); домен CH2-CH3 IgG1, содержащий "впадину" и замены L234A/L235A/M252Y/S254T/T256E и не содержащий С-концевой остаток (SEQ ID NO: 83), и C-конец.

Аминокислотная последовательность третьей полипептидной цепи TRIDENT В представляет собой (SEQ ID NO: 109)

```
QVQLVESGGG VVQPGRSLRL SCAASGFTFS SYTMHWVRQA PGKGLEWVTF ISYDGSNKHY ADSVKGRFTV SRDNSKNTLY LQMNSLRAED TAIYYCARTG WLGPFDYWGQ GTLVTVSSAS TKGFSVFPLA PSSKSTSGGT AALGCLVKDY FPEPVTVSWN SGALTSGVHT FPAVLQSSGL YSLSSVVTVV SSSLGTQTYI CNVNHKPSNT KVDKRVEPKS CDKTHTCPPC PAPEAAGGPS VFLFPPKFND TLYITREPEV TCVVVDVSHE DPEVKFNWYV DGVEVHNAKT KPREEQYNST YRVVSVLTVL HQDWLNGKEY KCKVSNKALP APIEKTISKA KGQPREPQVY TLPPSREEMT KNQVSLSCAV KGFYPSDIAV EWESNGQPEN NYKTTPPVLD SDGSFFLVSK LTVDKSRWQQ GNVFSCSVMH EALHNRYTQK SLSLSPGK
```

Четвертая полипептидная цепь TRIDENT В содержит (в направлении от N-конца к C-концу): N-конец; VL-домен моноклонального антитела, способного связываться с CTLA-4 (VLCTLA-4 CTLA-4 mAb 3 VL) (SEQ ID NO: 91); CL-домен каппа (SEQ ID NO: 38) и C-конец.

Аминокислотная последовательность четвертой полипептидной цепи TRIDENT В является такой же, как аминокислотная последовательность второй полипептидной цепи TRIDENT A (SEQ ID NO: 107).

3. TRIDENT C (ТРЕЗУБЕЦ С).

Как предложено в настоящей заявке, тривалентные связывающие молекулы, содержащие три полипептидные цепи, можно создавать путем объединения связывающих доменов двух отдельных полипептидных цепей в одну цепь (например, путем гибридизации кодирующих полинуклеотидов и т.д.). Одна биспецифичная трехцепочечная содержащая Fc-фрагмент тривалентная связывающая молекула, которая может быть сконструирована, содержит два сайта связывания, специфичных в отношении PD-1, один сайт связывания, специфичный в отношении CTLA-4, вариант Fc-фрагмента IgG4, содержащий "выступ"/впадину, сконструированный для увеличения времени полужизни, и домены E/K-coil, способствующие образованию гетеродимера ("TRIDENT C"). Первая и вторая полипептидные цепи TRIDENT С могут быть идентичны первой и второй полипептидной цепи TRIDENT A, представленным выше.

Таким образом, аминокислотная последовательность третьей полипептидной цепи TRIDENT C представляет собой (SEQ ID NO: 110)

```
EIVLTQSPGT LŚLSPGERAT LSCRASQSVS SSFLAWYQQK PGQAPRLLIY GASSRATGIP DRFSGSGSGT DFTLTISRLE PEDFAVYYCQ QYGSSPWTFG QGTKVEIKGG GGSGGGSGG GGSQVQLVES GGGVVQPGRS LRLSCAASGF TFSSYTMHWV RQAPGKGLEW VTFISYDGSN KHYADSVKGR FTVSRDNSKN TLYLQMNSLR AEDTAIYYCA RTGWLGPFDY WGQGTLVTVS SESKYGPPCP PCPAPEFLGG PSVFLFPPKP KDTLYITREP EVTCVVVDVS QEDPEVQFNW YVDGVEVHNA KTKPREEQFN STYRVVSVLT VLHQDWLNGK EYKCKVSNKG LPSSIEKTIS KAKGQPREPQ VYTLPPSQEE MTKNQVSLSC AVKGFYPSDI AVEWESNGQP ENNYKTTPPV LDSDGSFFLV SRLTVDKSRW QEGNVFSCSV MHEALHNRYT OKSLSLSLG
```

IX. Способы получения.

Биспецифичные в отношении PD-1 x CTLA-4 молекулы согласно настоящему изобретению наиболее предпочтительно получают путем рекомбинантной экспрессии молекул нуклеиновой кислоты, кодирующих указанные полипептиды, как хорошо известно в данной области техники.

Полипептиды согласно изобретению можно успешно получать с применением твердофазного пептидного синтеза (Merrifield, B. (1986) "Solid Phase Synthesis" Science 232(4748):341-347; Houghten, R.A. (1985) "General Method For The Rapid Solid-Phase Synthesis Of Large Numbers Of Peptides: Specificity Of Antigen-Antibody Interaction At The Level Of Individual Amino Acids" Proc. Natl. Acad. Sci. (США) 82(15):5131-5135; Ganesan, A. (2006) "Solid-Phase Synthesis In The Twenty-First Century", Mini Rev. Med. Chem. 6(1):3-10).

В качестве альтернативы, антитела можно получить рекомбинантным путем и экспрессировать с помощью способа, известного в данной области техники. Антитела можно получать рекомбинантным путем, выделяя сначала антитело, полученное от животного-хозяина, определяя его генную последовательность и используя указанную генную последовательность для рекомбинантной экспрессии антитела в хозяйских клетках (например, клетках СНО). Другой способ, который можно использовать, представляет собой экспрессию последовательности антитела в растениях (например, табаке) или молоке трансгенных животных. Были описаны подходящие способы рекомбинантной экспрессии антител в растениях или молоке (см. например, Peeters et al. (2001) "Production Of Antibodies And Antibody Fragments In Plants" Vaccine 19:2756; Lonberg, N. et al. (1995) "Human Antibodies From Transgenic Mice" Int. Rev. Immunol

13:65-93; and Pollock et al. (1999) "Transgenic Milk As A Method For The Production Of Recombinant Antibodies" J. Immunol Methods 231:147-157). Подходящие способы создания производных антител, например, гуманизированного антитела, одноцепочечного антитела и т.д., известны в данной области техники и были описаны выше. Согласно другому альтернативному варианту, антитела могут быть получены рекомбинантным путем с помощью технологии фагового дисплея (см., например, патенты США № 5,565,332; 5,580,717; 5,733,743; 6,265,150; and Winter, G. et al. (1994) "Making Antibodies By Phage Display Technology" Annu. Rev. Immunol. 12.433-455).

Векторы, содержащие интересующие полинуклеотиды (например, полинуклеотиды, кодирующие полипептидные цепи биспецифичных в отношении PD-1 х CTLA-4 молекул согласно настоящему изобретению), можно встраивать в хозяйскую клетку с помощью любого из ряда подходящих способов, включая электропорацию, трансфекцию с использованием хлорида кальция, хлорида рубидия, фосфата кальция, DEAE-декстрана или других веществ; бомбардировку микрочастицами; липофекцию и инфекцию (например, где вектор представляет собой инфекционный агент, такой как вирус осповакцины). Выбор векторов или полинуклеотидов для введения часто зависит от характеристик хозяйской клетки.

Любую хозяйскую клетку, способную экспрессировать на повышенном уровне гетерологичную ДНК, можно применять для экспрессии интересующего полипептида или белка. Неограничивающие примеры подходящих хозяйских клеток млекопитающих включают, но не ограничиваются клетками COS, HeLa и CHO.

Изобретение включает полипептиды, содержащие аминокислотную последовательность биспецифичных в отношении PD-1 х СТLА-4 молекул согласно настоящему изобретению. Полипептиды согласно настоящему изобретению могут быть получены с помощью процедур, известных в данной области техники. Полипептиды могут быть получены путем протеолитической или другой деградации антител, с помощью рекомбинантных способов (т.е. в виде отдельных или гибридных полипептидов), как описано выше, или с помощью химического синтеза. Полипептиды антител, в частности, короткие полипептиды размером до примерно 50 аминокислот, удобно получать путем химического синтеза. Методы химического синтеза известны в данной области техники и являются коммерчески доступными.

Изобретение включает варианты биспецифичных в отношении PD-1 x CTLA-4 молекул, содержащие функционально эквивалентные полипептиды, которые значительно не влияют на свойства указанных молекул, а также варианты, которые обладают повышенной или пониженной активностью. Модификация полипептидов относится к стандартной практике в данной области техники и не нуждается в подробном описании в настоящей заявке. Примеры модифицированных полипептидов включают полипептиды с консервативными заменами аминокислотных остатков, с одной или более делециями или добавлениями аминокислот, которые не оказывают значительного негативного влияния на функциональную активность, или с использованием химических аналогов. Аминокислотные остатки, которые можно заменять друг на друга в качестве консервативных замен, включают, но не ограничиваются следующими: глицин/аланин; серин/треонин; валин/изолейцин/лейцин; аспарагин/глутамин; аспарагиновая кислота/глутаминовая кислота; лизин/аргинин и фенилаланин/тирозин. Указанные полипептиды также включают гликозилированные и негликозилированные полипептиды, а также полипептиды с другими посттрансляционными модификациями, такими как, например, гликозилирование различными сахарами, ацетилирование и фосфорилирование. Предпочтительно, аминокислотные замены являются консервативными, т.е. заменяющая аминокислота обладает химическими свойствами, сходными со свойствами исходной аминокислоты. Такие консервативные замены известны в данной области техники, их примеры были предложены выше. Аминокислотные модификации могут варьировать от изменения или модифицирования одной или более аминокислот до полной реконструкции участка, такого как вариабельный домен. Изменения в вариабельном домене могут приводить к изменению аффинности связывания и/или специфичности. Другие способы модифицирования включают применение методов сочетания, известных в данной области техники, включая, но не ограничиваясь, ферментативные способы, окислительное замещение и хелатирование. Модификации можно использовать, например, для присоединения меток для иммуннологического анализа, такого как присоединение радиоактивных фрагментов для радиоиммуннологического анализа. Модифицированные полипептиды можно получать с помощью общепринятых в данной области техники методов и подвергать скринингу с помощью стандартных анализов, известных в данной области техники.

Изобретение включает гибридные белки, содержащие один или более из полипептидов или антител согласно настоящему изобретению. Согласно одному варианту реализации изобретения предложен гибридный полипептид, который содержит легкую цепь, тяжелую цепь или легкую и тяжелую цепь. Согласно другому варианту реализации изобретения гибридный полипептид содержит гетерологичный константный домен иммунноглобулина. Согласно другому варианту реализации изобретения гибридный полипептид содержит вариабельный домен легкой цепи и вариабельный домен тяжелой цепи антитела, полученного из публично доступной депонированной гибридомы. В целях настоящего изобретения, гибридный белок антитела содержит один или более полипептидных доменов, которые специфично связываются с PD-1 и/или CTLA-4, и другую аминокислотную последовательность, к которой он не присоединен в нативной молекуле, например, гетерологичную последовательность или гомологичную последовательность из другого участка.

X. Способы применения биспецифичных в отношении PD-1 x CTLA-4 молекул согласно настоящему изобретению.

Настоящее изобретение включает композиции, включая фармацевтические композиции, содержащие биспецифичные в отношении PD-1 х CTLA-4 молекулы согласно настоящему изобретению (например, биспецифичные антитела, биспецифичные диатела, тривалентные связывающие молекулы и т.д.), полипептиды, полученные из таких молекул, полинуклеотиды, содержащие последовательности, кодирующие такие молекулы или полипептиды, и другие агенты, описанные в настоящей заявке.

Как обсуждается выше, PD-1 и CTLA-4 играют важную роль в отрицательной регуляции иммунных ответов (например, пролиферации, функционирования и гомеостаза иммунных клеток). Биспецифичные в отношении PD-1 x CTLA-4 молекулы согласно настоящему изобретению способны ингибировать функцию PD-1 и таким образом обращать опосредованное PD-1 подавление иммунной системы. Кроме того, биспецифичные в отношении PD-1 x CTLA-4 молекулы согласно настоящему изобретению способны ингибировать функцию СТLА-4 и таким образом стимулировать иммунную систему путем блокирования подавления иммунной системы, опосредованного PD-1 и CTLA-4. Биспецифичные в отношении PD-1 x CTLA-4 молекулы согласно настоящему изобретению также позволяют полностью блокировать PD-1 и CTLA-4, а также преимущественно блокировать CTLA-4 при его ко-экспрессии с PD-1. Таким образом, биспецифичные в отношении PD-1 x CTLA-4 молекулы согласно изобретению применимы для ослабления Т-клеточного истощения и/или для усиления иммунного ответа (например, иммунного ответа, опосредованного Т-клетками и/или естественными клетками-киллерами (NK-клетками)) субъекта. В частности, биспецифичные в отношении PD-1 x CTLA-4 молекулы согласно изобретению могут применяться для лечения любых заболеваний или состояний, связанных с нежелательной супрессией иммунной системы, включая рак и заболевания, которые связаны с присутствием патогена (например, бактериальной, грибковой, вирусной или протозойной инфекции).

Раковые заболевания, которые можно лечить с помощью биспецифичных в отношении PD-1 x CTLA-4 молекул согласно настоящему изобретению, включают раковые заболевания, характеризующиеся присутствием раковой клетки, выбранной из группы, состоящей из клетки: опухоли надпочечника, ассоциированного со СПИДом рака, альвеолярной саркомы мягких тканей, астроцитарной опухоли, рака мочевого пузыря, рака кости, рака головного и спинного мозга, метастатической опухоли головного мозга, рака молочной железы, опухоли каротидного тельца, рака шейки матки, хондросаркомы, хордомы, хромофобной почечно-клеточной карциномы, светлоклеточной карциномы, рака толстой кишки, рака толстой и прямой кишки, кожной доброкачественной фиброзной гистиоцитомы, десмопластической мелкокруглоклеточной опухоли, эпендимомы, саркомы Юинга, внескелетной мукоидной хондросаркомы, несовершенного костного фиброгенеза, фиброзной дисплазии кости, рака желчного пузыря или рака желчного протока, рак желудка, гестационной трофобластической болезни, эмбрионально-клеточной опухоли, рака головы и шеи, гепатоклеточной карциномы, опухоли островковых клеток поджелудочной железы, саркомы Капоши, рака почки, лейкоза, липомы/доброкачественной липоматозной опухоли, липосаркомы/злокачественной липоматозной опухоли, рака печени, лимфомы, рака легких, медуллобластомы, меланомы, менингиомы, множественной эндокринной неоплазии, множественной миеломы, миелодиспластического синдрома, нейробластомы, нейроэндокринных опухолей, рака яичников, рака поджелудочной железы, паппилярной тиреокарциномы, опухоли паращитовидной железы, педиатрического рака, опухоли оболочек периферических нервов, феохромоцитомы, опухоли гипофиза рака предстательной железы, задней увеальнои меланомы, редкого гематологического расстройства, метастатического рака почки, рабдоидной опухоли, рабдомиосаркомы, саркомы, рака кожи, саркомы мягких тканей, плоскоклеточного рака, рака желудка, синовиальной саркомы, рака яичка, рака вилочковой железы, тимомы, метастатического рака щитовидной железы и рака матки.

В частности, биспецифичные в отношении PD-1 х CTLA-4 молекулы согласно настоящему изобретению можно применять в лечении рака толстой и прямой кишки, гепатоклеточной карциномы, глиомы, рака почки, рака молочной железы, множественной миеломы, рака мочевого пузыря, нейробластомы; саркомы, неходжкинской лимфомы, немелкоклеточного рака легких, рака яичников, рака поджелудочной железы и рака прямой кишки.

Инфекции, которые можно лечить с помощью биспецифичных в отношении PD-1 х CTLA-4 молекул согласно настоящему изобретению, включают хронические вирусные, бактериальные, грибковые и паразитарные инфекции. Хронические инфекции, которые можно лечить с помощью биспецифичных в отношении PD-1 х CTLA-4 молекул согласно настоящему изобретению, включают инфекции, вызванные вирусом Эпштейна-Барра, вирусом гепатита А (HAV); вирусом гепатита В (HBV); вирусом гепатита С (HCV); вирусами герпеса (например HSV-1, HSV-2, HHV-6, CMV), вирусами иммуннодефицита человека (ВИЧ), вирусом везикулярного стоматита (VSV), бактериями класса Bacilli, бактериями рода Сіtrobacter, холерным вибрионом, дифтирийной палочкой, энтеробактериями, гонококками, бактериями вида Неlіcobacter руlогі, бактериями родов Klebsiella и Legionella, менингококками, микобактериями, бактериями рода Рѕеидотопав, пневмококками, риккетсиями, сальмонеллами, бактериями рода Serratia, стафилококками, стрептококками, столбнячной палочкой, грибами рода Aspergillus (A. fumigatus, A. niger и т.д.), грибами вида Blastomyces dermatitidis, грибами рода Candida (C. albicans, C. krusei, C. glabrata, C.

tropicalis и т.д.), грибами вида Cryptococcus neoformans, грибами рода Mucorales (mucor, absidia, rhizopus), грибами видов Sporothrix schenkii, Paracoccidioides brasiliensis, Coccidioides immitis, Histoplasma capsulatum, бактериями, вызывающими лептоспироз, бактериями вида Borrelia burgdorferi, гельминтами (нематодами, ленточными червями, трематодами, плоскими червями (например, шистосомами), кишечными лямблиями, червями рода Trichinella, амебами вида Dientamoeba Fragilis, трипаносомами видов Trypanosoma brucei и Trypanosoma cruzi и протистами вида Leishmania donovani.

XI. Фармацевтические композиции.

Композиции согласно изобретению включают нефасованные композиции лекарственного средства, применимые в изготовлении фармацевтических композиций (например, неочищенные или нестерильные композиции), и фармацевтические композиции (т.е. композиции, подходящие для введения субъекту или пациенту), которые можно применять в приготовлении единичной формы дозирования. Такие композиции содержат профилактически или терапевтически эффективное количество биспецифичных в отношении PD-1 х CTLA-4 молекул согласно настоящему изобретению или комбинацию таких агентов и фармацевтически приемлемый носитель. Предпочтительно, композиции согласно изобретению содержат профилактически или терапевтически эффективное количество биспецифичных в отношении PD-1 х CTLA-4 молекул согласно настоящему изобретению и фармацевтически приемлемый носитель. Изобретение также включает такие фармацевтические композиции, которые дополнительно содержат второе терапевтическое антитело (например, опухоль-специфичное моноклональных антитело), которое специфично в отношении конкретного ракового антигена, и фармацевтически приемлемый носитель.

Согласно конкретному варианту реализации изобретения термин "фармацевтически приемлемый" означает, что указанное вещество одобрено регулирующим органом федерального правительства или правительства штата США или перечислено в Фармакопее США или других в целом признанных фармакопеях для применения у животных и более конкретно, у человека. Термин "носитель" относится к разбавителю, адъюванту (например, адъюванту Фрейнда (полному и неполному), вспомогательному веществу или наполнителю, с которым вводят терапевтический агент. В целом, ингредиенты композиции согласно изобретению обеспечиваются либо раздельно, либо в смешанном виде в единичной форме дозирования, например, в виде сухого лиофилизированного порошка или безводного концентрата в герметично запечатанном контейнере, таком как ампула или саше с указанием количества активного агента. Когда композицию предполагается вводить путем инфузии, ее можно дозировать с помощью инфузионного флакона, содержащего стерильную воду или солевой раствор фармацевтической степени чистоты. Когда композицию вводят путем инъекции, может быть предоставлена ампула со стерильной водой для инъекций или солевым раствором для того, чтобы ингредиенты можно было смешать до введения.

Изобретение также обеспечивает фармацевтический комплект или набор, содержащий один или более контейнеров, заполненных биспецифичными в отношении PD-1 х CTLA-4 молекулами согласно настоящему изобретению, отдельно или с указанным фармацевтически приемлемым носителем. Кроме того, один или более других профилактических или терапевтических агентов, применимых для лечения заболевания, также могут быть включены в фармацевтический комплект или набор. Изобретение также обеспечивает фармацевтический комплект или набор, содержащий один или более контейнеров, наполненных одним или более из ингредиентов фармацевтических композиций согласно изобретению. Необязательно к указанному контейнеру (контейнерам) может прилагаться пояснение в виде, рекомендованном государственным органом, регулирующим изготовление, применение или реализацию фармацевтических препаратов или биологических продуктов, где указанное пояснение отражает одобрение указанным органом изготовления, применения или реализации указанного изделия для введения человеку.

Настоящее изобретение обеспечивает наборы, которые можно применять в указанных выше способах. Набор может содержать любую из биспецифичных в отношении PD-1 х CTLA-4 молекул согласно настоящему изобретению. Набор может дополнительно содержать один или более других профилактических и/или терапевтических агентов, применимых для лечения рака, в одном или более контейнерах.

XII. Способы введения.

Композиции согласно настоящему изобретению могут быть представлены для лечения, профилактики и смягчении одного или более симптомов, связанных с заболеванием, расстройством или инфекцией путем введения субъекту эффективного количества гибридного белка или конъюгированной молекулы согласно изобретению или фармацевтической композиции, содержащей гибридный белок или конъюгированную молекулу согласно изобретению. Согласно предпочтительному аспекту, такие композиции являются по существу очищенными (т.е. по существу не содержат вещества, которые ограничивают эффективность указанных композиций или вызывают нежелательные побочные явления). Согласно конкретному варианту реализации изобретения субъект представляет собой животное, предпочтительно млекопитающее, такое как млекопитающее, не являющееся приматом (например, быка, свинью, лошадь, собаку, грызуна и т.д.), или являющееся приматом (например, обезьяну, такую как яванский макак, человека и т.д.). Согласно предпочтительному варианту реализации, субъект представляет собой человека.

Различные системы доставки известны и могут использоваться для введения композиций согласно изобретению, например, инкапсулирование в липосомах, микрочастицы, микрокапсулы, рекомбинантные клетки, способные экспрессировать антитело или гибридный белок, опосредованный рецептором

эндоцитоз (см., например, Wu et al. (1987) "Receptor-Mediated In Vitro Gene Transformation By A Soluble DNA Carrier System", J. Biol. Chem. 262:4429-4432), конструирование нуклеиновой кислоты в виде части ретровирусного или другого вектора и т.д.

Способы введения молекулы согласно изобретению включают, но не ограничиваются следующими, парентеральное введение (например, внутрикожное, внутримышечное, внутрибрюшинное, внутривенное и подкожное), эпидуральное и чрезслизистое введение (например, интраназальный и пероральный способ введения). Согласно конкретному варианту реализации изобретения биспецифичные в отношении PD-1 x CTLA-4 молекулы согласно настоящему изобретению вводят внутримышечно, внутривенно или подкожно. Композиции можно вводить с помощью любого удобного способа, например, путем инфузии или болюсной инъекции, путем абсорбции через эпителий или кожнослизистые выстилки (например, слизистую ротовой полости, слизистую прямой кишки и кишечника и т.д.) и можно вводить вместе с других биологически активными агентами. Введение может быть системным или местным. Кроме того, также можно применять легочное введение, например, путем применения ингалятора или небулайзера и лекарственной формы с аэрозольным агентом. См., например, патенты США № 6,019,968; 5,985,320; 5,985,309; 5,934,272; 5,874,064; 5,855,913; 5,290,540 и 4,880,078 и международные публикации согласно РСТ № WO 92/19244; WO 97/32572; WO 97/44013; WO 98/31346 и WO 99/66903, каждая из которых полностью включена в настоящую заявку посредством ссылки.

Согласно изобретению также предложено, что препараты биспецифичных в отношении PD-1 х CTLA-4 молекул согласно настоящему изобретению упакованы в герметично запечатанный контейнер, такой как ампула или саше с указанием количества молекул. Согласно одному варианту реализации изобретения такие молекулы поставляются в виде сухого лиофилизированного порошка или безводного концентрата в герметично запечатанном контейнере и могут быть восстановлены, например, с помощью воды или солевого раствора до подходящей концентрации для введения субъекту. Предпочтительно, биспецифичные в отношении PD-1 х CTLA-4 молекулы согласно настоящему изобретению представлены в виде сухого стерильного лиофилизированного порошка в герметично запечатанном контейнере.

Лиофилизированные препараты биспецифичных в отношении PD-1 х CTLA-4 молекул согласно настоящему изобретению следует хранить при температуре между 2°С и 8°С в их оригинальном контейнере, и молекулы следует вводить в пределах 12 часов, предпочтительно в пределах 6 часов, в пределах 5 часов, в пределах 3 часов или в пределах 1 часа после их восстановления. Согласно альтернативному варианту реализации изобретения такие молекулы представлены в жидком виде в герметично запечатанном контейнере с указанием количества и концентрации указанной молекулы, гибридного белка или коньюгированной молекулы. Если такие биспецифичные в отношении PD-1 х CTLA-4 молекулы предоставлены в жидком виде, они предпочтительно поставляются в герметично запечатанном контейнере.

Количество указанных композиций согласно изобретению, которое будет эффективно в лечении, предотвращении или смягчении одного или более симптомов, связанных с расстройством, можно определить с помощью стандартных клинических методов. Точная доза для применения в лекарственной форме также зависит от способа введения и тяжести состояния и должна решаться в соответствии с мнением практикующего врача и условиями для каждого пациента. Эффективные дозы можно экстраполировать на основе кривых зависимости эффекта от дозы, полученных по результатам тест-систем in vitro или тест-систем на основе животной модели.

В настоящей заявке "эффективное количество" фармацевтической композиции согласно одному варианту реализации изобретения представляет собой количество, достаточное для достижения благоприятных или желаемых результатов, включая, но не ограничиваясь указанными, клинические результаты, такие как снижение симптомов, являющихся результатом заболевания, ослабление симптома инфекции (например, вирусной нагрузки, лихорадки, боли, сепсиса и т.д.) или симптома рака (например, пролиферации раковых клеток, присутствия опухоли, опухолевых метастазов и т.д.), обеспечивая, таким образом, повышение качества жизни страдающих заболеванием субъектов, снижение дозы других медикаментов, требуемых для лечения заболевание, усиление эффекта другого медикамента, например, путем таргетирования и/или интернализации, задержку прогрессирования заболевания и/или увеличение времени выживаемости субъектов.

Эффективное количество можно вводить в рамках одного или более введений. В целях настоящего изобретения, эффективное количество лекарственного средства, соединения или фармацевтической композиции представляет собой количество, достаточное для уничтожения и/или снижения пролиферации раковых клеток и/или для устранения, снижения и/или задержки развития метастаза из первичного сайта раковой опухоли или снижения пролиферации (или эффекта) инфекционного патогена и снижения и/или задержки развития опосредованного патогеном заболевания, прямо или косвенно. Согласно некоторым вариантам реализации изобретения эффективное количество лекарственного средства, соединения или фармацевтической композиции может достигаться или не достигаться совместно с другим лекарственным средством, соединением или фармацевтической композицией. Таким образом, "эффективное количество" можно рассматривать в контексте введения одного или более химиотерапевтических агентов, и можно считать, что один агент обеспечивается в эффективном количестве, если указанный агент вместе с одним или более другими агентами может позволить или позволяет достигнуть желаемый результат. Не-

смотря на индивидуальные различия в потребностях, определение оптимальных диапазонов эффективного количества каждого компонента находится в пределах компетентности специалиста в данной области техники.

Для биспецифичных в отношении PD-1 x CTLA-4 молекул, включенных согласно изобретению, дозу, вводимую пациенту, предпочтительно определяют на основе массы тела (кг) субъекта-реципиента. Для биспецифичных в отношении PD-1 x CTLA-4 молекул, включенных согласно изобретению, доза, вводимая пациенту, как правило, составляет от примерно 0,01 мкг/кг до примерно 150 или более мг/кг массы тела субъекта.

Дозу и частоту введения биспецифичных в отношении PD-1 х CTLA-4 молекул согласно настоящему изобретению можно снижать или изменять путем усиления захвата молекулы и ее проникновения в ткани с помощью модификаций, таких как, например, липидизация.

Вводимая пациенту доза биспецифичной в отношении PD-1 х CTLA-4 молекулы согласно изобретению для ее применения в качестве монотерапии может быть рассчитана. В качестве альтернативы, молекулу можно применять в комбинации с другими терапевтическими композициями, и доза, вводимая пациенту, будет ниже по сравнению с использованием указанной молекулы в качестве монотерапии.

Фармацевтические композиции согласно изобретению можно вводить местно в область, требующую лечения, что может достигаться, например (без ограничения), путем локальной инфузии, инъекции или с помощью имплантата, где указанный имплантат состоит из пористого, непористого или гелеобразного материала, включая мембраны, такие как силастиковые мембраны или волокна. Предпочтительно, при введении молекулы согласно изобретению следует обращать внимание на то, чтобы использовались материалов, к которым молекулы не абсорбируется.

Композицию согласно изобретению можно доставлять в везикуле, в частности, липосоме (см. Langer (1990) "New Methods Of Drug Delivery", Science 249:1527-1533); Treat et al., в Liposomes in the Therapy of Infectious Disease and Cancer, Lopez-Berestein, а также Fidler (eds.), Liss, New York, стр. 353- 365 (1989); Lopez-Berestein, ibid., стр. 3 17-327).

Когда композиция согласно изобретению представляет собой нуклеиновую кислоту, кодирующую биспецифичную в отношении PD-1 х CTLA-4 молекулу согласно настоящему изобретению, указанную нуклеиновую кислоту можно вводить in vivo для обеспечения экспрессии кодируемой ей биспецифичной в отношении PD-1 х CTLA-4 молекулы путем встраивания указанной нуклеиновой кислоты в виде части подходящего вектора экспрессии на основе нуклеиновой кислоты и введения указанного вектора таким образом, чтобы сделать его внутриклеточным, например, путем применения ретровирусного вектора (см. патент США № 4 980 286) или путем непосредственной инъекции или с помощью бомбардировки микрочастицами (например, генной пушки; Biolistic, Dupont) или путем покрытия липидами или рецепторами клеточной поверхности или трансфицирующими агентами или путем его введения в соединении с подобным гомеобоксу пептидов, который, как известно, входит в ядро (см. например, Joliot et al. (1991) "Апtеппареdia Нотеобох Рерtide Regulates Neural Morphogenesis", Proc. Natl. Acad. Sci. (США) 88:1864-1868) и т.д. В качестве альтернативы, нуклеиновую кислоту можно вводить внутрь клетки и встраивать в ДНК хозяйской клетки для экспрессии путем гомологичной рекомбинации.

Лечение субъекта с помощью терапевтически или профилактически эффективного количества биспецифичных в отношении PD-1 х CTLA-4 молекул согласно настоящему изобретению может включать один курс лечения или, предпочтительно, может включать серию курсов лечения. Согласно предпочтительному примеру, субъект получает лечение с помощью указанного диатела один раз в неделю в течение примерно от 1 до 10 недель, предпочтительно, от 2 до 8 недель, более предпочтительно, примерно от 3 до 7 недель, и еще более предпочтительно, в течение примерно 4, 5 или 6 недель. Фармацевтические композиции согласно изобретению можно вводить один раз в день, два раза в день или три раза в день. В качестве альтернативы, фармацевтические композиции можно вводить один раз в неделю, два раза в неделю, один раз каждые две недели, один раз в месяц, один раз в каждые шесть недель, один раз в каждые два месяца, два раза в год или один раз в год. Следует также иметь в виду, что эффективную дозу молекул, применяемых для лечения, можно повышать или понижать на протяжении конкретного лечения.

XIII. Примеры вариантов реализации.

Изобретение, в частности, относится к вариантам реализации Е1-Е26.

- Е1. Биспецифичная молекула, содержащая один или более сайтов связывания эпитопа, способных иммунноспецифично связываться с эпитопом (эпитопами) PD-1, и один или более сайтов связывания эпитопа, способных иммунноспецифично связываться с эпитопом (эпитопами) CTLA-4, где указанная молекула содержит:
- (A) вариабельный домен тяжелой цепи и вариабельный домен легкой цепи антитела, которое связывается с PD-1; и
- (B) вариабельный домен тяжелой цепи и вариабельный домен легкой цепи антитела, которое связывается с СТLА-4;

где указанная молекула представляет собой:

(i) диатело, где указанное диатело представляет собой ковалентно связанный комплекс, который содержит две, три, четыре или пять полипептидных цепей; или

- (ii) тривалентную связывающую молекулу, где указанная тривалентная связывающая молекула представляет собой ковалентно связанный комплекс, который содержит три, четыре, пять или более полипептидных цепей.
- E2. Биспецифичная молекула согласно варианту реализации E1, где указанная молекула проявляет активность, превышающую указанную активность, которую проявляют две моноспецифичные молекулы, одна из которых содержит указанный вариабельный домен тяжелой цепи и указанный вариабельный домен легкой цепи антитела, которое связывается с PD-1, и другая из которых содержит указанный вариабельный домен тяжелой цепи и указанный вариабельный домен легкой цепи антитела, которое связывается с CTLA-4.
- Е3. Биспецифичная молекула согласно варианту реализации Е1 или Е2, где указанная молекула вызывает меньше иммунноопосредованных нежелательных явлений (иНЯ) при введении субъекту, нуждающемуся в указанном введении, по сравнению с такими иНЯ, вызываемыми введением моноспецифичного антитела, которое связывается с СТLА-4.
- Е4. Биспецифичная молекула согласно варианту реализации Е3, где указанное моноспецифичное антитело, которое связывается с СТLА-4, представляет собой ипилимумаб.
- E5. Биспецифичная молекула согласно любому из вариантов реализации E1-E4, где указанная молекула содержит Fc-фрагмент.
- Еб. Биспецифичная молекула согласно варианту реализации Е5, где указанный Fc-фрагмент представляет собой вариант Fc-фрагмента, который содержит:
- (A) одну или более аминокислотных модификаций, снижающих аффинность варианта Fc-фрагмента в отношении FcγR, и/или
- (В) одну или более аминокислотных модификаций, увеличивающих время полужизни варианта Fсфрагмента в сыворотке крови.
- Е7. Биспецифичная молекула согласно варианту реализации Е6, где указанные модификации, снижающие аффинность варианта Fc-фрагмента в отношении FcγR, включают замену L234A; L235A, или L234A и L235A, где указанная нумерация соответствует индексу ЕС по Кэбату.
- E8. Биспецифичная молекула согласно варианту реализации E6 или E7, где указанные модификации, увеличивающие время полужизни варианта Fc-фрагмента в сыворотке крови, включают замену M252Y; M252Y и S254T; M252Y и T256E; M252Y, S254T и T256E; или K288D и H435K, где указанная нумерация соответствует индексу EC по Кэбату.
- Е9. Биспецифичная молекула согласно любому из вариантов реализации Е1-Е8, где указанная молекула представляет собой указанное диатело и содержит два сайта связывания эпитопа, способные иммунноспецифично связываться с эпитопом PD-1, и два сайта связывания эпитопа, способные иммунноспецифично связываться с эпитопом СТLA-4.
- E10. Биспецифичная молекула согласно любому из вариантов реализации E1-E8, где указанная молекула представляет собой указанную тривалентную связывающую молекулу и содержит два сайта связывания эпитопа, способные иммунноспецифично связываться с эпитопом PD-1, и один сайт связывания эпитопа, способный иммунноспецифично связываться с эпитопом CTLA-4.
- E11. Биспецифичная молекула согласно любому из вариантов реализации E1-E10, где указанная молекула способна связываться с молекулами PD-1 и CTLA-4, присутствующими на клеточной поверхности.
- E12. Биспецифичная молекула согласно любому из вариантов реализации E1-E11, где указанная молекула способна одновременно связываться с PD-1 и CTLA-4.
- E13. Биспецифичная молекула согласно любому из вариантов реализации E1-E12, где указанная молекула способна стимулировать клетки иммунной системы.
- E14. Биспецифичная молекула согласно варианту реализации E13, где указанная стимуляция иммунных клеток приводит к:
 - (А) пролиферации иммунных клеток и/или
- (B) продукции и/или высвобождению иммунными клетками по меньшей мере одного цитокина и/или
- (C) продукции и/или высвобождению иммунными клетками по меньшей мере одной литической молекулы и/или
 - (D) экспрессии иммунными клетками по меньшей мере одного маркера активации.
- E15. Биспецифичная молекула согласно варианту реализации E13 или E14, где указанная клетка иммунной системы представляет собой Т-лимфоцит или естественную клетку-киллер (NK-клетку).
- E16. Биспецифичная молекула согласно любому из вариантов реализации E1-E15, где указанные сайты связывания эпитопа, способные иммунноспецифично связываться с эпитопом PD-1, содержат:
 - (A) VH-домен PD-1 mAb 1 (SEQ ID NO: 47) и VL-домен PD-1 mAb 1 (SEQ ID NO: 48); или
 - (B) VH-домен PD-1 mAb 2 (SEQ ID NO: 49) и VL-домен PD-1 mAb 2 (SEQ ID NO: 50); или
 - (C) VH-домен PD-1 mAb 3 (SEQ ID NO: 51) и VL-домен PD-1 mAb 3 (SEQ ID NO: 52); или
 - (D) VH-домен PD-1 mAb 4 (SEQ ID NO: 53) и VL-домен PD-1 mAb 4 (SEQ ID NO: 54); или

- (E) VH-домен PD-1 mAb 5 (SEQ ID NO: 55) и VL-домен PD-1 mAb 5 (SEQ ID NO: 56); или
- (F) VH-домен PD-1 mAb 6 (SEQ ID NO: 57) и VL-домен PD-1 mAb 6 (SEQ ID NO: 58); или
- (G) VH-домен PD-1 mAb 6-I VH (SEQ ID NO: 86) и VL-домен PD-1 mAb 6-SQ VL (SEQ ID NO: 87); или
 - (H) VH-домен PD-1 mAb 7 (SEQ ID NO: 59) и VL-домен PD-1 mAb 7 (SEQ ID NO: 60); или
 - (I) VH-домен mAb против PD-1 8 (SEQ ID NO: 61) и VL-домен mAb против PD-1 8 (SEQ ID NO: 62).
- E17. Биспецифичная молекула согласно любому из вариантов реализации E1-E16, где указанный сайт (сайты) связывания эпитопа, способный иммунноспецифично связываться с эпитопом СТLA-4, содержит:
- (A) VH-домен CTLA-4 mAb 1 (SEQ ID NO: 76) и VL-домен mAb против CTLA-4 (SEQ ID NO: 77); или
 - (B) VH-домен CTLA-4 mAb 2 (SEQ ID NO: 78) и VL-домена CTLA-4 mAb 2 (SEQ ID NO: 79); или
 - (C) VH-домен CTLA-4 mAb 3 (SEQ ID NO: 90) и VL-домена CTLA-4 mAb 3 (SEQ ID NO: 91)
 - Е18. Биспецифичная молекула согласно варианту реализации 17, где:
- (A) указанные сайты связывания эпитопа, способные иммунноспецифично связываться с эпитопом PD-1, содержат VH-домен PD-1 mAb 6-I VH (SEQ ID NO: 86) и VL-домен PD-1 mAb 6-SQ (SEQ ID NO: 87) и
- (В) указанный сайт (сайты) связывания эпитопа, способный иммунноспецифично связываться с эпитопом СТLА-4, содержат (содержат) VH-домен СТLА-4 mAb 3 (SEQ ID NO: 90) и VL-домен СТLА-4 mAb 3 (SEQ ID NO: 91).
- E19. Биспецифичная молекула согласно любому из вариантов реализации E1-E18, где указанная молекула содержит:
- (A) две полипептидные цепи, имеющие последовательность SEQ ID NO: 95, и две полипептидные цепи, имеющие последовательность SEQ ID NO: 96; или
- (В) две полипептидные цепи, имеющие последовательность SEQ ID NO: 97, и две полипептидные цепи, имеющие последовательность SEQ ID NO: 98; или
- (C) две полипептидные цепи, имеющие последовательность SEQ ID NO: 99, и две полипептидные цепи, имеющие последовательность SEQ ID NO: 100; или
- (D) две полипептидные цепи, имеющие последовательность SEQ ID NO: 102, и две полипептидные цепи, имеющие последовательность SEQ ID NO: 103; или
- (E) две полипептидные цепи, имеющие последовательность SEQ ID NO: 101, и две полипептидные цепи, имеющие последовательность SEQ ID NO: 100; или
- (F) одну полипептидную цепь, имеющую последовательность SEQ ID NO: 104, одну полипептидную цепь, имеющую последовательность SEQ ID NO: 105, одну полипептидную цепь, имеющую последовательность SEQ ID NO: 106, и одну полипептидную цепь, имеющую последовательность SEQ ID NO: 107; или
- (G) одну полипептидную цепь, имеющую последовательность SEQ ID NO: 108, одну полипептидную цепь, имеющую последовательность SEQ ID NO: 105, одну полипептидную цепь, имеющую последовательность SEQ ID NO: 109, и одну полипептидную цепь, имеющую последовательность SEQ ID NO: 107
- E20. Фармацевтическая композиция, содержащая эффективное количество биспецифичной молекулы согласно любому из вариантов реализации E1-E19 и фармацевтически приемлемый носитель.
- E21. Биспецифичная молекула согласно любому из вариантов реализации E1-E19, где указанная молекула применяется для активации стимуляции опосредованного иммунной системой ответа у нуждающегося в этом субъекта.
- E22. Биспецифичная молекула согласно любому из вариантов реализации E1-E19, где указанную молекулу применяют для лечения заболевания или состояния, связанного с супрессией иммунной системы.
- E23. Биспецифичная молекула согласно варианту реализации E22, где указанное заболевание или состояние представляет собой рак или инфекцию.
- Е24. Биспецифичная молекула согласно варианту реализации Е23, где указанный рак характеризуется присутствием раковой клетки, выбранной из группы, состоящей из клетки: опухоли надпочечника, ассоциированного со СПИДом рака, альвеолярной саркомы мягких тканей, астроцитарной опухоли, рака мочевого пузыря, рака кости, рака головного и спинного мозга, метастатической опухоли головного мозга, рака молочной железы, опухоли каротидного тельца, рака шейки матки, хондросаркомы, хордомы, хромофобной почечно-клеточной карциномы, светлоклеточной карциномы, рака толстой кишки, рака толстой и прямой кишки, кожной доброкачественной фиброзной гистиоцитомы, десмопластической мелкокруглоклеточной опухоли, эпендимомы, саркомы Юинга, внескелетной мукоидной хондросаркомы, несовершенного костного фиброгенеза, фиброзной дисплазии кости, рака желчного пузыря или рака желчного протока, рака желудка, гестационной трофобластической болезни, эмбрионально-клеточной опухоли, рака головы и шеи, гепатоклеточной карциномы, опухоли островковых клеток поджелудочной

железы, саркомы Капоши, рака почки, лейкоза, липомы/доброкачественной липоматозной опухоли, липосаркомы/злокачественной липоматозной опухоли, рака печени, лимфомы, рака легких, медуллобластомы, меланомы, менингиомы, множественной эндокринной неоплазии, множественной миеломы, миелодиспластического синдрома, нейробластомы, нейроэндокринных опухолей, рака яичников, рака поджелудочной железы, паппилярной тиреокарциномы, опухоли паращитовидной железы, педиатрического рака, опухоли оболочек периферических нервов, феохромоцитомы, опухоли гипофиза, рака предстательной железы, задней увеальной меланомы, редкого гематологического расстройства, метастатического рака почки, рабдоидной опухоли, рабдомиосаркомы, саркомы, рака кожи, саркомы мягких тканей, плоскоклеточного рака, рака желудка, синовиальной саркомы, рака яичка, рака вилочковои железы, тимомы, метастатического рака щитовидной железы и рака матки.

E25. Биспецифичная молекула согласно варианту реализации E24, где указанная инфекция характеризуется присутствием бактериального, грибкового, вирусного или протозойного патогена.

E26. Биспецифичная молекула согласно варианту реализации E25, где указанная инфекция характеризуется наличием вируса Эпштейна-Барра, вируса гепатита A (HAV); вируса гепатита В (HBV); вируса гепатита С (HCV); вирусов герпеса (например, HSV-1, HSV-2, HHV-6, CMV), вируса иммуннодефицита человека (ВИЧ), вируса везикулярного стоматита (VSV), бактерий класса Bacilli, бактерий рода Citrobacter, холерного вибриона, дифтирийной палочки, энтеробактерий, гонококков, бактерий вида Helicobacter pylori, бактерии родов Klebsiella и Legionella, менингококков, микобактерий, псевдомонад, пневмококков, риккетсий, сальмонелл, бактерий рода Serratia, стафилококков, стрептококков, столбнячной палочки, грибов рода Aspergillus (A.fumigatus, A. niger и т.д.), грибов вида Blastomyces dermatitidis, грибов рода Candida (C. albicans, C. krusei, C. glabrata, C. tropicalis и т.д.), грибов видов Cryptococcus neoformans, грибов рода Mucorales (mucor, absidia, rhizopus), грибов видов Sporothrix schenkii, Paracoccidioides brasiliensis, Coccidioides immitis, Histoplasma capsulatum, бактерии, вызывающей лептоспироз, бактерий вида Borrelia burgdorferi, гельминтов (нематод, ленточных червей, трематод, плоских червей (например, шистосом), кишечных лямблий, червей рода Trichinella, амеб вида Dientamoeba Fragilis, трипаносом видов Trypanosoma brucei и Trypanosoma cruzi и протистов вида Leishmania donovani.

Примеры

Описанное в целом изобретение будет более доступно для понимания после ознакомления с приведенными ниже примерами. Следующие примеры иллюстрируют различные способы применения композиций в способах диагностики или лечения согласно изобретению. Примеры приведены в качестве иллюстрации и никоим образом не ограничивают объем настоящего изобретения.

Пример 1. Биспецифичные молекулы обеспечивают повышенную стимуляцию иммунных ответов. Биспецифичная молекула, обладающая специфичностью в отношении отдельных белков клеточной поверхности, регулирующих два иммунномодулирующих пути, PD-1 и LAG-3, была создана и обозначена как "DART A".

DART А представляет собой биспецифичное четырехцепочечное содержащее Fc-фрагмент диатело, которое содержит два сайта связывания, специфичных в отношении PD-1, два сайта связывания, специфичных в отношении LAG-3, вариант Fc-фрагмента IgG4, сконструированный для увеличения времени полужизни, и цистеинсодержащие домены E/K-coil, способствующие образованию гетеродимера. Как описано более подробно ниже, DART A обладает специфичностью связывания (т.е. доменами VH и VL) гуманизированного антитела против PD-1 (hPD-1 mAb 6) и гуманизированного антитела против LAG-3 (hLAG-3 mAb 1). Аминокислотная последовательность первой и третьей полипептидных цепей DART A представляет собой (SEQ ID NO: 63)

В последовательности SEQ ID NO: 63 аминокислотные остатки 1-107 соответствуют аминокислотной последовательности домена VL гуманизированного моноклонального антитела, способного связываться с LAG-3 (hLAG-3 mAb 1); остатки 108-115 соответствуют промежуточному спейсерному пептиду (линкер 1: GGGSGGGG (SEQ ID NO: 5)); остатки 116-234 соответствуют VH-домену моноклонального антитела, способному связываться с PD-1 (hPD-1 mAb 6, SEQ ID NO: 57, где X₁ представляет собой I); остатки 235-240 соответствуют промежуточному спейсерному пептиду (линкер 2: GGCGGG (SEQ ID NO: 6)); остатки 241-268 соответствуют цистеинсодержащему домену, способствующему образованию гетеродимера (E-coil) (EVAACEK-EVAALEK-EVAALEK (SEQ ID NO: 20)); остатки 269-280 соответствуют стабилизированной шарнирной области IgG4 (SEQ ID NO: 36); остатки до 281-496 соответствуют варианту домена CH2-CH3 IgG4, содержащему замены M252Y/S254T/T256E и не содержаще-

му С-концевой остаток.

Аминокислотная последовательность второй и четвертой полипептидных цепей DART A представляет собой (SEQ ID NO: 64)

```
EIVLTQSPAT LSLSPGERAT LSCRASESVD NYGMSFMNWF QQKPGQPPKL LIHAASNQGS GVPSRFSGSG SGTDFTLTIS SLEPEDFAVY FCQQSKEVPY TFGGGTKVEI KGGGSGGGGQ VQLVQSGAEV KKPGASVKVS CKASGYTFTD YNMDWVRQAP GQGLEWMGDI NPDNGVTIYN QKFEGRVTMT TDTSTSTAYM ELRSLRSDDT AVYYCAREAD YFYFDYWGQG TTLTVSSGGC GGGKVAACKE KVAALKEKVA ALKEKVAALK E
```

В последовательности SEQ ID NO: 64 аминокислотные остатки 1-111 соответствуют аминокислотной последовательности VL-домена моноклонального антитела, способного связываться с PD-1 (hPD-1 mAb 6, SEQ ID NO: 58, где X_1 представляет собой S и X_2 представляет собой Q); остатки 112-119 соответствуют промежуточному спейсерному пептиду (линкер 1: GGGSGGGG (SEQ ID NO: 5)); остатки 120-237 соответствуют VH-домену гуманизированного моноклонального антитела, способного связываться с LAG-3 (hLAG-3 mAb 1); остатки 238-243 соответствуют цистеинсодержащему спейсерному линкерному пептиду (линкер 2: GGCGGG (SEQ ID NO: 6)); остатки 244-271 соответствуют цистеинсодержащему способствующему образованию гетеродимера домену (K-спиральному) (KVAACKE-KVAALKE-KVAALKE-KVAALKE (SEQ ID NO: 21)).

Способность DART A стимулировать Т-клетки оценивали в анализе с использованием энтеротоксина типа В Staphylococcus aureus ("SEB"). SEB представляет собой микробный суперантиген, способный активировать значительную часть Т-клеток (5-30%) у SEB-чувствительных доноров. SEB связывается с молекулой МНС II за пределами пептид-связывающей петли и, таким образом, SEB-сигнал зависит, но не ограничивается МНС II и опосредуется ТСR. SEB-стимуляции Т-клеток приводит к олигоклональной пролиферации Т-клеток и продукции цитокинов (несмотря на то что может наблюдается вариабельность, зависимая от донора). В пределах 48 часов после SEB-стимуляции в МКПК наблюдается положительная регуляция PD-1 и LAG-3, при этом на 5 сутки (после вторичной стимуляции путем культивирования в 96-луночном планшете в присутствии SEB) наблюдается дополнительное стимуляция указанных белков. Положительная регуляция белков контрольных точек иммунного ответа PD-1 и LAG-3 после SEB-стимуляции МКПК ограничивает высвобождение цитокина при повторной стимуляции SEB. Способность DART А усиливать высвобождение цитокина путем ингибирования контрольной точки иммунного ответа оценивали и сравнивали с активностью исходных антител в отношении PD-1 и LAG-3 отдельно и в комбинации.

Вкратце, МКПК очищали из цельной крови, полученной от здоровых доноров при информированном согласии (Biological Specialty Corporation) с использованием метода центрифугирования в градиенте плотности фиколла Ficoll-Paque Plus (GE Healthcare) в соответствии с инструкциями изготовителя и затем очищали Т-клетки с использованием набора для получения Т-клеток человека Dynabeads® (Life Technologies) в соответствии с инструкциями изготовителя. Очищенные МКПК культивировали в среде RPMI с добавлением 10% термоинактивированной эмбриональной бычьей сыворотки (ЭБС) и 1% пенициллина/стрептомицина в объемных флаконах Т-25 в течение 2-3 дней отдельно или вместе с SEB (Sigma-Aldrich) в концентрации 0,5 нг/мл (первичная стимуляция). В конце первого цикла SEBстимуляции МКПК промывали два раза фосфатно-солевым буфером (ФСБ) и сразу высевали на 96луночные планшеты для тканевых культур в концентрации $1-5 \times 10^5$ клеток на лунку просто в среде, в среде, содержащей контрольное антитело, в среде, содержащей SEB в концентрации 0,5 нг/мл (вторичная стимуляция) в отсутствие антитела, или среде, содержащей SEB и DART A, контрольный IgG или антитело против PD-1 +/- mAb против LAG-3 и культивировали в течение дополнительных 2-3 дней. В конце второй стимуляции супернатанты собирали для измерения секреции цитокинов с применением наборов для твердофазного ИФА клеток человека DuoSet для IFN₇, TNFα, IL-10 и IL-4 (R&D Systems) в соответствии с инструкциями изготовителя.

В указанных анализах DART A (биспецифичную в отношении PD-1 x LAG-3 молекулу) и антитела против PD-1 и LAG-3 использовали в концентрации 0,0061, 0,024, 0,09, 0,39, 1,56, 6,25 или 25 нМ. Для указанных исследований, в которых использовали комбинацию антител, каждое антитело обеспечивали в указанной концентрации, таким образом, что общая концентрация антител в два раза превышала концентрацию, используемую для каждого антитела (т.е. 0,0122, 0,048, 0,18, 0,78, 3,12, 12,5 или 50 нМ). На фиг. 7 показаны профили секреции IFNγ для SEB-стимулированных МКПК от типичного донора (D: 56041). Сходные результаты наблюдались для биспецифичных в отношении PD-1 х LAG-3 молекул, содержащих VH/VL-домены от альтернативных антител против PD-1 и LAG-3, и для биспецифичных в отношении PD-1 х LAG-3 молекул, имеющих альтернативные структуры (см. например, фиг. 3С), у нескольких доноров.

Результаты указанных исследований демонстрируют, что биспецифичные в отношении PD-1 x LAG-3 молекулы значительно усиливают продукцию IFN γ в SEB-стимулированных МКПК при повторной стимуляции. Указанные результаты показывают, что биспецифичные молекулы, направленные на два иммунномодулирующих пути, являются более активными по сравнению с комбинацией отдельных

антител, направленных на те же пути.

Пример 2. Биспецифичные в отношении PD-1 x CTLA-4 молекулы.

Биспецифичные молекулы, обладающие специфичностью в отношении PD-1 и CTLA-4, можно создавать с помощью способов, предложенных в настоящей заявке и известных в данной области техники. Общая структура полипептидных цепей нескольких биспецифичных в отношении PD-1 x CTLA-4 молекул представлена в табл. 8. В частности, можно получать молекулы биспецифичных бивалентных диател, содержащие две полипептидные цепи, имеющие один сайт связывания для PD-1 и один сайтом связывания для CTLA-4, где указанные полипептидные цепи имеют общую структуру варианта I (также см., например, фиг. 1). Могут быть созданы молекулы биспецифичных бивалентных диател, содержащие три полипептидные цепи, обладающие одним сайтом связывания PD-1, одним сайтом связывания CTLA-4 и Fc-фрагментом, где указанные полипептидные цепи имеют общую структуру варианта II (см. также, например, фиг. 4А). Могут быть созданы молекулы биспецифичных тетравалентных диател, содержащие четыре полипептидные цепи, обладающие двумя идентичными сайтами связывания РD-1, двумя идентичными сайтами связывания CTLA-4 и Fc-фрагментом, где указанные полипептидные цепи имеют общую структуру вариантов III или IV (также см., например, (фиг. 3A-3C). Кроме того, могут быть созданы биспецифичные тривалентные молекулы, содержащие четыре полипептидные цепи, имеющие два сайта связывания PD-1 и один сайт связывания CTLA-4 (или два сайта связывания CTLA-4 и один сайт связывания PD-1) и Fc-фрагмент, где указанные полипептидные цепи имеют общую структуру варианта V (также см., например, фиг. 6А). Кроме того, могут быть созданы биспецифичные бивалентные молекулы антитела, содержащие четыре полипептидные цепи, имеющие один сайт связывания PD-1, один сайт связывания CTLA-4 и Fc-фрагмент, где указанные полипептидные цепи имеют общую структуру варианта VI (также см., например, патент США № 7,695,936 и международную публикацию патента согласно РСТ WO 2011/143545).

Полипептидная цепь Домень		Таблица 8				
Первая (VL2) = (линкер 1) - (VH1) - (линкер 2) - (HPD)	Вариант		Домены			
Вторая (VL2) = (линкер 1) = (VH1) = (линкер 2) = (HPD)	ī	Первая	(VL1) - (линкер 1) - (VH2) - (линкер 2) - (HPD)			
Первая (линкер 3) — (модифицированный домен СН2-СН3) Вторая (VL2) — (линкер 1) — (VH1) — (линкер 2) — (НРD) Третья (линкер3) — (модифицированный домен СН2-СН3) Первая и Третья (VL1) — (линкер 1) — (VH2) — (линкер 2) — (НРD) — (линкер 3) — (Домен СН2-СН3) Вторая и Четвертая (VL2) — (линкер 1) — (VH1) — (линкер 2) — (СН1) — (Шарнир) — (Домен СН2-СН3) Вторая и Четвертая (VL2) — (линкер 1) — (VH1) — (линкер 2) — (СН1) — (Шарнир) — (Домен СН2-СН3) Первая (VL2) — (линкер 1) — (VH1) — (линкер 2) — (НРD) — (линкер 3) — (модифицированный домен СН2-СН3) Четвертая (VL2) — (линкер 1) — (VH1) — (линкер 2) — (НРD) — (линкер 3) — (модифицированный домен СН2-СН3) Четвертая (VL3) — (СС) (VL1) — (линкер 1) — (VH2) — (линкер 2) — (НРD) — (линкер 3) — (модифицированный домен СН2-СН3) Четвертая (VL2) — (линкер 1) — (VH2) — (линкер 2) — (НРD) — (линкер 3) — (модифицированный домен СН2-СН3) Третья (VL2) — (линкер 4) — (VH3) — (СН1) — (Шарнир) — (модифицированный домен СН2-СН3) Первая (VL1) — (СН1) — (шарнир) — (модифицированный домен СН2-СН3) Первая (VL1) — (СН1) — (шарнир) — (модифицированный домен СН2-СН3) Первая (VL1) — (СН1) — (шарнир) — (модифицированный домен СН2-СН3) Первая (VL1) — (СН1) — (шарнир) — (модифицированный домен СН2-СН3) Первая (VL1) — (СН1) — (шарнир) — (модифицированный домен СН2-СН3)	1	Вторая	(VL2) - (линкер 1) - (VH1) - (линкер 2) - (HPD)			
Первая и Третья		Первая	(линкер 3) — (модифицированный домен СН2-СН3)			
Первая и Третья (VL1) — (Линкер 1) — (VH2) — (Линкер 2) — (НРD) — (Линкер 3) — (Домен СН2-СН3) Вторая и Четвертая (VL2) — (Линкер 1) — (VH1) — (Линкер 2) — (НРD) Первая и Третья (VL1) — (Линкер 1) — (VH2) — (Линкер 2) — (СН1) — (Шарнир) — (Домен СН2-СН3) Вторая и Четвертая (VL2) — (Линкер 1) — (VH1) — (Линкер 2) — (СL) Первая (VL1) — (Линкер 1) — (VH2) — (Линкер 2) — (НРD) — (Линкер 3) — (Модифицированный домен СН2-СН3) Четвертая (VL2) — (Линкер 1) — (VH1) — (Линкер 2) — (НРD) — (Линкер 3) — (Модифицированный домен СН2-СН3) Четвертая (VL3) — (СL) — (Пинкер 1) — (VH2) — (Линкер 2) — (НРD) — (Линкер 3) — (Модифицированный домен СН2-СН3) Четвертая (VL2) — (Линкер 1) — (VH1) — (Линкер 2) — (НРD) — (Линкер 3) — (Модифицированный домен СН2-СН3) Третья (VL3) — (Линкер 4) — (VH3) — (СН1) — (Шарнир) — (Модифицированный домен СН2-СН3) Первая (VH1) — (СН1) — (Шарнир) — (Модифицированный домен СН2-СН3) Вторая (VL1) — (ССН) — (Шарнир) — (Модифицированный домен СН2-СН3) Вторая (VL1) — (ССН) — (Шарнир) — (Модифицированный домен СН2-СН3) Вторая (VL1) — (ССН) — (Шарнир) — (Модифицированный домен СН2-СН3) Вторая (VL1) — (ССН) — (Шарнир) — (Модифицированный домен СН2-СН3) Вторая (VL1) — (ССН) — (Шарнир) — (Модифицированный домен СН2-СН3) Вторая (VL1) — (ССН) — (Шарнир) — (Модифицированный домен СН2-СН3)	II	Вторая	(VL2) - (линкер 1) - (VH1) - (линкер 2) - (HPD)			
Первая и Гретья (линкер 3) — (Домен CH2-CH3)		Третья	(линкер3) — (модифицированный домен СН2-СН3)			
Вторая и	Ш	· ·				
ItepBa3 и Гретья (Шарнир) — (Домен CH2-CH3) Bторая и (VL2) — (линкер 1) — (VH1) — (линкер 2) — (CL) TlepBa3 (VL1) — (линкер 1) — (VH2) — (линкер 2) — (HPD) — (линкер 3) — (модифицированный домен CH2-CH3) Bторая (VL2) — (линкер 1) — (VH1) — (линкер 2) — (HPD) Tpeтья (VH3) — (CH1) — (шарнир) — (модифицированный домен CH2-CH3) VI Bторая (VL3) — (CL) — (линкер 1) — (VH2) — (линкер 2) — (HPD) — (линкер 3) — (модифицированный домен CH2-CH3) VI Bторая (VL2) — (линкер 1) — (VH1) — (линкер 2) — (HPD) — (модифицированный домен CH2-CH3) Tpeтья (VL3) — (Линкер 4) — (VH3) — (ИП1) — (Шарнир) — (модифицированный домен CH2-CH3) VII Bторая (VL1) — (СН1) — (шарнир) — (модифицированный домен CH2-CH3) VII Bторая (VL1) — (ССН1) — (шарнир) — (модифицированный домен CH2-CH3) VII (VH2) — (СП1) — (шарнир) — (модифицированный домен CH2-CH3) VII (VH2) — (СП1) — (шарнир) — (модифицированный домен CH2-CH3) VII (VH2) — (СП1) — (шарнир) — (модифицированный домен CH2-CH3) VII (VH2) — (СП1) — (шарнир) — (модифицированный домен CH2-CH3) VII (VH2) — (СП1) — (шарнир) — (модифицированный домен CH2-CH3) VII (VH2) — (СП1) — (шарнир) — (модифицированный домен CH2-CH3) VII (VH2) — (СП1) — (шарнир) — (модифицированный домен CH2-CH3) VII (VH2) — (СП1) — (шарнир) — (модифицированный домен CH2-CH3) VII (VH2) — (СП1) — (шарнир) — (модифицированный домен CH2-CH3) VII (VH2) — (СП1) — (шарнир) — (модифицированный домен CH2-CH3) VII (VH2) — (СП1) — (шарнир) — (модифицированный домен CH2-CH3) VII (VH2) — ((VH1) — (шарнир) — (модифицированный домен CH2-CH3) VII (VH2) — ((VH1) — (шарнир) — (модифицированный домен CH2-CH3) VII (VH2) — ((VH1) — (шарнир) — (модифицированный домен CH2-CH3) VII (VH2) — ((VH1) — (шарнир) — (модифицированный домен CH2-CH3) VII (VH2) — ((VH1) — (шарнир) — (модифицированный домен CH2-CH3) VII (VH2) — (****	1 1	(VL2) - (линкер 1) - (VH1) - (линкер 2) - (HPD)			
Вторая и (VL2) — (линкер 1) — (VH1) — (линкер 2) — (CL) Первая (VL1) — (линкер 1) — (VH2) — (линкер 2) — (НРD) — (линкер 3) — (модифицированный домен СН2-СН3) Вторая (VL2) — (линкер 1) — (VH1) — (линкер 2) — (НРD) — (модифицированный домен СН2-СН3) Четвертая (VL3) — (СП1) — (шарнир) — (модифицированный домен СН2-СН3) VI Вторая (VL2) — (линкер 1) — (VH2) — (линкер 2) — (НРD) — (линкер 3) — (модифицированный домен СН2-СН3) Третья (VL2) — (линкер 1) — (VH1) — (линкер 2) — (НРD) — (модифицированный домен СН2-СН3) Первая (VL2) — (линкер 4) — (VH3) — (ИС1) — (Шарнир) — (модифицированный домен СН2-СН3) Вторая (VL1) — (СН1) — (шарнир) — (модифицированный домен СН2-СН3) Вторая (VL1) — (СС1) — (шарнир) — (модифицированный домен СН2-СН3)	137	Первая и Третья				
V Bторая (линкер 3) — (модифицированный домен СН2-СН3) V Bторая (VL2) — (линкер 1) — (VH1) — (линкер 2) — (HPD) Tретья (VH3) — (CH1) — (шарнир) — (модифицированный домен СН2-СН3) V U (VL3) — (CL) VI Bторая (VL2) — (линкер 1) — (VH2) — (линкер 2) — (HPD) — (линкер 3) — (модифицированный домен СН2-СН3) VI Bторая (VL2) — (линкер 1) — (VH3) — (ИП1) — (Шарнир) — (модифицированный домен СН2-СН3) VII (VH1) — ((UH1) — (шарнир) — (модифицированный домен СН2-СН3) VII (VH2) — ((UH1) — (шарнир) — (модифицированный домен СН2-СН3) VII (VH2) — ((UH1) — (шарнир) — (модифицированный домен СН2-СН3) VII (VH2) — ((UH1) — (шарнир) — (модифицированный домен СН2-СН3) VII (VH2) — ((UH1) — (шарнир) — (модифицированный домен СН2-СН3) VII (VH2) — ((UH1) — (шарнир) — (модифицированный домен СН2-СН3) VII (VH2) — ((UH1) — (шарнир) — (модифицированный домен СН2-СН3) VII (VH2) — ((UH1) — (шарнир) — (модифицированный домен СН2-СН3) VII (VL1) — (UR1) — (WR1) — (MR1)	10		(VL2) — (линкер 1) — (VH1) — (линкер 2) — (CL)			
V Tретья (VH3) − (CH1) − (шарнир) − (модифицированный домен CH2-CH3) Четвертая (VL3) − (CL) (VL1) − (линкер 1) − (VH2) − (линкер 2) − (HPD) − (линкер 3) − (модифицированный домен CH2-CH3) VI Вторая (VL2) − (линкер 1) − (VH1) − (линкер 2) − (HPD) Третья (VL3) − (линкер 4) − (VH3) − (CH1) − (Шарнир) − (модифицированный домен CH2-CH3) Первая (VH1) − (CH1) − (шарнир) − (модифицированный домен CH2-CH3) VII Вторая (VL1) − (CL) VII (VH2) − (CH1) − (шармир) − (модифицированный домен CH2-CH3)		Первая				
Третья (VH3) — (CH1) — (шарнир) — (модифицированный домен CH2-CH3) Четвертая (VL3) — (CL) Первая (VL1) — (линкер 1) — (VH2) — (линкер 2) — (HPD) — (линкер 3) — (модифицированный домен CH2-CH3) VI Вторая (VL2) — (линкер 1) — (VH1) — (линкер 2) — (HPD) — (VL3) — (линкер 4) — (VH3) — (СН1) — (Шарнир) — (модифицированный домен CH2-CH3) Первая (VH1) — (CH1) — (шарнир) — (модифицированный домен CH2-CH3) VII Вторая (VL1) — (CL1) — (шарнир) — (модифицированный домен CH2-CH3)	37	Вторая	(VL2) - (линкер 1) - (VH1) - (линкер 2) - (HPD)			
VII Первая (VL1) — (линкер 1) — (VH2) — (линкер 2) — (HPD) — (линкер 3) — (модифицированный домен СН2-СН3) Вторая (VL2) — (линкер 1) — (VH1) — (линкер 2) — (HPD) — (VL3) — (линкер 4) — (VH3) — (Шарнир) — (модифицированный домен СН2-СН3) (VH1) — (СН1) — (шарнир) — (модифицированный домен СН2-СН3) Вторая (VL1) — (СL1) — (модифицированный домен СН2-СН3)	v	Третья				
Первая (линкер 3) — (модифицированный домен СН2-СН3)		Четвертая				
Третья (VL3) – (линкер 4) – (VH3) – (СН1) – (Шарнир) – (модифицированный домен CH2-CH3) Первая (VH1) – (СН1) – (шарнир) – (модифицированный домен CH2-CH3) Вторая (VL1) – (CL1)		Первая				
Первая	VI	Вторая	(VL2) - (линкер 1) - (VH1) - (линкер 2) - (HPD)			
Первая домен CH2-CH3 Вторая (VL1) — (CL) (VH2) = (CH1) — (марима) — (марифицирогациий		Третья				
VII (VH2) = (CH1) = (wanuun) = (wanuduuunganauu y		Первая				
(VH2) — (CH1) — (manum) — (молифиципорациий	VIII	Вторая	(VL1) – (CL)			
Третья домен СН2-СН3)	V 11	Третья	(VH2) — (CH1) — (шарнир) — (модифицированный домен CH2-CH3)			
Четвертая (VL2) — (CL)		Четвертая	(VL2) – (CL)			

HPD = стимулирующий образование гетеродимера домен.

Для каждого варианта биспецифичных молекул, представленных в табл. 8:

- (a) VL1 и VH1 представляют собой вариабельные домены антитела против PD-1, и VL2 и VH2 представляют собой вариабельные домены антитела против CTLA-4; или
- (b) VL1 и VH1 представляют собой вариабельные домены антитела против CTLA-4, и VL2 и VH2 представляют собой вариабельные домены антитела против PD-1.

Для вариантов V и VI: VL3 и VH3 представляют собой вариабельные домены антитела против PD-1 или представляют собой вариабельные домены антитела против CTLA-4.

Линкеры, стимулирующие образование гетеродимера домены и константные области (например, CH1, шарнирный участок, домены CH2-CH3), применимые в создании таких биспецифичных молекул, представлены выше. В частности, как подробно описано в настоящей заявке, домены CH2-CH3 молекул, первая и третья полипептидные цепи которых не идентичны, модифицируют таким образом, что указанные модификации способствуют гетеродимеризации и снижают или предотвращают гомодимеризацию, например, путем модификации доменов CH2-CH3 одной цепи таким образом, чтобы они содержал "впа-

дину", и модификации доменов CH2-CH3 на другой цепи таким образом, чтобы они содержали "выступ". Как подробно описано выше, шарнирный участок и/или домены CH2-CH3 могут содержать аминокислотные замены, которые стабилизируют биспецифичные молекулы и/или изменяют их эффекторные функции и/или увеличивают время их полужизни в сыворотке крови.

Пример 3. Универсальные биспецифичные адапторные молекулы ("UBA").

В качестве альтернативы, может быть сконструирована биспецифичная молекула (например, биспецифичное антитело, биспецифичное диатело, тривалентная связывающая молекула и т.д.), содержащая один сайт связывания эпитопа, который специфично связывается с PD-1 (или CTLA-4), и второй сайт связывания эпитопа, который специфично связывается с гаптеном, например, изотиоцианатом флуоресцеина (также известным как фторизотиоцианат, или FITC). Такая биспецифичная молекула служит в качестве молекулы универсального биспецифичного адаптера ("UBA"), способного ко-лигировать домен связывания, специфичный в отношении PD-1 (или CTLA-4), с конъюгированными с флуоресцеином связывающими молекулами (например, антителом, scFv и т.д.), специфичными в отношении CTLA-4 (или PD-1). Например, FITC-реактивную группу такой универсальной биспецифичной адапторной молекулы можно применять для связывания с меченным FITC антителом, которое связывается с CTLA-4 (или PD-1), создавая таким образом универсальную биспецифичную адапторную молекулу, которая адаптирована для связывания с PD-1 и CTLA-4. Такие универсальные биспецифичные адапторные молекулы применимы для быстрой оценки биспецифичных молекул.

Антитело против флуоресцеина, 4-4-20 ("mAb 4-4-20"), можно применять в качестве источника FITC-специфичных доменов связывания (Gruber, M. et al. (1994) "Efficient Tumor Cell Lysis Mediated By A Bispecific Single Chain Antibody Expressed In Escherichia coli", J. Immunol. 152(11): 5368-5374).

Аминокислотная последовательность вариабельного домена тяжелой цепи mAb 4-4-20 (SEQ ID NO: 65) (остатки CDR_H подчеркнуты)

```
EVKLĎETGGG LVQPGRPMKL SCVASGFTFS <u>DYWM</u>NWVRQS PEKGLEWVA<u>Q</u>

IRNKPYNYET YYSDSVKGRF TISRDDSKSS VYLQMNNLRV EDMGIYYCTG

SYYGMDYWGQ GTSVTVSS
```

Аминокислотная последовательность вариабельного домена легкой цепи mAb 4-4-20 (SEQ ID NO: 66) (остатки CDR_L подчеркнуты)

```
DVVMTQTPFS LPVSLGDQAS ISC<u>RSSQSLV HSNGNTYLR</u>W YLQKPGQSPK
VLIY<u>KVSNRF S</u>GVPDRFSGS GSGTDFTLKI SRVEAEDLGV YFC<u>SQSTHVP</u>
WTFGGGTKLE IK
```

Можно применять любые биспецифичные структуры, предложенные в настоящей заявке (см., например, табл. 1, 2, 3 и 4). Предпочтительные биспецифичные молекулы содержат только один сайт связывания гаптена (например, флуоресцеина) и связываются с единственным меченным гаптеном антителом, обеспечивая таким образом в полученных комплексах отношение универсальная адапторная биспецифичные адапторные молекула:меченное гаптеном антитело, составляющее 1:1. Такие универсальные биспецифичные адапторные молекулы можно создавать с использованием, например, VL- и VH-доменов антитела против PD-1 и антитела против флуоресцеина. Предпочтительно, такая универсальная биспецифичная адапторная молекула представляет собой ковалентно связанное диатело или тривалентную связывающую молекулу, содержащую два, три, четыре, пять или более полипептидных цепей. Типичные универсальные биспецифичные адапторные молекулы, которые можно создавать, представлены ниже.

A. UBA1.

Одна из универсальных биспецифичных адапторных молекул, которая может быть создана, представляет собой ковалентно связанное диатело, состоящие из двух полипептидных цепей и содержащее один сайт связывания эпитопа PD-1 и один сайт связывания флуоресцеина ("UBA 1").

Первая полипептидная цепь UBA 1 содержит (в направлении от N-конца к C-концу) N-конец, VL-домен mAb 4-4-20 (SEQ ID NO: 66), промежуточный спейсерный пептид (линкер 1, GGGSGGGG (SEQ ID NO: 5)), VH-домен PD-1 mAb 6 (SEQ ID NO: 57, где X_1 представляет собой I)), промежуточный спейсерный пептид (линкер 2, GGCGGG (SEQ ID NO: 6)), стимулирующий образование гетеродимера E-coil домен: EVAALEK-EVAALEK-EVAALEK (SEQ ID NO: 18)) и C-конец.

Таким образом, аминокислотная последовательность первой полипептидной цепи UBA 1 представляет собой (SEQ ID NO: 67)

```
DVVMTQTPFS LPVSLGDQAS ISCRSSQSLV HSNGNTYLRW YLQKPGQSPK VLIYKVSNRF SGVPDRFSGS GSGTDFTLKI SRVEAEDLGV YFCSQSTHVP WTFGGGTKLE IKGGGSGGG QVQLVQSGAE VKKPGASVKV SCKASGYSFT SYWMNWVRQA PGQGLEWIGV IHPSDSETWL DQKFKDRVTI TVDKSTSTAY MELSSLRSED TAVYYCAREH YGTSPFAYWG QGTLVTVSSG GCGGGEVAAL EKEVAALEKE VAALEKEVAA LEK
```

Вторая полипептидная цепь UBA 1 содержит (в направлении от N-конца к C-концу) N-конец, VL-домен PD-1 mAb 6 (SEQ ID NO: 58, где X_1 представляет собой S и X2 представляет собой Q)), промежуточный спейсерный пептид (линкер 1, GGGSGGGG (SEQ ID NO: 5)), VH-домен mAb 4-4-20 (SEQ ID NO: 65)), промежуточный спейсерный пептид (линкер 2, GGCGGG (SEQ ID NO: 6)), стимулирующий образование гетеродимера K-coil домен: KVAALKE-KVAALKE-KVAALKE (SEQ ID NO: 19)) и С-

конеп

Таким образом, аминокислотная последовательность второй полипептидной цепи UBA 1 представляет собой (SEQ ID NO: 68)

```
EIVLTQSPAT LSLSPGERAT LSCRASESVD NYGMSFMNWF QQKPGQPPKL LIHAASNQGS GVPSRFSGSG SGTDFTLTIS SLEPEDFAVY FCQQSKEVPY TFGGGTKVEI KGGGGSGGGG EVKLDETGGG LVQPGRPMKL SCVASGFTFS DYWMNWVRQS PEKGLEWVAQ IRNKPYNYET YYSDSVKGRF TISRDDSKSS VYLQMNNLRV EDMGIYYCTG SYYGMDYWGQ GTSVTVSSGG CGGGKVAALK EKVAALKEKV AALKEKVAAL KE
```

B. UBA2.

Как предложено выше, встраивание доменов CH2-CH3 IgG в одну полипептидную цепь диатела, такого как UBA 1, может позволить образование более сложного четырехцепочечного биспецифичного содержащего Fc-фрагмент диатела. Таким образом, вторая универсальная биспецифичная адапторная молекула, которая может быть создана, представляет собой ковалентно связанное диатело, состоящие из четырех полипептидных цепей, содержащих два сайта связывания эпитопа PD-1, два сайт связывания флуоресцеина и Fc-фрагмент ("UBA 2"). Следует отметить, что UBA 2 может связываться с двумя меченными флуоресцеином молекулами через два сайта связывания флуоресцеина.

Первая и третья полипептидные цепи UBA 2 содержат (в направлении от N-конца к C-концу) N-конец, VL-домен mAb 4-4-20 (SEQ ID NO: 66), промежуточный спейсерный пептид (линкер 1, GGGSGGGG (SEQ ID NO: 5)), VH-домен PD-1 mAb 6 (SEQ ID NO: 57, где X_1 представляет собой I)), промежуточный спейсерный пептид (линкер 2, GGCGGG (SEQ ID NO: 7)), стимулирующий образование гетеродимера домен E-coil: EVAALEK-EVAALEK-EVAALEK (SEQ ID NO: 18)), промежуточный спейсерный пептид (линкер 3, GGGDKTHTCPPCP (SEQ ID NO: 31)), Fc-фрагмент IgG1, содержащий замены L234A/L235A (SEQ ID NO: 43), где X_1 представляет собой X_2 , и X_3 -конец.

Таким образом, аминокислотная последовательность первой и третьей полипептидных цепей UBA 2 представляет собой (SEQ ID NO: 69)

```
DVVMTQTPFS LPVSLGDQAS ISCRSSQSLV HSNGNTYLRW YLQKPGQSPK VLIYKVSNRF SGVPDRFSGS GSGTDFTLKI SRVEAEDLGV YFCSQSTHVP WTFGGGTKLE IKGGGSGGG QVQLVQSGAE VKKPGASVKV SCKASGYSFT SYWMNWVRQA PGQGLEWIGV IHPSDSETWL DQKFKDRVTI TVDKSTSTAY MELSSLRSED TAVYYCAREH YGTSPFAYWG QGTLVTVSSG GCGGGEVAAL EKEVAALEKE VAALEKEVAA LEKGGGDKTH TCPPCPAPEA AGGPSVFLFP PKPKDTLMIS RTPEVTCVVV DVSHEDPEVK FNWYVDGVEV HNAKTKPREE QYNSTYRVVS VLTVLHQDWL NGKEYKCKVS NKALPAPIEK TISKAKGQPR EPQVYTLPPS REEMTKNQVS LTCLVKGFYP SDIAVEWESN GQPENNYKTT PPVLDSDGSF FLYSKLTVDK SRWQQGNVFS CSVMHEALHN HYTQKSLSLS PGK
```

Вторая и четвертая полипептидные цепи UBA 2 идентичы второй полипептидной цепи UBA 1. Таким образом, каждая из второй и четвертой полипептидных цепей UBA 2 имеет аминокислотную последовательность SEQ ID NO: 68.

C. UBA3.

Третья универсальная биспецифичная адапторная молекула, которая может быть создана, представляет собой ковалентно связанное диатело, состоящее из трех полипептидных цепей и содержит один сайт связывания эпитопа PD-1, один сайт связывания флуоресцеина и Fc-фрагмент ("UBA 3").

Первая полипептидная цепь UBA 3 содержит (в направлении от N-конца к C-концу), N-конец, VL-домен mAb 4-4-20 (SEQ ID NO: 66), промежуточный спейсерный пептид (линкер 1, GGGSGGGG (SEQ ID NO: 5)), VH-домен PD-1 mAb 6 (SEQ ID NO: 57, где X₁ представляет собой I)), промежуточный спейсерный пептид (линкер 2, GGCGGG (SEQ ID NO: 6)), стимулирующий образование гетеродимера домен E-coil: EVAALEK-EVAALEK-EVAALEK (SEQ ID NO: 18)), промежуточный спейсерный пептид (линкер 3, GGGDKTHTCPPCP (SEQ ID NO: 31)), "содержащий "выступ" Fс-фрагмент IgG1, содержащий замены L234A/L235A (SEQ ID NO: 44, где X представляет собой K)), и C-конец.

Таким образом, аминокислотная последовательность первой полипептидной цепи UBA 3 представляет собой (SEQ ID NO: 70)

```
DVVMTQTFFSLPVSLGDQASISCRSSQSLVHSNGNTYLRWYLQKPGQSPKVLIYKVSNRFSGVPDRFSGSGSGTDFTLKISRVEAEDLGVYFCSQSTHVPWTFGGGTKLEIKGGGSGGGQVQLVQSGAEVKKPGASVKVSCKASGYSFTSYWMNWVRQAPGQGLEWIGVIHPSDSETWLDQKFKDRVTITVDKSTSTAYMELSSLRSEDTAVYYCAREHYGTSPFAYWGQGTLVTVSSGGCGGGEVAALEKEVAALEKEVAALEKEVAALEKGGGDKTHTCPPCPAPEAAGPSVFLFPPKPKDTLMISRTPEVTCVVVDVSHEDPEVKFNWYVDGVEVHNAKTKPREEQYNSTYRVVSVLTVLHQDWLNGKEYKCKVSNKALPAPIEKTISKAKGQPREPQVYTLPPSREEMTKNQVSLWCLVKGFYPSDIAVEWESNGQPENNYKTTPPVLDSDGSFFLYSKLTVDKSRWQQGNVFSCSVMHEALHNHYTQKSLSLS
```

Вторая полипептидная цепь UBA 3 может быть идентична второй полипептидной цепи UBA 1. Та-

ким образом, вторая полипептидная цепь UBA 3 имеет аминокислотную последовательность SEQ ID NO: 68

Третья полипептидная цепь UBA 3 содержит (в направлении от N-конца к C-концу), N-конец, спейсерный пептид (линкер 3, DKTHTCPPCP (SEQ ID NO: 26)), содержащий "впадину" Fc-фрагмент IgG1 с заменами L234A/L235A (SEQ ID NO: 45, где X представляет собой K), и C-конец.

Таким образом, аминокислотная последовательность третьей полипептидной цепи UBA 3 представляет собой (SEQ ID NO: 71)

```
ĎKTHTCPPCP APEAAGGPSV FLFPPKPKDT LMISRTPEVT CVVVDVSHED
PEVKFNWYVD GVEVHNAKTK PREEQYNSTY RVVSVLTVLH QDWLNGKEYK
CKVSNKALPA PIEKTISKAK GQPREPQVYT LPPSREEMTK NQVSLSCAVK
GFYPSDIAVE WESNGQPENN YKTTPPVLDS DGSFFLVSKL TVDKSRWQQG
NVFSCSVMHE ALHNRYTOKS LSLSPGK
```

D. UBA 4.

Четвертая универсальная биспецифичная адапторная молекула, которая может быть создана, представляет собой ковалентно связанную тривалентную связывающую молекулу, состоящую из четырех полипептидных цепей и содержащую два сайта связывания эпитопа PD-1, один сайт связывания флуоресцеина и Fc-фрагмент ("UBA 4").

Первая полипептидная цепь UBA 4 идентична первой полипептидной цепи UBA 3. Таким образом, первая полипептидная цепь UBA 4 имеет аминокислотную последовательность SEQ ID NO: 70.

Вторая полипептидная цепь UBA 4 идентична вторая полипептидной цепи UBA 1. Таким образом, вторая полипептидная цепь UBA 4 имеет аминокислотную последовательность SEQ ID NO: 68.

Третья полипептидная цепь UBA 4 содержит (в направлении от N-конца к C-концу) VH-домен PD-1 mAb 6 (SEQ ID NO: 57, где X_1 представляет собой I), CH1 домен IgG1 (SEQ ID NO: 40), шарнирную область IgG1 (SEQ ID NO: 33), содержащий "впадину" Fc-фрагмент IgG1 с заменами L234A/L235A (SEQ ID NO: 45, где X представляет собой K) и C-конец.

Таким образом, аминокислотная последовательность третьей полипептидной цепи UBA 4 представляет собой (SEQ ID NO: 72)

```
QVQLVQSGAE VKKPGASVKV SCKASGYSFT SYWMNWVRQA PGQGLEWIGV IHPSDSETWL DQKFKDRVTI TVDKSTSTAY MELSSLRSED TAVYYCAREH YGTSPFAYWG QGTLVTVSSA STKGPSVFPL APSSKSTSGG TAALGCLVKD YFPEPVTVSW NSGALTSGVH TFPAVLQSSG LYSLSSVVTV PSSSLGTQTY ICNVNHKPSN TKVDKRVEPK SCDKTHTCPP CPAPEAAGGP SVFLFPPKPK DTLMISRTPE VTCVVVDVSH EDPEVKFNWY VDGVEVHNAK TKPREEQYNS TYRVVSVLTV LHQDWLNGKE YKCKVSNKAL PAPIEKTISK AKGQPREPQV YTLPPSREEM TKNQVSLSCA VKGFYPSDIA VEWESNGQPE NNYKTTPPVL DSDGSFFLVS KLTVDKSRWQ QGNVFSCSVM HEALHNRYTQ KSLSLSPGK
```

Четвертая полипептидная цепь UBA 4 содержит (в направлении от N-конца к C-концу) VL-домен PD-1 mAb 6 (SEQ ID NO: 58, где X_1 представляет собой S и X_2 представляет собой Q), CL-домен (например, каппа-домен IgG (SEQ ID NO: 38)) и C-конец.

Таким образом, аминокислотная последовательность четвертой полипептидной цепи UBA 4 представляет собой (SEQ ID NO: 73)

```
EIVLTQSPAT LSLSPGERAT LSCRASESVD NYGMSFMNWF QQKPGQPPKL LIHAASNQGS GVPSRFSGSG SGTDFTLTIS SLEPEDFAVY FCQQSKEVPY TFGGGTKVEI KRTVAAPSVF IFPPSDEQLK SGTASVVCLL NNFYPREAKV QWKVDNALQS GNSQESVTEQ DSKDSTYSLS STLTLSKADY EKHKVYACEV THOGLSSPVT KSFNRGEC
```

E. UBA 5.

Пятая универсальная биспецифичная адапторная молекула, которая может быть создана, представляет собой ковалентно связанную тривалентную связывающую молекулу, состоящую из трех полипептидных цепей и содержащую два сайта связывания эпитопа PD-1, один сайт связывания флуоресцеина и Fc-фрагмент ("UBA 4", см., например, фиг. 6C-6D).

Первая полипептидная цепь UBA 5 идентична первой полипептидной цепи UBA 3. Таким образом, первая полипептидная цепь UBA 5 имеет аминокислотную последовательность SEQ ID NO: 70.

Вторая полипептидная цепь UBA 5 идентична второй полипептидной цепи UBA 1. Таким образом, вторая полипептидная цепь UBA 5 имеет аминокислотную последовательность SEQ ID NO: 68.

Таким образом, аминокислотная последовательность третьей полипептидной цепи UBA 5 представляет собой (SEQ ID NO: 74)

```
EIVLTQSPAT LSLSPGERAT LSCRASESVD NYGMSFMNWF QQKPGQPPKL LIHAASNQGS GVPSRFSGSG SGTDFTLTIS SLEPEDFAVY FCQQSKEVPY TFGGGTKVEI KGGGGSGGG SGGGSQVQL VQSGAEVKKP GASVKVSCKA SGYSFTSYWM NWVRQAPGQG LEWIGVIHPS DSETWLDQKF KDRVTITVDK STSTAYMELS SLRSEDTAVY YCAREHYGTS PFAYWGQGTL VTVSSASTKG PSVFPLAPSS KSTSGGTAAL GCLVKDYFPE PVTVSWNSGA LTSGVHTFPA VLQSSGLYSL SSVVTVPSSS LGTQTYICNV NHKPSNTKVD KRVEPKSCDK THTCPPCPAP EAAGGPSVFL FPPKPKDTLM ISRTPEVTCV VVDVSHEDPE VKFNWYVDGV EVHNAKTKPR EEQYNSTYRV VSVLTVLHQD WLNGKEYKCK VSNKALPAPI EKTISKAKGQ PREPQVYTLP PSREEMTKNQ VSLSCAVKGF YPSDIAVEWE SNGQPENNYK TTPPVLDSDG SFFLVSKLTV DKSRWQQGNV FSCSVMHEAL HNRYTQKSLS LSPGK
```

Антитела против CTLA-4 можно метить флуоресцеином с использованием стандартных способов. Когда такую меченую молекулу инкубируют в присутствии универсальной биспецифичной адапторной молекулы, представленной выше, имеющей сайт связывания эпитопа, который свызявается с PD-1, и сайт связывания эпитопа, который свызявается с флуоресцеином, образуются биспецифичные в отношении PD-1 x CTLA-4 молекулы, которые можно оценивать, как описано ниже.

С учетом принципов, предложенных в настоящей заявке, очевидно, что различные VH-домены, VL-домены, линкеры, способствующие образованию гетеродимера домены и/или константные домены IgG можно применять для создания альтернативных универсальных биспецифичных адапторных молекул. Например, VH- и VL- домены антитела против CTLA-4 и/или другого антитела против PD-1 можно применять вместо VH- и VL-доменов используемого антитела против PD-1 для создания альтернативных или эквивалентных универсальных биспецифичных адапторных молекул. В качестве альтернативы, VH- и VL-домены антитела против CTLA-4 можно применять вместо VH- и VL-доменов антитела против флуоресцеина для создания биспецифичных в отношении PD-1 х CTLA-4 молекул, имеющих общую структуру, соответствующую вариантам I, II, III, V и VI, предложенным выше. Такие биспецифичные в отношении PD-1 х CTLA-4 молекулы можно непосредственно использовать прямо в анализах, описанных ниже.

Пример 4. Анализы.

Биспецифичные в отношении PD-1 х CTLA-4 молекулы согласно настоящему изобретению можно характеризовать с помощью любого из различных способов. В частности, можно анализировать способность биспецифичных в отношении PD-1 х CTLA-4 молекул согласно изобретению иммунноспецифично связываться с молекулами PD-1 и CTLA-4 (например, в том виде, в котором они присутствует на клеточной поверхности и т.д.), и/или можно определять кинетику связывания при взаимодействии с антигеном. Когда биспецифичные молекулы содержат Fc-фрагмент (или его часть), можно анализировать их способность обеспечивать взаимодействие Fc-FcγR, например, специфичное связывание Fc-фрагмента (или его части) с FcγR, опосредовать эффекторную функцию, передачу сигнала и т.д. Иммуномодулирующую активность и/или противоопухолевую эффективность in vivo биспецифичных в отношении PD-1 х CTLA-4 молекул согласно изобретению можно оценивать с применением in vitro и in vivo анализов, известных данной области техники.

А. Получение иммунных клеток и клеток, экспрессирующих PD-1 и/или CTLA-4.

1. Выделение МКПК и субпопуляций иммунных клеток из цельной крови человека МКПК выделяли из цельной крови здоровых доноров, представляющих собой людей, с применением, например, центрифугирования в градиенте фиколла. Вкратце, цельную кровь разводили в отношении 1:1 в стерильном фосфатно-солевом буфере (ФСБ). Разведенную кровь (35 мл) наслаивали на 15 мл раствора Ficoll-Paque^{тм} Plus в пробирке на 50 мл и пробирки центрифугировали при 400 × g (1320 об./мин) в течение 30 минут с торможением. Лейкоцитарную пленку между двумя фазами собирали в пробирки на 50 мл и центрифугировали при 600 × g (1620 об./мин) в течение 5 минут. Супернатант выливали и клеточный осадок промывали 3 раза с помощью ФСБ (например, путем центрифугирования пробирок при 600 × g (1620 об./мин) в течение 5 минут). Количество жизнеспособных клеток определяли с помощью красителя трипанового синего. МКПК ресуспендировали в полной питательной среде (например, RPMI 1640, 10% ЭБС, 1% пенициллин/стрептомицин) и инкубировали при 37°С в присутствии 5% CO₂ в течение ночи или дополнительно обрабатывали для выделения желаемой субпопуляции иммунных клеток, таких как Т-клетки, (например, регуляторные Т-клетки, CD8-клетки, CD4-клетки), NK-клетки, дентдритные клетки и моноциты, как описано ниже.

Определенные субпопуляции иммунных клеток быстро выделяли из МКПК с применением коммерческого набора для получения указанных субпопуляций (например, набора для выделения Т-клеток человека Untouched™ для выделения Т-клеток, CD4 Т-клеток, CD8 Т-клеток, моноцитов, дендритных клеток (Life Technologies/ThermoFisher Scientific); набора для выделения регуляторных Т-клеток (CD4+/CD25+) DYNABEADS® Regulatory CD4+/CD35+ T Cell (ThermoFisher) и т.д.), в соответствии с инструкциями изготовителя. После выделения субпопуляцию иммунных клеток (например, Т-клеток)

ресуспендировали в подходящий полной культуральной среде (например, RPMI 1640, 10% ЭБС, 1% пенициллин/стрептомицин), в которую можно добавлять цитокины (например, IL-2, GM-CF, IL-4, TNF- α и т.д.), и инкубировали при 37°C в присутствии 5% $\rm CO_2$ в течение ночи. Как предложено в настоящей заявке, такие очищенные субпопуляции применимы для оценки экспрессии на клеточной поверхности PD-1 и/или CTLA-4 и для оценки стимулирующей иммунную систему активности биспецифичных в отношении PD-1 x CTLA-4 молекул согласно изобретению.

2. Выделение МКПК из цельной крови яванского макака или макака-резус.

МКПК яванского макака или макака-резус выделяли из цельной крови, например, с использованием центрифугирования в градиенте Фиколла. Вкратце, цельную кровь разводили в отношении 1:3 в стерильном ФСБ. Разведенную кровь (35 мл) наслаивали на 15 мл 90% раствора Ficoll-Paque^{ТМ} Plus (90 мл фиколла + 10 мл ФСБ) в 50 мл полипропиленовой центрифужной пробирке и центрифугировали при $931 \times g$ (2000 об./мин) в течение 30 минут при комнатной температуре с торможением. Лейкоцитарную пленку между двумя фазами собирали и переносили в чистую пробирку на 50 мл и промывали 45 мл ФСБ посредством центрифугирования пробирок при $600 \times g$ (1620 об./мин) в течение 5 минут. Супернатант выливали и осадок промывали 3х ФСБ. МКПК яванских макаков или макаков-резус затем ресуспендировали в 30 мл полной питательной среды и количество жизнеспособных клеток определяли с помощью исключения красителя трипанового синего.

Конкретные субпопуляции иммунных клеток можно легко выделить из МКПК примата, не представляющего собой человека, с применением коммерческого набора для получения указанных субпопуляций (например, наборов для выделения пан- Т-клеток, CD4+ Т-клеток и CD4+/CD25+ регуляторных Т-клеток (Miltenyl Biotech)), в соответствии с инструкциями изготовителя. В качестве альтернативы, можно применять сортинг на основе проточной цитометрии с применением специфичных mAb приматов, не представляющих собой людей, или кросс-реактивных mAb для сортинга.

3. Получение незрелых или зрелых дендритных клеток человека миелоидного происхождения (mDC) из выделенных моноцитов человека.

Моноциты человека выделяли из полученных от донора очищенных МКПК с применением коммерческого набора для их получения, например, набора для получения моноцитов человека Untouched^{ТМ} (Life Technologies/ThermoFisher Scientific) в соответствии с инструкциями изготовителя. Запускали дифференцировку выделенных моноцитов человека в незрелые мДК человека путем их культивирования (например, в минимальной эссенциальной среде альфа с нуклеозидами (αМЕМ) с добавлением 2% АВотрицательной сыворотки человека и 1% пенициллина/стрептомицина) в течение 5-7 дней в присутствии рекомбинантного гранулоцитарно-макрофагального колониестимцлирющего фактора человека (например, hGM-CSF; Peprotech, 100 нг/мл) и рекомбинантного интерлейкина-4 человека (hIL-4; Peprotech, 40 нг/мл). Незрелые мДК собирали и промывали ФСБ посредством центрифугирования пробирок при 600 × g (1620 об./мин) в течение 5 минут для использования в качестве стимулирующих клеток в анализе аллогенной реакции смешанной культуры лимфоцитов (алло-СКЛ), таком как анализы, описанные ниже.

В конкретных экспериментах с использованием алло-СКЛ дифференцировку незрелых мДК индуцировали путем добавления TNFα или коктейля дополнительных цитокинов (IFNγ, IL-1β) и митогенов (ЛПС) в течение двух дополнительных дней культивирования (см. например, Нап, Т. (2009) "Evaluation of 3 Clinical Dendritic Cell Maturation Protocols Containing LPS and IFN-gamma", J Immunother 32:399). Чистоту, степень созревания и активацию мДК можно оценивать с помощью проточной цитометрии с применением одного или более из следующих антител: анти-CD14, анти-CD80, анти-CD83, анти-CD86, анти-HLA-DR и подходящих контролей изотипов. Данные проточной цитометрии в ходе такой оценки можно получать на приборе FACSCalibur/Fortessa (Becton Dickinson/BD Biosciences) и анализировать с помощью программы FlowJo software (TreeStar).

4. Экспрессия PD-1 и CTLA-4.

Клетки, экспрессирующие PD-1 и/или CTLA-4, могут быть созданы с применением способов, известных в данной области техники. Например, клетки (такие как NSO, Jurkat, CHO и т.д.) могут быть получены таким образом, чтобы они экспрессировали PD-1 и/или CTLA-4, с применением ретровирусных векторов, содержащих подходящий ген (например, гена PD-1). В качестве альтернативы, клетки иммунной системы можно стимулировать для индукции или повышения экспрессии PD-1 и/или CTLA-4. Вкратце, очищенные клетки иммунной системы (например, МКПК, Т-клетки, дендритные клетки и т.д.) выделяли, как описано выше, культивировали в течение 2-6 дней в присутствии или в отсутствие митогена и оценивали экспрессию PD-1 и/или CTLA-4 в необработанных (наивных) и стимулированных клетках, например, с использованием проточной цитометрии. Коммерческие антитела против PD-1 и антитела против CTLA-4 можно применять для предварительной оценки паттерна экспрессии в наивных клетках и в ответ на стимуляцию митогена. Дополнительно или необязательно можно применять биспецифичные в отношении PD-1 х CTLA-4 молекулы согласно изобретению.

Митогены, которые можно применять для таких исследований, хорошо известны в данной области техники и включают, но не ограничиваются следующими: гранулы CD3/CD28, липополисахариды (ЛПС), энтеротоксин типов A-E Staphylococcus aureus (например, SEB), форбол миристат ацетат (РМА),

фитогемагтлютинин (PHA), конканавалин A (conA), митоген лаконоса (PWM) и т.д. Митоген (митогены), идентифицированный как вызывающий/повышающий экспрессию PD-1 и/или CTLA-4, можно применять в функциональных анализах для оценки стимулирующей активности биспецифичных в отношении PD-1 х CTLA-4 молекул согласно настоящему изобретению. См., например, анализы "SEB" и "СКЛ", описанные в настоящей заявке.

В. Анализы связывания.

Иммунологические анализы, которые можно применять для анализа иммунноспецифичного связывания с молекулами PD-1 или CTLA-4, кросс-реактивности связывания или взаимодействий Fc-FcүR включают, но не ограничиваются следующими, конкурентные и не конкурентные аналитические системы с применением методов, таких как Вестерн блоттинг, радиоиимунологические анализы, твердофазный ИФА (твердофазный иммуннологический анализ), иммуннологический анализ по типу "сэндвич", анализы иммуннопреципитации, реакции преципитации, реакции диффузной преципитации в геле, иммуннохроматографические анализы, иммуннодиффузионные анализы, реакции агглютинации, анализ фиксации комплемента, радиоиммунные анализы, флуоресцентные иммуннологические анализы и иммуннологические анализы на основе белка А и т.д. (см. например, Ausubel et al., 2008, Current Protocols in Molecular Biology). Аффинность связывания с антигеном-мишенью, как правило, измеряют или определяют с помощью стандартных анализов антитело-антиген, таких как конкурентные анализы Віасоге, анализы насыщения или иммуннологические анализы, такие как твердофазный ИФА или РИА. Сортировку клеток с активированной флуоресценцией (FACS) с применением методов, известных специалисту в данной области техники, использовали для иммуннологических или функциональных анализов для характеристики биспецифичных в отношении PD-1 х CTLA-4 молекул согласно изобретению.

Например, МКПК можно получать, как описано выше. В случае, когда желаемые подтипы иммунных клеток (например, Т-регуляторные, Т-хелперные, АПК и т.д.) можно выделить из очищенных МКПК, в указанных выделенных клетках затем оценивают экспрессию PD-1 и CTLA-4 для различных подтипов клеток (например, Т-регуляторных, Т-хелперных, АПК и т.д.) путем совместного окрашивания и анализа путем сортировки клеток с активированной флуоресценцией (FACS), как описано ниже.

1. Связывание с клеточной поверхностью (анализ насыщения).

Способность биспецифичных в отношении PD-1 x CTLA-4 молекул связываться с PD-1 и/или CTLA-4, экспрессируемыми на клеточной поверхности, можно измерить в анализах на основе насыщения/разведения с применением клетки, которая экспрессирует PD-1 и/или CTLA-4 (клетки-мишени). Такие клетки могут представлять собой клетки иммунной системы, стимулированные таким образом, чтобы они экспрессировали РD-1 и/или CTLA-4, или клеточную линию (например, клетки NSO), полученную таким образом, чтобы она стабильно экспрессировала на повышенном уровне молекулы РD-1 и/или СТLА-4. Вкратце, культивируемые клеткимишени (например, клетки NSO с экспрессией PD1⁺) собирали и ресуспендировали (например, в концентрации примерно 5×10⁶ клеток/мл) в блокирующем буфере (например, FACS-буфере с добавлением 10% сыворотки AB человека). Биспецифичную в отношении PD-1 x CTLA-4 молекулу, антитело против PD-1, антитело против СТLА-4 или комбинацию антитела против PD-1 и антитела против CTLA-4 готовили для разведения в отдельном титрационном микропланшете, начиная с одинаковых молярных концентраций (например, 20 нМ в общем объеме 200 мкл), и затем осуществляли серийное разведение (например, 1:4, 1:5, 1:10 и т.д.) 5-12 раз для получения 5-12-точечной кривой. Максимальная начальная концентрация во всех экспериментах определялась опытным путем. Одинаковый объем (например, 50 мкл) каждого разведения добавляли в новый титрационный микропланшет и клетки-мишени добавляли в каждую лунку (например, в концентрации 0,25×106 клеток на лунку) и инкубировали (например, при 4-25°С в течение 30-120 минут). Клетки промывали 1-3 раза (например, титрационный микропланшет откручивали при $600 \times g$ (1620 об./мин) в течение 5 минут и затем промывали в блокирующем буфере и снова откручивали) и ресуспендировали в блокирующем буфере. Для вторичного окрашивания выбирали подходящий вторичный реагент, например, козьи Fc-специфичные антитела против иммунноглобулина человека, конъюгированные с АРС, можно применять для выявления человеческих первичных антител, в то время как козьи Fc-специфичные IgG против иммунноглобулина мыши, конъюгированные с Alexa Fluor 647. использовали для выявления мышиных первичных антител. Выбранный вторичный реагент разводили в блокирующем буфере и на основе концентрации каждого отдельного вторичного реагента готовили стоковый раствор и смесь вторичного реагента в одинаковом объеме на лунку аликвотирвоали в отдельные лунки и инкубировали (например, при 4-25°C в течение 30-120 минут). Клетки промывали, как описано выше, и ресуспендировали в блокирующем буфере. Окрашенные клетки анализировали с помощью проточной цитометрии. Данные проточной цитометрии можно получать на приборе FACSCalibur/Fortessa (Becton Dickinson/Fortessa), анализировать в виде средней интенсивности флуоресценции с применением программы FlowJo software (TreeStar) и наносить на график и нормировать с использованием функции "log(агонист) - эффект -переменный наклон (четыре параметра)" в программе Prism6 (Graphpad).

2. Анализы связывания рецептор/лиганд и сигнального пути.

Анализы, которые можно применять для оценки способности биспецифичных в отношении PD-1 x CTLA-4 молекул согласно изобретению модулировать (например, блокировать, ингибировать, стимулировать и т.д.) связывание лиганда и сигнальные пути, описаны более подробно ниже.

а. Связывание рецептор PD-1/лиганд.

Способность биспецифичных в отношении PD-1 x CTLA-4 молекул ингибировать связывание PD-1 с PD-L1 и/или PD-L2 можно оценить с использованием клеток, которые экспрессируют PD-1 (клетокмишеней). Такие клетки могут представлять собой клетки иммунной системы, стимулированные таким образом, чтобы они экспрессировали PD-1, или клеточную линию, полученную таким образом, чтобы она экспрессировала молекулы PD-1, например, NSO-клетки, трансфицированные с помощью ретровируса геном PD-1 человека. Вкратце, экспрессирующие PD-1 клетки (например, NSO/PDCD1 (NSO-PD1⁺)) собирали и ресуспендировали (например, в концентрации примерно 1,5×106 клеток/мл) в блокирующем буфере (например, FACS-буфер с добавлением 10% сыворотки АВ человека) и высевали на титрационный микропланшет (например, в концентрации 0,25×10⁶ клеток на лунку). Биспецифичную в отношении PD-1 x CTLA-4 молекулу, антитело против PD-1, антитело против CTLA-4 или комбинацию антитела против PD-1 и антитела против CTLA-4 готовили для разведения в отдельном титрационном микропланшете, начиная с одинаковой молярной концентрации (например, 20 нМ в общем объеме 200 мкл) и осуществляли серийные разведения (например, 1:4, 1:5, 1:10 и т.д.) 5-12 раз для получения 5-12-точечной кривой. Максимальную начальную концентрацию во всех экспериментах определяли эмпирическим путем. Одинаковый объем (например, 50 мкл) каждого разведения добавляли в каждую лунку титрационного микропланшета, содержащего клетки-мишени. Для оценки ингибирования связывания PD-L1 в каждую лунку добавляли растворимый гибридный белок PD-L1 (например, hPD-L1 (B7H1) TEV-hIgG1-Fcбиотин (Ancell)), за исключением неокрашенных лунок отрицательного контроля, и инкубировали (например, при 4-25°C в течение 30-120 минут). Для оценки ингибирования связывания PD-L2 в каждую лунку добавляли растворимый гибридный блок PD-L2 (например, CD273 (PD-L2) muIgG/биотин (Ancell)), за исключением неокрашенных лунок отрицательного контроля, и инкубировали (например, при 4-25°С в течение 30-120 минут). Клетки промывали 1-3 раза (например, титрационный микропланшет откручивали при 600 × g (1620 об./мин) в течение 5 минут и затем промывали блокирующим буфером и снова откручивали). Клетки ресуспендировали в блокирующем буфере. Добавляли подходящий вторичный реагент (за исключением неокрашенных лунок отрицательного контроля) для выявления гибридного белка PD-L1 или PD-L2 (например, стрептавидин-PE меченный вторичный реагент (eBiosciences)) и инкубировали (например, при 4-25°C в течение 15-120 минут). Клетки промывали, как описано выше, и ресуспендировали в блокирующем буфере. Окрашенные клетки можно анализировать с помощью проточной цитометрии. Данные проточной цитометрии можно получать на приборе FACSCalibur/Fortessa (Becton Dickinson/Fortessa) и анализировать снижение средней интенсивности флуоресценции меченных sPD-L1 или sPD-L2 в присутствии биспецифичных в отношении PD-1 х СТLА-4 молекул, антитела против PD-1, антитела против CTLA-4 или комбинации антитела против PD-1 и антитела против CTLA-4 с применением программы FlowJo software (TreeStar) и наносить на график и нормировать с использованием функции "log(агонист) - эффект - переменный наклон (четыре параметра)" в программе Prism6 (Graphpad).

b. Связывание рецептор/лиганд CTLA-4.

Способность биспецифичных в отношении PD-1 x CTLA-4 молекул ингибировать связывание CTLA-4 с CD80 и/или CD86 можно оценить с применением клеток, которые экспрессируют CTLA-4 (клетки-мишени). Такие клетки могут представлять собой клетки иммунной системы, стимулированные таким образом, чтобы они экспрессировали СТLА-4, или клеточную линию, полученную таким образом, чтобы она экспрессировала СТLА-4, например, NSO-клетки, трансфицированные с помощью ретровируса геном CTLA-4 человека. Вкратце, экспрессирующие CTLA-4 клетки собирали и ресуспендировали в блокирующем буфере (например, FACS-буфере с добавлением 10% сыворотки AB человека) и высевали на титрационный микропланшет (например, в концентрации 0.25×10^6 - 1.0×10^6 клеток на лунку). Биспецифичную в отношении PD-1 x CTLA-4 молекулу, антитело против PD-1, антитело против CTLA-4 или комбинацию антитела против PD-1 и антитела против CTLA-4 готовили для разведения в отдельном титрационном микропланшете, начиная с одинаковой молярной концентрации (например, 20 нМ в общем объеме 200 мкл) и осуществляли серийные разведения (например, 1:4, 1:5, 1:10 и т.д.) 5-12 раз для получения 5-12-точечной кривой. Максимальную начальную концентрацию во всех экспериментах определяли эмпирическим путем. Каждое разведение в одинаковом объеме (например, 50 мкл) добавляли в каждую лунку титрационного микропланшета, содержащего клетки-мишени. Для оценки ингибирования связывания СD80 в каждую лунку, за исключением неокрашенных лунок отрицательного контроля, добавляли растворимый гибридный белок CD80 (например, hCD80-mulg-биотин (ADIPOGEN®)) и инкубировали (например, при 4-25°C в течение 30-120 минут). Для оценки ингибирования связывания CD86 в каждую лунку, за исключением неокрашенных лунок отрицательного контроля, добавляли растворимый CD86 гибридный белок (например, hCD86-muIg-биотин (ADIPOGEN®)) и инкубировали (например, при 4-25°C в течение 30-120 минут). Клетки промывали 1-3 раза (например, титрационный микропланшет откручивали при 600×g (1620 об./мин) в течение 5 минут и затем промывали блокирующим буфером и снова откручивали). Клетки ресуспендировали в блокирующем буфере. Добавляли подходящий вторичный реагент для выявления СD80 или CD86 гибридного белка (например, стрептавидин-РЕ меченные вторичные (eBiosciences)), за исключением неокрашенных лунок отрицательного контроля, и инкубировали (например, при 4-25°С в течение 15-120 минут). Клетки промывали, как описано выше, и ресуспендировали в блокирующем буфере. Окрашенные клетки можно анализировать с помощью проточной цитометрии. Данные проточной цитометрии можно получать с помощью системы FACSCalibur/Fortessa (Becton Dickinson/Fortessa) и анализировать снижение средней интенсивности флуоресценции меченных CD86 или CD80 в присутствии биспецифичных в отношении PD-1 х CTLA-4 молекул, антитела против PD-1, антитела против CTLA-4 или комбинации антитела против PD-1 и антитела против CTLA-4 с применением программы FlowJo software (TreeStar) и наносить на график и нормировать с использованием функции "log(агонист) - эффект - переменный наклон (четыре параметра)" в программе Prism6 software (Graphpad).

С. Репортерные анализы.

Функциональную активность биспецифичных в отношении PD-1 x CTLA-4 молекул в блокировании взаимодействия PD-1 с PD-L1 можно оценивать с применением коммерчески доступной репортерной системы, разработанной компанией Promega, в соответствии с рекомендациями изготовителя. Вкратце, использовали две клеточные линии, созданные таким образом, чтобы они функционировали либо в качестве стимулирующей линии, либо в качестве репортерной клеточной линии. Стимулирующую линию создавали из исходной линии СНО таким образом, чтобы она экспрессировала молекулы PD-L1 и T-клеточный активатор, который представляет собой связанное с мембраной mAb-агонист против CD3 [клетки CHO/PDL1]. Репортерную клеточную линию создавали из исходной линии клеток CD3⁺ Jurkat таким образом, чтобы указанная линия экспрессировала люциферазную репортерную конструкцию под контролем транскрипции ядерного фактора активированных Т-клеток (NFAT) [клетки NFATluc2/PD-1 Jurkat]. При совместном культивировании вместе анти-CD3 агонист, экспрессируемый на клеточной линии CHO-PDL1, запускает экспрессию люциферазы через путь передачи сигнала NFAT, опосредованную вовлечением сигнального комплекса ТСР/СD3, присутствующего в клеточной линии Jurkat-NFAT-luc/PD-1. В отсутствие антител против PD-1 или PD-L1 люцифераза экспрессируется на уровне, обусловленном активностью сигнального пути TCR/CD3, но подавляется или ингибируется при наличии пути PD-1/PD-L1, который действует как "тормоз". В присутствии молекул, которые ингибируют сигнальный путь PD-1/PD-L1 (например, антитела против PD-1 или PD-L1), этот ингибирующий путь, или "тормоз", выключается, позволяя повышение экспрессии люциферазы, которое можно измерить. Соответственно, ингибирующую PD-1 активность биспецифичных в отношении PD-1 x CTLA-4 молекул можно оценивать путем культивирования клеток CHO/PDL1 с NFAT-luc2/PD1 Jurkat (3H-D5). Вкратце, клетки CHO-PDL1 высевали на титрационный микропланшет (например, в концентрации 4,0×10⁴ клеток на лунку) и культивировали в течение ночи (например, в среде RPMI, содержащей 10% ЭБС и 100 мкг/мл гигромицина В и 500 мкг/мл G418). На следующий день готовили аналитический буфер (например, среду RPMI с добавлением 2% ЭБС) и серийные разведения биспецифичной в отношении PD-1 x CTLA-4 молекулы или антитела против PD-1 в аналитическом буфере, включающие 5-12 точек, с максимальным разведением при одинаковом молярном эквиваленте (например, 100-200 нМ) и получали 5-12 серийных разведений (например, 1:4, 1:5, 1:10 и т.д.). На следующем этапе часть культуральной среды удаляли из титрационного микропланшета, содержащего адгезивные клетки СНО/PDL1, и аликвоты каждого разведения добавляли к указанным клеткам CHO/PDL1. Культивируемые клетки NFAT-luc2/PD-1 Jurkat собирали и ресуспендировали в аналитическом буфере и добавляли (например, в концентрации 5,0×10⁴ клеток на лунку в объеме 40 мкл на лунку) к клеткам CHO/PDL1. Культуры совместно инкубировали (например, в течение 6 часов при 37°С). В конце инкубирования восстанавливали субстрат Bio-Glo (Promega) и добавляли в титрационный микропланшет комнатной температуры. После инкубирования (например, в течение 5-10 минут) считывали оптическую плотность каждой лунки на многоканальном считывателе для планшетов VIC-TOR™ X4 (Perkin Elmer #2030-0040) при длине волны 450 нм с получением значений в относительных единицах люминесценции (RLU) в качестве выходных данных. Данные затем можно наносить на график и нормировать с использованием функции "log(агонист) - эффект - переменный наклон (четыре параметра)" с помощью программы Prism6 (Graphpad).

Сходные репортерные анализы доступны для сигнального пути CTLA-4 (например, CTLA-4 Blockade Bioassay Kit (Promega)) и/или могут быть легко созданы для оценки функциональной активности биспецифичных в отношении PD-1 х CTLA-4 молекул в блокировании взаимодействий CTLA-4 с помощью соответствующего лиганда (лигандов).

D. Анализы иммунномодулирующей активности.

Анализы, которые можно применять для оценки иммунномодулирующей активности биспецифичных в отношении PD-1 x CTLA-4 молекул согласно изобретению, включают анализы митогенной стимуляции, такие как "SEB"-анализ, описанный выше, и анализ реакции в смешанной культуре лимфоцитов (СКЛ), такой как анализы, описанные более подробно ниже. Ожидается, что способность биспецифичных в отношении PD-1 x CTLA-4 молекул согласно изобретению модулировать ингибирующие пути как PD-1, так и CTLA-4, будет приводить к усиленной стимуляции в анализах по сравнению с антителом против PD1 и антителом против CTLA-4 отдельно или в комбинации.

МКПК или Т-клетки выделяли из крови здорового донора (доноров) - из крови одного и того же пациента (аутологичные клетки) или неродственных пациентов (аллогенные клетки) - посредством центрифугирования в градиенте фиколла Ficoll-PaqueTM, как описано выше, и ресуспендировали в полной питательной среде. Для анализов с помощью алло-СКЛ, в которых используются мДК, моноциты очищали и дифференцировали, как описано выше. Для одностороннего (однонаправленного) анализа с помощью реакции алло-СКЛ клетки-респондеры (например, МКПК) сокультивировали со стимулирующими клетками в титрационном микропланшете. В зависимости от контекста, стимулирующие клетки представляли собой дендритные клетки (ДК), аутологичные МКПК (для реакции ауто-СКЛ, т.е. отрицательный контроль) или аллогенные МКПК (для реакции алло-СКЛ, т.е. положительный контроль). Отношение клетки-респондеры:стимулирующие клетки, как правило, составляет 1:1 или 2:1, но может варьировать. Сокультивирование осуществляли в присутствии одинакового молярного количества биспецифичной в отношении PD-1 x CTLA-4 молекулы, антитела против PD-1, антитела против CTLA-4, комбинации антитела против PD-1 и антитела против CTLA-4 или соответствующих изотипов mAb в серийных разведениях (например, 1:4 1:5, 1:10 и т.д.). Серийные разведения антитела можно приготовить, как описано выше. Кроме того, контрольные популяции клеток одного типа, стимулированные с добавлением или без добавления mAb против CD3 +/-CD28, можно применять в качестве контролей в таких экспериментах. Стимулирующие клетки (стимуляторы) предварительно облучали (например, при 45 Грей [Gy] (4500 рад) с применением аппарата для облучения Gammacell® 3000 Elan Blood/Cell Irradiator (Theratronics)) для предотвращения пролиферации указанных стимулирующих клеток и возможности измерения пролиферации только респондерной клетки (респондера). Через 5-7 суток (время корректируют для обеспечения экспрессии PD-1 и CTLA-4 во время анализа), добавляли [³H]-тимидин (например, 1 мкКи/лунку (Perkin Elmer)) на дополнительные 18-48 часов. Измеряли радиоактивность включенной в ДНК метки (например, с помощью β-сцинцилляционного счётчика TOPCount NXT (Perkin Elmer)). Результаты выражали либо как среднее число импульсов в минуту (срт), либо как коэффициент стимуляции (SI), что позволяло сравнивать результаты от различных доноров. SI рассчитывали следующим образом: среднее число импульсов в минуту (срт) для стимулированных клеток, деленное на среднее срт для нестимулированных клеток, Ответы в СКЛ считали положительными, когда SI составлял ≥3 для вызванной МКПК стимуляции и SI ≥ 6 для вызванной ДК стимуляции. В качестве альтернативы, пролиферацию можно измерять с применением анализа пролиферации на основе CEFSE (Boks, M.A., et al. (2010) "An optimized CFSE based T-cell suppression assay to evaluate the suppressive capacity of regulatory T-cells induced by human tolerogenic dendritic cells," Scand J Immunol 72:158-168).

Дополнительные анализы с помощью реакции СКЛ, которые можно применять для оценки стимулирующей иммунную систему активности биспецифичных в отношении PD-1 х CTLA-4 молекул согласно изобретению, известны в данной области техники. См., например, Davies, J.K. et al. (2011) "Induction of alloantigen-specific anergy in human peripheral blood mononuclear cells by alloantigen stimulation with costimulatory signal blockade" Journal of Visualized Experiments: JoVE, (49), 2673; Kruisbeek, A.M., et al. (2004) "Proliferative Assays for T cell Function", CURRENT PROTOCOLS IN IMMUNOLOGY, 60:111:3.12.1-3.12.20; Wallgren, A.C. et al. (2006) "The Direct Pathway Of Human T-Cell Allorecognition Is Not Tolerized By Stimulation With Allogeneic Peripheral Blood Mononuclear Cells Irradiates With High-Dose Ultraviolet" Ba. Scand J of Immunol 63:90-96; Levitsky, J. et al. (2009) "The Human 'Treg MLR' Immune Monitoring for Foxp3+ T regulatory cell generation, Transplantation 88:1303-11.

Е. Противоопухолевые анализы in vivo.

Противоопухолевую активность биспецифичных в отношении PD-1 х CTLA-4 молекул согласно изобретению можно оценивать на различных животных моделях, известных в данной области техники. Ожидается, что лечение биспецифичными в отношении PD-1 х CTLA-4 молекулами согласно изобретению будет ингибировать образование опухоли и/или рост опухоли в большей степени по сравнению с лечением антителом против PD1 и антителом против CTLA-4 отдельно или комбинацией таких антител.

В частности, можно применять мышиные модели опухолевых ксенотрансплантатов. Вкратце, мышам имплантируют линию раковых клеток или интересующие опухолевые клетки и лечат с помощью (i) биспецифичных в отношении PD-1 х CTLA-4 молекул, (ii) антитела против PD-1, (iii) антитела против CTLA-4, (iv) комбинации антитела против PD-1 и антитела против CTLA-4 и (vi) контроля с отсутствием лечения, который может представлять собой отдельно наполнитель и/или нерелевантное антитело. Лечение можно начинать до имплантации (например, за 1 день (т.е. -1 сутки)); в день имплантации (т.е. 0 сутки) или после формирования опухоли (например, 7 сутки). Животным можно проводить один курс лечения или несколько курсов лечения (например, каждую неделю после имплантации). За животными наблюдают в течение продолжительно времени для определения in vivo эффекта указанных молекул на формирование и/или рост опухоли. За ростом опухолей можно следить путем их измерения и определения объема (высота × ширина × длина). Подверженных лечению животных, у которых наблюдается полная регрессия опухоли, можно применять для оценки опухоль-специфичного иммунного ответа путем повторной стимуляции с использованием тех же или опухолевых клеток и нерелевантных опухолевых клеток в качестве контроля. Кроме того, указанные модели можно модифицировать с обеспечением спо-

соба лечения, комбинированного со стандартными методами лечения, такими как химиотерапия, лучевая терапия и т.д.

Множество раковых клеточных линий, которые можно трансплантировать и использовать на таких моделях ксенотрансплантата, известно в данной области техники. Указанные линии включают, но не ограничиваются следующими: клетки рака толстой и прямой кишки MDST8, SW480 и SW620; клетки рака желудка AGS; клетки меланомы UACC-62, A2058 и LOX IMVI; клетки рака предстательной железы 22rv; клетки рака поджелудочной железы AsPC-1 и BxPc-3; клетки рака почки Caki-1, A498 и 786-0; клетки рака мочевого пузыря HT-1197; клетки рака молочной железы 4T1, MDA-MB-231; клетки рака легких А549, WX322; клетки фибросаркомы HT1080; клетки HBL-2 мантийноклеточной лимфомы человека; клетки лимфомы Беркитта Raji. В частности, предпочтительными являются модели полученного от пациента ксенотрансплантата (PDX). Такие раковые клеточные линии или полученные от пациента опухоли трансплантируют линейным мышам с иммуннодефицитом (например, мышам Nude, мышам Scid, мышам NOD, нулевым по Rag 1 мышам и т.д. (см. например, Belizario, J.E., (2009) "Immunodeficient Mouse Models: An Overview" Bentham Open 1874-2262/09) или гуманизированным мышам, таким как трансгенные мыши с HLA-A2 человека (см. например, Shultz, L.D., et al. (2012) "Humanized mice for immune system investigation: progress, promise and challenges" Nature Rev Immunol 12:786-798), как описано выше. Кроме того, для оценки молекул, модулирующих контрольные точки иммунного ответа, мышам с иммуннодефицитом можно трансплантировать компоненты иммунной системы человека (например, восстанавливать иммунную систему с помощью МКПК, стволовых клеток, прогениторных иммунных клеток человека и т.д.) до или одновременно с имплантацией желаемых опухолевых клеток и лечением, как подробно описано выше.

Пример 5. Исследования связывания биспецифичных в отношении PD-1 x CTLA-4 молекул.

Создавали несколько биспецифичных в отношении PD-1 х CTLA-4 молекул, включая содержащие Fc-фрагмент диатела и содержащие Fc-фрагмент тривалентные молекулы, имеющие четыре полипептидные цепи. Создавали три диатела, имеющие четыре полипептидные цепи и содержащие домены E/K-coil, способствующие образованию гетеродимера, и обозначали их как "DART B", "DART C" и "DART D". Создавали одно диатело, имеющее четыре цепи и содержащее домены CH1/CL, и обозначали его как "DART E." Создавали две тривалентные связывающие молекулы, имеющие четыре цепи и содержащие домены E/K-coil, способствующие образованию гетеродимера, и домены CH1/CL, и обозначали указанные молекулы как "TRIDENT A" и "TRIDENT B".

Кроме того, было создано несколько антител, обладающих специфичностью в отношении PD-1 или CTLA-4. Создавали одно антитело, специфичное в отношении PD-1, и обозначали его как "PD-1 mAb 6 G4P". Создавали три антитела, специфичных в отношении CTLA-4, и обозначали их как "CTLA-4 mAb 1", "CTLA-4 mAb 3 G1AA" и "CTLA-4 mAb 3 G4P".

Структура и аминокислотные последовательности указанных биспецифичных в отношении PD-1 x CTLA-4 молекул, антител против PD-1, антител против CTLA-4 представлены выше и суммированы в табл. 9 ниже.

Таблица 9					
Название	Вариабельные участки	Fc‡	цепи	SEQ ID NO:	Другие компоненты
			1	95	п ги
DARTE	CTLA-4 mAb 1	IgG4	2	96	Домены Е/К-
DART B	PD-1 mAb 6-ISQ	(YTE)	3	95	соі1; см. Фигуру 3В
			4	96	эв
			1	97	п ги
DART C	CTLA-4 mAb 3	InC4	2	98	Домены Е/К-
DAKIC	PD-1 mAb 6-ISQ	IgG4	3	97	соіl; см. Фигуру 3В
			4	98	30
			1	99	П
DART D	PD-1 mAb 6-ISQ	IgG4	2	100	Домены Е/К-
DAKID	CTLA-4 mAb 3	(YTE)	3	99	соі1; см. Фигуру 3В
			4	100) JB
			1	102	
DART E	CTLA-4 mAb 3	IgG4	2	103	CL/CH1; см.
DAKIL	PD-1 mAb 6-ISQ	(YTE)	3	102	Фигуру 3С
			4	103	
			1	101	П
DART F	PD-1 mAb 6-ISQ	IgG1	2	100	Домены Е/К- coil; см. Фигуру
DAKIF	CTLA-4 mAb 3	(AA/YTE)	3	101	ЗВ
			4	100	38

TRIDENT A	PD-1 mAb 6-ISQ CTLA-4 mAb 3	IgG4 (YTE)	1 2 3 4	104 105 106 107	Домены Е/К-соіl и СL/СН1; см. Фигуру 6А
TRIDENT B	PD-1 mAb 6-ISQ CTLA-4 mAb 3	IgG1 (AA/YTE)	1 2 3 4	108 105 109 107	Домены Е/К-coil и СL/СН1; см. Фигуру 6А
PD-1 mAb 6 G4P	PD-1 mAb 6-ISQ	IgG4	1 2 3 4	88 89 88 89	природная структура антитела
CTLA-4 mAb 1	СТLА-4 mAb 1 (копия ипилимумаба)	IgGl	4	**	природная структура антитела
CTLA-4 mAb 3 G1AA	CTLA-4 mAb 3	IgGl (AA)	1 2 3 4	92 94 92 94	природная структура антитела
CTLA-4 mAb 3 G4P	CTLA-4 mAb 3	IgG4	1 2 3 4	93 94 93 94	природная структура антитела

[‡] Молекулы, содержащие Fc-фрагменты IgG4, также включают стабилизированную шарнирную область IgG4.

Дополнительные биспецифичные в отношении PD-1 x CTLA-4 молекулы, содержащие альтернативные сайты связывания эпитопа PD-1 и/или CTLA-4, можно легко создавать путем включения различных VH- и VL-доменов. Аналогично, могут быть созданы молекулы, содержащие альтернативные линкеры, Fc-фрагменты и/или имеющие альтернативные структуры, как предложено в настоящей заявке (см. например, табл. 8).

А. Исследования связывания с помощью твердофазного ИФА.

Исследования с помощью твердофазного ИФА проводили для измерения связывания связывающих молекул в серийных разведениях (антитело СТLА-4 mAb 3 G4P, DART D, TRIDENT A или DARTB) с растворимым hCTLA-4-Avi-His (1 мкг/мл) или hPD-1-His (1 мкг/мл), который был нанесен на планшеты-подложки. Козьи Fcспецифичные антитела против иммунноглобулина человека, конъюгированные с HRP, (1:10,000) использовали в качестве вторичной детектирующей молекулы для выявления связывания. Результаты такого исследования показаны в табл. 10 и на фиг. 8A-8B. Данные показывают, что связывание с PD-1 и СТLА-4 биспецифичных в отношении PD-1 х СТLА-4 молекул, содержащих два сайта связывания для PD-1 и СТLА-4 (например, DART D и DART B), было сходно со связыванием их соответствующих исходных антител против PD-1 и против СТLА-4. Связывание с PD-1 биспецифичных в отношении PD-1 х СТLА-4 молекул, содержащих два сайта связывания для PD-1 и один сайт связывания для СТLА-4 (например, TRIDENT A), было сходно со связыванием исходного антитела против PD-1, а связывание с СТLА-4 было понижено по сравнению со связыванием исходного антитела в связи со сниженной авидностью тривалентной молекулы, содержащей только один сайт связывания для СТLА-4. Сходные результаты связывания наблюдались для DART F и TRIDENT B, содержащих CH1 IgG1 и/или (AA/YTE) Fc-фрагменты IgG1.

Таблица 10				
Конструкт	EC50 для связывания PD-			
	4 (HM)	1 (HM)		
CTLA-4 mAb 3 G4P	0.4	N/A		
PD-1 mAb 6 G4P	N/A	0,3		
DART D	0.4	0,3		
TRIDENT A	1,0	0.4		
DART B	0.4	0.4		

Эффект изменения распределения и соединения доменов на связывание исследовали путем инкубирования биспецифичных в отношении PD-1 x CTLA-4 молекул, содержащих домены связывания CTLA-4 антитела CTLA-4 mAb 1 (например, DART B) и CTLA-4 mAb 3 (например, DART C и DART D) в присутствии растворимого PD-1 человека (фиг. 8C) или растворимого CTLA-4 человека-Avi-His (фиг. 8D), которые наносили на планшеты-подложки. Козьи Fcγ-специфичные антитела против иммунноглобулина человека, конъюгированные с HRP, использовали в качестве вторичных детектирующих молекул для выявления связывания с применением хемилюминесцентного субстрата PICO. Результаты показывают, что биспецифичные в отношении PD-1 x CTLA-4 молекулы, содержащие домены связывания CTLA-4 антитела CTLA-4 mAb 1 (например, DART B) и CTLA-4 mAb 3 (например, DART C и DART D), связывались с CTLA-4 сходным образом. Было обнаружено, что связывание с PD-1 или CTLA-4 значительно не изменялось в зависимости от распределения связывающих доменов, т.е. их расположения на первой или второй цепи (для сравнения - связывание DART C и DART D).

В. Исследования блокирования с помощью твердофазного ИФА.

Проводили серию твердофазных ИФА для оценки способности биспецифичных молекул согласно изобретению блокировать связывание лиганда с PD-1 и CTLA-1, отдельно и в комбинации. Блокирова-

^{**} Такая же аминокислотная последовательность, как у ипилимумаба (см., например, базу данных 3D и 2D структур IMGT, номер доступа 8568_H и 8568_L).

ние связывания PD-L1 с PD-1 оценивали в присутствии равного количества нерелевантного антигена и равного количества СТLА-4. Планшеты покрывали смесью меченного гистидином (His) растворимого PD-1 человека (shPD-1) и меченного His нерелевантного антигена (irrAg), 1:1, (2 мкг/мл каждого) или смесью shPD-1 и меченного His растворимого СТLА-4 человека (shCTLA-4), 1:1, (2 мкг/мл каждого). PD-1 mAb 6 G4P, DART D, TRIDENT A или контрольную молекулу TRIDENT (содержащую два сайта связывания для RSV и один сайт связывания для СТLА-4) в указанной концентрации предварительно смешивали в течение 5 мин с меченным биотином PD-L1 в концентрации 6 мкг/мл и добавляли в планшеты. Связывание PD-L1 выявляли с применением конъюгированного с HRP стрептавидина (1:3,000). Результаты оценки представлены на фиг. 9A-9B. Было обнаружено, что все из исследованных связывающих PD-1 молекул были способны ингибировать связывание PD-L1 сPD-1.

Блокирование связывания B7-1 с CTLA-4 оценивали в присутствии равного количества нерелевантного антигена и равного или большего в четыре раза количества PD-1. Планшеты покрывали смесью shCTLA-4 и ітгАд (2 мкг/мл каждого), 1:1, смесью shCTLA-4 shPD-1 (2 мкг/мл каждого), 1:1, или смесью shCTLA-4 (0,8 мкг/мл) и shPD-1 (3,2 мкг/мл), 1:4. PD-1 mAb 6 G4P, DART D, TRIDENT A, CTLA-4 mAb 3 G4P или контрольную молекулу в указанной концентрации предварительно перемешивали в течение 5 мин с меченным биотином В7-1 в концентрации 0,2 мкг/мл и добавляли в планшеты. Связывание В7-1 выявляли с применением конъюгированного с HRP стрептавидина (1:3,000). Результаты оценки представлены на фиг. 9С-9Е. Было обнаружено, что все из исследованных связывающих СТLА-4 молекул были способны ингибировать связывание B7-1 с CTLA-4. Было обнаружено, что блокирование связывания B7-1 молекулой TRIDENT А усиливалось в результате взаимодействия его PD-1-связывающиго фрагмента с иммобилизированным PD-1 (для сравнения - контрольная молекулы TRIDENT, которая не связывается с PD-1) (фиг. 9D). Более того, было обнаружено, что при отношении СТLA-4:PD-1, составлявшем 1:4, где данные условия лучше имитируют относительный уровень экспрессии, наблюдаемый в стимулированных клетках (см. фиг. 19A), блокирование связывания B7-1 молекулой TRIDENT A дополнительно усиливалось (т.е. кривая TRIDENT A была дополнительно смещена по сравнению с кривой контрольной молекулы TRIDENT, которая не связывается с PD-1) (фиг. 9E).

Результаты указанных исследований с помощью твердофазного ИФА демонстрируют, что все из исследованных связывающих PD-1 молекул были способны ингибировать связывание PD-L1 с PD-1 ((фиг. 9А-9В). Все указанные молекулы являются бивалентными в отношении PD-1 и проявляли сходные профили ингибирования. Все из исследованных CTLA-4-связывающих молекул были способны ингибировать связывание B7-1 с иммобилизированным CTLA-4 (фиг. 9С-9Е), при этом молекулы, содержащие два сайта связывания PD-1 и один сайт связывания CTLA-4, вызывали более сильное ингибирование в присутствии PD-1 (фиг. 9D-9E). Таким образом, тривалентные молекулы, содержащие единственный сайт связывания CTLA-4, вызывают опосредованное PD-1 блокирование лигандов CTLA-4, демонстрируя, что взаимодействие CTLA-4 можно адаптировать путем корректировки валентности.

С. Исследования BIACORE®.

Аффинность связывания DART A, TRIDENT A и CTLA-4 mAb 1 с CTLA-4 человека и яванского макака исследовали с применением анализа BIACORE®. Вкратце, меченный His растворимый CTLA-4 (внеклеточную часть CTLA-4 человека или яванского макака сливали с содержащим гистидин пептидом) захватывали на иммобилизированные молекулы против пентагистидина (пента-His) и затем молекулы связывания CTLA-4 в различных концентрациях (12,5-200 нМ) пропускали вдоль иммобилизированных белков CTLA-4. Кинетику связывания определяли с помощью анализа BIACORE® (аффинность по модели связывания Ленгмюра 1:1 (одновременная аппроксимация k_a/k_d); или авидность с помощью раздельной аппроксимации кривых k_a/k_d , 1:1). Рассчитанные k_a , k_d и K_D от указанных исследований представлены в табл. 11

Таблица 11						
	CTL	CTLA-4 человека			А-4 явансі макака	сого
Молекула	k _a	k _a k _d KD			k _d	KD
	(x10 ³)	$(x10^{-4})$	(нМ)	(x10 ³)	(x10 ⁻³)	(нМ)
CTLA-4 mAb 1*	6,6	8,9	1.4	10	1.3	1.3
DART D*	2.3	7,1	3,1	3,5	1,7	4,9
TRIDENT A‡	1,2	32	26,7	2,5	65	260

^{*} Авидность по раздельной аппроксимации кривых ka/kd, 1:1.

DART D является бивалентным в отношении CTLA-4 и проявляет аффинность связывания с CTLA-4 человека и яванского макака в пределах примерно 2 - 4-кратной аффинности CTLA-4 mAb 1. TRIDENT A, который является моновалентным в отношении CTLA-4, обладает более низкой аффинностью как в отношении CTLA-4 человека, так и CTLA-4 яванского макака, что является ожидаемым с учетом его пониженной авидности.

Аффинность связывания DART A, TRIDENT A, PD-1 mAb 6 G4P и CTLA-4 mAb 3 G1AA с PD-1 человека исследовали с применением анализа BIACORE®. Молекулы связывания захватывали на иммобилизированные F(ab)₂ козьи Fc-специфичные антитела против иммунноглобулина человека и затем ме-

[‡] Аффинность по модели связывания Ленгмюра, 1:1.

ченный His растворимый PD-1 человека в различных концентрациях (6,25-100 нM) пропускали вдоль иммобилизированных связывающих молекул и кинетику связывания определяли с помощью анализа BIACORE® (аппроксимация кривых связывания с использованием уравнения Ленгмюра, 1:1). Рассчитанные k_a , k_d и KD от указанных исследований представлены в табл. 12 (n.d. - не поддается выявлению).

Таблица 12				
	PD-1 человека			
Молекула	k _a k _d KD			
	$(x10^5)$	$(x10^{-4})$	(нМ)	
CTLA-4 mAb 3 G1AA	n.d.	n.d.	n.d.	
PD-1 mAb 6 G4P	6,2	6,7	1,1	
DART D	4,8	8,1	1,7	
TRIDENT A	5,2	6,8	1.3	

Bce из DART A, TRIDENT A, PD-1 mAb 6 G4P являются бивалентными в отношении PD-1 и обладают сопоставимыми аффинностями связывания. Как и ожидалось, CTLA-4 mAb 3 G1AA не проявляло какого-либо поллающегося выявлению связывания с PD-1 человека.

D. Клеточные анализы CTLA-4.

Оценивали связывание DART B, DART D, TRIDENT A, антитела против CTLA-4 CTLA-4 mAb 1, CTLA-4 mAb 3 G4P и контрольного антитела hIgG с клетками CHO, экспрессирующими CTLA-4 яванского макака (супоСТLА-4) или CTLA-4 человека (huCTLA-4). Результаты этой оценки показаны на фиг. 10A-10B. Связывающие молекулы инкубировали в присутствии клеток CHO, которые экспрессировали либо CTLA-4 яванского макака (фиг. 10A), либо CTLA-4 человека (фиг. 10B). Связывание с указанными клетками выявляли с помощью вторичных антител против Fc иммунноглобулина человека. Результаты показывают, что все исследованные молекулы были способны связываться с CTLA-4 человека и яванского макака, экспрессируемым на поверхности клеток CHO. У антител против CTLA-4 наблюдались сходные профили связывания с huCTLA-4; у бивалентных биспецифичных молекул DART B и DART D наблюдалось немного более слабое связывание, а у тривалентной связывающей молекулы TRIDENT A, которая является моновалентной в отношении CTLA-4, наблюдалось более слабое связывание по сравнению с молекулами с более высокой валентностью в отношении CTLA-4. Контрольное антитело не связывалось. Сходные результаты были показаны в случае связывания с супоСТLА-4.

Оценивали связывание DART C, DART D, DART E, TRIDENT A, антител против CTLA-4 CTLA-4 mAb 1, CTLA-4 mAb 3 G1AA и антитела против PD-1 PD-1 mAb 6 G4P с клетками Jurkat, которые экспрессируют на своей поверхности huCTLA-4, но не экспрессируют PD-1. Связывание молекул DART и TRIDENT с CTLA-4 человека выявляли с помощью вторичных Ab против Fc иммунноглобулина человека (FACS-анализ). Результаты оценки показаны в табл. 13 и на фиг. 11A (DART C, DART D, DART E, CTLA-4 mAb 1, CTLA-4 mAb 3 G1AA и PD-1 mAb 6 G4P) и фиг. 11B (CTLA-4 mAb 1, CTLA-4 mAb 3 G1AA, PD-1 mAb 6 G4P и TRIDENT A). Как показано на фиг. 11A-11B, антитело PD-1 не связывалось с CTLA-4, но все исследуемые молекулы связывания CTLA-4 были способны связываться с huCTLA-4, экспрессируемым на поверхности клеток Jurkat. У антител против CTLA-4 наблюдались сходные профили связывания; у бивалентных биспецифичных молекул DART C, DART D и DART E наблюдалось более слабое связывания с клетками Jurkat, а у тривалентной связывающей молекулы TRIDENT A, которая является моновалентной в отношении CTLA-4, наблюдалось более слабое связывание по сравнению с молекулами с более высокой валентностью в отношении CTLA-4.

Таблица 13			
Молекула	EC50 (HM)		
CTLA-4 mAb 1	0.4215		
PD-1 mAb 6 G4P	6,557		
CTLA-4 mAb 3 G1AA	0,3728		
DART E	1,269		
DART C	0,7575		
DART D	0,8829		
TRIDENT A	4,638		

Оценивали способность DART D, TRIDENT A и антител против CTLA-4 CTLA-4 mAb 1, CTLA-4 mAb 3 G1AA блокировать лиганды CTLA-4 B7-1 и B7-2. Меченные His производные B7-1 и B7-2 инкубировали в присутствии клеток CTLA-4-Jurkat. Связывание His-B7-1 и His-B7-2 выявляли с применением антител против His. Результаты этой оценки показаны на фиг. 12A (His-B7-1) и фиг. 12B (His-B7-2). Было обнаружено, что все исследуемые молекулы были способны ингибировать связывание B7-1 и B7-2 с CTLA-4, экспрессируемым на поверхности клеток Jurkat. У антител против CTLA-4 наблюдались сходные профили ингибирования; бивалентная биспецифичная молекула DART D была немного менее активным ингибитором, а тривалентная связывающая молекула TRIDENT A, которая является моновалентной в отношении CTLA-4, была менее активной по сравнению с любой из молекул, имеющих более высокую валентность в отношении CTLA-4. Контрольное антитело совсем не вызывало ингибирования. Результаты исследований с помощью твердофазного ИФА, описанных выше, предполагают, что TRI-DENT A и сходные молекулы, содержащие два сайта связывания PD-1 и один сайт связывания CTLA-4, могли бы являться более активными ингибиторами в присутствии PD-1.

Анализ репортерного гена на клетках IL-2/Luc Jurkat-CTLA-4 использовали для оценки способности DART C, DART D, TRIDENT A, CTLA-4 mAb 3 G1AA и PD-1 mAb 6 G4P обращать ингибирующий сигнал контрольной точки иммунного ответа CTLA-4, как показано по повышенной экспрессии люциферазы. Клетки IL-2/Luc-Jurkat-CTLA-4, таким образом, инкубировали в присутствии таких молекул (R:S=1:0,3) в течение 30 мин при 37°C, после чего добавляли искусственные антиген-презентирующие клетки Raji и продолжали инкубировать в течение 6 часов. Искусственные антиген-презентирующие клетки активируют комплекс TCR/CD3 на репортерных клетках Jurkat. Результаты оценки показаны на фиг. 13. Все из исследованных молекул связывания CTLA-4 были способны обращать ингибирующий сигнал контрольной точки иммунного ответа CTLA-4, как определено по результатам люциферазного анализа. Молекула TRIDENT A, которая является моновалентной в отношении CTLA-4, была менее активной в этом анализе по сравнению с любой из молекул, имеющих более высокую валентность в отношении CTLA-4. Контрольное антитело совсем не вызывало ингибирования. Результаты исследования с помощью твердофазного ИФА, описанные выше, предполагают, что TRIDENT A и сходные молекулы, содержащие два сайта связывания PD-1 и один сайт связывания CTLA-4, могут являться более активными в присутствии PD-1.

Е. Клеточные анализы PD-1.

Оценивали способность DART D, TRIDENT A, PD-1 mAb 6 G4P и CTLA-4 mAb 3 G1AA связываться с клетками NSO, экспрессирующими PD-1, но не экспрессирующими CTLA-4. Связывающие молекулы инкубировали в присутствии клеток и измеряли средний коэффициент флуоресценции клеток. Результаты этой оценки представлены на фиг. 14. Как и ожидалось, антитело CTLA-4 не связывалось. Было обнаружено, что все биспецифичные связывающие молекулы были способны связываться с PD-1, экспрессируемым на поверхности клеток NSO. Все биспецифичные молекулы являются бивалентными в отношении PD-1 и связывались с клетками NSO сходным образом.

Оценивали способность DART D, TRIDENT A, PD-1 mAb 6 G4P и CTLA-4 mAb 3 G1AA блокировать связывание между PD-1, экспрессируемым на клеточной поверхности, и его лигандами PD-L1 и PD-L2. PD-L1-PE или PD-L2-PE инкубировали в присутствии указанной связывающей молекулы и оценивали ее способность связываться с клетками NSO-PD-1 путем сортировки клеток с активированной флуоресценцией (FACS). Результаты этой оценки представлены на фиг. 15A (PD-L1) и фиг. 15B (PD-L2). Как и ожидалось, антитело CTLA-4 не вызывало ингибирования, а все из исследованных связывающих PD-1 молекул были способны ингибировать связывание как PD-L1 (фиг. 15A), так и PD-L2 (фиг. 15B), с PD-1, экспрессируемым на поверхности клеток NSO. Все связывающие PD-1 молекулы являются бивалентными в отношении PD-1 и имели сходные профили ингибирования.

DART D, TRIDENT A, CTLA-4 mAb 3 G1AA и PD-1 mAb 6 G4P также оценивали в репортерном анализе блокирования PD-1. Указанные связывающие молекулы инкубировали в присутствии клеток PD-L1⁺ CHO и эффекторных клеток Jurkat и способность связывающих молекул блокировать ингибирование иммунного ответа (путем блокирования взаимодействия PD-1/PD-L1) оценивали путем наблюдения степени CD3-опосредованной активации (как показано по повышенной экспрессии люциферазы в анализе на клетках NFAT-luc/PD-1 Jurkat; Promega). Результаты этой оценки представлены на фиг. 16. Все из исследованных сввязывающих PD-1 молекул были способны обращать ингибирующий сигнал контрольной точки иммунного ответа PD-1, как показано по повышенной экспрессии люциферазы. Все связывающие PD-1 молекулы являются бивалентными в отношении PD-1 и обладали сходной способностью ингибировать опосредованное PD-1 блокирование Т-клеточного сигнального пути. Антитело CTLA-4 совсем не вызывало ингибирования указанной системы.

F. Клеточные анализы СТLA-4/PD-1.

Проверяли способность DART D, TRIDENT A и антитела, представляющего собой отрицательный контроль, одновременно связываться с РD-1 и СТLА-4 в ферментационном анализе комплементации белковых фрагментов, DiscoverX. Вкратце, аликвоты клеток линии U2OS CTLA-4(1-195)-РК PD-1(1-199)-ЕА #9 всевали в четырех повторностях в концентрации 5,000 клеток/лунку в среде для посева DiscoverX CP5 на 384-луночные планшеты. Клеткам позволяли прикрепляться в течение 4 часов при 37°C/5% CO₂. Затем к клеткам PD-1 - CTLA-4 добавляли каждую из молекул связывания в серийных разведениях 1:3 (11 точек). Планшеты инкубировали в течение ночи (16 часов) при 37°С/5% СО2. В лунки добавляли реагент для выявления PathHunter и затем инкубировали в течение 1 часа при комнатной температуре в темноте и затем планшет считывали на люминометре Envision. Результаты этой оценки представлены в табл. 14 и на фиг. 17 (клеточная линия U2OS CTLA-4 (1-195)-РК PD-1(1-199)-ЕА #9). Для обеих биспецифичных молекул DART D и TRIDENT A было показано сравнимое одновременное вовлечение молекул PD-1 и CTLA-4 на клетках, в которых ко-экспрессируются оба рецептора, как показано с помощью ферментационного анализа комплементации белковых фрагментов, что указывает на то, что биспецифичные молекулы согласно изобретению способны одновременно связываться с PD-1 и CTLA-4, и дополнительно указывает на то, что присоединение через PD-1 компенсирует сниженную авидность молекулы TRIDENT A в отношении CTLA-4 при экспрессии обоих рецепторов-мишеней. это открытие согласуется с результатами исследований ингибирования с помощью твердофазного ИФА, описанными выше. Отрицательный контроль не вызвал значительного повышения сигнала на клеточной линии PD1-

СТLА4. Инкубирование в присутствии более высокой концентрации TRIDENT A приводило к сильному повышению сигнала в клеточной линии U2OS с димеризацией PD1-CTLA4 (S:B=12,7). Ответ для DART D в исследовании дозозависимого эффекта на клеточной линии PD-1 - CTLA-4 был меньшим по величине (S:B=9,2), но значения EC50 были сходными для обеих указанных молекул (EC50=20 пкМ).

Таблица 14				
Отрицательный TRIDENT A DART D				
	контроль			
Наклон кривой	~15,99	1,103	0,8095	
EC50 (HM)	~6,883 x 10 ⁻¹⁰	2,123 x 10 ⁻¹¹	2,090 x 10 ⁻¹¹	

Оценивали способность DART D, TRIDENT A, CTLA-4 mAb 3 G1AA, PD-1 mAb 6 G4P и комбинации CTLA-4 mAb 3 G1AA/PD-1 mAb 6 G4P (Ab Combo 1) усиливать ответ в реакции смешанной культуры лимфоцитов (СКЛ). Дендритные клетки моноцитарного происхождения создавали путем обработки CD14+ моноцитов (выделенных из МКПК с помощью набора положительной селекции Miltenyi) GM-CSF (100 нг/мл) и IL-4 (10 нг/мл) и последующего культивирования клеток в течение 7 дней. На 7 сутки клетки собирали и высевали на 96-луночные планшеты и культивировали в течение 24 ч. На 8 сутки CD4+ Т-клетки (выделенные путем отрицательной селекции с применением набора Myltenyi) высевали в концентрации 200,000 клеток на лунку, добавляли исследуемые изделия и культивировали в течение 3 дней. Затем измеряли уровень IFN-g в супернатантах культур с применением наборов для твердофазного ИФА клеток человека DuoSet для IFN-γ (R&D Systems) в соответствии с инструкциями изготовителя. При использовании антител в комбинации каждое из данных антител добавляли в указанной концентрации таким образом, что общая концентрация добавляемого антитела удваивалась. Высвобождение IFN-γ представлено в виде графика на фиг. 18. Было обнаружено, что как биспецифичные DART D, так и молекулы TRIDENT A усиливали ответ в СКЛ в той же степени или немного больше по сравнению с комбинацией отдельных исходных антител.

Способность DART D, TRIDENT A, CTLA-4 mAb 3 G1AA, PD-1 mAb 6 G4P и комбинации CTLA-4 mAb 1/PD-1 mAb 1 (Ab Combo 1) усиливать высвобождение цитокина посредством ингибирования контрольных точек также оценивали в анализе повторной стимуляции энтеротоксином типа В Staphylococcus aureus (SEB). В целом, МКПК очищали из цельной крови здоровых доноров (например, с помощью метода центрифугирования в градиенте плотности Ficoll-Paque Plus (GE Healthcare) в соответствии с инструкциями изготовителя). Очищенные МКПК культивировали в среде RPMI с добавлением 10% термоинактивированной ЭБС и 1% пенициллина/стрептомицина в объемных флаконах Т-25 в течение 2-3 дней в отсутствие или в присутствии SEB (например, Sigma-Aldrich) в концентрации 0,5 нг/мл (первичная стимуляции). В конце первого цикла SEB-стимуляции МКПК промывали два раза ФСБ и сразу высевали на 96-луночный планшеты для тканевых культур в концентрации $1-5 \times 10^5$ клеток на лунку просто в среле. в среде с контрольным или исследуемым изделием, в среде с SEB в концентрации 0.5 нг/мд (вторичная стимуляция) и без антитела или в среде с SEB и контрольным IgG или исследуемым изделием и культивировали в течение дополнительных 2-3 дней. В конце вторичной стимуляции супернатанты собирали для измерения секреции цитокинов (например, с применением наборов для твердофазного ИФА клеток человека DuoSet для IFNy, IL-2, TNFa, IL-10 и IL-4 (R&D Systems) в соответствии с инструкциями изготовителя).

На фиг. 19А-19В показаны точечные графики распределения флуоресцирующих точек на сортере клеток с активированной флуоресценцией (FACS), отражающие экспрессию PD-1 в зависимости от экспрессии СТLА-1 такими МКПК в отсутствие (фиг. 19А) или в присутствии (фиг. 19В) SEВ-стимуляции. На фиг. 19С показан эффект SEB-стимуляции на секрецию IFN-у. МКПК стимулировали энтеротоксином типа В Staphylococcus aureus (SEB) в концентрации 0,5 нг/мл в течение 48 часов. Затем клетки собирали, промывали и заново высевали на 96-луночные планшеты, содержащие антитела в различных концентрациях со свежим SEB, на дополнительные 48 часов. Супернатант затем собирали и анализировали продукцию IFN-у с помощью проточной цитометрии-твердофазного ИФА. Как биспецифичные DART, так белок TRIDENT показали повышенную ответную продукцию IFN-у, которая соответствовала суммарному ответу, наблюдаемому при введении комбинации отдельных исходных mAb. Сходные результаты наблюдались в анализе SEB-стимуляции, в котором МКПК культивировали в присутствии высокой концентрации (500 нг/мл) SEB в течение 72 часов. Чтобы дополнительно исследовать влияние биспецифичной в отношении PD1 х CTLA-4 молекулы на Т-клеточный ответ, МКПК стимулировали SEB в концентрации 0,5 нг/мл в течение 48 часов, собирали, промывали и повторно высевали на 96-лучночные планшеты в присутствии свежего SEB и либо DART D, TRIDENT A, CTLA-4 mAb 3 G1AA, PD-1 mAb 6 G4P, либо комбинации CTLA-4 mAb 3 G1AA / PD-1 mAb 6 G4P (Ab Combo 1) на дополнительные 48 часов и измеряли высвободившийся IL-2 (фиг. 19D). На фиг. 19A-19D показано, что введение биспецифичных в отношении PD1 x CTLA-4 молекул приводило к значительному усилению Т-клеточных ответов. При использовании антител в комбинации каждое антитело добавляли в указанной концентрации таким образом, что общая концентрация добавляемого антитела удваивалась.

Пример 6. Исследования in vivo.

А. Активность биспецифичных в отношении PD-1 x CTLA-4 молекул на мышиной модели БТПХ. Активность типичной биспецифичной в отношении PD1 x CTLA-4 бивалентной молекулы, DART D, оценивали на модели болезни "трансплантат против хозяина (БТПХ)" на мышах NOG с трансплантированными МКПК. План исследования представлен в табл. 15.

			Таблица	15	
Группа	N/пол	Лечение	Доза (мкг/кг)	Способ/режим введения	Клеточный трансплантат (трансплантаты)
1.	7/F	DART D	500	IV/Q7D x 7	МКПК (IP, 1E7)
2.	7/F	DART D	50	IV/Q7D x 7	МКПК (IP, 1E7)
3.	7/F	DART D	5	IV/Q7D x 7	МКПК (IP, 1E7)
4.	7/F	Наполнитель	0	IV/Q7D x 7	МКПК (IP, 1E7)

Количество CD3+ Т- клеток подсчитывали путем сортировки клеток с активированной флуоресценцией (FACS) на 14 день исследования, данные представлены в виде графика на фиг. 20А. За выживаемостью следили на протяжении всего исследования, данные представлены как процентная выживаемость на графике на фиг. 20В. У животного, получавшего лечение DART D в концентрации 500 мкг/кг, наблюдался повышенный рост Т-клеток и усиление БТПХ, что согласуется с усилением Т-клеточного иммунного ответа.

В. Токсикологическое и фармакокинетическое исследование биспецифичных в отношении PD-1 x CTLA-4 молекул.

Профиль безопасности типичной биспецифичной в отношении PD1 х CTLA-4 бивалентной молекулы, DART D, и типичной биспецифичной в отношении PD1 х CTLA-4 тривалентной молекулы, TRI-DENT A, оценивали в исследовании доз у яванских макаков (без соответствия требованиям GLP - Своду международных требований к лабораторным исследованиям). Дополнительно проверяли некоторые маркеры фармакодинамической активности.

В настоящем исследовании оценивали потенциальную токсичность биспецифичных в отношении PD-1 x CTLA-4 молекул при введении путем многократных внутривенных инфузий. План исследования представлен в табл. 16.

		Таблица 16		
Группа	Исследуемое	Доза (мг/кг)	Дни введения	Количество
	изделие		дозы	животных
1	Контроль	0	1, 8, 15	1 самец, 1
				самка
2	DART D	50	1, 8, 15	3 самца, 3
				самки
3	DART D	75	15, 22, 29	3 самца, 3
				самки
4	TRIDENT A	5	1	2 самца, 1
				самка

Таким образом, между введением дозы 50 мг/кг и повышением дозы до 75 мг/кг обеспечивали 2недельный интервал. В данном исследовании оценивали следующие параметры и конечные критерии: клинические признаки, массу тела, потребление пищи, температуру тела, клинические патологические параметры (коагуляцию, клинические химические показатели и гематологические данные до введения дозы и через 23 часа после введения дозы для групп 1-3; до 22 суток для группы 4), биоаналитические и токсикокинетические параметры, данные проточной цитометрии (до введения дозы и через 23 часа после введения дозы), цитокины (через 2, 6, 22 часов после введения дозы). Антитела против лекарственного средства оценивали только для группы 4 на 8, 15 и 22 сутки. Вскрытие проводили через 48 часов после введения 3-ей дозы только для групп 1-3. Связывания и активность in vivo биспецифичных в отношении PD-1 x CTLA-4 молекул также оценивали, как описано ниже.

Все животные выживали до момента планового усыпления. Не наблюдалось нежелательных клинических явлений у животных, получавших 3 дозы вплоть до 75 мг/кг/неделя. В частности, не наблюдалось диареи. Гистопатологические изменения также были незначительными. Наблюдалось повышение уровня глобулина в лечебных группах и наблюдалось увеличение органной массы селезенки и вилочковой железы в группах 2-3 (см. табл. 17, вскрытия животных из группы 4 не проводили), что было ожидаемо при стимуляции иммунной системы. Графики зависимости концентрации в сыворотке от времени для каждой лечебной группы показаны на фиг. 21А-21С и согласуются с данными для молекул, содержащих Fсфрагменты человека, у яванских макаков.

		18	юлица 1 /	
Группа	Исследуемое изделие	Доза (мг/кг)	Масса селезенки:масса	Масса вилочковой железы:масса тела
			тела	
1	Контроль	0	0,080 (среднее, n=2)	0,035 (среднее, n=2)
2	DART D	50	0,239 (среднее, n=6)	0,088 (среднее, n=6)
3	DART D	75	0,225 (среднее, n=6)	0,084 (среднее, n=6)

Сообщалось, что повышение абсолютного содержания лимфоцитов (АСЛ) после лечения антителом против CTLA-4 ипилимумабом, по-видимому, коррелирует с клиническим благоприятным эффектом и общей выживаемостью (см. например, Ku, G.Y., et al. (2010) "Single-Institution Experience With Ipilimumab

In Advanced Melanoma Patients In The Compassionate Use Setting: Lymphocyte Count After 2 Doses Correlates With Survival' Cancer 116(7): 1767-1775), что указывает на то, что АСЛ может быть полезным фармакодинамическим (ΦД) конечным критерием оценки. АСЛ проверяли в каждой из описанных выше групп до лечения и после проведения лечения на 2, 8, 9, 15 и 16 сутки. Занятость сайтов связывания DART D или TRIDENT A на PD-1+ Т-клетках определяли путем измерения средней интенсивности обнаруженной флуоресценции (СИФ) антител против иммунноглобулина человека IgG4, связанных с Alexa 488+, в популяциях CD4+/PD-1+ и CD8+/PD-1+ Т-клеток при двух условиях для каждого образца крови обезьяны. При первом условии использовали значения СИФ, полученные в присутствии избытка DART D или TRIDENT A для определения максимальной интенсивности связывания DART D или TRIDENT A на PD-1+ клетках в пределах каждой клеточной популяции. При втором условии использовали значения СИФ, полученные в присутствии избытка отрицательного контроля, для определения интенсивности связывания PD-1+ клеток в пределах каждой клеточной популяции у получавшего лечение DART D или TRIDENT A животного на момент сбора образцов. Различие между двумя условиями использовали для расчета % занятости сайтов связывания DART D или TRIDENT A на подтипах PD-1+ Т-клеток у получавших лечение DART D или TRIDENT A животных, как следует далее:



Абсолютное содержание и процентное изменение, нормированное к 1 суткам, представлены на графике на фиг. 22A (в тысячах клеток /мкл (тыс./мкл)) и на фиг. 22B (процентное изменение АСЛ, нормированное к 1 суткам (D1)). В каждой из лечебных групп, получавших DART D, сразу после лечения сначала наблюдалось снижение АСЛ с последующим повышением АСЛ до уровня, значительно превышающего исходный уровень. Сходная тенденция наблюдалась в лечебной группе TRIDENT A, которая получала только одну более низкую дозу.

Кроме того, пролиферацию CD4+ Т-клеток и занятость PD-1 на Т-клетках проверяли для описанных выше групп 1-3. Вкратце, CD3+/PD-1+ Т-клетки анализировали с помощью FACS для оценки процента клеток, связанных DART D. В 96-луночный планшет с глубокими лунками добавляли сорок микролитров молекул отрицательного контроля (респираторно-синцитиальный вирус (RSV) х флуоресцеин-IgG4/кFc DART) или исследуемого изделия (DART D или TRIDENT A) в концентрации 35 мкг/мл. Затем в каждую лунку добавляли по 100 микролитров хорошо перемешанной антикоагулированной цельной крови, тщательно перемешивали при помощи пипетки и инкубировали в темноте в течение 45-75 минут при температуре окружающей среды. Затем в каждую лунку добавляли 100 микролитров лизирующего раствора 1x BD FACS и перемешивали при помощью пипетки; затем планшет инкубировали в темноте в течение дополнительных 10-20 минут при температуре окружающей среды. Планшет затем центрифугировали при 400 × g в течение 5 минут и супернатант выливали. В каждую лунку добавляли 100 микролитров FACS-буфера и перемешивали для осуществления этапа отмывки. Планшет затем центрифугировали при $400 \times g$ в течение 5 минут и супернатант выливали. Клеточный осадок ресуспендировали в двадцати микролитрах смеси антител панели 1 и инкубировали в течение 30-60 минут при температуре окружающей среды. Планшет промывали, как в предыдущих этапах отмывки. В конце инкубирования планшет снова промывали и клеточный осадок окончательно ресуспендировали в 300 микролитрах FACS-буфера и образцы анализировали с помощью клеточного анализатора BD FACSCanto II. Результаты анализа показаны на фиг. 23А-23В.

Как показано на фиг. 23A (для DART D, вводимого в концентрации 50 мг/кг) и фиг. 23B (для DART D, вводимого в концентрации 75 мг/кг), занятость PD-1 (т.е. связывание DART D) была максимальной на протяжении лечения для группы 2 и 3. Пролиферацию CD4+ Т-клеток оценивали с помощью FACS на основе ко-экспрессии Ki-67 (клеточного маркера пролиферации).

20 микролитров смеси антител A (содержащей антитела, которые связываются с маркерами клеточной поверхности: CD45, CD3, CD4 и CD8) добавляли в 96-луночный планшет с глубокими лунками. Затем в каждую лунку добавляли по пятьдесят микролитров хорошо смешанной антикоагулированной цельной крови, тщательно перемешивали с помощью пипетки и инкубировали в темноте в течение от 15 до 45 минут при температуре окружающей среды. Затем в каждую лунку добавляли по 500 микролитров лизирующего раствора 1х BD FACS L и перемешивали при помощи пипетки; затем планшет инкубировали в темноте в течение дополнительных 10-20 минут при температуре окружающей среды. Планшет центрифугировали при 1200 об./мин в течение 5 минут и супернатант выливали. Затем в каждую лунку добавляли по 500 микролитров FACS-буфера и перемешивали для осуществления этапа отмывки. Планшет затем центрифугировали при 1200 об./мин в течение 5 минут и супернатант выливали. Клеточный осадок ресуспендировали в смеси антител В (содержащей антитела, которые связываются с внутриклеточным маркером Кі-67) или ресуспендировали в композиции изотипов антител (содержащей контрольные изотипы в качестве внутриклеточного маркера) и инкубировали в темноте в течение от 15 до 45 минут. После промывки клеточный осадок ресуспендировали в 300 микролитрах FACS-буфера и образцы анализировали с помощью клеточного анализатора BD FACSCanto II.

По данным анализа с помощью панели внутриклеточной окраски Т-клеток процент CD4+ и CD8+ клеток определяли как фракцию от общих окрашенных на CD45+ лейкоцитов. Считали количество Ki 67+ клеток во фракции окрашенных на CD4+ клеток и процент CD4+/Ki 67+ Т-клеток (пролиферативных CD4 Т-клеток) определяли как фракцию от общих CD4+ клеток. Аналогично, процент CD8+/Ki 67+ Т-клеток (пролиферативных CD8 Т-клеток) определяли как фракцию от общих CD8+ клеток. Результаты анализа показаны на фиг. 24A-24B.

Как показано на фиг. 24А-24В, пролиферация CD4+ Т-клеток значительно усиливалась при лечении в лечебных группах 2 и 3 на протяжении лечения. Результаты настоящего исследования указывают, что введение яванским макакам биспецифичной в отношении PD1 х CTLA-4 молекулы хорошо переносится в концентрации вплоть до 75 мг/кг, что значительно превышает дозу 5 мг/кг, при которой были описаны нежелательные явления у яванских макаков, получавших лечение ипилимумабом. Молекулы имели благоприятный фармакокинетический профиль, и наблюдался ряд маркеров фармакодинамической активности, включая повышение количества лимфоцитов, повышение уровня глобулина, повышение массы органов селезенки и вилочковой железы, повышение пролиферации Т-клеток (как количества Т-клеток, так и экспрессии Ki-67) и максимальную занятость PD-1 на Т-клетках.

Все публикации и патенты, упомянутые в настоящей заявке, включены в настоящую заявку посредством ссылки в той же степени, как если бы было конкретно и отдельно указано, что каждая отдельная публикация или патентная заявка полностью включена посредством ссылки. Следует понимать, что в то время как настоящее изобретение было описано в связи с конкретными вариантами реализации, возможны дополнительные модификации. Предполагается, что любые вариации, способы применения или адаптации согласно изобретению, которые в целом соответствуют идеям настоящего изобретения, включены в настоящую заявку. Настоящая заявка включает такие отступления от изобретения как находящиеся в пределах известной или обычной практики в области техники, к которой относится настоящее изобретение, и как применимые к основным признакам, изложенным выше в настоящей заявке.

ПЕРЕЧЕНЬ ПОСЛЕДОВАТЕЛЬНОСТЕЙ

```
<110> MacroGenics, Inc.
       Johnson, Leslie S.
       Chichili, Gurunadh Reddy
       Shah, Kalpana
       La Motte-Mohs, Ross
       Moore, Paul A.
       Bonvini, Ezio
       Koenig, Scott
       Биспецифичные молекулы, обладающие иммуннореактивностью в отно-
шении PD-1 и CTLA-4, и способы их применения
<130>
      1301.0134PCT
<150>
      US62/266,944
<151>
      2015-12-14
<160>
      110
<170>
      PatentIn, версия 3.5
<210>
      1
<211>
      217
<212> БЕЛОК
<213> Homo sapiens
<220>
<221>
      MISC FEATURE
<222>
      (1)..(217)
      Домен CH2-CH3 примера IgG1 человека
<223>
```

<220>

- <221> MISC_FEATURE
- <222> (217)..(217)
- <223> Хаа представляет собой лизин (К) или отсутствует

<400> 1

Ala Pro Glu Leu Leu Gly Gly Pro Ser Val Phe Leu Phe Pro Pro Lys 1 5 10 15

Pro Lys Asp Thr Leu Met Ile Ser Arg Thr Pro Glu Val Thr Cys Val 20 25 30

Val Val Asp Val Ser His Glu Asp Pro Glu Val Lys Phe Asn Trp Tyr 35 40 45

Val Asp Gly Val Glu Val His Asn Ala Lys Thr Lys Pro Arg Glu Glu 50 55 60

Gln Tyr Asn Ser Thr Tyr Arg Val Val Ser Val Leu Thr Val Leu His 65 70 75 80

Gln Asp Trp Leu Asn Gly Lys Glu Tyr Lys Cys Lys Val Ser Asn Lys 85 90 95

Ala Leu Pro Ala Pro Ile Glu Lys Thr Ile Ser Lys Ala Lys Gly Gln 100 105 110

Pro Arg Glu Pro Gln Val Tyr Thr Leu Pro Pro Ser Arg Glu Glu Met 115 120 125

Thr Lys Asn Gln Val Ser Leu Thr Cys Leu Val Lys Gly Phe Tyr Pro 130 135 140

Ser Asp Ile Ala Val Glu Trp Glu Ser Asn Gly Gln Pro Glu Asn Asn 145 150 155 160

Tyr Lys Thr Thr Pro Pro Val Leu Asp Ser Asp Gly Ser Phe Phe Leu 165 170 175

Tyr Ser Lys Leu Thr Val Asp Lys Ser Arg Trp Gln Gln Gly Asn Val 180 185 190

Phe Ser Cys Ser Val Met His Glu Ala Leu His Asn His Tyr Thr Gln
195 200 205

Lys Ser Leu Ser Leu Ser Pro Gly Xaa 210 215

```
<210> 2
<211> 216
<212> БЕЛОК
<213> Homo sapiens
<220>
<221> MISC_FEATURE
<222> (1)..(216)
<223> Домен СН2-СН3 примера IgG2 человека
<220>
<221> MISC_FEATURE
<222> (216)..(216)
<223> Хаа представляет собой лизин (К) или отсутствует
<400> 2
Ala Pro Pro Val Ala Gly Pro Ser Val Phe Leu Phe Pro Pro Lys Pro
                                  10
Lys Asp Thr Leu Met Ile Ser Arg Thr Pro Glu Val Thr Cys Val Val
           20
                               25
Val Asp Val Ser His Glu Asp Pro Glu Val Gln Phe Asn Trp Tyr Val
                           40
Asp Gly Val Glu Val His Asn Ala Lys Thr Lys Pro Arg Glu Glu Gln
Phe Asn Ser Thr Phe Arg Val Val Ser Val Leu Thr Val Val His Gln
                   70
Asp Trp Leu Asn Gly Lys Glu Tyr Lys Cys Lys Val Ser Asn Lys Gly
               85
                    90 95
Leu Pro Ala Pro Ile Glu Lys Thr Ile Ser Lys Thr Lys Gly Gln Pro
           100
                              105
                                                  110
Arg Glu Pro Gln Val Tyr Thr Leu Pro Pro Ser Arg Glu Glu Met Thr
                          120
Lys Asn Gln Val Ser Leu Thr Cys Leu Val Lys Gly Phe Tyr Pro Ser
                       135
Asp Ile Ser Val Glu Trp Glu Ser Asn Gly Gln Pro Glu Asn Asn Tyr
145
                   150
                                      155
```

Lys Thr Thr Pro Pro Met Leu Asp Ser Asp Gly Ser Phe Phe Leu Tyr 170 165 Ser Lys Leu Thr Val Asp Lys Ser Arg Trp Gln Gln Gly Asn Val Phe 180 185 Ser Cys Ser Val Met His Glu Ala Leu His Asn His Tyr Thr Gln Lys 195 200 205 Ser Leu Ser Leu Ser Pro Gly Xaa 210 215 <210> 3 <211> 217 <212> БЕЛОК <213> Homo sapiens <220> <221> MISC_FEATURE <222> (1)..(217) <223> Домен СН2-СН3 примера IgG3 человека <220> <221> MISC_FEATURE <222> (217)..(217) <223> Хаа представляет собой лизин (К) или отсутствует <400> 3 Ala Pro Glu Leu Leu Gly Gly Pro Ser Val Phe Leu Phe Pro Pro Lys 10 5 Pro Lys Asp Thr Leu Met Ile Ser Arg Thr Pro Glu Val Thr Cys Val 20 25 30 Val Val Asp Val Ser His Glu Asp Pro Glu Val Gln Phe Lys Trp Tyr 35 40 Val Asp Gly Val Glu Val His Asn Ala Lys Thr Lys Pro Arg Glu Glu 55

Gln Asp Trp Leu Asn Gly Lys Glu Tyr Lys Cys Lys Val Ser Asn Lys 85 90 95

Gln Tyr Asn Ser Thr Phe Arg Val Val Ser Val Leu Thr Val Leu His

70

Ala Leu Pro Ala Pro Ile Glu Lys Thr Ile Ser Lys Thr Lys Gly Gln 100 105 110

Pro	Arg	Glu 115	Pro	Gln	Val	Tyr	Thr 120	Leu	Pro	Pro	Ser	Arg 125	Glu	Glu	Met
Thr	Lys 130	Asn	Gln	Val	Ser	Leu 135	Thr	Cys	Leu	Val	Lys 140	Gly	Phe	Tyr	Pro
Ser 145	Asp	Ile	Ala	Val	Glu 150	Trp	Glu	Ser	Ser	Gly 155	Gln	Pro	Glu	Asn	Asn 160
Tyr	Asn	Thr	Thr	Pro 165	Pro	Met	Leu	Asp	Ser 170	Asp	Gly	Ser	Phe	Phe 175	Leu
Tyr	Ser	Lys	Leu 180	Thr	Val	Asp	Lys	Ser 185	Arg	Trp	Gln	Gln	Gly 190	Asn	Ile
Phe	Ser	Cys 195	Ser	Val	Met	His	Glu 200	Ala	Leu	His	Asn	Arg 205	Phe	Thr	Gln
Lys	Ser 210	Leu	Ser	Leu	Ser	Pro 215	Gly	Xaa							
<210 <211 <212 <213	L> 2 2> E	1 217 БЕЛОН Ното	α sapi	iens											
<220 <221 <222 <223	L> N 2>	(1).	_FEAT .(21 + CH2	7)	з прі	имера	a Ig(G4 ч €	Элов€	∋ка					
<220 <221 <222 <223	L> N 2>	(217)	_FEAT	217)	пяет	cofo	ой лі	изин	(K)	или	OTC	/тсті	зует		
<400)> 4	1													
Ala 1	Pro	Glu	Phe	Leu 5	Gly	Gly	Pro	Ser	Val 10	Phe	Leu	Phe	Pro	Pro 15	Lys
Pro	Lys	Asp	Thr 20	Leu	Met	Ile	Ser	Arg 25	Thr	Pro	Glu	Val	Thr 30	Cys	Val
Val	Val	Asp 35	Val	Ser	Gln	Glu	Asp 40	Pro	Glu	Val	Gln	Phe 45	Asn	Trp	Tyr

Val	Asp 50	Gly	Val	Glu	Val	His 55	Asn	Ala	Lys	Thr	Lys 60	Pro	Arg	Glu	Glu
Gln 65	Phe	Asn	Ser	Thr	Tyr 70	Arg	Val	Val	Ser	Val 75	Leu	Thr	Val	Leu	His 80
Gln	Asp	Trp	Leu	Asn 85	Gly	Lys	Glu	Tyr	Lys 90	Cys	Lys	Val	Ser	Asn 95	Lys
Gly	Leu	Pro	Ser 100	Ser	Ile	Glu	Lys	Thr 105	Ile	Ser	Lys	Ala	Lys 110	Gly	Gln
Pro	Arg	Glu 115	Pro	Gln	Val	Tyr	Thr 120	Leu	Pro	Pro	Ser	Gln 125	Glu	Glu	Met
Thr	Lys 130	Asn	Gln	Val	Ser	Leu 135	Thr	Cys	Leu	Val	Lys 140	Gly	Phe	Tyr	Pro
Ser 145	Asp	Ile	Ala	Val	Glu 150	Trp	Glu	Ser	Asn	Gly 155	Gln	Pro	Glu	Asn	Asn 160
Tyr	Lys	Thr	Thr	Pro 165	Pro	Val	Leu	Asp	Ser 170	Asp	Gly	Ser	Phe	Phe 175	Leu
Tyr	Ser	Arg	Leu 180	Thr	Val	Asp	Lys	Ser 185	Arg	Trp	Gln	Glu	Gly 190	Asn	Val
Phe		Cys 195						Ala				His 205	_	Thr	Gln
Lys	Ser 210	Leu	Ser	Leu	Ser	Leu 215	Gly	Xaa							
<210															
	2> I	БЕЛОІ		енная	н пос	следо	овате	Эльно	ОСТЬ						
<220		v													
<223		_	Эжут	ЭЧНЫЙ	й спе	ейсер	йшно	пепт	гид	(лині	kep 1	L)			
<400															
Gly 1	Gly	Gly	Ser	Gly 5	Gly	Gly	Gly								
<210 <211															

```
<212> БЕЛОК
<213> Искусственная последовательность
<223> Цистеин-содержащий спейсерный пептид (линкер 2)
<400> 6
Gly Gly Cys Gly Gly
               5
<210> 7
<211> 4
<212> БЕЛОК
<213> Искусственная последовательность
<220>
<223> Альтернативный спейсерный пептид (линкер 2)
<400> 7
Gly Gly Gly Ser
<210> 8
<211> 6
<212> БЕЛОК
<213> Искусственная последовательность
<220>
<223> Альтернативный спейсерный пептид (линкер 2)
<400> 8
Leu Gly Gly Gly Ser Gly
<210> 9
<211> 11
<212> БЕЛОК
<213> Искусственная последовательность
<220>
<223> Альтернативный спейсерный пептид (линкер 2)
<400> 9
Gly Gly Gly Ser Gly Gly Gly Ser Gly Gly
<210> 10
<211>
<212> БЕЛОК
<213> Искусственная последовательность
<220>
```

```
<223> Альтернативный спейсерный пептид (линкер 2)
<400> 10
Ala Ser Thr Lys Gly
<210> 11
<211> 6
<212> БЕЛОК
<213> Искусственная последовательность
<220>
<223> Альтернативный спейсерный пептид (линкер 2)
<400> 11
Leu Glu Pro Lys Ser Ser
<210> 12
<211> 5
<212> БЕЛОК
<213> Искусственная последовательность
<220>
<223> Альтернативный спейсерный пептид (линкер 2)
<400> 12
Ala Pro Ser Ser Ser
<210> 13
<211>
<212> БЕЛОК
<213> Искусственная последовательность
<220>
<223> Способствующий образованию гетеродимера домен
<400> 13
Gly Val Glu Pro Lys Ser Cys
               5
<210> 14
<211> 6
<212> БЕЛОК
<213> Homo sapiens
<220>
<221> MISC_FEATURE
<222> (1)..(6)
<223> Способствующий образованию гетеродимера домен шарнирного участка
```

```
IgG человека
<400> 14
Val Glu Pro Lys Ser Cys
<210> 15
<211> 6
<212> БЕЛОК
<213> Homo sapiens
<220>
<221> MISC_FEATURE
<222> (1)..(6)
<223> Способствующий образованию гетеродимера домен шарнирного участка
IgG человека
<400> 15
Ala Glu Pro Lys Ser Cys
<210> 16
<211> 6
<212> БЕЛОК
<213> Homo sapiens
<220>
<221> MISC_FEATURE
<222> (1)..(6)
<223> Способствующий образованию гетеродимера домен легкой цепи каппа
иммунноглобулина человека
<400> 16
Gly Phe Asn Gly Glu Cys
               5
<210> 17
<211> 6
<212> БЕЛОК
<213> Homo sapiens
<220>
<221> MISC_FEATURE
<222>
      (1)..(6)
<223> Способствующий образованию гетеродимера домен легкой цепи каппа
иммунноглобулина человека
<400> 17
Phe Asn Arg Gly Glu Cys
```

```
<210> 18
<211> 28
<212> БЕЛОК
<213> Искусственная последовательность
<223> Способствующий образованию гетеродимера домен E-coil
<400> 18
Glu Val Ala Ala Leu Glu Lys Glu Val Ala Ala Leu Glu Lys Glu Val
Ala Ala Leu Glu Lys Glu Val Ala Ala Leu Glu Lys
          20
<210> 19
<211> 28
<212> БЕЛОК
<213> Искусственная последовательность
<223> Способствующий образованию гетеродимера домен K-coil
<400> 19
Lys Val Ala Ala Leu Lys Glu Lys Val Ala Ala Leu Lys Glu Lys Val
                                  10
Ala Ala Leu Lys Glu Lys Val Ala Ala Leu Lys Glu
           20
<210> 20
<211> 28
<212> БЕЛОК
<213> Искусственная последовательность
<220>
<223> Цистеин-содержащий способствующий образованию гетеродимера домен
E-coil
<400> 20
Glu Val Ala Ala Cys Glu Lys Glu Val Ala Ala Leu Glu Lys Glu Val
                                  10
Ala Ala Leu Glu Lys Glu Val Ala Ala Leu Glu Lys
           20
<210> 21
<211> 28
```

<212> БЕЛОК

```
<213> Искусственная последовательность
<220>
<223> Цистеин-содержащий способствующий образованию гетеродимера домен
K-coil
<400> 21
Lys Val Ala Ala Cys Lys Glu Lys Val Ala Ala Leu Lys Glu Lys Val
               5
                                  10
                                                     15
Ala Ala Leu Lys Glu Lys Val Ala Ala Leu Lys Glu
        20
<210> 22
<211> 46
<212> БЕЛОК
<213> Streptococcus dysgalactiae
<220>
<221> MISC_FEATURE
<222> (1)..(46)
<223> Альбумин-связывающий домен 3 (ABD3) белка G штамма Streptococcus
      G148
<400> 22
Leu Ala Glu Ala Lys Val Leu Ala Asn Arg Glu Leu Asp Lys Tyr Gly
                                  10
Val Ser Asp Tyr Tyr Lys Asn Leu Ile Asp Asn Ala Lys Ser Ala Glu
           20
                              25
Gly Val Lys Ala Leu Ile Asp Glu Ile Leu Ala Ala Leu Pro
       35
                           40
<210> 23
<211> 46
<212> БЕЛОК
<213> Искусственная последовательность
<220>
<223> Деиммунизированный вариант альбумин-связывающего домена 3 (ABD3)
белка
      G штамма Streptococcus G148
<400> 23
Leu Ala Glu Ala Lys Val Leu Ala Asn Arg Glu Leu Asp Lys Tyr Gly
                                  10
Val Ser Asp Tyr Tyr Lys Asn Leu Ile Asp Asn Ala Lys Ser Ala Glu
```

25

```
Gly Val Lys Ala Leu Ile Asp Glu Ile Leu Ala Ala Leu Pro
<210> 24
<211> 46
<212> БЕЛОК
<213> Искусственная последовательность
<220>
<223> Деиммунизированный вариант альбумин-связывающего домена 3 (ABD3)
белка
      G штамма Streptococcus G148
<400> 24
Leu Ala Glu Ala Lys Val Leu Ala Asn Arg Glu Leu Asp Lys Tyr Gly
                               10
Val Ser Asp Tyr Tyr Lys Asn Ala Ala Asn Asn Ala Lys Thr Val Glu
           20
                               25
Gly Val Lys Ala Leu Ile Ala Glu Ile Leu Ala Ala Leu Pro
        35
                           40
<210> 25
<211> 46
<212> БЕЛОК
<213> Искусственная последовательность
<220>
<223> Деиммунизированный вариант альбумин-связывающего домена 3 (ABD3)
белка
      G штамма Streptococcus G148
<400> 25
Leu Ala Glu Ala Lys Val Leu Ala Asn Arg Glu Leu Asp Lys Tyr Gly
               5
                                 10
                                                      15
Val Ser Asp Tyr Tyr Lys Asn Leu Ile Ser Asn Ala Lys Ser Val Glu
           20
                   25
Gly Val Lys Ala Leu Ile Ala Glu Ile Leu Ala Ala Leu Pro
       35
                          40
<210> 26
<211> 10
<212> БЕЛОК
<213> Искусственная последовательность
```

<220>

```
<223> Промежуточный спейсерный линкер
<400> 26
Asp Lys Thr His Thr Cys Pro Pro Cys Pro
<210> 27
<211> 15
<212> БЕЛОК
<213> Искусственная последовательность
<220>
<223> Промежуточный спейсерный линкер
<400> 27
Glu Pro Lys Ser Cys Asp Lys Thr His Thr Cys Pro Pro Cys Pro
                                   10
<210> 28
<211> 5
<212> БЕЛОК
<213> Искусственная последовательность
<220>
<223> Промежуточный спейсерный линкер
<400> 28
Ala Pro Ser Ser Ser
<210> 29
<211> 8
<212> БЕЛОК
<213> Искусственная последовательность
<223> Промежуточный спейсерный линкер
<400> 29
Ala Pro Ser Ser Pro Met Glu
<210> 30
<211> 15
<212> БЕЛОК
<213> Искусственная последовательность
<223> Промежуточный спейсерный линкер
<400>
     30
```

Leu Glu Pro Lys Ser Ala Asp Lys Thr His Thr Cys Pro Pro Cys

```
5
                                                      15
1
                                   10
<210> 31
<211> 13
<212> БЕЛОК
<213> Искусственная последовательность
<220>
<223> Промежуточный спейсерный линкер
<400> 31
Gly Gly Gly Asp Lys Thr His Thr Cys Pro Pro Cys Pro
<210> 32
<211> 16
<212> БЕЛОК
<213> Искусственная последовательность
<220>
<223> Промежуточный спейсерный линкер
<400> 32
Leu Glu Pro Lys Ser Ser Asp Lys Thr His Thr Cys Pro Pro Cys Pro
               5
                                                       15
<210> 33
<211> 15
<212> БЕЛОК
<213> Homo sapiens
<220>
<221> MISC_FEATURE
<222> (1)..(15)
<223> Пример шарнирного участка IgG1
<400> 33
Glu Pro Lys Ser Cys Asp Lys Thr His Thr Cys Pro Pro Cys Pro
               5
<210> 34
<211> 12
<212> БЕЛОК
<213> Homo sapiens
<220>
<221> MISC_FEATURE
<222> (1)..(12)
<223> Пример шарнирного участка IgG2
<400> 34
```

```
Glu Arg Lys Cys Cys Val Glu Cys Pro Pro Cys Pro
        5
<210> 35
<211> 12
<212> БЕЛОК
<213> Homo sapiens
<220>
<221> MISC_FEATURE
<222> (1)..(12)
<223> Пример шарнирного участка IgG4
<400> 35
Glu Ser Lys Tyr Gly Pro Pro Cys Pro Ser Cys Pro
              5
<210> 36
<211> 12
<212> БЕЛОК
<213> Искусственная последовательность
<220>
<223> Вариант шарнирного участка IgG4, содержащий стабилизирующую за-
мену S228P
<400> 36
Glu Ser Lys Tyr Gly Pro Pro Cys Pro Pro Cys Pro
               5
<210> 37
<211> 15
<212> БЕЛОК
<213> Искусственная последовательность
<220>
<223> Промежуточный спейсерный пептид
<400> 37
Gly Gly Gly Ser Gly Gly Gly Ser Gly Gly Gly Ser
                                  10
<210> 38
<211> 107
<212> БЕЛОК
<213> Homo sapiens
<220>
<221> MISC_FEATURE
<222> (1)..(107)
```

<223> Пример CL-домена каппа IgG человека <400> 38 Arg Thr Val Ala Ala Pro Ser Val Phe Ile Phe Pro Pro Ser Asp Glu 5 10 Gln Leu Lys Ser Gly Thr Ala Ser Val Val Cys Leu Leu Asn Asn Phe 20 25 Tyr Pro Arg Glu Ala Lys Val Gln Trp Lys Val Asp Asn Ala Leu Gln Ser Gly Asn Ser Gln Glu Ser Val Thr Glu Gln Asp Ser Lys Asp Ser 55 Thr Tyr Ser Leu Ser Ser Thr Leu Thr Leu Ser Lys Ala Asp Tyr Glu 70 Lys His Lys Val Tyr Ala Cys Glu Val Thr His Gln Gly Leu Ser Ser 85 90 Pro Val Thr Lys Ser Phe Asn Arg Gly Glu Cys 100 105 <210> 39 <211> 104 <212> БЕЛОК <213> Homo sapiens <220> <221> MISC_FEATURE <222> (1)..(104) <223> Пример CL-домена лямбда IgG человека <400> 39 Gln Pro Lys Ala Ala Pro Ser Val Thr Leu Phe Pro Pro Ser Ser Glu 10 Glu Leu Gln Ala Asn Lys Ala Thr Leu Val Cys Leu Ile Ser Asp Phe 20 25 Tyr Pro Gly Ala Val Thr Val Ala Trp Lys Ala Asp Ser Ser Pro Val 35 Lys Ala Gly Val Glu Thr Thr Pro Ser Lys Gln Ser Asn Asn Lys Tyr

Ala Ala Ser Ser Tyr Leu Ser Leu Thr Pro Glu Gln Trp Lys Ser His 70 75 Arg Ser Tyr Ser Cys Gln Val Thr His Glu Gly Ser Thr Val Glu Lys 85 90 Thr Val Ala Pro Thr Glu Cys Ser 100 <210> 40 <211> 98 <212> БЕЛОК <213> Homo sapiens <220> <221> MISC_FEATURE <222> (1)..(98) <223> Домен СН1 IgG1 человека <400> 40 Ala Ser Thr Lys Gly Pro Ser Val Phe Pro Leu Ala Pro Ser Ser Lys 10 Ser Thr Ser Gly Gly Thr Ala Ala Leu Gly Cys Leu Val Lys Asp Tyr 20 25 Phe Pro Glu Pro Val Thr Val Ser Trp Asn Ser Gly Ala Leu Thr Ser 35 40 45 Gly Val His Thr Phe Pro Ala Val Leu Gln Ser Ser Gly Leu Tyr Ser 50 55 60 Leu Ser Ser Val Val Thr Val Pro Ser Ser Ser Leu Gly Thr Gln Thr 65 70 75 Tyr Ile Cys Asn Val Asn His Lys Pro Ser Asn Thr Lys Val Asp Lys 90 Arg Val <210> 41

<211> 98 <212> БЕЛОК

<213> Homo sapiens

< ;		L> 1 2>	(1).	_FEAT .(98) H CH1)	Б2 ч€	≘лов∈	ека								
<	400)> 4	41													
A 1		Ser	Thr	Lys	Gly 5	Pro	Ser	Val	Phe	Pro 10	Leu	Ala	Pro	Cys	Ser 15	Arg
S	er	Thr	Ser	Glu 20	Ser	Thr	Ala	Ala	Leu 25	Gly	Cys	Leu	Val	Lys 30	Asp	Tyr
P.	he	Pro	Glu 35	Pro	Val	Thr	Val	Ser 40	Trp	Asn	Ser	Gly	Ala 45	Leu	Thr	Ser
G	ly	Val 50	His	Thr	Phe	Pro	Ala 55	Val	Leu	Gln	Ser	Ser 60	Gly	Leu	Tyr	Ser
L ₀		Ser	Ser	Val	Val	Thr 70	Val	Pro	Ser	Ser	Asn 75	Phe	Gly	Thr	Gln	Thr 80
Т	yr	Thr	Cys	Asn	Val 85	Asp	His	Lys	Pro	Ser 90	Asn	Thr	Lys	Val	Asp 95	Lys
T	hr	Val														
< ;	210 211 212 213	L> 9 2> I	42 98 БЕЛОІ Ното	K sapi	iens											
< .		L> 1 2>	(1).	_FEAT .(98) H CH1)	54 ue	Элове	эка								
<	400)> 4	42													
A 1		Ser	Thr	Lys	Gly 5	Pro	Ser	Val	Phe	Pro 10	Leu	Ala	Pro	Cys	Ser 15	Arg
S	er	Thr	Ser	Glu 20	Ser	Thr	Ala	Ala	Leu 25	Gly	Cys	Leu	Val	Lys 30	Asp	Tyr
P.	he	Pro	Glu 35	Pro	Val	Thr	Val	Ser 40	Trp	Asn	Ser	Gly	Ala 45	Leu	Thr	Ser

Gly Val His Thr Phe Pro Ala Val Leu Gln Ser Ser Gly Leu Tyr Ser 50 55 60 Leu Ser Ser Val Val Thr Val Pro Ser Ser Leu Gly Thr Lys Thr 70 75 Tyr Thr Cys Asn Val Asp His Lys Pro Ser Asn Thr Lys Val Asp Lys 85 90 Arg Val <210> 43 <211> 217 <212> БЕЛОК <213> Искусственная последовательность <220> <223> Домены CH2-CH3 IgG1, содержащие замены L234A и L235A (по Кэбату) <220> <221> MISC_FEATURE <222> (217)..(217) <223> Хаа представляет собой лизин (К) или отсутствует <400> 43 Ala Pro Glu Ala Ala Gly Gly Pro Ser Val Phe Leu Phe Pro Pro Lys 10 Pro Lys Asp Thr Leu Met Ile Ser Arg Thr Pro Glu Val Thr Cys Val 20 25 Val Val Asp Val Ser His Glu Asp Pro Glu Val Lys Phe Asn Trp Tyr 35 40 Val Asp Gly Val Glu Val His Asn Ala Lys Thr Lys Pro Arg Glu Glu 50 55 Gln Tyr Asn Ser Thr Tyr Arg Val Val Ser Val Leu Thr Val Leu His 70 Gln Asp Trp Leu Asn Gly Lys Glu Tyr Lys Cys Lys Val Ser Asn Lys 90 Ala Leu Pro Ala Pro Ile Glu Lys Thr Ile Ser Lys Ala Lys Gly Gln

110

105

Pro	Arg	Glu 115	Pro	Gln	Val	Tyr	Thr 120	Leu	Pro	Pro	Ser	Arg 125	Glu	Glu	Met
Thr	Lys 130	Asn	Gln	Val	Ser	Leu 135	Thr	Cys	Leu	Val	Lys 140	Gly	Phe	Tyr	Pro
Ser 145	Asp	Ile	Ala	Val	Glu 150	Trp	Glu	Ser	Asn	Gly 155	Gln	Pro	Glu	Asn	Asn 160
Tyr	Lys	Thr	Thr	Pro 165	Pro	Val	Leu	Asp	Ser 170	Asp	Gly	Ser	Phe	Phe 175	Leu
Tyr	Ser	Lys	Leu 180	Thr	Val	Asp	Lys	Ser 185	Arg	Trp	Gln	Gln	Gly 190	Asn	Val
Phe	Ser	Cys 195	Ser	Val	Met	His	Glu 200	Ala	Leu	His	Asn	His 205	Tyr	Thr	Gln
Lys	Ser 210	Leu	Ser	Leu	Ser	Pro 215	Gly	Xaa							
<210 <211 <212 <213 <220 <223	L> 2 2> E 3> J		К ССТВ (ожащи							H3 Iç	gG1				
<220 <221 <222 <223	L> N 2>	(217)	_FEAT)(2 предс	217)	пяет	cofa	ой ли	ИИЕИ	(K)	или	OTC	/TCTI	зует		
<400)> 4	14													
Ala 1	Pro	Glu	Ala	Ala 5	Gly	Gly	Pro	Ser	Val 10	Phe	Leu	Phe	Pro	Pro 15	Lys
Pro	Lys	Asp	Thr 20	Leu	Met	Ile	Ser	Arg 25	Thr	Pro	Glu	Val	Thr 30	Cys	Val
Val	Val	Asp 35	Val	Ser	His	Glu	Asp 40	Pro	Glu	Val	Lys	Phe 45	Asn	Trp	Tyr
Val	Asp 50	Gly	Val	Glu	Val	His 55	Asn	Ala	Lys	Thr	Lys 60	Pro	Arg	Glu	Glu

Gln 65	Tyr	Asn	Ser	Thr	Tyr 70	Arg	Val	Val	Ser	Val 75	Leu	Thr	Val	Leu	His 80
Gln	Asp	Trp	Leu	Asn 85	Gly	Lys	Glu	Tyr	Lys 90	Cys	Lys	Val	Ser	Asn 95	Lys
Ala	Leu	Pro	Ala 100	Pro	Ile	Glu	Lys	Thr 105	Ile	Ser	Lys	Ala	Lys 110	Gly	Gln
Pro	Arg	Glu 115	Pro	Gln	Val	Tyr	Thr 120	Leu	Pro	Pro	Ser	Arg 125	Glu	Glu	Met
Thr	Lys 130	Asn	Gln	Val	Ser	Leu 135	Trp	Cys	Leu	Val	Lys 140	Gly	Phe	Tyr	Pro
Ser 145	Asp	Ile	Ala	Val	Glu 150	Trp	Glu	Ser	Asn	Gly 155	Gln	Pro	Glu	Asn	Asn 160
Tyr	Lys	Thr	Thr	Pro 165	Pro	Val	Leu	Asp	Ser 170	Asp	Gly	Ser	Phe	Phe 175	Leu
Tyr	Ser	Lys	Leu 180	Thr	Val	Asp	Lys	Ser 185	Arg	Trp	Gln	Gln	Gly 190	Asn	Val
Phe	Ser	Cys 195	Ser	Val	Met	His	Glu 200	Ala	Leu	His	Asn	His 205	Tyr	Thr	Gln
Lys	Ser 210	Leu	Ser	Leu	Ser	Pro 215	Gly	Xaa							
<210)> '	45													
<211		217	r												
<213		БЕЛОІ Искус		енная	н пос	следо	овате	ельно	ОСТЬ						
<220)>														
<223	3> (Содер	ожащ	4e "1	зпади	ину"	доме	ены (CH2-0	СНЗ	IgG1				
<220)>														
<221		MISC_													
<223		(217) Xaa i			іяет	соба	ой ли	HNEN	(K)	или	OTC	/TCTI	зует		
< 400)>	45													
Ala 1	Pro	Glu	Ala	Ala 5	Gly	Gly	Pro	Ser	Val 10	Phe	Leu	Phe	Pro	Pro 15	Lys

Pro	Lys	Asp	Thr 20	Leu	Met	Ile	Ser	Arg 25	Thr	Pro	Glu	Val	Thr 30	Cys	Val
Val	Val	Asp 35	Val	Ser	His	Glu	Asp 40	Pro	Glu	Val	Lys	Phe 45	Asn	Trp	Tyr
Val	Asp 50	Gly	Val	Glu	Val	His 55	Asn	Ala	Lys	Thr	Lys 60	Pro	Arg	Glu	Glu
Gln 65	Tyr	Asn	Ser	Thr	Tyr 70	Arg	Val	Val	Ser	Val 75	Leu	Thr	Val	Leu	His 80
Gln	Asp	Trp	Leu	Asn 85	Gly	Lys	Glu	Tyr	Lys 90	Cys	Lys	Val	Ser	Asn 95	Lys
Ala	Leu	Pro	Ala 100	Pro	Ile	Glu	Lys	Thr 105	Ile	Ser	Lys	Ala	Lys 110	Gly	Gln
Pro	Arg	Glu 115	Pro	Gln	Val	Tyr	Thr 120	Leu	Pro	Pro	Ser	Arg 125	Glu	Glu	Met
Thr	Lys 130	Asn	Gln	Val	Ser	Leu 135	Ser	Cys	Ala	Val	Lys 140	Gly	Phe	Tyr	Pro
Ser 145	Asp	Ile	Ala	Val	Glu 150	Trp	Glu	Ser	Asn	Gly 155	Gln	Pro	Glu	Asn	Asn 160
Tyr	Lys	Thr	Thr	Pro 165	Pro	Val	Leu	Asp	Ser 170	Asp	Gly	Ser	Phe	Phe 175	Leu
Val	Ser	Lys	Leu 180	Thr	Val	Asp	Lys	Ser 185	Arg	Trp	Gln	Gln	Gly 190	Asn	Val

Phe Ser Cys Ser Val Met His Glu Ala Leu His Asn Arg Tyr Thr Gln

205

200

Lys Ser Leu Ser Leu Ser Pro Gly Xaa 210 215

<210> 46 <211> 288 <212> БЕЛОК

<213> Homo sapiens

195

<220>

<221> MISC_FEATURE <222> (1)..(288) <223> PD-1 человека, включая сигнальную последовательность (последовательность в NCBI NP_005009.2) <220> <221> SIGNAL <222> (1)..(20) <223> Сигнальная последовательность <400> 46 Met Gln Ile Pro Gln Ala Pro Trp Pro Val Val Trp Ala Val Leu Gln 10 Leu Gly Trp Arg Pro Gly Trp Phe Leu Asp Ser Pro Asp Arg Pro Trp 25 20 Asn Pro Pro Thr Phe Ser Pro Ala Leu Leu Val Val Thr Glu Gly Asp 35 4 0 Asn Ala Thr Phe Thr Cys Ser Phe Ser Asn Thr Ser Glu Ser Phe Val 50 55 Leu Asn Trp Tyr Arg Met Ser Pro Ser Asn Gln Thr Asp Lys Leu Ala 70 Ala Phe Pro Glu Asp Arg Ser Gln Pro Gly Gln Asp Cys Arg Phe Arg 90 Val Thr Gln Leu Pro Asn Gly Arg Asp Phe His Met Ser Val Val Arg 100 105 110 Ala Arg Arg Asn Asp Ser Gly Thr Tyr Leu Cys Gly Ala Ile Ser Leu 115 120 125 Ala Pro Lys Ala Gln Ile Lys Glu Ser Leu Arg Ala Glu Leu Arg Val 135 130 Thr Glu Arg Arg Ala Glu Val Pro Thr Ala His Pro Ser Pro Ser Pro 145 150 155 160 Arg Pro Ala Gly Gln Phe Gln Thr Leu Val Val Gly Val Val Gly Gly

185

175

165 170

180

Leu Leu Gly Ser Leu Val Leu Leu Val Trp Val Leu Ala Val Ile Cys

	195	la Arg	Gly	Thr	11e 200	Gly	Ala	Arg	Arg	Thr 205	Gly	Gln	Pro
Leu Lys 210	Glu A	sp Pro	Ser	Ala 215	Val	Pro	Val	Phe	Ser 220	Val	Asp	Tyr	Gly
Glu Leu . 225	Asp P	he Gln	Trp 230	Arg	Glu	Lys	Thr	Pro 235	Glu	Pro	Pro	Val	Pro 240
Cys Val	Pro G	lu Gln 245	Thr	Glu	Tyr	Ala	Thr 250	Ile	Val	Phe	Pro	Ser 255	Gly
Met Gly		er Ser 60	Pro	Ala	Arg	Arg 265	Gly	Ser	Ala	Asp	Gly 270	Pro	Arg
Ser Ala	Gln P 275	ro Leu	Arg	Pro	Glu 280	Asp	Gly	His	Cys	Ser 285	Trp	Pro	Leu
<211> 1 <212> Б	7 13 ЕЛОК omo s	apiens											
<222> (1)(итела	а про	тив	PD-1	_ чеј	товеі	ka PI	0−1 r	nAb í	L (ні	иволумаб)
<221> M <222> (1)(L-дом	113)	итела	а про	OTUB	PD-1	чеј	говег	ka PI)−1 r	nAb í	l (ні	иволумаб)
<221> M <222> (<223> V	1)(L-дом 7	113) ен ант											
<221> M <222> (<223> V <400> 4	1)(L-дом 7 Gln L	113) eh ahti eu Val 5	Glu	Ser	Gly	Gly	Gly 10	Val	Val	Gln	Pro	Gly 15	Arg
<221> M <222> (<223> V <400> 4 Gln Val 1 Ser Leu	1)(L-дом 7 Gln L Arg L 2	113) eh ahti eu Val 5 eu Asp 0	Glu	Ser Lys	Gly Ala	Gly Ser 25	Gly 10	Val Ile	Val Thr	Gln Phe	Pro Ser 30	Gly 15 Asn	Arg
<221> M <222> (<223> V <400> 4 Gln Val 1 Ser Leu	1)(L-дом 7 Gln L Arg L 2 His T 35	eu Val 5 eu Asp 0	Glu Cys Arg	Ser Lys Gln	Gly Ala Ala 40	Gly Ser 25	Gly 10 Gly	Val Ile Lys	Val Thr Gly	Gln Phe Leu 45	Pro Ser 30	Gly 15 Asn	Arg Ser Val
<221> M <222> (<223> V <400> 4 Gln Val 1 Ser Leu Gly Met Ala Val	1)(L-дом 7 Gln L Arg L 2 His T 35	113) eh ahtte eu Val 5 eu Asp 0 rp Val	Glu Cys Arg	Ser Lys Gln Gly	Gly Ala Ala 40 Ser	Gly Ser 25 Pro	Gly 10 Gly Arg	Val Ile Lys	Val Thr Gly Tyr 60	Gln Phe Leu 45	Pro Ser 30 Glu Asp	Gly 15 Asn Trp	Arg Ser Val

```
Ala Thr Asn Asp Asp Tyr Trp Gly Gln Gly Thr Leu Val Thr Val Ser
           100
                               105
Ser
<210> 48
<211> 107
<212> БЕЛОК
<213> Homo sapiens
<220>
<221> MISC_FEATURE
<222> (1)..(107)
<223> VL-домен антитела против PD-1 человека PD-1 mAb 1 (ниволумаб)
<400> 48
Glu Ile Val Leu Thr Gln Ser Pro Ala Thr Leu Ser Leu Ser Pro Gly
                                  10
Glu Arg Ala Thr Leu Ser Cys Arg Ala Ser Gln Ser Val Ser Ser Tyr
           20
                  25
Leu Ala Trp Tyr Gln Gln Lys Pro Gly Gln Ala Pro Arg Leu Ile
Tyr Asp Ala Ser Asn Arg Ala Thr Gly Ile Pro Ala Arg Phe Ser Gly
                       55
Ser Gly Ser Gly Thr Asp Phe Thr Leu Thr Ile Ser Ser Leu Glu Pro
                   70
                                       75
Glu Asp Phe Ala Val Tyr Tyr Cys Gln Gln Ser Ser Asn Trp Pro Arg
               85
                                   90
Thr Phe Gly Gln Gly Thr Lys Val Glu Ile Lys
           100
                              105
<210> 49
<211> 120
<212> БЕЛОК
<213> Искусственная последовательность
<220>
<223> VL-домен гуманизированного антитела против PD-1 человека PD-1
mAb 2
       (пембролизумаб)
```

<400> 49

Gln Val Gln Leu Val Gln Ser Gly Val Glu Val Lys Lys Pro Gly Ala 1 5 10 15

Ser Val Lys Val Ser Cys Lys Ala Ser Gly Tyr Thr Phe Thr Asn Tyr 20 25 30

Tyr Met Tyr Trp Val Arg Gln Ala Pro Gly Gln Gly Leu Glu Trp Met 35 40 45

Gly Gly Ile Asn Pro Ser Asn Gly Gly Thr Asn Phe Asn Glu Lys Phe 50 55 60

Lys Asn Arg Val Thr Leu Thr Thr Asp Ser Ser Thr Thr Thr Ala Tyr 65 70 75 80

Met Glu Leu Lys Ser Leu Gln Phe Asp Asp Thr Ala Val Tyr Tyr Cys 85 90 95

Ala Arg Arg Asp Tyr Arg Phe Asp Met Gly Phe Asp Tyr Trp Gly Gln 100 105 110

Gly Thr Thr Val Thr Val Ser Ser 115 120

<210> 50

<211> 111

<212> БЕЛОК

<213> Искусственная последовательность

<220>

 $<\!223\!>\;$ VL-домен гуманизированного антитела против PD-1 человека PD-1 mAb 2

(пембролизумаб)

<400> 50

Glu Ile Val Leu Thr Gln Ser Pro Ala Thr Leu Ser Leu Ser Pro Gly $1 \hspace{1cm} 5 \hspace{1cm} 10 \hspace{1cm} 15$

Glu Arg Ala Thr Leu Ser Cys Arg Ala Ser Lys Gly Val Ser Thr Ser 20 25 30

Gly Tyr Ser Tyr Leu His Trp Tyr Gln Gln Lys Pro Gly Gln Ala Pro 35 40 45

Arg Leu Leu Ile Tyr Leu Ala Ser Tyr Leu Glu Ser Gly Val Pro Ala

50	55	60

Arg Phe Ser Gly Ser Gly Ser Gly Thr Asp Phe Thr Leu Thr Ile Ser 65 70 75 80

Ser Leu Glu Pro Glu Asp Phe Ala Val Tyr Tyr Cys Gln His Ser Arg 85 90 95

Asp Leu Pro Leu Thr Phe Gly Gly Gly Thr Lys Val Glu Ile Lys 100 105 110

<210> 51

<211> 121

<212> БЕЛОК

<213> Mus musculus

<220>

<221> MISC_FEATURE

<222> (1)..(121)

<223> VH-домен мышиного антитела против PD-1 человека PD-1 mAb 3 (EH12.2H7)

<400> 51

Gln Val Gln Leu Gln Gln Ser Gly Ala Glu Leu Ala Lys Pro Gly Ala 1 $$ 5 $$ 10 $$ 15

Ser Val Gln Met Ser Cys Lys Ala Ser Gly Tyr Ser Phe Thr Ser Ser 20 25 30

Trp Ile His Trp Val Lys Gln Arg Pro Gly Gln Gly Leu Glu Trp Ile 35 40 45

Gly Tyr Ile Tyr Pro Ser Thr Gly Phe Thr Glu Tyr Asn Gln Lys Phe 50 55 60

Lys Asp Lys Ala Thr Leu Thr Ala Asp Lys Ser Ser Ser Thr Ala Tyr 65 70 75 80

Met Gln Leu Ser Ser Leu Thr Ser Glu Asp Ser Ala Val Tyr Tyr Cys 85 90 95

Gln Gly Thr Ser Val Thr Val Ser Ser 115 120

```
<210> 52
<211> 111
<212> БЕЛОК
<213> Mus musculus
<220>
<221> MISC_FEATURE
<222> (1)..(111)
<223> VH-домен мышиного антитела против PD-1 человека PD-1 mAb 3
      (EH12.2H7)
<400> 52
Asp Ile Val Leu Thr Gln Ser Pro Ala Ser Leu Thr Val Ser Leu Gly
                                  10
Gln Arg Ala Thr Ile Ser Cys Arg Ala Ser Gln Ser Val Ser Thr Ser
           20
                               25
Gly Tyr Ser Tyr Met His Trp Tyr Gln Gln Lys Pro Gly Gln Pro Pro
        35
                           40
                                              45
Lys Leu Leu Ile Lys Phe Gly Ser Asn Leu Glu Ser Gly Ile Pro Ala
   50
                       55
Arg Phe Ser Gly Ser Gly Ser Gly Thr Asp Phe Thr Leu Asn Ile His
                  70
Pro Val Glu Glu Glu Asp Thr Ala Thr Tyr Tyr Cys Gln His Ser Trp
                               90
Glu Ile Pro Tyr Thr Phe Gly Gly Gly Thr Lys Leu Glu Ile Lys
          100
                              105
<210> 53
<211> 117
<212> БЕЛОК
<213> Искусственная последовательность
<220>
<223> VH-домен гуманизированного антитела против PD-1 человека PD-1
mAb 4
      (пидилизумаб)
<400> 53
Gln Val Gln Leu Val Gln Ser Gly Ser Glu Leu Lys Lys Pro Gly Ala
               5
                               10 15
```

Ser Val Lys Ile Ser Cys Lys Ala Ser Gly Tyr Thr Phe Thr Asn Tyr

20	25	30
----	----	----

- Gly Met Asn Trp Val Arg Gln Ala Pro Gly Gln Gly Leu Gln Trp Met 35 40 45
- Gly Trp Ile Asn Thr Asp Ser Gly Glu Ser Thr Tyr Ala Glu Glu Phe 50 55 60
- Lys Gly Arg Phe Val Phe Ser Leu Asp Thr Ser Val Asn Thr Ala Tyr 65 70 75 80
- Leu Gln Ile Thr Ser Leu Thr Ala Glu Asp Thr Gly Met Tyr Phe Cys 85 90 95
- Val Arg Val Gly Tyr Asp Ala Leu Asp Tyr Trp Gly Gln Gly Thr Leu 100 105 110
- Val Thr Val Ser Ser 115
- <210> 54
- <211> 106
- <212> БЕЛОК
- <213> Искусственная последовательность
- <220>
- <223> VH-домен гуманизированного антитела против PD-1 человека PD-1 mAb 4 (пидилизумаб)
- <400> 54
- Glu Ile Val Leu Thr Gln Ser Pro Ser Ser Leu Ser Ala Ser Val Gly
 1 10 15
- Asp Arg Val Thr Ile Thr Cys Ser Ala Arg Ser Ser Val Ser Tyr Met 20 25 30
- His Trp Phe Gln Gln Lys Pro Gly Lys Ala Pro Lys Leu Trp Ile Tyr 35 40 45
- Arg Thr Ser Asn Leu Ala Ser Gly Val Pro Ser Arg Phe Ser Gly Ser 50 55 60
- Gly Ser Gly Thr Ser Tyr Cys Leu Thr Ile Asn Ser Leu Gln Pro Glu 65 70 75 80
- Asp Phe Ala Thr Tyr Tyr Cys Gln Gln Arg Ser Ser Phe Pro Leu Thr

85 95 90 Phe Gly Gly Thr Lys Leu Glu Ile Lys 100 <210> 55 <211> 116 <212> БЕЛОК <213> Искусственная последовательность <220> <223> VH-домен гуманизированного антитела против PD-1 человека (PD-1 mAb 5) <400> 55 Glu Val Gln Leu Val Glu Ser Gly Gly Gly Leu Val Gln Pro Gly Gly 10 Ser Leu Arg Leu Ser Cys Ala Ala Ser Gly Phe Val Phe Ser Ser Phe 20 25 Gly Met His Trp Val Arg Gln Ala Pro Gly Lys Gly Leu Glu Trp Val 35 40 4.5 Ala Tyr Ile Ser Ser Gly Ser Met Ser Ile Ser Tyr Ala Asp Thr Val 50 55 60 Lys Gly Arg Phe Thr Ile Ser Arg Asp Asn Ala Lys Asn Thr Leu Tyr 70 65 75 Leu Gln Met Asn Ser Leu Arg Thr Glu Asp Thr Ala Leu Tyr Tyr Cys 90 95 85 Ala Ser Leu Ser Asp Tyr Phe Asp Tyr Trp Gly Gln Gly Thr Thr Val 105 100 110

Thr Val Ser Ser 115

<210> 56

<211> 112

<212> БЕЛОК

<213> Искусственная последовательность

<220>

<223> VL-домен гуманизированного антитела против PD-1 человека (PD-1 mAb 5)

<400> 56

```
Asp Val Val Met Thr Gln Ser Pro Leu Ser Leu Pro Val Thr Leu Gly
                          10
Gln Pro Ala Ser Ile Ser Cys Arg Ser Ser Gln Ser Leu Val His Ser
                               25
           20
Thr Gly Asn Thr Tyr Leu His Trp Tyr Leu Gln Lys Pro Gly Gln Ser
                           40
                                              4.5
Pro Gln Leu Leu Ile Tyr Arg Val Ser Asn Arg Phe Ser Gly Val Pro
                       55
                                          60
Asp Arg Phe Ser Gly Ser Gly Ser Gly Thr Asp Phe Thr Leu Lys Ile
                   70
                                      75
Ser Arg Val Glu Ala Glu Asp Val Gly Val Tyr Tyr Cys Ser Gln Thr
              85
                                   90
Thr His Val Pro Trp Thr Phe Gly Gln Gly Thr Lys Leu Glu Ile Lys
          100
                              105
                                                  110
<210> 57
<211> 119
<212> БЕЛОК
<213> Искусственная последовательность
<220>
<223> VH-домен гуманизированного антитела против PD-1 человека (PD-1
mAb 6)
<220>
<221> MISC_FEATURE
<222> (48)..(48)
<223> Хаа представляет собой изолейцин (I) или аланин (A)
<400> 57
Gln Val Gln Leu Val Gln Ser Gly Ala Glu Val Lys Lys Pro Gly Ala
                           10
Ser Val Lys Val Ser Cys Lys Ala Ser Gly Tyr Ser Phe Thr Ser Tyr
           20
                              25
Trp Met Asn Trp Val Arg Gln Ala Pro Gly Gln Gly Leu Glu Trp Xaa
                           40
Gly Val Ile His Pro Ser Asp Ser Glu Thr Trp Leu Asp Gln Lys Phe
```

55

```
Lys Asp Arg Val Thr Ile Thr Val Asp Lys Ser Thr Ser Thr Ala Tyr
                   70
                                      75
Met Glu Leu Ser Ser Leu Arg Ser Glu Asp Thr Ala Val Tyr Tyr Cys
                                 90
Ala Arg Glu His Tyr Gly Thr Ser Pro Phe Ala Tyr Trp Gly Gln Gly
          100 105
                                                 110
Thr Leu Val Thr Val Ser Ser
  115
<210> 58
<211> 111
<212> БЕЛОК
<213> Искусственная последовательность
<220>
<223> VL-домен гуманизированного антитела против PD-1 человека (PD-1
mAb 6)
<220>
<221> MISC_FEATURE
<222> (26)..(26)
<223> Хаа представляет собой аспарагин (N) или серин (S)
<220>
<221> MISC_FEATURE
<222> (58)..(58)
<223> Хаа представляет собой глутамин (Q) или аргинин (R)
<400> 58
Glu Ile Val Leu Thr Gln Ser Pro Ala Thr Leu Ser Leu Ser Pro Gly
     5
Glu Arg Ala Thr Leu Ser Cys Arg Ala Xaa Glu Ser Val Asp Asn Tyr
           20
                              25
Gly Met Ser Phe Met Asn Trp Phe Gln Gln Lys Pro Gly Gln Pro Pro
Lys Leu Ieu Ile His Ala Ala Ser Asn Xaa Gly Ser Gly Val Pro Ser
                      55
Arg Phe Ser Gly Ser Gly Ser Gly Thr Asp Phe Thr Leu Thr Ile Ser
                   70
                                      75
```

```
Ser Leu Glu Pro Glu Asp Phe Ala Val Tyr Phe Cys Gln Gln Ser Lys
               85
                                    90
Glu Val Pro Tyr Thr Phe Gly Gly Gly Thr Lys Val Glu Ile Lys
           100
                               105
<210> 59
<211> 119
<212> БЕЛОК
<213> Искусственная последовательность
<220>
<223> VH-домен гуманизированного антитела против PD-1 человека (PD-1
<220>
<221> MISC_FEATURE
<222> (12)..(12)
<223> Хаа представляет собой валин (V) или аланин (A)
<220>
<221> MISC_FEATURE
<222> (35)..(35)
<223> Хаа представляет собой серин (S) или глицин (G)
<220>
<221> MISC_FEATURE
<222> (48)..(48)
<223> Хаа представляет собой валин (V) или треонин (T)
<220>
<221> MISC_FEATURE
<222> (86)..(86)
<223> Хаа представляет собой лейцин (L) или аланин (A)
<400> 59
Glu Val Gln Leu Val Glu Ser Gly Gly Gly Leu Xaa Arg Pro Gly Gly
               5
                                   10
                                                      15
Ser Leu Lys Leu Ser Cys Ala Ala Ser Gly Phe Thr Phe Ser Ser Tyr
            20
                               25
Leu Val Xaa Trp Val Arg Gln Ala Pro Gly Lys Gly Leu Glu Trp Xaa
Ala Thr Ile Ser Gly Gly Gly Gly Asn Thr Tyr Tyr Ser Asp Ser Val
Lys Gly Arg Phe Thr Ile Ser Arg Asp Asn Ala Lys Asn Ser Leu Tyr
                    70
                                       75
```

Leu Gln Met Asn Ser Xaa Arg Ala Glu Asp Thr Ala Thr Tyr Tyr Cys 85 90 Ala Arg Tyr Gly Phe Asp Gly Ala Trp Phe Ala Tyr Trp Gly Gln Gly 100 105 Thr Leu Val Thr Val Ser Ser 115 <210> 60 <211> 107 <212> БЕЛОК <213> Искусственная последовательность <220> <223> VL-домен гуманизированного антитела против PD-1 человека (PD-1 mAb 7) <220> <221> MISC_FEATURE <222> (31)..(31) <223> Хаа представляет собой серин (S) или аспарагин (N) <220> <221> MISC_FEATURE <222> (50)..(50) <223> Хаа представляет собой аспарагин (N) или аспартат (D) <400> 60 Asp Ile Gln Met Thr Gln Ser Pro Ser Ser Leu Ser Ala Ser Val Gly 5 10 1.5 Asp Arg Val Thr Ile Thr Cys Arg Ala Ser Glu Asn Ile Tyr Xaa Tyr 30 20 25 Leu Ala Trp Tyr Gln Gln Lys Pro Gly Lys Ala Pro Lys Leu Ile 35 40 45 Tyr Xaa Ala Lys Thr Leu Ala Ala Gly Val Pro Ser Arg Phe Ser Gly 55 Ser Gly Ser Gly Thr Asp Phe Thr Leu Thr Ile Ser Ser Leu Gln Pro 70 75 Glu Asp Phe Ala Thr Tyr Tyr Cys Gln His His Tyr Ala Val Pro Trp 8.5 90 Thr Phe Gly Gln Gly Thr Lys Leu Glu Ile Lys

105

```
<210> 61
<211> 117
<212> БЕЛОК
<213> Искусственная последовательность
<223> VH-домен гуманизированного антитела против PD-1 человека (PD-1
mAb 8)
<400> 61
Glu Val Gln Leu Val Glu Ser Gly Gly Leu Val Arg Pro Gly Gly
                                  10
Ser Leu Arg Leu Ser Cys Ala Ala Ser Gly Phe Thr Phe Ser Ser Tyr
                              25
           20
Leu Ile Ser Trp Val Arg Gln Ala Pro Gly Lys Gly Leu Glu Trp Val
       35
                           40
Ala Ala Ile Ser Gly Gly Gly Ala Asp Thr Tyr Tyr Ala Asp Ser Val
    50
                       55
                                          60
Lys Gly Arg Phe Thr Ile Ser Arg Asp Asn Ala Lys Asn Ser Leu Tyr
          70
65
Leu Gln Met Asn Ser Leu Arg Ala Glu Asp Thr Ala Thr Tyr Tyr Cys
              85
Ala Arg Arg Gly Thr Tyr Ala Met Asp Tyr Trp Gly Gln Gly Thr Leu
          100
                              105
                                                  110
Val Thr Val Ser Ser
       115
<210> 62
<211> 107
<212> БЕЛОК
<213> Искусственная последовательность
<223> VL-домен гуманизированного антитела против PD-1 человека (PD-1
mAb 8)
<400> 62
Asp Ile Gln Met Thr Gln Ser Pro Ser Ser Leu Ser Ala Ser Val Gly
               5
                                 10
```

Asp	Arg	Val	Thr 20	Ile	Thr	Cys	Arg	Ala 25	Ser	Glu	Asn	Ile	Tyr 30	Asn	Tyr
Leu	Ala	Trp 35	Tyr	Gln	Gln	Lys	Pro 40	Gly	Lys	Ala	Pro	Lys 45	Leu	Leu	Ile
Tyr	Asp 50	Ala	Lys	Thr	Leu	Ala 55	Ala	Gly	Val	Pro	Ser 60	Arg	Phe	Ser	Gly
Ser 65	Gly	Ser	Gly	Thr	Asp 70	Phe	Thr	Leu	Thr	Ile 75	Ser	Ser	Leu	Gln	Pro 80
Glu	Asp	Phe	Ala	Thr 85	Tyr	Tyr	Cys	Gln	His 90	His	Tyr	Ala	Val	Pro 95	Trp
Thr	Phe	Gly	Gln 100	Gly	Thr	Lys	Leu	Glu 105	Ile	Lys					
<210 <211 <212 <213	1> 4 2> E		K CCTB6	енная	100	следо)BaTe	Эльн(ОСТЬ						
<220 <223		Терва	ая иј	IU T	ретья	н пој	пипеі	тиді	ные і	цепи	PD-1	L x 1	LAG-3	3 dai	RT A
<400)> (63													
Asp 1	Ile	Gln	Met	Thr 5	Gln	Ser	Pro	Ser	Ser 10	Leu	Ser	Ala	Ser	Val 15	Gly
Asp	Arg	Val	Thr 20	Ile	Thr	Cys	Arg	Ala 25	Ser	Gln	Asp	Val	Ser 30	Ser	Val
Val	Ala	Trp 35	Tyr	Gln	Gln	Lys	Pro 40	Gly	Lys	Ala	Pro	Lys 45	Leu	Leu	Ile
Tyr	Ser 50	Ala	Ser	Tyr	Arg	Tyr 55	Thr	Gly	Val	Pro	Ser 60	Arg	Phe	Ser	Gly
Ser 65	Gly	Ser	Gly	Thr	Asp 70	Phe	Thr	Leu	Thr	Ile 75	Ser	Ser	Leu	Gln	Pro 80

Thr Phe Gly Gly Gly Thr Lys Leu Glu Ile Lys Gly Gly Gly Ser Gly 100 105 110

Glu Asp Phe Ala Thr Tyr Tyr Cys Gln Gln His Tyr Ser Thr Pro Trp

85

Gly Gly Gly 115		Gln Leu	Val 120	Gln	Ser	Gly	Ala	Glu 125	Val	Lys	Lys
Pro Gly Ala 130	Ser Val	Lys Val		Cys	Lys	Ala	Ser 140	Gly	Tyr	Ser	Phe
Thr Ser Tyr 145	Trp Met	Asn Trp 150	Val	Arg	Gln	Ala 155	Pro	Gly	Gln	Gly	Leu 160
Glu Trp Ile	Gly Val 165		Pro	Ser	Asp 170	Ser	Glu	Thr	Trp	Leu 175	Asp
Gln Lys Phe	Lys Asp 180	Arg Val	Thr	Ile 185	Thr	Val	Asp	Lys	Ser 190	Thr	Ser
Thr Ala Tyr 195	Met Glu	Leu Ser	Ser 200	Leu	Arg	Ser	Glu	Asp 205	Thr	Ala	Val
Tyr Tyr Cys 210	Ala Arg	Glu His 215	_	Gly	Thr	Ser	Pro 220	Phe	Ala	Tyr	Trp
Gly Gln Gly 225	Thr Leu	Val Thr 230	Val	Ser	Ser	Gly 235	Gly	Cys	Gly	Gly	Gly 240
Glu Val Ala	Ala Cys 245	_	Glu	Val	Ala 250	Ala	Leu	Glu	Lys	Glu 255	Val
Ala Ala Leu	Glu Lys 260	Glu Val	Ala	Ala 265	Leu	Glu	Lys	Glu	Ser 270	Lys	Tyr
Gly Pro Pro 275	Cys Pro	Pro Cys	Pro 280	Ala	Pro	Glu	Phe	Leu 285	Gly	Gly	Pro
Ser Val Phe 290	Leu Phe	Pro Pro 295		Pro	Lys	Asp	Thr 300	Leu	Tyr	Ile	Thr
Arg Glu Pro 305	Glu Val	Thr Cys	Val	Val	Val	Asp 315	Val	Ser	Gln	Glu	Asp 320
Pro Glu Val	Gln Phe 325	Asn Trp	Tyr	Val	Asp 330	Gly	Val	Glu	Val	His 335	Asn
Ala Lys Thr	Lys Pro 340	Arg Glu	Glu	Gln 345	Phe	Asn	Ser	Thr	Tyr 350	Arg	Val

Val	Ser	Val 355	Leu	Thr	Val	Leu	His 360	Gln	Asp	Trp	Leu	Asn 365	Gly	Lys	Glu
Tyr	Lys 370	Cys	Lys	Val	Ser	Asn 375	Lys	Gly	Leu	Pro	Ser 380	Ser	Ile	Glu	Lys
Thr 385	Ile	Ser	Lys	Ala	Lys 390	Gly	Gln	Pro	Arg	Glu 395	Pro	Gln	Val	Tyr	Thr 400
Leu	Pro	Pro	Ser	Gln 405	Glu	Glu	Met	Thr	Lys 410	Asn	Gln	Val	Ser	Leu 415	Thr
Cys	Leu	Val	Lys 420	Gly	Phe	Tyr	Pro	Ser 425	Asp	Ile	Ala	Val	Glu 430	Trp	Glu
Ser	Asn	Gly 435	Gln	Pro	Glu	Asn	Asn 440	Tyr	Lys	Thr	Thr	Pro 445	Pro	Val	Leu
Asp	Ser 450	Asp	Gly	Ser	Phe	Phe 455	Leu	Tyr	Ser	Arg	Leu 460	Thr	Val	Asp	Lys
Ser 465	Arg	Trp	Gln	Glu	Gly 470	Asn	Val	Phe	Ser	Cys 475	Ser	Val	Met	His	Glu 480
Ala	Leu	His	Asn	His 485	Tyr	Thr	Gln	Lys	Ser 490	Leu	Ser	Leu	Ser	Leu 495	Gly
<210 <211 <212 <213	L> 2 2> E	54 271 БЕЛОН Искус		енная	н пос	следо)BaTe	Эльно	ОСТЬ						
<220 <223		Зтора	я иј	и ч∈	етвер	отая	поли	ипепт	гиднь	ле це	епи В	PD-1	x LA	4G-3	DART A
<400)> (54													
Glu 1	Ile	Val	Leu	Thr 5	Gln	Ser	Pro	Ala	Thr 10	Leu	Ser	Leu	Ser	Pro 15	Gly
Glu	Arg	Ala	Thr 20	Leu	Ser	Cys	Arg	Ala 25	Ser	Glu	Ser	Val	Asp 30	Asn	Tyr
Gly	Met	Ser	Phe	Met	Asn	Trp	Phe	Gln	Gln	Lys	Pro	Gly 45	Gln	Pro	Pro

Lys Leu Ieu Ile His Ala Ala Ser Asn Gln Gly Ser Gly Val Pro Ser 50 55 Arg Phe Ser Gly Ser Gly Ser Gly Thr Asp Phe Thr Leu Thr Ile Ser 70 75 Ser Leu Glu Pro Glu Asp Phe Ala Val Tyr Phe Cys Gln Gln Ser Lys 90 95 Glu Val Pro Tyr Thr Phe Gly Gly Gly Thr Lys Val Glu Ile Lys Gly 100 105 110 Gly Gly Ser Gly Gly Gly Gln Val Gln Leu Val Gln Ser Gly Ala 115 120 Glu Val Lys Lys Pro Gly Ala Ser Val Lys Val Ser Cys Lys Ala Ser 135 140 Gly Tyr Thr Phe Thr Asp Tyr Asn Met Asp Trp Val Arg Gln Ala Pro 150 155 Gly Gln Gly Leu Glu Trp Met Gly Asp Ile Asn Pro Asp Asn Gly Val 165 170 Thr Ile Tyr Asn Gln Lys Phe Glu Gly Arg Val Thr Met Thr Thr Asp 180 185 Thr Ser Thr Ser Thr Ala Tyr Met Glu Leu Arg Ser Leu Arg Ser Asp 195 200 205 Asp Thr Ala Val Tyr Tyr Cys Ala Arg Glu Ala Asp Tyr Phe Tyr Phe 210 215 220 Asp Tyr Trp Gly Gln Gly Thr Thr Leu Thr Val Ser Ser Gly Gly Cys 230 235 240 Gly Gly Lys Val Ala Ala Cys Lys Glu Lys Val Ala Ala Leu Lys 250 Glu Lys Val Ala Ala Leu Lys Glu Lys Val Ala Ala Leu Lys Glu 260 265 <210> 65 <211> 118 <212> БЕЛОК

<213> Mus musculus

<220> <221> MISC_FEATURE <222> (1)..(118) <223> VH-домен mAb 4-4-20 <400> 65 Glu Val Lys Leu Asp Glu Thr Gly Gly Gly Leu Val Gln Pro Gly Arg 1.0 Pro Met Lys Leu Ser Cys Val Ala Ser Gly Phe Thr Phe Ser Asp Tyr 20 25 Trp Met Asn Trp Val Arg Gln Ser Pro Glu Lys Gly Leu Glu Trp Val 35 40 Ala Gln Ile Arg Asn Lys Pro Tyr Asn Tyr Glu Thr Tyr Tyr Ser Asp 50 55 Ser Val Lys Gly Arg Phe Thr Ile Ser Arg Asp Asp Ser Lys Ser Ser 75 80 70 Val Tyr Leu Gln Met Asn Asn Leu Arg Val Glu Asp Met Gly Ile Tyr 90 95 Tyr Cys Thr Gly Ser Tyr Tyr Gly Met Asp Tyr Trp Gly Gln Gly Thr 100 105 Ser Val Thr Val Ser Ser 115 <210> 66 <211> 112 <212> БЕЛОК <213> Mus musculus <220> <221> MISC_FEATURE <222> (1)..(112) <223> VL-домен mAb 4-4-20 <400> 66 Asp Val Val Met Thr Gln Thr Pro Phe Ser Leu Pro Val Ser Leu Gly 10

30

Asp Gln Ala Ser Ile Ser Cys Arg Ser Ser Gln Ser Leu Val His Ser

25

Asn Gly Asn Thr Tyr Leu Arg Trp Tyr Leu Gln Lys Pro Gly Gln Ser 40 Pro Lys Val Leu Ile Tyr Lys Val Ser Asn Arg Phe Ser Gly Val Pro 50 55 Asp Arg Phe Ser Gly Ser Gly Ser Gly Thr Asp Phe Thr Leu Lys Ile 70 75 Ser Arg Val Glu Ala Glu Asp Leu Gly Val Tyr Phe Cys Ser Gln Ser Thr His Val Pro Trp Thr Phe Gly Gly Gly Thr Lys Leu Glu Ile Lys 100 105 110 <210> 67 <211> 273 <212> БЕЛОК <213> Искусственная последовательность <220> <223> Первая полипептидная цепь универсальной биспецифичной адапторной молекулы UBA-1 <400> 67 Asp Val Val Met Thr Gln Thr Pro Phe Ser Leu Pro Val Ser Leu Gly 5 10 Asp Gln Ala Ser Ile Ser Cys Arg Ser Ser Gln Ser Leu Val His Ser 25 30 20 Asn Gly Asn Thr Tyr Leu Arg Trp Tyr Leu Gln Lys Pro Gly Gln Ser 35 40 Pro Lys Val Leu Ile Tyr Lys Val Ser Asn Arg Phe Ser Gly Val Pro 55 Asp Arg Phe Ser Gly Ser Gly Ser Gly Thr Asp Phe Thr Leu Lys Ile 70 75 Ser Arg Val Glu Ala Glu Asp Leu Gly Val Tyr Phe Cys Ser Gln Ser 85 90 Thr His Val Pro Trp Thr Phe Gly Gly Gly Thr Lys Leu Glu Ile Lys

110

105

Gly Gly Gly Gly Gly Gly Gln Val Gln Leu Val Gln Ser Gly 115 120 Ala Glu Val Lys Lys Pro Gly Ala Ser Val Lys Val Ser Cys Lys Ala 130 135 Ser Gly Tyr Ser Phe Thr Ser Tyr Trp Met Asn Trp Val Arg Gln Ala 150 145 155 Pro Gly Gln Gly Leu Glu Trp Ile Gly Val Ile His Pro Ser Asp Ser 170 Glu Thr Trp Leu Asp Gln Lys Phe Lys Asp Arg Val Thr Ile Thr Val 180 185 Asp Lys Ser Thr Ser Thr Ala Tyr Met Glu Leu Ser Ser Leu Arg Ser 195 200 Glu Asp Thr Ala Val Tyr Tyr Cys Ala Arg Glu His Tyr Gly Thr Ser 215 210 220 Pro Phe Ala Tyr Trp Gly Gln Gly Thr Leu Val Thr Val Ser Ser Gly 225 230 235 Gly Cys Gly Gly Glu Val Ala Ala Leu Glu Lys Glu Val Ala Ala 250 245 255 Leu Glu Lys Glu Val Ala Ala Leu Glu Lys Glu Val Ala Ala Leu Glu 260 265 270 Lys <210> 68 <211> 272 <212> БЕЛОК <213> Искусственная последовательность <220> <223> Вторая полипептидная цепь универсальной биспецифичной адапторной молекулы UBA-1 <400> 68 Glu Ile Val Leu Thr Gln Ser Pro Ala Thr Leu Ser Leu Ser Pro Gly 5 10 15

Glu	Arg	Ala	Thr 20	Leu	Ser	Cys	Arg	Ala 25	Ser	Glu	Ser	Val	Asp 30	Asn	Tyr
Gly	Met	Ser 35	Phe	Met	Asn	Trp	Phe 40	Gln	Gln	Lys	Pro	Gly 45	Gln	Pro	Pro
Lys	Leu 50	Leu	Ile	His	Ala	Ala 55	Ser	Asn	Gln	Gly	Ser 60	Gly	Val	Pro	Ser
Arg 65	Phe	Ser	Gly	Ser	Gly 70	Ser	Gly	Thr	Asp	Phe 75	Thr	Leu	Thr	Ile	Ser 80
Ser	Leu	Glu	Pro	Glu 85	Asp	Phe	Ala	Val	Tyr 90	Phe	Cys	Gln	Gln	Ser 95	Lys
Glu	Val	Pro	Tyr 100	Thr	Phe	Gly	Gly	Gly 105	Thr	Lys	Val	Glu	Ile 110	Lys	Gly
Gly	Gly	Gly 115	Ser	Gly	Gly	Gly	Gly 120	Glu	Val	Lys	Leu	Asp 125	Glu	Thr	Gly
Gly	Gly 130	Leu	Val	Gln	Pro	Gly 135	Arg	Pro	Met	Lys	Leu 140	Ser	Cys	Val	Ala
Ser 145	Gly	Phe	Thr	Phe	Ser 150	Asp	Tyr	Trp	Met	Asn 155	Trp	Val	Arg	Gln	Ser 160
Pro	Glu	Lys		Leu 165				Ala			Arg	Asn	Lys	Pro 175	
Asn	Tyr	Glu	Thr 180	Tyr	Tyr	Ser	Asp	Ser 185	Val	Lys	Gly	Arg	Phe 190	Thr	Ile
Ser	Arg	Asp 195	Asp	Ser	Lys	Ser	Ser 200	Val	Tyr	Leu	Gln	Met 205	Asn	Asn	Leu
Arg	Val 210	Glu	Asp	Met	Gly	Ile 215	Tyr	Tyr	Cys	Thr	Gly 220	Ser	Tyr	Tyr	Gly
Met 225	Asp	Tyr	Trp	Gly	Gln 230	Gly	Thr	Ser	Val	Thr 235	Val	Ser	Ser	Gly	Gly 240
Cys	Gly	Gly	Gly	Lys 245	Val	Ala	Ala	Leu	Lys 250	Glu	Lys	Val	Ala	Ala 255	Leu

Lys Glu Lys Val Ala Ala Leu Lys Glu Lys Val Ala Ala Leu Lys Glu 265 <210> 69 <211> 503 <212> БЕЛОК <213> Искусственная последовательность <220> <223> Первая и третья полипептидная цепь универсальной биспецифичной адапторной молекулы UBA-2 <400> 69 Asp Val Val Met Thr Gln Thr Pro Phe Ser Leu Pro Val Ser Leu Gly 10 Asp Gln Ala Ser Ile Ser Cys Arg Ser Ser Gln Ser Leu Val His Ser 20 25 Asn Gly Asn Thr Tyr Leu Arg Trp Tyr Leu Gln Lys Pro Gly Gln Ser 35 40 4.5 Pro Lys Val Leu Ile Tyr Lys Val Ser Asn Arg Phe Ser Gly Val Pro 50 55 Asp Arg Phe Ser Gly Ser Gly Ser Gly Thr Asp Phe Thr Leu Lys Ile 70 75 65 Ser Arg Val Glu Ala Glu Asp Leu Gly Val Tyr Phe Cys Ser Gln Ser 90 95 85 Thr His Val Pro Trp Thr Phe Gly Gly Gly Thr Lys Leu Glu Ile Lys 100 105 110 Gly Gly Gly Gly Gly Gly Gln Val Gln Leu Val Gln Ser Gly 115 120 Ala Glu Val Lys Lys Pro Gly Ala Ser Val Lys Val Ser Cys Lys Ala 140 135 Ser Gly Tyr Ser Phe Thr Ser Tyr Trp Met Asn Trp Val Arg Gln Ala 145 150 155

170

175

Pro Gly Gln Gly Leu Glu Trp Ile Gly Val Ile His Pro Ser Asp Ser

Glu '	Thr	Trp	Leu 180	Asp	Gln	Lys	Phe	Lys 185	Asp	Arg	Val	Thr	Ile 190	Thr	Val
Asp :	Lys	Ser 195	Thr	Ser	Thr	Ala	Tyr 200	Met	Glu	Leu	Ser	Ser 205	Leu	Arg	Ser
Glu i	Asp 210	Thr	Ala	Val	Tyr	Tyr 215	Cys	Ala	Arg	Glu	His 220	Tyr	Gly	Thr	Ser
Pro 1 225	Phe	Ala	Tyr	Trp	Gly 230	Gln	Gly	Thr	Leu	Val 235	Thr	Val	Ser	Ser	Gly 240
Gly	Cys	Gly	Gly	Gly 245	Glu	Val	Ala	Ala	Leu 250	Glu	Lys	Glu	Val	Ala 255	Ala
Leu	Glu	Lys	Glu 260	Val	Ala	Ala	Leu	Glu 265	Lys	Glu	Val	Ala	Ala 270	Leu	Glu
Lys	Gly	Gly 275	Gly	Asp	Lys	Thr	His 280	Thr	Cys	Pro	Pro	Cys 285	Pro	Ala	Pro
Glu i	Ala 290	Ala	Gly	Gly	Pro	Ser 295	Val	Phe	Leu	Phe	Pro 300	Pro	Lys	Pro	Lys
Asp '	Thr	Leu	Met	Ile	Ser 310	Arg	Thr	Pro	Glu	Val 315	Thr	Cys	Val	Val	Val 320
Asp '	Val	Ser	His	Glu 325	Asp	Pro	Glu	Val	Lys 330	Phe	Asn	Trp	Tyr	Val 335	Asp
Gly '	Val	Glu	Val 340	His	Asn	Ala	Lys	Thr 345	Lys	Pro	Arg	Glu	Glu 350	Gln	Tyr
Asn	Ser	Thr 355	Tyr	Arg	Val	Val	Ser 360	Val	Leu	Thr	Val	Leu 365	His	Gln	Asp
Trp	Leu 370	Asn	Gly	Lys	Glu	Tyr 375	Lys	Cys	Lys	Val	Ser 380	Asn	Lys	Ala	Leu
Pro 2	Ala	Pro	Ile	Glu	Lys 390	Thr	Ile	Ser	Lys	Ala 395	Lys	Gly	Gln	Pro	Arg 400
Glu 1	Pro	Gln	Val	Tyr 405	Thr	Leu	Pro	Pro	Ser 410	Arg	Glu	Glu	Met	Thr 415	Lys

Asn Gln Val Ser Leu Thr Cys Leu Val Lys Gly Phe Tyr Pro Ser Asp 420 425 Ile Ala Val Glu Trp Glu Ser Asn Gly Gln Pro Glu Asn Asn Tyr Lys 440 Thr Thr Pro Pro Val Leu Asp Ser Asp Gly Ser Phe Phe Leu Tyr Ser 450 455 460 Lys Leu Thr Val Asp Lys Ser Arg Trp Gln Gln Gly Asn Val Phe Ser 470 475 Cys Ser Val Met His Glu Ala Leu His Asn His Tyr Thr Gln Lys Ser 485 490 Leu Ser Leu Ser Pro Gly Lys 500 <210> 70 <211> 503 <212> БЕЛОК <213> Искусственная последовательность <220> <223> Первая полипептидная цепь универсальной биспецифичной адапторной молекулы UBA-3 <400> 70 Asp Val Val Met Thr Gln Thr Pro Phe Ser Leu Pro Val Ser Leu Gly 1 5 10 15 Asp Gln Ala Ser Ile Ser Cys Arg Ser Ser Gln Ser Leu Val His Ser 20 25 30 Asn Gly Asn Thr Tyr Leu Arg Trp Tyr Leu Gln Lys Pro Gly Gln Ser 35 40 Pro Lys Val Leu Ile Tyr Lys Val Ser Asn Arg Phe Ser Gly Val Pro 55 Asp Arg Phe Ser Gly Ser Gly Ser Gly Thr Asp Phe Thr Leu Lys Ile 70 Ser Arg Val Glu Ala Glu Asp Leu Gly Val Tyr Phe Cys Ser Gln Ser

90

Thr	His	Val	Pro 100	Trp	Thr	Phe	Gly	Gly 105	Gly	Thr	Lys	Leu	Glu 110	Ile	Lys
Gly	Gly	Gly 115	Ser	Gly	Gly	Gly	Gly 120	Gln	Val	Gln	Leu	Val 125	Gln	Ser	Gly
Ala	Glu 130	Val	Lys	Lys	Pro	Gly 135	Ala	Ser	Val	Lys	Val 140	Ser	Cys	Lys	Ala
Ser 145	Gly	Tyr	Ser	Phe	Thr 150	Ser	Tyr	Trp	Met	Asn 155	Trp	Val	Arg	Gln	Ala 160
Pro	Gly	Gln	Gly	Leu 165	Glu	Trp	Ile	Gly	Val 170	Ile	His	Pro	Ser	Asp 175	Ser
Glu	Thr	Trp	Leu 180	Asp	Gln	Lys	Phe	Lys 185	Asp	Arg	Val	Thr	Ile 190	Thr	Val
Asp	Lys	Ser 195	Thr	Ser	Thr	Ala	Tyr 200	Met	Glu	Leu	Ser	Ser 205	Leu	Arg	Ser
Glu	Asp 210	Thr	Ala	Val	Tyr	Tyr 215	Cys	Ala	Arg	Glu	His 220	Tyr	Gly	Thr	Ser
Pro 225	Phe	Ala	Tyr	Trp	Gly 230	Gln	Gly	Thr	Leu	Val 235	Thr	Val	Ser	Ser	Gly 240
Gly	Cys	Gly		Gly 245	Glu	Val	Ala		Leu 250		Lys	Glu	Val	Ala 255	
Leu	Glu	Lys	Glu 260	Val	Ala	Ala	Leu	Glu 265	Lys	Glu	Val	Ala	Ala 270	Leu	Glu
Lys	Gly	Gly 275	Gly	Asp	Lys	Thr	His 280	Thr	Cys	Pro	Pro	Cys 285	Pro	Ala	Pro
Glu	Ala 290	Ala	Gly	Gly	Pro	Ser 295	Val	Phe	Leu	Phe	Pro 300	Pro	Lys	Pro	Lys
Asp 305	Thr	Leu	Met	Ile	Ser 310	Arg	Thr	Pro	Glu	Val 315	Thr	Cys	Val	Val	Val 320
Asp	Val	Ser	His	Glu 325	Asp	Pro	Glu	Val	Lys 330	Phe	Asn	Trp	Tyr	Val 335	Asp

Gly	Val	Glu	Val 340	His	Asn	Ala	Lys	Thr 345	Lys	Pro	Arg	Glu	Glu 350	Gln	Tyr
Asn	Ser	Thr 355	Tyr	Arg	Val	Val	Ser 360	Val	Leu	Thr	Val	Leu 365	His	Gln	Asp
Trp	Leu 370	Asn	Gly	Lys	Glu	Tyr 375	Lys	Cys	Lys	Val	Ser 380	Asn	Lys	Ala	Leu
Pro 385	Ala	Pro	Ile	Glu	Lys 390	Thr	Ile	Ser	Lys	Ala 395	Lys	Gly	Gln	Pro	Arg 400
Glu	Pro	Gln	Val	Tyr 405	Thr	Leu	Pro	Pro	Ser 410	Arg	Glu	Glu	Met	Thr 415	Lys
Asn	Gln	Val	Ser 420	Leu	Trp	Cys	Leu	Val 425	Lys	Gly	Phe	Tyr	Pro 430	Ser	Asp
Ile	Ala	Val 435	Glu	Trp	Glu	Ser	Asn 440	Gly	Gln	Pro	Glu	Asn 445	Asn	Tyr	Lys
Thr	Thr 450	Pro	Pro	Val	Leu	Asp 455	Ser	Asp	Gly	Ser	Phe 460	Phe	Leu	Tyr	Ser
Lys 465	Leu	Thr	Val	Asp	Lys 470	Ser	Arg	Trp	Gln	Gln 475	Gly	Asn	Val	Phe	Ser 480
Cys	Ser	Val	Met	His 485		Ala	Leu		Asn 490		Tyr	Thr	Gln	Lys 495	Ser
Leu	Ser	Leu	Ser 500	Pro	Gly	Lys									
<210 <211 <212 <213	1> 2 2> 1	71 227 БЕЛОН Искус		энная	оп н	следо	OBare	Эльн(OCTЬ						
<220 <223 моле	3> : Экуль	_		ЭЛИП€	Эптиј	цная	цепі	э Унг	иверо	сальн	ной (бисп€	эцифі	ичной	й адапторной
<400)> '	71													
Asp 1	Lys	Thr	His	Thr 5	Cys	Pro	Pro	Cys	Pro 10	Ala	Pro	Glu	Ala	Ala 15	Gly

Gly	Pro	Ser	Val 20	Phe	Leu	Phe	Pro	Pro 25	Lys	Pro	Lys	Asp	Thr 30	Leu	Met
Ile	Ser	Arg 35	Thr	Pro	Glu	Val	Thr 40	Cys	Val	Val	Val	Asp 45	Val	Ser	His
Glu	Asp 50	Pro	Glu	Val	Lys	Phe 55	Asn	Trp	Tyr	Val	Asp 60	Gly	Val	Glu	Val
His 65	Asn	Ala	Lys	Thr	Lys 70	Pro	Arg	Glu	Glu	Gln 75	Tyr	Asn	Ser	Thr	Tyr 80
Arg	Val	Val	Ser	Val 85	Leu	Thr	Val	Leu	His 90	Gln	Asp	Trp	Leu	Asn 95	Gly
Lys	Glu	Tyr	Lys 100	Cys	Lys	Val	Ser	Asn 105	Lys	Ala	Leu	Pro	Ala 110	Pro	Ile
Glu	Lys	Thr 115	Ile	Ser	Lys	Ala	Lys 120	Gly	Gln	Pro	Arg	Glu 125	Pro	Gln	Val
Tyr	Thr 130	Leu	Pro	Pro	Ser	Arg 135	Glu	Glu	Met	Thr	Lys 140	Asn	Gln	Val	Ser
Leu 145	Ser	Cys	Ala	Val	Lys 150	Gly	Phe	Tyr	Pro	Ser 155	Asp	Ile	Ala	Val	Glu 160
Trp	Glu	Ser	Asn	Gly 165	Gln	Pro	Glu	Asn	Asn 170	_	Lys	Thr	Thr	Pro 175	Pro
Val	Leu	Asp	Ser 180	Asp	Gly	Ser	Phe	Phe 185	Leu	Val	Ser	Lys	Leu 190	Thr	Val
Asp	Lys	Ser 195	Arg	Trp	Gln	Gln	Gly 200	Asn	Val	Phe	Ser	Cys 205	Ser	Val	Met
His	Glu 210	Ala	Leu	His	Asn	Arg 215	Tyr	Thr	Gln	Lys	Ser 220	Leu	Ser	Leu	Ser
Pro 225	Gly	Lys													
<210 <211		72 149													

<212> БЕЛОК <213> Искусственная последовательность <223> Третья полипептидная цепь универсальной биспецифичной адапторной молекулы UBA-4 <400> 72 Gln Val Gln Leu Val Gln Ser Gly Ala Glu Val Lys Lys Pro Gly Ala Ser Val Lys Val Ser Cys Lys Ala Ser Gly Tyr Ser Phe Thr Ser Tyr 25 Trp Met Asn Trp Val Arg Gln Ala Pro Gly Gln Gly Leu Glu Trp Ile 40 Gly Val Ile His Pro Ser Asp Ser Glu Thr Trp Leu Asp Gln Lys Phe 55 Lys Asp Arg Val Thr Ile Thr Val Asp Lys Ser Thr Ser Thr Ala Tyr 65 70 75 Met Glu Leu Ser Ser Leu Arg Ser Glu Asp Thr Ala Val Tyr Tyr Cys 85 90 Ala Arg Glu His Tyr Gly Thr Ser Pro Phe Ala Tyr Trp Gly Gln Gly 100 105 110 Thr Leu Val Thr Val Ser Ser Ala Ser Thr Lys Gly Pro Ser Val Phe 115 120 125 Pro Leu Ala Pro Ser Ser Lys Ser Thr Ser Gly Gly Thr Ala Ala Leu 130 135 140 Gly Cys Leu Val Lys Asp Tyr Phe Pro Glu Pro Val Thr Val Ser Trp 145 150 155 Asn Ser Gly Ala Leu Thr Ser Gly Val His Thr Phe Pro Ala Val Leu 165 170

Ser Ser Leu Gly Thr Gln Thr Tyr Ile Cys Asn Val Asn His Lys Pro 195 200 205

Gln Ser Ser Gly Leu Tyr Ser Leu Ser Ser Val Val Thr Val Pro Ser

185

Ser	Asn 210	Thr	Lys	Val	Asp	Lys 215	Arg	Val	Glu	Pro	Lys 220	Ser	Cys	Asp	Lys
Thr 225	His	Thr	Cys	Pro	Pro 230	Cys	Pro	Ala	Pro	Glu 235	Ala	Ala	Gly	Gly	Pro 240
Ser	Val	Phe	Leu	Phe 245	Pro	Pro	Lys	Pro	Lys 250	Asp	Thr	Leu	Met	Ile 255	Ser
Arg	Thr	Pro	Glu 260	Val	Thr	Cys	Val	Val 265	Val	Asp	Val	Ser	His 270	Glu	Asp
Pro	Glu	Val 275	Lys	Phe	Asn	Trp	Tyr 280	Val	Asp	Gly	Val	Glu 285	Val	His	Asn
Ala	Lys 290	Thr	Lys	Pro	Arg	Glu 295	Glu	Gln	Tyr	Asn	Ser 300	Thr	Tyr	Arg	Val
Val 305	Ser	Val	Leu	Thr	Val 310	Leu	His	Gln	Asp	Trp 315	Leu	Asn	Gly	Lys	Glu 320
Tyr	Lys	Cys	Lys	Val 325	Ser	Asn	Lys	Ala	Leu 330	Pro	Ala	Pro	Ile	Glu 335	Lys
Thr	Ile	Ser	Lys 340	Ala	Lys	Gly	Gln	Pro 345	Arg	Glu	Pro	Gln	Val 350	Tyr	Thr
Leu	Pro	Pro 355	Ser	Arg	Glu	Glu	Met 360	Thr	Lys	Asn	Gln	Val 365	Ser	Leu	Ser
Cys	Ala 370	Val	Lys	Gly	Phe	Tyr 375	Pro	Ser	Asp	Ile	Ala 380	Val	Glu	Trp	Glu
Ser 385	Asn	Gly	Gln	Pro	Glu 390	Asn	Asn	Tyr	Lys	Thr 395	Thr	Pro	Pro	Val	Leu 400
Asp	Ser	Asp	Gly	Ser 405	Phe	Phe	Leu	Val	Ser 410	Lys	Leu	Thr	Val	Asp 415	Lys
Ser	Arg	Trp	Gln 420	Gln	Gly	Asn	Val	Phe 425	Ser	Cys	Ser	Val	Met 430	His	Glu
Ala	Leu	His 435	Asn	Arg	Tyr	Thr	Gln 440	Lys	Ser	Leu	Ser	Leu 445	Ser	Pro	Gly

Lys

<210 <211 <212 <213	L> 2 2> 1	73 218 БЕЛОН Искус		енная	н пос	следс	рват∈	ельно	ОСТЬ							
<220 <223 торн	7 <8 1 йон	Четве молен ЈВА-4	сулы	н пој	ипег	ІТИДН	іая і	цепь	уние	зерса	λЛЬΗС	ой би	испец	іифич	иой	адап-
<400)> '	73														
Glu 1	Ile	Val	Leu	Thr 5	Gln	Ser	Pro	Ala	Thr 10	Leu	Ser	Leu	Ser	Pro 15	Gly	
Glu	Arg	Ala	Thr 20	Leu	Ser	Cys	Arg	Ala 25	Ser	Glu	Ser	Val	Asp 30	Asn	Tyr	
Gly	Met	Ser 35	Phe	Met	Asn	Trp	Phe 40	Gln	Gln	Lys	Pro	Gly 45	Gln	Pro	Pro	
Lys	Leu 50	Leu	Ile	His	Ala	Ala 55	Ser	Asn	Gln	Gly	Ser 60	Gly	Val	Pro	Ser	
Arg 65	Phe	Ser	Gly	Ser	Gly 70	Ser	Gly	Thr	Asp	Phe 75	Thr	Leu	Thr	Ile	Ser 80	
Ser	Leu	Glu	Pro	Glu 85	Asp	Phe	Ala	Val	Tyr 90	Phe	Cys	Gln	Gln	Ser 95	Lys	
Glu	Val	Pro	Tyr 100	Thr	Phe	Gly	Gly	Gly 105	Thr	Lys	Val	Glu	Ile 110	Lys	Arg	
Thr	Val	Ala 115	Ala	Pro	Ser	Val	Phe 120	Ile	Phe	Pro	Pro	Ser 125	Asp	Glu	Gln	
Leu	Lys 130	Ser	Gly	Thr	Ala	Ser 135	Val	Val	Cys	Leu	Leu 140	Asn	Asn	Phe	Tyr	
Pro 145	Arg	Glu	Ala	Lys	Val 150	Gln	Trp	Lys	Val	Asp 155	Asn	Ala	Leu	Gln	Ser 160	

Gly Asn Ser Gln Glu Ser Val Thr Glu Gln Asp Ser Lys Asp Ser Thr 165 170 170

Tyr Ser Leu Ser Ser Thr Leu Thr Leu Ser Lys Ala Asp Tyr Glu Lys 180 185 His Lys Val Tyr Ala Cys Glu Val Thr His Gln Gly Leu Ser Ser Pro 200 Val Thr Lys Ser Phe Asn Arg Gly Glu Cys 210 215 <210> 74 <211> 575 <212> БЕЛОК <213> Искусственная последовательность <220> <223> Третья полипептидная цепь универсальной биспецифичной адапторной молекулы UBA-5 <400> 74 Glu Ile Val Leu Thr Gln Ser Pro Ala Thr Leu Ser Leu Ser Pro Gly 10 Glu Arg Ala Thr Leu Ser Cys Arg Ala Ser Glu Ser Val Asp Asn Tyr 20 25 Gly Met Ser Phe Met Asn Trp Phe Gln Gln Lys Pro Gly Gln Pro Pro 35 40 4.5 Lys Leu Ieu Ile His Ala Ala Ser Asn Gln Gly Ser Gly Val Pro Ser 50 55 Arg Phe Ser Gly Ser Gly Ser Gly Thr Asp Phe Thr Leu Thr Ile Ser 70 75 Ser Leu Glu Pro Glu Asp Phe Ala Val Tyr Phe Cys Gln Gln Ser Lys 90 95 Glu Val Pro Tyr Thr Phe Gly Gly Gly Thr Lys Val Glu Ile Lys Gly 100 105 Gly Gly Gly Ser Gly Gly Gly Ser Gly Gly Gly Ser Gln Val 115 120 Gln Leu Val Gln Ser Gly Ala Glu Val Lys Lys Pro Gly Ala Ser Val

135

140

Lys 145	Val	Ser	Cys	Lys	Ala 150	Ser	Gly	Tyr	Ser	Phe 155	Thr	Ser	Tyr	Trp	Met 160
Asn	Trp	Val	Arg	Gln 165	Ala	Pro	Gly	Gln	Gly 170	Leu	Glu	Trp	Ile	Gly 175	Val
Ile	His	Pro	Ser 180	Asp	Ser	Glu	Thr	Trp 185	Leu	Asp	Gln	Lys	Phe 190	Lys	Asp
Arg	Val	Thr 195	Ile	Thr	Val	Asp	Lys 200	Ser	Thr	Ser	Thr	Ala 205	Tyr	Met	Glu
Leu	Ser 210	Ser	Leu	Arg	Ser	Glu 215	Asp	Thr	Ala	Val	Tyr 220	Tyr	Cys	Ala	Arg
Glu 225	His	Tyr	Gly	Thr	Ser 230	Pro	Phe	Ala	Tyr	Trp 235	Gly	Gln	Gly	Thr	Leu 240
Val	Thr	Val	Ser	Ser 245	Ala	Ser	Thr	Lys	Gly 250	Pro	Ser	Val	Phe	Pro 255	Leu
Ala	Pro	Ser	Ser 260	Lys	Ser	Thr	Ser	Gly 265	Gly	Thr	Ala	Ala	Leu 270	Gly	Cys
Leu	Val	Lys 275	Asp	Tyr	Phe	Pro	Glu 280	Pro	Val	Thr	Val	Ser 285	Trp	Asn	Ser
Gly	Ala 290		Thr		Gly	Val 295		Thr		Pro	Ala 300	Val	Leu	Gln	Ser
Ser 305	Gly	Leu	Tyr	Ser	Leu 310	Ser	Ser	Val	Val	Thr 315	Val	Pro	Ser	Ser	Ser 320
Leu	Gly	Thr	Gln	Thr 325	Tyr	Ile	Cys	Asn	Val 330	Asn	His	Lys	Pro	Ser 335	Asn
Thr	Lys	Val	Asp 340	Lys	Arg	Val	Glu	Pro 345	Lys	Ser	Cys	Asp	Lys 350	Thr	His
Thr	Cys	Pro 355	Pro	Cys	Pro	Ala	Pro 360	Glu	Ala	Ala	Gly	Gly 365	Pro	Ser	Val
Phe	Leu 370	Phe	Pro	Pro	Lys	Pro 375	Lys	Asp	Thr	Leu	Met 380	Ile	Ser	Arg	Thr

Pro 385	Glu	Val	Thr	Cys	Val 390	Val	Val	Asp	Val	Ser 395	His	Glu	Asp	Pro	Glu 400
Val	Lys	Phe	Asn	Trp 405	Tyr	Val	Asp	Gly	Val 410	Glu	Val	His	Asn	Ala 415	Lys
Thr	Lys	Pro	Arg 420	Glu	Glu	Gln	Tyr	Asn 425	Ser	Thr	Tyr	Arg	Val 430	Val	Ser
Val	Leu	Thr 435	Val	Leu	His	Gln	Asp 440	Trp	Leu	Asn	Gly	Lys 445	Glu	Tyr	Lys
Cys	Lys 450	Val	Ser	Asn	Lys	Ala 455	Leu	Pro	Ala	Pro	Ile 460	Glu	Lys	Thr	Ile
Ser 465	Lys	Ala	Lys	Gly	Gln 470	Pro	Arg	Glu	Pro	Gln 475	Val	Tyr	Thr	Leu	Pro 480
Pro	Ser	Arg	Glu	Glu 485	Met	Thr	Lys	Asn	Gln 490	Val	Ser	Leu	Ser	Cys 495	Ala
Val	Lys	Gly	Phe 500	Tyr	Pro	Ser	Asp	Ile 505	Ala	Val	Glu	Trp	Glu 510	Ser	Asn
Gly	Gln	Pro 515	Glu	Asn	Asn	Tyr	Lys 520	Thr	Thr	Pro	Pro	Val 525	Leu	Asp	Ser
Asp	Gly 530	Ser	Phe	Phe	Leu	Val 535		Lys	Leu	Thr	Val 540		Lys	Ser	Arg
Trp 545	Gln	Gln	Gly	Asn	Val 550	Phe	Ser	Cys	Ser	Val 555	Met	His	Glu	Ala	Leu 560
His	Asn	Arg	Tyr	Thr 565	Gln	Lys	Ser	Leu	Ser 570	Leu	Ser	Pro	Gly	Lys 575	
<210 <211 <212 <213	L> 2 2> 1	75 223 БЕЛОН Ното		iens											
<220 <221 <222 <223	1 < 1 2>	MISC_ (1) CTLA-	. (223	3)	∋ка ,	вклн	очая	СИГ	нальн	ную і	тосле	едова	ателі	ьносл	гь (последо-

вательность в NCBI NP_005205.2)

<220>

<221> SIGNAL

<222> (1)..(34)

<223> Сигнальная последовательность

<400> 75

Met Ala Cys Leu Gly Phe Gln Arg His Lys Ala Gln Leu Asn Leu Ala 1 5 10 15

Thr Arg Thr Trp Pro Cys Thr Leu Leu Phe Phe Leu Leu Phe Ile Pro 20 25 30

Val Phe Cys Lys Ala Met His Val Ala Gln Pro Ala Val Val Leu Ala 35 40 45

Ser Ser Arg Gly Ile Ala Ser Phe Val Cys Glu Tyr Ala Ser Pro Gly 50 60

Lys Ala Thr Glu Val Arg Val Thr Val Leu Arg Gln Ala Asp Ser Gln 65 70 75 80

Val Thr Glu Val Cys Ala Ala Thr Tyr Met Met Gly Asn Glu Leu Thr 85 90 95

Phe Leu Asp Asp Ser Ile Cys Thr Gly Thr Ser Ser Gly Asn Gln Val 100 105 110

Asn Leu Thr Ile Gln Gly Leu Arg Ala Met Asp Thr Gly Leu Tyr Ile 115 120 125

Cys Lys Val Glu Leu Met Tyr Pro Pro Pro Tyr Tyr Leu Gly Ile Gly 130 135 140

Asn Gly Thr Gln Ile Tyr Val Ile Asp Pro Glu Pro Cys Pro Asp Ser 145 150 155 160

Asp Phe Leu Leu Trp Ile Leu Ala Ala Val Ser Ser Gly Leu Phe Phe 165 170 175

Tyr Ser Phe Leu Leu Thr Ala Val Ser Leu Ser Lys Met Leu Lys Lys 180 185 190

Arg Ser Pro Leu Thr Thr Gly Val Tyr Val Lys Met Pro Pro Thr Glu
195 200 205

```
Pro Glu Cys Glu Lys Gln Phe Gln Pro Tyr Phe Ile Pro Ile Asn
    210
                       215
<210> 76
<211> 118
<212> БЕЛОК
<213> Homo sapiens
<220>
<221> MISC_FEATURE
<222> (1)..(118)
<223> VH-домен антитела против CTLA-4 человека CTLA-4 mAb 1 (ипилиму-
маб)
<400> 76
Gln Val Gln Leu Val Glu Ser Gly Gly Val Val Gln Pro Gly Arg
                          10
Ser Leu Arg Leu Ser Cys Ala Ala Ser Gly Phe Thr Phe Ser Ser Tyr
           20
                               25
Thr Met His Trp Val Arg Gln Ala Pro Gly Lys Gly Leu Glu Trp Val
                           40
Thr Phe Ile Ser Tyr Asp Gly Asn Asn Lys Tyr Tyr Ala Asp Ser Val
Lys Gly Arg Phe Thr Ile Ser Arg Asp Asn Ser Lys Asn Thr Leu Tyr
65
                   70
Leu Gln Met Asn Ser Leu Arg Ala Glu Asp Thr Ala Ile Tyr Tyr Cys
                                                95
Ala Arg Thr Gly Trp Leu Gly Pro Phe Asp Tyr Trp Gly Gln Gly Thr
           100
                              105
                                                  110
Leu Val Thr Val Ser Ser
      115
<210> 77
<211> 108
<212> БЕЛОК
<213> Homo sapiens
<220>
```

<221> MISC_FEATURE

<222> (1)..(108) <223> VL-домен антитела против CTLA-4 человека CTLA-4 mAb 1 (ипилиму-<400> 77 Glu Ile Val Leu Thr Gln Ser Pro Gly Thr Leu Ser Leu Ser Pro Gly 5 10 Glu Arg Ala Thr Leu Ser Cys Arg Ala Ser Gln Ser Val Gly Ser Ser 20 2,5 30 Tyr Leu Ala Trp Tyr Gln Gln Lys Pro Gly Gln Ala Pro Arg Leu Leu 40 Ile Tyr Gly Ala Phe Ser Arg Ala Thr Gly Ile Pro Asp Arg Phe Ser 55 Gly Ser Gly Ser Gly Thr Asp Phe Thr Leu Thr Ile Ser Arg Leu Glu 70 75 Pro Glu Asp Phe Ala Val Tyr Tyr Cys Gln Gln Tyr Gly Ser Ser Pro 85 90 Trp Thr Phe Gly Gln Gly Thr Lys Val Glu Ile Lys 100 105 <210> 78 <211> 125 <212> БЕЛОК <213> Homo sapiens <220> <221> MISC FEATURE <222> (1)..(125) <223> VH-домен антитела против CTLA-4 человека CTLA-4 mAb 2 (тремелимумаб) <400> 78 Gln Val Gln Leu Val Glu Ser Gly Gly Gly Val Val Gln Pro Gly Arg 10 Ser Leu Arg Leu Ser Cys Ala Ala Ser Gly Phe Thr Phe Ser Ser Tyr 25 Gly Met His Trp Val Arg Gln Ala Pro Gly Lys Gly Leu Glu Trp Val

Ala Val Ile Trp Tyr Asp Gly Ser Asn Lys Tyr Tyr Ala Asp Ser Val 50 55 60

Lys Gly Arg Phe Thr Ile Ser Arg Asp Asn Ser Lys Asn Thr Leu Tyr 70 75

Leu Gln Met Asn Ser Leu Arg Ala Glu Asp Thr Ala Val Tyr Tyr Cys 85 90 95

Ala Arg Asp Pro Arg Gly Ala Thr Leu Tyr Tyr Tyr Tyr Gly Met 100 105 110

Asp Val Trp Gly Gln Gly Thr Thr Val Thr Val Ser Ser 120 115

<210> 79

<211> 107

<212> БЕЛОК

<213> Homo sapiens

<220>

<221> MISC_FEATURE

<222> (1)..(107) <223> VL-домен антитела против CTLA-4 человека CTLA-4 mAb 2 (тремелимумаб)

<400> 79

Asp Ile Gln Met Thr Gln Ser Pro Ser Ser Leu Ser Ala Ser Val Gly 5 10 1.5

Asp Arg Val Thr Ile Thr Cys Arg Ala Ser Gln Ser Ile Asn Ser Tyr 20 25 30

Leu Asp Trp Tyr Gln Gln Lys Pro Gly Lys Ala Pro Lys Leu Ile 35 40 45

Tyr Ala Ala Ser Ser Leu Gln Ser Gly Val Pro Ser Arg Phe Ser Gly 55

Ser Gly Ser Gly Thr Asp Phe Thr Leu Thr Ile Ser Ser Leu Gln Pro 70 75

Glu Asp Phe Ala Thr Tyr Tyr Cys Gln Gln Tyr Tyr Ser Thr Pro Phe 8.5 90

Thr Phe Gly Pro Gly Thr Lys Val Glu Ile Lys 100 105

<210><211><211><212><213>	80 217 БЕЛО Иску		энная	я по	следо	OBare	Эльно	ОСТЬ						
<220> <223>	Доме: S254				с-фра	агмеі	нта :	IgG1,	, co;	держа	ащие	заме	Эны 1	M252Y,
<220><221><222><222><223>	MISC (217 Xaa) (2	217)	пяет	cofo	ой лі	ниги	(K)	или	OTC	УТСТІ	зует		
<400>	80													
Ala Pr 1	o Glu	Ala	Ala 5	Gly	Gly	Pro	Ser	Val 10	Phe	Leu	Phe	Pro	Pro 15	Lys
Pro Ly	s Asp	Thr 20	Leu	Tyr	Ile	Thr	Arg 25	Glu	Pro	Glu	Val	Thr 30	Cys	Val
Val Va	l Asp 35	Val	Ser	His	Glu	Asp 40	Pro	Glu	Val	Lys	Phe 45	Asn	Trp	Tyr
Val As	p Gly	Val	Glu	Val	His 55	Asn	Ala	Lys	Thr	Lys 60	Pro	Arg	Glu	Glu
Gln Ty 65	r Asn	Ser	Thr	Tyr 70	Arg	Val	Val	Ser	Val 75	Leu	Thr	Val	Leu	His 80
Gln As	p Trp	Leu	Asn 85	Gly	Lys	Glu	Tyr	Lys 90	Cys	Lys	Val	Ser	Asn 95	Lys
Ala Le	u Pro	Ala 100	Pro	Ile	Glu	Lys	Thr 105	Ile	Ser	Lys	Ala	Lys 110	Gly	Gln
Pro Ar	g Glu 115	Pro	Gln	Val	Tyr	Thr 120	Leu	Pro	Pro	Ser	Arg 125	Glu	Glu	Met
Thr Ly		Gln	Val	Ser	Leu 135	Thr	Cys	Leu	Val	Lys 140	Gly	Phe	Tyr	Pro
Ser As	p Ile	Ala	Val	Glu 150	Trp	Glu	Ser	Asn	Gly 155	Gln	Pro	Glu	Asn	Asn 160

Tyr Lys Thr Thr Pro Pro Val Leu Asp Ser Asp Gly Ser Phe Phe Leu

	165	170		175
Tyr Ser Lys Leu 180	Thr Val Asp	Lys Ser Arg Trp 185	Gln Gln Gly 190	Asn Val
Phe Ser Cys Ser 195	Val Met His	Glu Ala Leu His 200	Asn His Tyr 205	Thr Gln
Lys Ser Leu Ser 210	Leu Ser Pro 215	Gly Xaa		
<210> 81 <211> 217 <212> БЕЛОК <213> Искусство	енная последс	овательность		
<220> <223> Домены С S254T и		агмента IgG4, со	держащие заме	∘ны М252Ү
<220> <221> MISC_FEA <222> (217)(<223> Хаа пред	217)	ой лизин (K) или	отсутствует	
<400> 81				
Ala Pro Glu Phe 1	Leu Gly Gly 5	Pro Ser Val Phe	Leu Phe Pro	Pro Lys 15
Pro Lys Asp Thr 20	-	Thr Arg Glu Pro	Glu Val Thr	_
Val Val Asp Val 35	Ser Gln Glu	Asp Pro Glu Val	Gln Phe Asn 45	Trp Tyr
Val Asp Gly Val	Glu Val His 55	Asn Ala Lys Thr	Lys Pro Arg	Glu Glu
Gln Phe Asn Ser 65	Thr Tyr Arg 70	Val Val Ser Val 75	Leu Thr Val	Leu His 80
Gln Asp Trp Leu	Asn Gly Lys 85	Glu Tyr Lys Cys 90	Lys Val Ser	Asn Lys 95
Gly Leu Pro Ser 100	Ser Ile Glu	Lys Thr Ile Ser	Lys Ala Lys 110	Gly Gln

Pro	Arg	Glu 115	Pro	Gln	Val	Tyr	Thr 120	Leu	Pro	Pro	Ser	Gln 125	Glu	Glu	Met	
Thr	Lys 130	Asn	Gln	Val	Ser	Leu 135	Thr	Cys	Leu	Val	Lys 140	Gly	Phe	Tyr	Pro	
Ser 145	Asp	Ile	Ala	Val	Glu 150	Trp	Glu	Ser	Asn	Gly 155	Gln	Pro	Glu	Asn	Asn 160	
Tyr	Lys	Thr	Thr	Pro 165	Pro	Val	Leu	Asp	Ser 170	Asp	Gly	Ser	Phe	Phe 175	Leu	
Tyr	Ser	Arg	Leu 180	Thr	Val	Asp	Lys	Ser 185	Arg	Trp	Gln	Glu	Gly 190	Asn	Val	
Phe	Ser	Cys 195	Ser	Val	Met	His	Glu 200	Ala	Leu	His	Asn	His 205	Tyr	Thr	Gln	
Lys	Ser 210	Leu	Ser	Leu	Ser	Leu 215	Gly	Xaa								
<210 <211 <212 <213	2> I	217 БЕЛОІ	K CCTB	энная	00п н	следо)BaTe	Эльн(ОСТЬ							
<220 <223	3> (_		домен 4Т и			СНЗ І	Гс−фр	рагме	≘нта	IgG1
<220 <221 <222 <223	1> 1 2>	(217)	_FEAT)(2 предо	217)	пяет	cofo	ой лі	ниги	(K)	или	OTC	УТСТІ	зует			
< 400)> <	32														
Ala 1	Pro	Glu	Ala	Ala 5	Gly	Gly	Pro	Ser	Val 10	Phe	Leu	Phe	Pro	Pro 15	Lys	
Pro	Lys	Asp	Thr 20	Leu	Tyr	Ile	Thr	Arg 25	Glu	Pro	Glu	Val	Thr 30	Cys	Val	
Val	Val	Asp 35	Val	Ser	His	Glu	Asp 40	Pro	Glu	Val	Lys	Phe 45	Asn	Trp	Tyr	
Val	Asp	Gly	Val	Glu	Val	His	Asn	Ala	Lys	Thr	Lys	Pro	Arg	Glu	Glu	

Gln 65	Tyr	Asn	Ser	Thr	Tyr 70	Arg	Val	Val	Ser	Val 75	Leu	Thr	Val	Leu	His 80	
Gln	Asp	Trp	Leu	Asn 85	Gly	Lys	Glu	Tyr	Lys 90	Cys	Lys	Val	Ser	Asn 95	Lys	
Ala	Leu	Pro	Ala 100	Pro	Ile	Glu	Lys	Thr 105	Ile	Ser	Lys	Ala	Lys 110	Gly	Gln	
Pro	Arg	Glu 115	Pro	Gln	Val	Tyr	Thr 120	Leu	Pro	Pro	Ser	Arg 125	Glu	Glu	Met	
Thr	Lys 130	Asn	Gln	Val	Ser	Leu 135	Trp	Cys	Leu	Val	Lys 140	Gly	Phe	Tyr	Pro	
Ser 145	Asp	Ile	Ala	Val	Glu 150	Trp	Glu	Ser	Asn	Gly 155	Gln	Pro	Glu	Asn	Asn 160	
Tyr	Lys	Thr	Thr	Pro 165	Pro	Val	Leu	Asp	Ser 170	Asp	Gly	Ser	Phe	Phe 175	Leu	
Tyr	Ser	Lys	Leu 180	Thr	Val	Asp	Lys	Ser 185	Arg	Trp	Gln	Gln	Gly 190	Asn	Val	
Phe	Ser	Cys 195	Ser	Val	Met	His	Glu 200	Ala	Leu	His	Asn	His 205	Tyr	Thr	Gln	
Lys	Ser 210	Leu	Ser	Leu	Ser	Pro 215	Gly	Xaa								
<210 <211 <212 <213	L> :	83 217 БЕЛОН Искус		енная)ON F	следо)BaTe	Эльно	ОСТЬ							
<220 <223	3>	Содер Содер										-СНЗ	Fc-¢	рагы	иента	IgG1
<220 <221 <222 <223	L> 1 2>	MISC_ (217) Xaa r	(2	217)	пяет	cofa	ой лі	ИЗИН	(K)	или	OTC	/тсті	зует			
<400)>	83														
Ala 1	Pro	Glu	Ala	Ala 5	Gly	Gly	Pro	Ser	Val 10	Phe	Leu	Phe	Pro	Pro 15	Lys	

Pro	Lys	Asp	Thr 20	Leu	Tyr	Ile	Thr	Arg 25	Glu	Pro	Glu	Val	Thr 30	Cys	Val
Val	Val	Asp 35	Val	Ser	His	Glu	Asp 40	Pro	Glu	Val	Lys	Phe 45	Asn	Trp	Tyr
Val	Asp 50	Gly	Val	Glu	Val	His 55	Asn	Ala	Lys	Thr	Lys 60	Pro	Arg	Glu	Glu
Gln 65	Tyr	Asn	Ser	Thr	Tyr 70	Arg	Val	Val	Ser	Val 75	Leu	Thr	Val	Leu	His 80
Gln	Asp	Trp	Leu	Asn 85	Gly	Lys	Glu	Tyr	Lys 90	Cys	Lys	Val	Ser	Asn 95	Lys
Ala	Leu	Pro	Ala 100	Pro	Ile	Glu	Lys	Thr 105	Ile	Ser	Lys	Ala	Lys 110	Gly	Glr
Pro	Arg	Glu 115	Pro	Gln	Val	Tyr	Thr 120	Leu	Pro	Pro	Ser	Arg 125	Glu	Glu	Met
Thr	Lys 130	Asn	Gln	Val	Ser	Leu 135	Ser	Cys	Ala	Val	Lys 140	Gly	Phe	Tyr	Pro
Ser 145	Asp	Ile	Ala	Val	Glu 150	Trp	Glu	Ser	Asn	Gly 155	Gln	Pro	Glu	Asn	Asr 160
Tyr	Lys	Thr	Thr	Pro 165	Pro	Val	Leu	Asp	Ser 170	Asp	Gly	Ser	Phe	Phe 175	Leu
Val	Ser	Lys	Leu 180	Thr	Val	Asp	Lys	Ser 185	Arg	Trp	Gln	Gln	Gly 190	Asn	Val
Phe	Ser	Cys 195	Ser	Val	Met	His	Glu 200	Ala	Leu	His	Asn	Arg 205	Tyr	Thr	Glr
Lys	Ser 210	Leu	Ser	Leu	Ser	Pro 215	Gly	Xaa							
<210		34													
<211 <212		217 ЗЕЛОІ	К												
<213				енная	оп Б	следо	овате	ельно	ОСТЬ						

<220>

<223> Содержащий "выступ" вариант доменов СН2-СН3 Fc-фрагмента IgG4, содержащий замены M252Y, S254T и T256E

<220>

<221> MISC_FEATURE

<222> (217)..(217)

<223> Хаа представляет собой лизин (К) или отсутствует

<400> 84

Ala Pro Glu Phe Leu Gly Gly Pro Ser Val Phe Leu Phe Pro Pro Lys
1 10 15

Pro Lys Asp Thr Leu Tyr Ile Thr Arg Glu Pro Glu Val Thr Cys Val 20 25 30

Val Val Asp Val Ser Gln Glu Asp Pro Glu Val Gln Phe Asn Trp Tyr 35 40 45

Val Asp Gly Val Glu Val His Asn Ala Lys Thr Lys Pro Arg Glu Glu 50 55 60

Gln Phe Asn Ser Thr Tyr Arg Val Val Ser Val Leu Thr Val Leu His 65 70 75 80

Gln Asp Trp Leu Asn Gly Lys Glu Tyr Lys Cys Lys Val Ser Asn Lys 85 90 95

Gly Leu Pro Ser Ser Ile Glu Lys Thr Ile Ser Lys Ala Lys Gly Gln $100 \hspace{1.5cm} 105 \hspace{1.5cm} 110 \hspace{1.5cm}$

Pro Arg Glu Pro Gln Val Tyr Thr Leu Pro Pro Ser Gln Glu Glu Met 115 120 125

Thr Lys Asn Gln Val Ser Leu Trp Cys Leu Val Lys Gly Phe Tyr Pro 130 135 140

Tyr Lys Thr Thr Pro Pro Val Leu Asp Ser Asp Gly Ser Phe Phe Leu 165 170 175

Tyr Ser Arg Leu Thr Val Asp Lys Ser Arg Trp Gln Glu Gly Asn Val 180 185 190

Phe Ser Cys Ser Val Met His Glu Ala Leu His Asn His Tyr Thr Gln

Lys Se 21		Ser	Leu	Ser	Leu 215	Gly	Xaa								
<210><211><211><212><213>	217 БЕЛО		энна:	я по	следо	OBare	Эльн	OCTЬ							
<220> <223>		ржащ ржащ				_					-СНЗ	Fc-	рагі	мента	IgG4,
<220> <221> <222> <223>	(217) (2	217)	пяет	coto	ой лі	изин	(K)	или	OTC	утсті	зует			
<400>	85														
Ala Pr 1	o Glu	Phe	Leu 5	Gly	Gly	Pro	Ser	Val 10	Phe	Leu	Phe	Pro	Pro 15	Lys	
Pro Ly	s Asp	Thr 20	Leu	Tyr	Ile	Thr	Arg 25	Glu	Pro	Glu	Val	Thr 30	Cys	Val	
Val Va	l Asp 35	Val	Ser	Gln	Glu	Asp 40	Pro	Glu	Val	Gln	Phe 45	Asn	Trp	Tyr	
Val As	p Gly	Val	Glu	Val	His 55	Asn	Ala	Lys	Thr	Lys 60	Pro	Arg	Glu	Glu	
Gln Ph 65	e Asn	Ser	Thr	Tyr 70	Arg	Val	Val	Ser	Val 75	Leu	Thr	Val	Leu	His 80	
Gln As	p Trp	Leu	Asn 85	Gly	Lys	Glu	Tyr	Lys 90	Cys	Lys	Val	Ser	Asn 95	Lys	
Gly Le	u Pro	Ser 100	Ser	Ile	Glu	Lys	Thr 105	Ile	Ser	Lys	Ala	Lys 110	Gly	Gln	
Pro Ar	g Glu 115		Gln	Val	Tyr	Thr 120	Leu	Pro	Pro	Ser	Gln 125	Glu	Glu	Met	
Thr Ly		Gln	Val	Ser	Leu 135	Ser	Cys	Ala	Val	Lys 140	Gly	Phe	Tyr	Pro	

Tyr Lys Thr Thr Pro Pro Val Leu Asp Ser Asp Gly Ser Phe Phe Leu 165 170 175

Val Ser Arg Leu Thr Val Asp Lys Ser Arg Trp Gln Glu Gly Asn Val 180 185 190

Phe Ser Cys Ser Val Met His Glu Ala Leu His Asn Arg Tyr Thr Gln 195 200 205

Lys Ser Leu Ser Leu Ser Leu Gly Xaa 210 215

<210> 86

<211> 119

<212> БЕЛОК

<213> Искусственная последовательность

<220>

<223> VH-домен гуманизированного антитела против PD-1 человека (PD-1 mAb 6 I VH)

<400> 86

Gln Val Gln Leu Val Gln Ser Gly Ala Glu Val Lys Lys Pro Gly Ala 1 $$ 5 $$ 10 $$ 15

Ser Val Lys Val Ser Cys Lys Ala Ser Gly Tyr Ser Phe Thr Ser Tyr 20 25 30

Trp Met Asn Trp Val Arg Gln Ala Pro Gly Gln Gly Leu Glu Trp Ile $35 \hspace{1cm} 40 \hspace{1cm} 45$

Gly Val Ile His Pro Ser Asp Ser Glu Thr Trp Leu Asp Gln Lys Phe 50 55 60

Lys Asp Arg Val Thr Ile Thr Val Asp Lys Ser Thr Ser Thr Ala Tyr 65 70 75 80

Met Glu Leu Ser Ser Leu Arg Ser Glu Asp Thr Ala Val Tyr Tyr Cys 85 90 95

Ala Arg Glu His Tyr Gly Thr Ser Pro Phe Ala Tyr Trp Gly Gln Gly 100 105 110

Thr Leu Val Thr Val Ser Ser

<210 <211 <212 <213	L> 2>	87 111 БЕЛОН Искус		енная	оп н	следо	рвате	Эльно	ОСТЬ							
<220 <223 mAb	3> 6 S		мен	гума	чениз	ирова	анноі	ro an	нтит€	ела і	проти	1B PI)-1 t	иелов	зека	(PD-1
<400)>	87														
Glu 1	Ile	Val	Leu	Thr 5	Gln	Ser	Pro	Ala	Thr 10	Leu	Ser	Leu	Ser	Pro 15	Gly	
Glu	Arg	Ala	Thr 20	Leu	Ser	Cys	Arg	Ala 25	Ser	Glu	Ser	Val	Asp 30	Asn	Tyr	
Gly	Met	Ser 35	Phe	Met	Asn	Trp	Phe 40	Gln	Gln	Lys	Pro	Gly 45	Gln	Pro	Pro	
Lys	Leu 50	Leu	Ile	His	Ala	Ala 55	Ser	Asn	Gln	Gly	Ser 60	Gly	Val	Pro	Ser	
Arg 65	Phe	Ser	Gly	Ser	Gly 70	Ser	Gly	Thr	Asp	Phe 75	Thr	Leu	Thr	Ile	Ser 80	
Ser	Leu	Glu	Pro	Glu 85	Asp	Phe	Ala	Val	Tyr 90	Phe	Cys	Gln	Gln	Ser 95	Lys	
Glu	Val	Pro	Tyr 100	Thr	Phe	Gly	Gly	Gly 105	Thr	Lys	Val	Glu	Ile 110	Lys		
<210 <211 <212 <213	L> 2>	88 445 БЕЛОН Искус		енная	оп н	следо)BaTe	Эльно	OCTL							
<220 <223		Тяжеј	і кы	цепь	анти	итела	а про	ОТИВ	PD-1	lчел	повеі	ka PI)-1 n	nAb (5 G4P	
<400)>	88														
Gln 1	Val	Gln	Leu	Val 5	Gln	Ser	Gly	Ala	Glu 10	Val	Lys	Lys	Pro	Gly 15	Ala	
Ser	Val	Lys	Val 20	Ser	Cys	Lys	Ala	Ser 25	Gly	Tyr	Ser	Phe	Thr 30	Ser	Tyr	

Trp	Met	Asn 35	Trp	Val	Arg	Gln	Ala 40	Pro	Gly	Gln	Gly	Leu 45	Glu	Trp	Ile
Gly	Val 50	Ile	His	Pro	Ser	Asp 55	Ser	Glu	Thr	Trp	Leu 60	Asp	Gln	Lys	Phe
Lys 65	Asp	Arg	Val	Thr	Ile 70	Thr	Val	Asp	Lys	Ser 75	Thr	Ser	Thr	Ala	Tyr 80
Met	Glu	Leu	Ser	Ser 85	Leu	Arg	Ser	Glu	Asp 90	Thr	Ala	Val	Tyr	Tyr 95	Cys
Ala	Arg	Glu	His 100	Tyr	Gly	Thr	Ser	Pro 105	Phe	Ala	Tyr	Trp	Gly 110	Gln	Gly
Thr	Leu	Val 115	Thr	Val	Ser	Ser	Ala 120	Ser	Thr	Lys	Gly	Pro 125	Ser	Val	Phe
Pro	Leu 130	Ala	Pro	Cys	Ser	Arg 135	Ser	Thr	Ser	Glu	Ser 140	Thr	Ala	Ala	Leu
Gly 145	Cys	Leu	Val	Lys	Asp 150	Tyr	Phe	Pro	Glu	Pro 155	Val	Thr	Val	Ser	Trp 160
Asn	Ser	Gly	Ala	Leu 165	Thr	Ser	Gly	Val	His 170	Thr	Phe	Pro	Ala	Val 175	Leu
Gln	Ser	Ser	Gly 180		Tyr			Ser 185	Ser	Val	Val	Thr	Val 190	Pro	Ser
Ser	Ser	Leu 195	Gly	Thr	Lys	Thr	Tyr 200	Thr	Cys	Asn	Val	Asp 205	His	Lys	Pro
Ser	Asn 210	Thr	Lys	Val	Asp	Lys 215	Arg	Val	Glu	Ser	Lys 220	Tyr	Gly	Pro	Pro
Cys 225	Pro	Pro	Cys	Pro	Ala 230	Pro	Glu	Phe	Leu	Gly 235	Gly	Pro	Ser	Val	Phe 240
Leu	Phe	Pro	Pro	Lys 245	Pro	Lys	Asp	Thr	Leu 250	Met	Ile	Ser	Arg	Thr 255	Pro
Glu	Val	Thr	Cys 260	Val	Val	Val	Asp	Val 265	Ser	Gln	Glu	Asp	Pro 270	Glu	Val

Gln	Phe	Asn 275	Trp	Tyr	Val	Asp	Gly 280	Val	Glu	Val	His	Asn 285	Ala	Lys	Thr
Lys	Pro 290	Arg	Glu	Glu	Gln	Phe 295	Asn	Ser	Thr	Tyr	Arg 300	Val	Val	Ser	Val
Leu 305	Thr	Val	Leu	His	Gln 310	Asp	Trp	Leu	Asn	Gly 315	Lys	Glu	Tyr	Lys	Cys 320
Lys	Val	Ser	Asn	Lys 325	Gly	Leu	Pro	Ser	Ser 330	Ile	Glu	Lys	Thr	Ile 335	Ser
Lys	Ala	Lys	Gly 340	Gln	Pro	Arg	Glu	Pro 345	Gln	Val	Tyr	Thr	Leu 350	Pro	Pro
Ser	Gln	Glu 355	Glu	Met	Thr	Lys	Asn 360	Gln	Val	Ser	Leu	Thr 365	Cys	Leu	Val
Lys	Gly 370	Phe	Tyr	Pro	Ser	Asp 375	Ile	Ala	Val	Glu	Trp 380	Glu	Ser	Asn	Gly
Gln 385	Pro	Glu	Asn	Asn	Tyr 390	Lys	Thr	Thr	Pro	Pro 395	Val	Leu	Asp	Ser	Asp 400
Gly	Ser	Phe	Phe	Leu 405	Tyr	Ser	Arg	Leu	Thr 410	Val	Asp	Lys	Ser	Arg 415	Trp
Gln	Glu	Gly	Asn 420	Val	Phe	Ser	Cys	Ser 425	Val	Met	His	Glu	Ala 430	Leu	His
Asn	His	Tyr 435	Thr	Gln	Lys	Ser	Leu 440	Ser	Leu	Ser	Leu	Gly 445			
<210 <211 <212 <213	L> 2 2> E	39 218 БЕЛОН Искус		энная	н пос	следо)BaTe	Эльн(OCTЬ						
<220 <223		lerka	я це	епь а	антиг	гела	проз	гив І	PD-1	чело	овека	a PD-	-1 m <i>2</i>	Ab 6	G4P
<400)> (39													
Glu 1	Ile	Val	Leu	Thr 5	Gln	Ser	Pro	Ala	Thr 10	Leu	Ser	Leu	Ser	Pro 15	Gly

Glu Arg Ala Thr Leu Ser Cys Arg Ala Ser Glu Ser Val Asp Asn Tyr

Gly Met Ser Phe Met Asn Trp Phe Gln Gln Lys Pro Gly Gln Pro Pro 40 45

Lys Leu Ieu Ile His Ala Ala Ser Asn Gln Gly Ser Gly Val Pro Ser 55

Arg Phe Ser Gly Ser Gly Ser Gly Thr Asp Phe Thr Leu Thr Ile Ser 70

Ser Leu Glu Pro Glu Asp Phe Ala Val Tyr Phe Cys Gln Gln Ser Lys

Glu Val Pro Tyr Thr Phe Gly Gly Gly Thr Lys Val Glu Ile Lys Arg 100 105

Thr Val Ala Pro Ser Val Phe Ile Phe Pro Pro Ser Asp Glu Gln 120 125 115

Leu Lys Ser Gly Thr Ala Ser Val Val Cys Leu Leu Asn Asn Phe Tyr 130 135

Pro Arg Glu Ala Lys Val Gln Trp Lys Val Asp Asn Ala Leu Gln Ser

Gly Asn Ser Gln Glu Ser Val Thr Glu Gln Asp Ser Lys Asp Ser Thr 165 170

Tyr Ser Leu Ser Ser Thr Leu Thr Leu Ser Lys Ala Asp Tyr Glu Lys 180 185

His Lys Val Tyr Ala Cys Glu Val Thr His Gln Gly Leu Ser Ser Pro 195 205 200

Val Thr Lys Ser Phe Asn Arg Gly Glu Cys 215

<210> 90

<211> 118

<212> БЕЛОК <213> Mus musculus

<220>

<221> MISC_FEATURE

<222> (1)..(118)

<223> VH-домен антитела против CTLA-4 человека CTLA-4 mAb 3 <400> 90 Gln Val Gln Leu Val Glu Ser Gly Gly Val Val Gln Pro Gly Arg 10 Ser Leu Arg Leu Ser Cys Ala Ala Ser Gly Phe Thr Phe Ser Ser Tyr 2.0 25 Thr Met His Trp Val Arg Gln Ala Pro Gly Lys Gly Leu Glu Trp Val Thr Phe Ile Ser Tyr Asp Gly Ser Asn Lys His Tyr Ala Asp Ser Val 55 Lys Gly Arg Phe Thr Val Ser Arg Asp Asn Ser Lys Asn Thr Leu Tyr Leu Gln Met Asn Ser Leu Arg Ala Glu Asp Thr Ala Ile Tyr Tyr Cys 85 90 Ala Arg Thr Gly Trp Leu Gly Pro Phe Asp Tyr Trp Gly Gln Gly Thr 100 105 110 Leu Val Thr Val Ser Ser 115 <210> 91 <211> 108 <212> БЕЛОК <213> Mus musculus <220> <221> MISC_FEATURE <222> (1)..(108) <223> VL-домен антитела против CTLA-4 человека CTLA-4 mAb 3 <400> 91 Glu Ile Val Leu Thr Gln Ser Pro Gly Thr Leu Ser Leu Ser Pro Gly 10 Glu Arg Ala Thr Leu Ser Cys Arg Ala Ser Gln Ser Val Ser Ser Ser 20 25 Phe Leu Ala Trp Tyr Gln Gln Lys Pro Gly Gln Ala Pro Arg Leu Leu

Ile Tyr Gly Ala Ser Ser Arg Ala Thr Gly Ile Pro Asp Arg Phe Ser 55 Gly Ser Gly Ser Gly Thr Asp Phe Thr Leu Thr Ile Ser Arg Leu Glu 70 75 Pro Glu Asp Phe Ala Val Tyr Tyr Cys Gln Gln Tyr Gly Ser Ser Pro 85 90 Trp Thr Phe Gly Gln Gly Thr Lys Val Glu Ile Lys 100 105 <210> 92 <211> 448 <212> БЕЛОК <213> Mus musculus <220> <221> MISC_FEATURE <222> (1)..(448) <223> Тяжелая цепь антитела против СТLA-4 человека mAb 3 G1AA <400> 92 Gln Val Gln Leu Val Glu Ser Gly Gly Gly Val Val Gln Pro Gly Arg 10 Ser Leu Arg Leu Ser Cys Ala Ala Ser Gly Phe Thr Phe Ser Ser Tyr 20 25 Thr Met His Trp Val Arg Gln Ala Pro Gly Lys Gly Leu Glu Trp Val 35 40 Thr Phe Ile Ser Tyr Asp Gly Ser Asn Lys His Tyr Ala Asp Ser Val 50 55 60 Lys Gly Arg Phe Thr Val Ser Arg Asp Asn Ser Lys Asn Thr Leu Tyr 70 75 Leu Gln Met Asn Ser Leu Arg Ala Glu Asp Thr Ala Ile Tyr Tyr Cys 85 Ala Arg Thr Gly Trp Leu Gly Pro Phe Asp Tyr Trp Gly Gln Gly Thr 100 105

125

Leu Val Thr Val Ser Ser Ala Ser Thr Lys Gly Pro Ser Val Phe Pro

120

Leu	Ala 130	Pro	Ser	Ser	Lys	Ser 135	Thr	Ser	Gly	Gly	Thr 140	Ala	Ala	Leu	Gly
Cys 145	Leu	Val	Lys	Asp	Tyr 150	Phe	Pro	Glu	Pro	Val 155	Thr	Val	Ser	Trp	Asn 160
Ser	Gly	Ala	Leu	Thr 165	Ser	Gly	Val	His	Thr 170	Phe	Pro	Ala	Val	Leu 175	Gln
Ser	Ser	Gly	Leu 180	Tyr	Ser	Leu	Ser	Ser 185	Val	Val	Thr	Val	Pro 190	Ser	Ser
Ser	Leu	Gly 195	Thr	Gln	Thr	Tyr	Ile 200	Cys	Asn	Val	Asn	His 205	Lys	Pro	Ser
Asn	Thr 210	Lys	Val	Asp	Lys	Arg 215	Val	Glu	Pro	Lys	Ser 220	Cys	Asp	Lys	Thr
His 225	Thr	Cys	Pro	Pro	Cys 230	Pro	Ala	Pro	Glu	Ala 235	Ala	Gly	Gly	Pro	Ser 240
Val	Phe	Leu	Phe	Pro 245	Pro	Lys	Pro	Lys	Asp 250	Thr	Leu	Met	Ile	Ser 255	Arg
Thr	Pro	Glu	Val 260	Thr	Cys	Val	Val	Val 265	Asp	Val	Ser	His	Glu 270	Asp	Pro
Glu	Val	Lys 275	Phe	Asn	Trp	Tyr	Val 280	Asp	Gly	Val	Glu	Val 285	His	Asn	Ala
Lys	Thr 290	Lys	Pro	Arg	Glu	Glu 295	Gln	Tyr	Asn	Ser	Thr 300	Tyr	Arg	Val	Val
Ser 305	Val	Leu	Thr	Val	Leu 310	His	Gln	Asp	Trp	Leu 315	Asn	Gly	Lys	Glu	Tyr 320
Lys	Cys	Lys	Val	Ser 325	Asn	Lys	Ala	Leu	Pro 330	Ala	Pro	Ile	Glu	Lys 335	Thr
Ile	Ser	Lys	Ala 340	Lys	Gly	Gln	Pro	Arg 345	Glu	Pro	Gln	Val	Tyr 350	Thr	Leu
Pro	Pro	Ser 355	Arg	Glu	Glu	Met	Thr 360	Lys	Asn	Gln	Val	Ser 365	Leu	Thr	Cys

Leu Val Lys Gly Phe Tyr Pro Ser Asp Ile Ala Val Glu Trp Glu Ser 370 375 380

Asn Gly Gln Pro Glu Asn Asn Tyr Lys Thr Thr Pro Pro Val Leu Asp 385 390 395 400

Ser Asp Gly Ser Phe Phe Leu Tyr Ser Lys Leu Thr Val Asp Lys Ser 405 410 415

Arg Trp Gln Gly Asn Val Phe Ser Cys Ser Val Met His Glu Ala 420 425 430

Leu His Asn His Tyr Thr Gln Lys Ser Leu Ser Leu Ser Pro Gly Lys 435 440 445

<210> 93

<211> 444

<212> БЕЛОК

<213> Mus musculus

<220>

<221> MISC_FEATURE

<222> (1)..(444)

<223> Тяжелая цепь антитела против CTLA-4 человека mAb 3 G4P

<400> 93

Ser Leu Arg Leu Ser Cys Ala Ala Ser Gly Phe Thr Phe Ser Ser Tyr 20 25 30

Thr Met His Trp Val Arg Gln Ala Pro Gly Lys Gly Leu Glu Trp Val 35 40 45

Thr Phe Ile Ser Tyr Asp Gly Ser Asn Lys His Tyr Ala Asp Ser Val 50 55 60

Lys Gly Arg Phe Thr Val Ser Arg Asp Asn Ser Lys Asn Thr Leu Tyr 65 70 75 80

Leu Gln Met Asn Ser Leu Arg Ala Glu Asp Thr Ala Ile Tyr Tyr Cys 85 90 95

Ala Arg Thr Gly Trp Leu Gly Pro Phe Asp Tyr Trp Gly Gln Gly Thr

			100					105					110		
Leu	Val	Thr 115	Val	Ser	Ser	Ala	Ser 120	Thr	Lys	Gly	Pro	Ser 125	Val	Phe	Pro
Leu	Ala 130	Pro	Cys	Ser	Arg	Ser 135	Thr	Ser	Glu	Ser	Thr 140	Ala	Ala	Leu	Gly
Cys 145	Leu	Val	Lys	Asp	Tyr 150	Phe	Pro	Glu	Pro	Val 155	Thr	Val	Ser	Trp	Asn 160
Ser	Gly	Ala	Leu	Thr 165	Ser	Gly	Val	His	Thr 170	Phe	Pro	Ala	Val	Leu 175	Gln
Ser	Ser	Gly	Leu 180	Tyr	Ser	Leu	Ser	Ser 185	Val	Val	Thr	Val	Pro 190	Ser	Ser
Ser	Leu	Gly 195	Thr	Lys	Thr	Tyr	Thr 200	Cys	Asn	Val	Asp	His 205	Lys	Pro	Ser
Asn	Thr 210	Lys	Val	Asp	Lys	Arg 215	Val	Glu	Ser	Lys	Tyr 220	Gly	Pro	Pro	Cys
Pro 225	Pro	Cys	Pro	Ala	Pro 230	Glu	Phe	Leu	Gly	Gly 235	Pro	Ser	Val	Phe	Leu 240
Phe	Pro	Pro	Lys	Pro 245	Lys	Asp	Thr	Leu	Met 250	Ile	Ser	Arg	Thr	Pro 255	Glu
Val	Thr	Cys	Val 260	Val	Val	Asp	Val	Ser 265	Gln	Glu	Asp	Pro	Glu 270	Val	Gln
Phe	Asn	Trp 275	Tyr	Val	Asp	Gly	Val 280	Glu	Val	His	Asn	Ala 285	Lys	Thr	Lys
Pro	Arg 290	Glu	Glu	Gln	Phe	Asn 295	Ser	Thr	Tyr	Arg	Val 300	Val	Ser	Val	Leu
Thr 305	Val	Leu	His	Gln	Asp 310	Trp	Leu	Asn	Gly	Lys 315	Glu	Tyr	Lys	Cys	Lys 320
Val	Ser	Asn	Lys	Gly 325	Leu	Pro	Ser	Ser	Ile 330	Glu	Lys	Thr	Ile	Ser 335	Lys
Ala	Lys	Gly	Gln	Pro	Arg	Glu	Pro	Gln	Val	Tyr	Thr	Leu	Pro	Pro	Ser

	340		345		350	
Gln Glu Glu 355	Met Thr		Gln Val 360	Ser Leu Thr	Cys Leu Va 365	l Lys
Gly Phe Tyr 370	Pro Ser	Asp Ile 375	Ala Val	Glu Trp Glu 380	Ser Asn Gl	y Gln
Pro Glu Asn 385	Asn Tyr	Lys Thr 390	Thr Pro	Pro Val Leu 395	Asp Ser As	p Gly 400
Ser Phe Phe	Leu Tyr 405	Ser Arg	Leu Thr	Val Asp Lys 410	Ser Arg Tr 41	
Glu Gly Asn	Val Phe 420	Ser Cys	Ser Val 425	Met His Glu	Ala Leu Hi 430	s Asn
His Tyr Thr 435	Gln Lys		Ser Leu 440	Ser Leu Gly		
<210> 94 <211> 215 <212> БЕЛО <213> Mus 1						
<222> (1).	_FEATURE .(215) ая цепь а	антител п	ротив С'	ГLA-4 человеі	ka mAb 3 G1	AA и mAb 3
<400> 94						
Glu Ile Val 1	Leu Thr 5	Gln Ser	Pro Gly	Thr Leu Ser 10	Leu Ser Pr 15	
Glu Arg Ala	Thr Leu 20	Ser Cys	Arg Ala 25	Ser Gln Ser	Val Ser Se 30	r Ser
Phe Leu Ala 35	Trp Tyr		Lys Pro 40	Gly Gln Ala	Pro Arg Le 45	u Leu
Ile Tyr Gly 50	Ala Ser	Ser Arg 55	Ala Thr	Gly Ile Pro 60	Asp Arg Ph	e Ser
Gly Ser Gly 65	Ser Gly	Thr Asp	Phe Thr	Leu Thr Ile 75	Ser Arg Le	u Glu 80

Pro	Glu	Asp	Phe	Ala 85	Val	Tyr	Tyr	Cys	Gln 90	Gln	Tyr	Gly	Ser	Ser 95	Pro
Trp	Thr	Phe	Gly 100	Gln	Gly	Thr	Lys	Val 105	Glu	Ile	Lys	Arg	Thr 110	Val	Ala
Ala	Pro	Ser 115	Val	Phe	Ile	Phe	Pro 120	Pro	Ser	Asp	Glu	Gln 125	Leu	Lys	Ser
Gly	Thr 130	Ala	Ser	Val	Val	Cys 135	Leu	Leu	Asn	Asn	Phe 140	Tyr	Pro	Arg	Glu
Ala 145	Lys	Val	Gln	Trp	Lys 150	Val	Asp	Asn	Ala	Leu 155	Gln	Ser	Gly	Asn	Ser 160
Gln	Glu	Ser	Val	Thr 165	Glu	Gln	Asp	Ser	Lys 170	Asp	Ser	Thr	Tyr	Ser 175	Leu
Ser	Ser	Thr	Leu 180	Thr	Leu	Ser	Lys	Ala 185	Asp	Tyr	Glu	Lys	His 190	Lys	Val
Tyr	Ala	Cys 195	Glu	Val	Thr	His	Gln 200	Gly	Leu	Ser	Ser	Pro 205	Val	Thr	Lys
Ser	Phe 210	Asn	Arg	Gly	Glu	Cys 215									
<210 <211 <211 <211	1> 4 2> H	95 197 БЕЛО! Искус	K CCTB	энная	00П Б	следо)BaTe	Эльн	OCTЬ						
<220 <220		Терва	LN RE	IU T	ретья	LON F	пипеі	птиді	ные і	цепи	DAR.	ГВ			
< 400) < C	95													
Glu 1	Ile	Val	Leu	Thr 5	Gln	Ser	Pro	Gly	Thr 10	Leu	Ser	Leu	Ser	Pro 15	Gly
Glu	Arg	Ala	Thr 20	Leu	Ser	Cys	Arg	Ala 25	Ser	Gln	Ser	Val	Gly 30	Ser	Ser
Tyr	Leu	Ala 35	Trp	Tyr	Gln	Gln	Lys 40	Pro	Gly	Gln	Ala	Pro 45	Arg	Leu	Leu

Ile Tyr Gly Ala Phe Ser Arg Ala Thr Gly Ile Pro Asp Arg Phe Ser

50		60
	5 5	
	JJ	

Gly 65	Ser	Gly	Ser	Gly	Thr 70	Asp	Phe	Thr	Leu	Thr 75	Ile	Ser	Arg	Leu	Glu 80
Pro	Glu	Asp	Phe	Ala 85	Val	Tyr	Tyr	Cys	Gln 90	Gln	Tyr	Gly	Ser	Ser 95	Pro
Trp	Thr	Phe	Gly 100	Gln	Gly	Thr	Lys	Val 105	Glu	Ile	Lys	Gly	Gly 110	Gly	Ser
Gly	Gly	Gly 115	Gly	Gln	Val	Gln	Leu 120	Val	Gln	Ser	Gly	Ala 125	Glu	Val	Lys
Lys	Pro 130	Gly	Ala	Ser	Val	Lys 135	Val	Ser	Cys	Lys	Ala 140	Ser	Gly	Tyr	Ser
Phe 145	Thr	Ser	Tyr	Trp	Met 150	Asn	Trp	Val	Arg	Gln 155	Ala	Pro	Gly	Gln	Gly 160
Leu	Glu	Trp	Ile	Gly 165	Val	Ile	His	Pro	Ser 170	Asp	Ser	Glu	Thr	Trp 175	Leu
Asp	Gln	Lys	Phe 180	Lys	Asp	Arg	Val	Thr 185	Ile	Thr	Val	Asp	Lys 190	Ser	Thr
Ser	Thr	Ala 195	Tyr	Met	Glu	Leu	Ser 200	Ser	Leu	Arg	Ser	Glu 205	Asp	Thr	Ala
Val	Tyr 210	Tyr	Cys	Ala	Arg	Glu 215	His	Tyr	Gly	Thr	Ser 220	Pro	Phe	Ala	Tyr
Trp 225	Gly	Gln	Gly	Thr	Leu 230	Val	Thr	Val	Ser	Ser 235	Gly	Gly	Cys	Gly	Gly 240
Gly	Glu	Val	Ala	Ala 245	Cys	Glu	Lys	Glu	Val 250	Ala	Ala	Leu	Glu	Lys 255	Glu
Val	Ala	Ala	Leu 260	Glu	Lys	Glu	Val	Ala 265	Ala	Leu	Glu	Lys	Glu 270	Ser	Lys
Tyr	Gly	Pro 275	Pro	Cys	Pro	Pro	Cys 280	Pro	Ala	Pro	Glu	Phe 285	Leu	Gly	Gly

	290					295					300				
Thr 305	Arg	Glu	Pro	Glu	Val 310	Thr	Cys	Val	Val	Val 315	Asp	Val	Ser	Gln	Glu 320
Asp	Pro	Glu	Val	Gln 325	Phe	Asn	Trp	Tyr	Val 330	Asp	Gly	Val	Glu	Val 335	His
Asn	Ala	Lys	Thr 340	Lys	Pro	Arg	Glu	Glu 345	Gln	Phe	Asn	Ser	Thr 350	Tyr	Arg
Val	Val	Ser 355	Val	Leu	Thr	Val	Leu 360	His	Gln	Asp	Trp	Leu 365	Asn	Gly	Lys
Glu	Tyr 370	Lys	Cys	Lys	Val	Ser 375	Asn	Lys	Gly	Leu	Pro 380	Ser	Ser	Ile	Glu
Lys 385	Thr	Ile	Ser	Lys	Ala 390	Lys	Gly	Gln	Pro	Arg 395	Glu	Pro	Gln	Val	Tyr 400
Thr	Leu	Pro	Pro	Ser 405	Gln	Glu	Glu	Met	Thr 410	Lys	Asn	Gln	Val	Ser 415	Leu
Thr	Cys	Leu	Val 420	Lys	Gly	Phe	Tyr	Pro 425	Ser	Asp	Ile	Ala	Val 430	Glu	Trp
Glu	Ser	Asn 435	Gly	Gln	Pro	Glu	Asn 440	Asn	Tyr	Lys	Thr	Thr 445	Pro	Pro	Val
Leu	Asp 450	Ser	Asp	Gly	Ser	Phe 455	Phe	Leu	Tyr	Ser	Arg 460	Leu	Thr	Val	Asp
Lys 465	Ser	Arg	Trp	Gln	Glu 470	Gly	Asn	Val	Phe	Ser 475	Cys	Ser	Val	Met	His 480
	Ala	Leu	His	Asn 485	His	Tyr	Thr	Gln	Lys 490	Ser	Leu	Ser	Leu	Ser 495	Leu
Gly															
<210 <211		96 271													

<212> БЕЛОК <213> Искусственная последовательность

- <220> <223> Вторая или четвертая полипептидные цепи DART В <400> 96 Glu Ile Val Leu Thr Gln Ser Pro Ala Thr Leu Ser Leu Ser Pro Gly 5 10 15 Glu Arg Ala Thr Leu Ser Cys Arg Ala Ser Glu Ser Val Asp Asn Tyr 25 20 30 Gly Met Ser Phe Met Asn Trp Phe Gln Gln Lys Pro Gly Gln Pro Pro 40 Lys Leu Leu Ile His Ala Ala Ser Asn Gln Gly Ser Gly Val Pro Ser 50 55 Arg Phe Ser Gly Ser Gly Ser Gly Thr Asp Phe Thr Leu Thr Ile Ser 70 75 80 Ser Leu Glu Pro Glu Asp Phe Ala Val Tyr Phe Cys Gln Gln Ser Lys 85 90 95 Glu Val Pro Tyr Thr Phe Gly Gly Gly Thr Lys Val Glu Ile Lys Gly 100 105 110 Gly Gly Ser Gly Gly Gly Gln Val Gln Leu Val Glu Ser Gly Gly 115 120 Gly Val Val Gln Pro Gly Arg Ser Leu Arg Leu Ser Cys Ala Ala Ser 135 Gly Phe Thr Phe Ser Ser Tyr Thr Met His Trp Val Arg Gln Ala Pro 145 150 155 Gly Lys Gly Leu Glu Trp Val Thr Phe Ile Ser Tyr Asp Gly Asn Asn 170 165 Lys Tyr Tyr Ala Asp Ser Val Lys Gly Arg Phe Thr Ile Ser Arg Asp 180 185
- Asp Thr Ala Ile Tyr Tyr Cys Ala Arg Thr Gly Trp Leu Gly Pro Phe 210 215 220

Asn Ser Lys Asn Thr Leu Tyr Leu Gln Met Asn Ser Leu Arg Ala Glu 195 200 205

- Asp Tyr Trp Gly Gln Gly Thr Leu Val Thr Val Ser Ser Gly Gly Cys 235 230 235
- Gly Gly Gly Lys Val Ala Ala Cys Lys Glu Lys Val Ala Ala Leu Lys 245 250 255
- Glu Lys Val Ala Ala Leu Lys Glu Lys Val Ala Ala Leu Lys Glu 260 265 270
- <210> 97
- <211> 497
- <212> БЕЛОК
- <213> Искусственная последовательность
- <220>
- <223> Первая или третья полипептидные цепи DART C
- <400> 97
- Glu Ile Val Leu Thr Gln Ser Pro Gly Thr Leu Ser Leu Ser Pro Gly
 1 10 15
- Glu Arg Ala Thr Leu Ser Cys Arg Ala Ser Gln Ser Val Ser Ser Ser 20 25 30
- Phe Leu Ala Trp Tyr Gln Gln Lys Pro Gly Gln Ala Pro Arg Leu Leu 35 40 45
- Ile Tyr Gly Ala Ser Ser Arg Ala Thr Gly Ile Pro Asp Arg Phe Ser
 50 55 60
- Gly Ser Gly Ser Gly Thr Asp Phe Thr Leu Thr Ile Ser Arg Leu Glu 65 70 75 80
- Pro Glu Asp Phe Ala Val Tyr Tyr Cys Gln Gln Tyr Gly Ser Ser Pro 85 90 95
- Trp Thr Phe Gly Gln Gly Thr Lys Val Glu Ile Lys Gly Gly Ser 100 105 110
- Gly Gly Gly Gln Val Gln Leu Val Gln Ser Gly Ala Glu Val Lys 115 120 125
- Lys Pro Gly Ala Ser Val Lys Val Ser Cys Lys Ala Ser Gly Tyr Ser 130 135 140
- Phe Thr Ser Tyr Trp Met Asn Trp Val Arg Gln Ala Pro Gly Gln Gly

145					150					155					160
Leu	Glu	Trp	Ile	Gly 165	Val	Ile	His	Pro	Ser 170	Asp	Ser	Glu	Thr	Trp 175	Leu
Asp	Gln	Lys	Phe 180	Lys	Asp	Arg	Val	Thr 185	Ile	Thr	Val	Asp	Lys 190	Ser	Thr
Ser	Thr	Ala 195	Tyr	Met	Glu	Leu	Ser 200	Ser	Leu	Arg	Ser	Glu 205	Asp	Thr	Ala
Val	Tyr 210	Tyr	Cys	Ala	Arg	Glu 215	His	Tyr	Gly	Thr	Ser 220	Pro	Phe	Ala	Tyr
Trp 225	Gly	Gln	Gly	Thr	Leu 230	Val	Thr	Val	Ser	Ser 235	Gly	Gly	Cys	Gly	Gly 240
Gly	Glu	Val	Ala	Ala 245	Cys	Glu	Lys	Glu	Val 250	Ala	Ala	Leu	Glu	Lys 255	Glu
Val	Ala	Ala	Leu 260	Glu	Lys	Glu	Val	Ala 265	Ala	Leu	Glu	Lys	Glu 270	Ser	Lys
Tyr	Gly	Pro 275	Pro	Cys	Pro	Pro	Cys 280	Pro	Ala	Pro	Glu	Phe 285	Leu	Gly	Gly
Pro	Ser 290	Val	Phe	Leu	Phe	Pro 295	Pro	Lys	Pro	Lys	Asp 300	Thr	Leu	Tyr	Ile
Thr 305	Arg	Glu	Pro	Glu	Val 310	Thr	Cys	Val	Val	Val 315	Asp	Val	Ser	Gln	Glu 320
Asp	Pro	Glu	Val	Gln 325	Phe	Asn	Trp	Tyr	Val 330	Asp	Gly	Val	Glu	Val 335	His
Asn	Ala	Lys	Thr 340	Lys	Pro	Arg	Glu	Glu 345	Gln	Phe	Asn	Ser	Thr 350	Tyr	Arg
Val	Val	Ser 355	Val	Leu	Thr	Val	Leu 360	His	Gln	Asp	Trp	Leu 365	Asn	Gly	Lys
Glu	Tyr 370	Lys	Cys	Lys	Val	Ser 375	Asn	Lys	Gly	Leu	Pro 380	Ser	Ser	Ile	Glu
Lvs	Thr	Ile	Ser	Lvs	Ala	Lvs	Glv	Gln	Pro	Ara	G] 11	Pro	Gln	Val	Tvr

385					390					395					400
Thr	Leu	Pro	Pro	Ser 405	Gln	Glu	Glu	Met	Thr 410	Lys	Asn	Gln	Val	Ser 415	Leu
Thr	Cys	Leu	Val 420	Lys	Gly	Phe	Tyr	Pro 425	Ser	Asp	Ile	Ala	Val 430	Glu	Trp
Glu	Ser	Asn 435	Gly	Gln	Pro	Glu	Asn 440	Asn	Tyr	Lys	Thr	Thr 445	Pro	Pro	Val
Leu	Asp 450	Ser	Asp	Gly	Ser	Phe 455	Phe	Leu	Tyr	Ser	Arg 460	Leu	Thr	Val	Asp
Lys 465	Ser	Arg	Trp	Gln	Glu 470	Gly	Asn	Val	Phe	Ser 475	Cys	Ser	Val	Met	His 480
Glu	Ala	Leu	His	Asn 485	His	Tyr	Thr	Gln	Lys 490	Ser	Leu	Ser	Leu	Ser 495	Leu
Gly															
<210 <211 <212 <213	L> 2 2> E	98 271 БЕЛОН Искус	< CCTB€	енная	100 н	следо)Bate	Эльн(OCTЬ						
<220 <223		Зтора	in Re	IU Ye	етвер	ртая	поли	ипепт	гиднь	ые це	епи I	DART	С		
<400)> 9	98													
Glu 1	Ile	Val	Leu	Thr 5	Gln	Ser	Pro	Ala	Thr 10	Leu	Ser	Leu	Ser	Pro 15	Gly
Glu	Arg	Ala	Thr 20	Leu	Ser	Cys	Arg	Ala 25	Ser	Glu	Ser	Val	Asp 30	Asn	Tyr
Gly	Met	Ser 35	Phe	Met	Asn	Trp	Phe 40	Gln	Gln	Lys	Pro	Gly 45	Gln	Pro	Pro
Lys	Leu 50	Leu	Ile	His	Ala	Ala 55	Ser	Asn	Gln	Gly	Ser 60	Gly	Val	Pro	Ser
Arg 65	Phe	Ser	Gly	Ser	Gly 70	Ser	Gly	Thr	Asp	Phe 75	Thr	Leu	Thr	Ile	Ser 80

Ser	Leu	Glu	Pro	Glu 85	Asp	Phe	Ala	Val	Tyr 90	Phe	Cys	Gln	Gln	Ser 95	Lys
Glu	Val	Pro	Tyr 100	Thr	Phe	Gly	Gly	Gly 105	Thr	Lys	Val	Glu	Ile 110	Lys	Gly
Gly	Gly	Ser 115	Gly	Gly	Gly	Gly	Gln 120	Val	Gln	Leu	Val	Glu 125	Ser	Gly	Gly
Gly	Val 130	Val	Gln	Pro	Gly	Arg 135	Ser	Leu	Arg	Leu	Ser 140	Cys	Ala	Ala	Ser
Gly 145	Phe	Thr	Phe	Ser	Ser 150	Tyr	Thr	Met	His	Trp 155	Val	Arg	Gln	Ala	Pro 160
Gly	Lys	Gly	Leu	Glu 165	Trp	Val	Thr	Phe	Ile 170	Ser	Tyr	Asp	Gly	Ser 175	Asn
Lys	His	Tyr	Ala 180	Asp	Ser	Val	Lys	Gly 185	Arg	Phe	Thr	Val	Ser 190	Arg	Asp
Asn	Ser	Lys 195	Asn	Thr	Leu	Tyr	Leu 200	Gln	Met	Asn	Ser	Leu 205	Arg	Ala	Glu
Asp	Thr 210	Ala	Ile	Tyr	Tyr	Cys 215	Ala	Arg	Thr	Gly	Trp 220	Leu	Gly	Pro	Phe
Asp 225		Trp	Gly	Gln	Gly 230		Leu	Val	Thr	Val 235		Ser	Gly	Gly	Cys 240
Gly	Gly	Gly	Lys	Val 245	Ala	Ala	Cys	Lys	Glu 250	Lys	Val	Ala	Ala	Leu 255	Lys
Glu	Lys	Val	Ala 260	Ala	Leu	Lys	Glu	Lys 265	Val	Ala	Ala	Leu	Lys 270	Glu	
<210 <211 <212 <213	L> 4 2> 1	99 499 БЕЛОІ Искус		енная	00N F	следо	овате	Эльно	ОСТЬ						
<220 <223		Перва	ая иј	יד ער	ретья	н пој	пипеі	птиді	ные і	цепи	DAR	ГД			
<400)>	99													

Glu Ile Val Leu Thr Gln Ser Pro Ala Thr Leu Ser Leu Ser Pro Gly

1				5					10					15	
Glu	Arg	Ala	Thr 20	Leu	Ser	Cys	Arg	Ala 25	Ser	Glu	Ser	Val	Asp 30	Asn	Tyr
Gly	Met	Ser 35	Phe	Met	Asn	Trp	Phe 40	Gln	Gln	Lys	Pro	Gly 45	Gln	Pro	Pro
Lys	Leu 50	Leu	Ile	His	Ala	Ala 55	Ser	Asn	Gln	Gly	Ser 60	Gly	Val	Pro	Ser
Arg 65	Phe	Ser	Gly	Ser	Gly 70	Ser	Gly	Thr	Asp	Phe 75	Thr	Leu	Thr	Ile	Ser 80
Ser	Leu	Glu	Pro	Glu 85	Asp	Phe	Ala	Val	Tyr 90	Phe	Cys	Gln	Gln	Ser 95	Lys
Glu	Val	Pro	Tyr 100	Thr	Phe	Gly	Gly	Gly 105	Thr	Lys	Val	Glu	Ile 110	Lys	Gly
Gly	Gly	Ser 115	Gly	Gly	Gly	Gly	Gln 120	Val	Gln	Leu	Val	Glu 125	Ser	Gly	Gly
Gly	Val 130	Val	Gln	Pro	Gly	Arg 135	Ser	Leu	Arg	Leu	Ser 140	Cys	Ala	Ala	Ser
Gly 145	Phe	Thr	Phe	Ser	Ser 150	Tyr	Thr	Met	His	Trp 155	Val	Arg	Gln	Ala	Pro 160
Gly	Lys	Gly	Leu	Glu 165	Trp	Val	Thr	Phe	Ile 170	Ser	Tyr	Asp	Gly	Ser 175	Asn
Lys	His	Tyr	Ala 180	Asp	Ser	Val	Lys	Gly 185	Arg	Phe	Thr	Val	Ser 190	Arg	Asp
Asn	Ser	Lys 195	Asn	Thr	Leu	Tyr	Leu 200	Gln	Met	Asn	Ser	Leu 205	Arg	Ala	Glu
Asp	Thr 210	Ala	Ile	Tyr	Tyr	Cys 215	Ala	Arg	Thr	Gly	Trp 220	Leu	Gly	Pro	Phe
Asp 225	Tyr	Trp	Gly	Gln	Gly 230	Thr	Leu	Val	Thr	Val 235	Ser	Ser	Gly	Gly	Cys 240
Gly	Gly	Gly	Glu	Val	Ala	Ala	Cys	Glu	Lys	Glu	Val	Ala	Ala	Leu	Glu

					245					250					255	
]	Lys	Glu	Val	Ala 260	Ala	Leu	Glu	Lys	Glu 265	Val	Ala	Ala	Leu	Glu 270	Lys	Glu
	Ser	Lys	Tyr 275	Gly	Pro	Pro	Cys	Pro 280	Pro	Cys	Pro	Ala	Pro 285	Glu	Phe	Leu
(Gly	Gly 290	Pro	Ser	Val	Phe	Leu 295	Phe	Pro	Pro	Lys	Pro 300	Lys	Asp	Thr	Leu
	Tyr 305	Ile	Thr	Arg	Glu	Pro 310	Glu	Val	Thr	Cys	Val 315	Val	Val	Asp	Val	Ser 320
(Gln	Glu	Asp	Pro	Glu 325	Val	Gln	Phe	Asn	Trp 330	Tyr	Val	Asp	Gly	Val 335	Glu
7	Val	His	Asn	Ala 340	Lys	Thr	Lys	Pro	Arg 345	Glu	Glu	Gln	Phe	Asn 350	Ser	Thr
	Гуr	Arg	Val 355	Val	Ser	Val	Leu	Thr 360	Val	Leu	His	Gln	Asp 365	Trp	Leu	Asn
(Gly	Lys 370	Glu	Tyr	Lys	Cys	Lys 375	Val	Ser	Asn	Lys	Gly 380	Leu	Pro	Ser	Ser
	Ile 385	Glu	Lys	Thr	Ile	Ser 390	Lys	Ala	Lys	Gly	Gln 395	Pro	Arg	Glu	Pro	Gln 400
7	Wal	Tyr	Thr	Leu	Pro 405	Pro	Ser	Gln	Glu	Glu 410	Met	Thr	Lys	Asn	Gln 415	Val
	Ser	Leu	Thr	Cys 420	Leu	Val	Lys	Gly	Phe 425	Tyr	Pro	Ser	Asp	Ile 430	Ala	Val
(Glu	Trp	Glu 435	Ser	Asn	Gly	Gln	Pro 440	Glu	Asn	Asn	Tyr	Lys 445	Thr	Thr	Pro
Ι	?ro	Val 450	Leu	Asp	Ser	Asp	Gly 455	Ser	Phe	Phe	Leu	Tyr 460	Ser	Arg	Leu	Thr
	Val 465	Asp	Lys	Ser	Arg	Trp 470	Gln	Glu	Gly	Asn	Val 475	Phe	Ser	Cys	Ser	Val 480
1	Met	His	Glu	Ala	Leu	His	Asn	His	Tyr	Thr	Gln	Lys	Ser	Leu	Ser	Leu

485	490	495

Ser Leu Gly

<210> 100 <211> 269 <212> БЕЛОК <213> Искусственная последовательность <220> <223> Вторая или четвертая полипептидные цепи DART D <400> 100 Glu Ile Val Leu Thr Gln Ser Pro Gly Thr Leu Ser Leu Ser Pro Gly 5 10 Glu Arg Ala Thr Leu Ser Cys Arg Ala Ser Gln Ser Val Ser Ser Ser 20 25 Phe Leu Ala Trp Tyr Gln Gln Lys Pro Gly Gln Ala Pro Arg Leu Leu 35 40 Ile Tyr Gly Ala Ser Ser Arg Ala Thr Gly Ile Pro Asp Arg Phe Ser 50 55 Gly Ser Gly Ser Gly Thr Asp Phe Thr Leu Thr Ile Ser Arg Leu Glu 70 75 Pro Glu Asp Phe Ala Val Tyr Tyr Cys Gln Gln Tyr Gly Ser Ser Pro 85 90 Trp Thr Phe Gly Gln Gly Thr Lys Val Glu Ile Lys Gly Gly Ser 100 105 110 Gly Gly Gly Gln Val Gln Leu Val Gln Ser Gly Ala Glu Val Lys 115 120 Lys Pro Gly Ala Ser Val Lys Val Ser Cys Lys Ala Ser Gly Tyr Ser 130 135

Phe Thr Ser Tyr Trp Met Asn Trp Val Arg Gln Ala Pro Gly Gln Gly

145 150 155

Asp	Gln	Lys	Phe 180	Lys	Asp	Arg	Val	Thr 185	Ile	Thr	Val	Asp	Lys 190	Ser	Thr
Ser	Thr	Ala 195	Tyr	Met	Glu	Leu	Ser 200	Ser	Leu	Arg	Ser	Glu 205	Asp	Thr	Ala
Val	Tyr 210	Tyr	Cys	Ala	Arg	Glu 215	His	Tyr	Gly	Thr	Ser 220	Pro	Phe	Ala	Tyr
Trp 225	Gly	Gln	Gly	Thr	Leu 230	Val	Thr	Val	Ser	Ser 235	Gly	Gly	Cys	Gly	Gly 240
Gly	Lys	Val	Ala	Ala 245	Cys	Lys	Glu	Lys	Val 250	Ala	Ala	Leu	Lys	Glu 255	Lys
Val	Ala	Ala	Leu 260	Lys	Glu	Lys	Val	Ala 265	Ala	Leu	Lys	Glu			
<210 <211 <212 <213	1> 5 2> E 3> D	101 503 БЕЛОН Искус		енная	00П Е	следо	Эват€	Эльно	ОСТЬ						
<220 <220		Іерва	я иј	IU T	ретья	н пој	типег	тидн	ные г	цепи	DART	ГЕ			
<400	O> 2	101													
Glu 1	Ile	Val	Leu	Thr 5	Gln	Ser	Pro	Ala	Thr 10	Leu	Ser	Leu	Ser	Pro 15	Gly
Glu	Arg	Ala	Thr 20	Leu	Ser	Cys	Arg	Ala 25	Ser	Glu	Ser	Val	Asp 30	Asn	Tyr
Gly	Met	Ser 35	Phe	Met	Asn	Trp	Phe 40	Gln	Gln	Lys	Pro	Gly 45	Gln	Pro	Pro

Arg Phe Ser Gly Ser Gly Ser Gly Thr Asp Phe Thr Leu Thr Ile Ser 65 70 75 80

Lys Leu Leu Ile His Ala Ala Ser Asn Gln Gly Ser Gly Val Pro Ser

55

50

Ser Leu Glu Pro Glu Asp Phe Ala Val Tyr Phe Cys Gln Gln Ser Lys 85 90 95

Glu Val Pro Tyr Thr Phe Gly Gly Gly Thr Lys Val Glu Ile Lys Gly

			100					105					110		
Gly	Gly	Ser 115	Gly	Gly	Gly	Gly	Gln 120	Val	Gln	Leu	Val	Glu 125	Ser	Gly	Gly
Gly	Val 130	Val	Gln	Pro	Gly	Arg 135	Ser	Leu	Arg	Leu	Ser 140	Cys	Ala	Ala	Ser
Gly 145	Phe	Thr	Phe	Ser	Ser 150	Tyr	Thr	Met	His	Trp 155	Val	Arg	Gln	Ala	Pro 160
Gly	Lys	Gly	Leu	Glu 165	Trp	Val	Thr	Phe	Ile 170	Ser	Tyr	Asp	Gly	Ser 175	Asn
Lys	His	Tyr	Ala 180	Asp	Ser	Val	Lys	Gly 185	Arg	Phe	Thr	Val	Ser 190	Arg	Asp
Asn	Ser	Lys 195	Asn	Thr	Leu	Tyr	Leu 200	Gln	Met	Asn	Ser	Leu 205	Arg	Ala	Glu
Asp	Thr 210	Ala	Ile	Tyr	Tyr	Cys 215	Ala	Arg	Thr	Gly	Trp 220	Leu	Gly	Pro	Phe
Asp 225	Tyr	Trp	Gly	Gln	Gly 230	Thr	Leu	Val	Thr	Val 235	Ser	Ser	Gly	Gly	Cys 240
Gly	Gly	Gly	Glu	Val 245	Ala	Ala	Cys	Glu	Lys 250	Glu	Val	Ala	Ala	Leu 255	Glu
Lys	Glu	Val	Ala 260	Ala	Leu	Glu	Lys	Glu 265	Val	Ala	Ala	Leu	Glu 270	Lys	Leu
Glu	Pro	Lys 275	Ser	Ala	Asp	Lys	Thr 280	His	Thr	Cys	Pro	Pro 285	Cys	Pro	Ala
Pro	Glu 290	Ala	Ala	Gly	Gly	Pro 295	Ser	Val	Phe	Leu	Phe 300	Pro	Pro	Lys	Pro
Lys 305	Asp	Thr	Leu	Tyr	Ile 310	Thr	Arg	Glu	Pro	Glu 315	Val	Thr	Cys	Val	Val 320
Val	Asp	Val	Ser	His 325	Glu	Asp	Pro	Glu	Val 330	Lys	Phe	Asn	Trp	Tyr 335	Val
Asp	Gly	Val	Glu	Val	His	Asn	Ala	Lys	Thr	Lys	Pro	Arg	Glu	Glu	Gln

	340	345		350
Tyr Asn Ser 355	Thr Tyr Arg	Val Val Ser 360	Val Leu Thr Va	al Leu His Gln 65
Asp Trp Leu 370	Asn Gly Lys	Glu Tyr Lys 375	Cys Lys Val Se	er Asn Lys Ala
Leu Pro Ala 385	Pro Ile Glu 390	Lys Thr Ile	Ser Lys Ala Ly 395	ys Gly Gln Pro 400
Arg Glu Pro	Gln Val Tyr 405	Thr Leu Pro	Pro Ser Arg G	lu Glu Met Thr 415
Lys Asn Gln	Val Ser Leu 420	Thr Cys Leu 425	Val Lys Gly Pl	ne Tyr Pro Ser 430
Asp Ile Ala 435	Val Glu Trp	Glu Ser Asn 440	Gly Gln Pro G	lu Asn Asn Tyr 45
Lys Thr Thr 450	Pro Pro Val	Leu Asp Ser 455	Asp Gly Ser Pl 460	ne Phe Leu Tyr
Ser Lys Leu 465	Thr Val Asp 470	Lys Ser Arg	Trp Gln Gln G 475	ly Asn Val Phe 480
Ser Cys Ser	Val Met His 485	Glu Ala Leu	His Asn His Ty	yr Thr Gln Lys 495
Ser Leu Ser	Leu Ser Pro 500	Gly		
<210> 102 <211> 567 <212> БЕЛО <213> Иску	К сственная пос	следовательн	OCTЬ	
<220> <223> Перв	ая или третья	я полипептид	ные цепи DART l	Ξ
<400> 102				
Glu Ile Val 1	Leu Thr Gln 5	Ser Pro Gly	Thr Leu Ser Le	eu Ser Pro Gly 15
Glu Arg Ala	Thr Leu Ser 20	Cys Arg Ala	. Ser Gln Ser Va	al Ser Ser Ser 30

Phe Leu Ala Trp Tyr Gln Gln Lys Pro Gly Gln Ala Pro Arg Leu Leu 40 Ile Tyr Gly Ala Ser Ser Arg Ala Thr Gly Ile Pro Asp Arg Phe Ser 50 55 Gly Ser Gly Ser Gly Thr Asp Phe Thr Leu Thr Ile Ser Arg Leu Glu 70 75 Pro Glu Asp Phe Ala Val Tyr Tyr Cys Gln Gln Tyr Gly Ser Ser Pro 90 8.5 Trp Thr Phe Gly Gln Gly Thr Lys Val Glu Ile Lys Gly Gly Ser 105 100 110 Gly Gly Gly Gln Val Gln Leu Val Gln Ser Gly Ala Glu Val Lys 115 120 125 Lys Pro Gly Ala Ser Val Lys Val Ser Cys Lys Ala Ser Gly Tyr Ser 130 135 140 Phe Thr Ser Tyr Trp Met Asn Trp Val Arg Gln Ala Pro Gly Gln Gly 150 155 Leu Glu Trp Ile Gly Val Ile His Pro Ser Asp Ser Glu Thr Trp Leu 165 170 Asp Gln Lys Phe Lys Asp Arg Val Thr Ile Thr Val Asp Lys Ser Thr 180 185 Ser Thr Ala Tyr Met Glu Leu Ser Ser Leu Arg Ser Glu Asp Thr Ala 195 2.00 Val Tyr Tyr Cys Ala Arg Glu His Tyr Gly Thr Ser Pro Phe Ala Tyr 215 210 220 Trp Gly Gln Gly Thr Leu Val Thr Val Ser Ser Leu Gly Gly Ser 225 230 235 Gly Ala Ser Thr Lys Gly Pro Ser Val Phe Pro Leu Ala Pro Cys Ser 245 250 255 Arg Ser Thr Ser Glu Ser Thr Ala Ala Leu Gly Cys Leu Val Lys Asp 260 265

Tyr	Phe	Pro 275	Glu	Pro	Val	Thr	Val 280	Ser	Trp	Asn	Ser	Gly 285	Ala	Leu	Thr
Ser	Gly 290	Val	His	Thr	Phe	Pro 295	Ala	Val	Leu	Gln	Ser 300	Ser	Gly	Leu	Tyr
Ser 305	Leu	Ser	Ser	Val	Val 310	Thr	Val	Pro	Ser	Ser 315	Ser	Leu	Gly	Thr	Lys 320
Thr	Tyr	Thr	Cys	Asn 325	Val	Asp	His	Lys	Pro 330	Ser	Asn	Thr	Lys	Val 335	Asp
Lys	Arg	Val	Glu 340	Ser	Lys	Tyr	Gly	Pro 345	Pro	Cys	Pro	Pro	Cys 350	Pro	Ala
Pro	Glu	Phe 355	Leu	Gly	Gly	Pro	Ser 360	Val	Phe	Leu	Phe	Pro 365	Pro	Lys	Pro
Lys	Asp 370	Thr	Leu	Tyr	Ile	Thr 375	Arg	Glu	Pro	Glu	Val 380	Thr	Cys	Val	Val
Val 385	Asp	Val	Ser	Gln	Glu 390	Asp	Pro	Glu	Val	Gln 395	Phe	Asn	Trp	Tyr	Val 400
Asp	Gly	Val	Glu	Val 405	His	Asn	Ala	Lys	Thr 410	Lys	Pro	Arg	Glu	Glu 415	Gln
Phe	Asn	Ser	Thr 420	Tyr	Arg	Val	Val	Ser 425	Val	Leu	Thr	Val	Leu 430	His	Gln
Asp	Trp	Leu 435	Asn	Gly	Lys	Glu	Tyr 440	Lys	Cys	Lys	Val	Ser 445	Asn	Lys	Gly
Leu	Pro 450	Ser	Ser	Ile	Glu	Lys 455	Thr	Ile	Ser	Lys	Ala 460	Lys	Gly	Gln	Pro
Arg 465	Glu	Pro	Gln	Val	Tyr 470	Thr	Leu	Pro	Pro	Ser 475	Gln	Glu	Glu	Met	Thr 480
Lys	Asn	Gln	Val	Ser 485	Leu	Thr	Cys	Leu	Val 490	Lys	Gly	Phe	Tyr	Pro 495	Ser
Asp	Ile	Ala	Val 500	Glu	Trp	Glu	Ser	Asn 505	Gly	Gln	Pro	Glu	Asn 510	Asn	Tyr

Lys Thr Thr Pro Pro Val Leu Asp Ser Asp Gly Ser Phe Phe Leu Tyr 515
Ser Arg Leu Thr Val Asp Lys Ser Arg Trp Gln Glu Gly Asn Val Phe 530
Phe Phe Leu Tyr 525
Ser Arg Trp Gln Glu Gly Asn Val Phe

Ser Cys Ser Val Met His Glu Ala Leu His Asn His Tyr Thr Gln Lys

545 550 555

Ser Leu Ser Leu Ser Leu Gly 565

<210> 103 <211> 350 <212> БЕЛОК

<213> Искусственная последовательность

<220>

<223> Вторая или четвертая полипептидные цепи DART E

<400> 103

Glu Ile Val Leu Thr Gln Ser Pro Ala Thr Leu Ser Leu Ser Pro Gly
1 10 15

Glu Arg Ala Thr Leu Ser Cys Arg Ala Ser Glu Ser Val Asp Asn Tyr 20 25 30

Gly Met Ser Phe Met Asn Trp Phe Gln Gln Lys Pro Gly Gln Pro Pro 35 40 45

Lys Leu Leu Ile His Ala Ala Ser Asn Gln Gly Ser Gly Val Pro Ser 50 55 60

Arg Phe Ser Gly Ser Gly Ser Gly Thr Asp Phe Thr Leu Thr Ile Ser 65 70 75 80

Ser Leu Glu Pro Glu Asp Phe Ala Val Tyr Phe Cys Gln Gln Ser Lys 85 90 95

Glu Val Pro Tyr Thr Phe Gly Gly Gly Thr Lys Val Glu Ile Lys Gly 100 105 110

Gly Gly Ser Gly Gly Gly Gln Val Gln Leu Val Glu Ser Gly Gly 115 120 125

Gly Val Val Gln Pro Gly Arg Ser Leu Arg Leu Ser Cys Ala Ala Ser

	130					135					140				
Gly 145	Phe	Thr	Phe	Ser	Ser 150	Tyr	Thr	Met	His	Trp 155	Val	Arg	Gln	Ala	Pro 160
Gly	Lys	Gly	Leu	Glu 165	Trp	Val	Thr	Phe	Ile 170	Ser	Tyr	Asp	Gly	Ser 175	Asn
Lys	His	Tyr	Ala 180	Asp	Ser	Val	Lys	Gly 185	Arg	Phe	Thr	Val	Ser 190	Arg	Asp
Asn	Ser	Lys 195	Asn	Thr	Leu	Tyr	Leu 200	Gln	Met	Asn	Ser	Leu 205	Arg	Ala	Glu
Asp	Thr 210	Ala	Ile	Tyr	Tyr	Cys 215	Ala	Arg	Thr	Gly	Trp 220	Leu	Gly	Pro	Phe
Asp 225	Tyr	Trp	Gly	Gln	Gly 230	Thr	Leu	Val	Thr	Val 235	Ser	Ser	Leu	Gly	Gly 240
Gly	Ser	Gly	Arg	Thr 245	Val	Ala	Ala	Pro	Ser 250	Val	Phe	Ile	Phe	Pro 255	Pro
Ser	Asp	Glu	Gln 260	Leu	Lys	Ser	Gly	Thr 265	Ala	Ser	Val	Val	Cys 270	Leu	Leu
Asn	Asn	Phe 275	Tyr	Pro	Arg	Glu	Ala 280	Lys	Val	Gln	Trp	Lys 285	Val	Asp	Asn
Ala	Leu 290	Gln	Ser	Gly	Asn	Ser 295	Gln	Glu	Ser	Val	Thr 300	Glu	Gln	Asp	Ser
Lys 305	Asp	Ser	Thr	Tyr	Ser 310	Leu	Ser	Ser	Thr	Leu 315	Thr	Leu	Ser	Lys	Ala 320
Asp	Tyr	Glu	Lys	His 325	Lys	Val	Tyr	Ala	Cys 330	Glu	Val	Thr	His	Gln 335	Gly
Leu	Ser	Ser	Pro 340	Val	Thr	Lys	Ser	Phe 345	Asn	Arg	Gly	Glu	Cys 350		
<210 <211 <212 <213	L> 5 2> E	104 500 БЕЛОН				200		о пт. тт.	O.C.						
~ L .	٧ - ٧	TORY		енная	1 1100	~1-СЩ									

- <220>
- <223> Первая полипептидная цепь TRIDENT A
- <400> 104
- Glu Ile Val Leu Thr Gln Ser Pro Ala Thr Leu Ser Leu Ser Pro Gly
 1 10 15
- Glu Arg Ala Thr Leu Ser Cys Arg Ala Ser Glu Ser Val Asp Asn Tyr 20 25 30
- Gly Met Ser Phe Met Asn Trp Phe Gln Gln Lys Pro Gly Gln Pro Pro 35 40 45
- Lys Leu Leu Ile His Ala Ala Ser Asn Gln Gly Ser Gly Val Pro Ser 50 55 60
- Arg Phe Ser Gly Ser Gly Ser Gly Thr Asp Phe Thr Leu Thr Ile Ser 65 70 75 80
- Ser Leu Glu Pro Glu Asp Phe Ala Val Tyr Phe Cys Gln Gln Ser Lys 85 90 95
- Glu Val Pro Tyr Thr Phe Gly Gly Gly Thr Lys Val Glu Ile Lys Gly 100 105 110
- Gly Gly Ser Gly Gly Gly Gln Val Gln Leu Val Gln Ser Gly Ala 115 120 125
- Glu Val Lys Lys Pro Gly Ala Ser Val Lys Val Ser Cys Lys Ala Ser 130 135 140
- Gly Tyr Ser Phe Thr Ser Tyr Trp Met Asn Trp Val Arg Gln Ala Pro 145 150 155 160
- Gly Gln Gly Leu Glu Trp Ile Gly Val Ile His Pro Ser Asp Ser Glu 165 170 175
- Thr Trp Leu Asp Gln Lys Phe Lys Asp Arg Val Thr Ile Thr Val Asp 180 185 190
- Lys Ser Thr Ser Thr Ala Tyr Met Glu Leu Ser Ser Leu Arg Ser Glu
 195 200 205
- Asp Thr Ala Val Tyr Tyr Cys Ala Arg Glu His Tyr Gly Thr Ser Pro 210 215 220

Phe 225	Ala	Tyr	Trp	Gly	Gln 230	Gly	Thr	Leu	Val	Thr 235	Val	Ser	Ser	Gly	Gly 240
Cys	Gly	Gly	Gly	Glu 245	Val	Ala	Ala	Cys	Glu 250	Lys	Glu	Val	Ala	Ala 255	Leu
Glu	Lys	Glu	Val 260	Ala	Ala	Leu	Glu	Lys 265	Glu	Val	Ala	Ala	Leu 270	Glu	Lys
Glu	Ser	Lys 275	Tyr	Gly	Pro	Pro	Cys 280	Pro	Pro	Cys	Pro	Ala 285	Pro	Glu	Phe
Leu	Gly 290	Gly	Pro	Ser	Val	Phe 295	Leu	Phe	Pro	Pro	Lys 300	Pro	Lys	Asp	Thr
Leu 305	Tyr	Ile	Thr	Arg	Glu 310	Pro	Glu	Val	Thr	Cys 315	Val	Val	Val	Asp	Val 320
Ser	Gln	Glu	Asp	Pro 325	Glu	Val	Gln	Phe	Asn 330	Trp	Tyr	Val	Asp	Gly 335	Val
Glu	Val	His	Asn 340	Ala	Lys	Thr	Lys	Pro 345	Arg	Glu	Glu	Gln	Phe 350	Asn	Ser
Thr	Tyr	Arg 355	Val	Val	Ser	Val	Leu 360	Thr	Val	Leu	His	Gln 365	Asp	Trp	Leu
Asn	Gly 370	Lys	Glu	Tyr	Lys	Cys 375	Lys	Val	Ser	Asn	Lys 380	Gly	Leu	Pro	Ser
Ser 385	Ile	Glu	Lys	Thr	Ile 390	Ser	Lys	Ala	Lys	Gly 395	Gln	Pro	Arg	Glu	Pro 400
Gln	Val	Tyr	Thr	Leu 405	Pro	Pro	Ser	Gln	Glu 410	Glu	Met	Thr	Lys	Asn 415	Gln
Val	Ser	Leu	Trp 420	Cys	Leu	Val	Lys	Gly 425	Phe	Tyr	Pro	Ser	Asp 430	Ile	Ala
Val	Glu	Trp 435	Glu	Ser	Asn	Gly	Gln 440	Pro	Glu	Asn	Asn	Tyr 445	Lys	Thr	Thr
Pro	Pro 450	Val	Leu	Asp	Ser	Asp 455	Gly	Ser	Phe	Phe	Leu 460	Tyr	Ser	Arg	Leu

Thr Val Asp Lys Ser Arg Trp Gln Glu Gly Asn Val Phe Ser Cys Ser 465 470 475 Val Met His Glu Ala Leu His Asn His Tyr Thr Gln Lys Ser Leu Ser 485 490 495 Leu Ser Leu Gly 500 <210> 105 <211> 272 <212> БЕЛОК <213> Искусственная последовательность <220> <223> Вторая полипептидная цепь TRIDENT A <400> 105 Glu Ile Val Leu Thr Gln Ser Pro Ala Thr Leu Ser Leu Ser Pro Gly Glu Arg Ala Thr Leu Ser Cys Arg Ala Ser Glu Ser Val Asp Asn Tyr 25 30 20 Gly Met Ser Phe Met Asn Trp Phe Gln Gln Lys Pro Gly Gln Pro Pro Lys Leu Ieu Ile His Ala Ala Ser Asn Gln Gly Ser Gly Val Pro Ser 55 Arg Phe Ser Gly Ser Gly Ser Gly Thr Asp Phe Thr Leu Thr Ile Ser 70 75 Ser Leu Glu Pro Glu Asp Phe Ala Val Tyr Phe Cys Gln Gln Ser Lys 85 90 Glu Val Pro Tyr Thr Phe Gly Gly Gly Thr Lys Val Glu Ile Lys Gly 100 105 110 Gly Gly Ser Gly Gly Gly Gln Val Gln Leu Val Gln Ser Gly Ala 115 120 Glu Val Lys Lys Pro Gly Ala Ser Val Lys Val Ser Cys Lys Ala Ser 130 135 140

Gly Tyr Ser Phe Thr Ser Tyr Trp Met Asn Trp Val Arg Gln Ala Pro

145					150					155					160
Gly	Gln	Gly	Leu	Glu 165	Trp	Ile	Gly	Val	Ile 170	His	Pro	Ser	Asp	Ser 175	Glu
Thr	Trp	Leu	Asp 180	Gln	Lys	Phe	Lys	Asp 185	Arg	Val	Thr	Ile	Thr 190	Val	Asp
Lys	Ser	Thr 195	Ser	Thr	Ala	Tyr	Met 200	Glu	Leu	Ser	Ser	Leu 205	Arg	Ser	Glu
Asp	Thr 210	Ala	Val	Tyr	Tyr	Cys 215	Ala	Arg	Glu	His	Tyr 220	Gly	Thr	Ser	Pro
Phe 225	Ala	Tyr	Trp	Gly	Gln 230	Gly	Thr	Leu	Val	Thr 235	Val	Ser	Ser	Gly	Gly 240
Cys	Gly	Gly	Gly	Lys 245	Val	Ala	Ala	Cys	Lys 250	Glu	Lys	Val	Ala	Ala 255	Leu
Lys	Glu	Lys	Val 260	Ala	Ala	Leu	Lys	Glu 265	Lys	Val	Ala	Ala	Leu 270	Lys	Glu
<210 <211 <212 <213	L> 4 2> E	106 444 БЕЛОН Искус	К ССТВ (энная	00П Е	следо)BaTe	Эльно	OCTЬ						
<220 <223		Гретн	ья по	ЭЛИП	≘птиј	цная	цепн	5 TRI	IDENT	ΓА					
<400)> [106													
Gln 1	Val	Gln	Leu	Val 5	Glu	Ser	Gly	Gly	Gly 10	Val	Val	Gln	Pro	Gly 15	Arg
Ser	Leu	Arg	Leu 20	Ser	Cys	Ala	Ala	Ser 25	Gly	Phe	Thr	Phe	Ser 30	Ser	Tyr
Thr	Met	His 35	Trp	Val	Arg	Gln	Ala 40	Pro	Gly	Lys	Gly	Leu 45	Glu	Trp	Val
Thr	Phe 50	Ile	Ser	Tyr	Asp	Gly 55	Ser	Asn	Lys	His	Tyr 60	Ala	Asp	Ser	Val
Lys 65	Gly	Arg	Phe	Thr	Val 70	Ser	Arg	Asp	Asn	Ser 75	Lys	Asn	Thr	Leu	Tyr 80

Leu Gln Met	Asn Ser 85	Leu Arg	Ala	Glu	Asp 90	Thr	Ala	Ile	Tyr	Tyr 95	Cys
Ala Arg Thr	Gly Trp 100	Leu Gly	Pro	Phe 105	Asp	Tyr	Trp	Gly	Gln 110	Gly	Thr
Leu Val Thr 115	Val Ser	Ser Ala	Ser 120	Thr	Lys	Gly	Pro	Ser 125	Val	Phe	Pro
Leu Ala Pro 130	Cys Ser	Arg Ser 135		Ser	Glu	Ser	Thr 140	Ala	Ala	Leu	Gly
Cys Leu Val 145	Lys Asp	Tyr Phe	Pro	Glu	Pro	Val 155	Thr	Val	Ser	Trp	Asn 160
Ser Gly Ala	Leu Thr 165	Ser Gly	Val	His	Thr 170	Phe	Pro	Ala	Val	Leu 175	Gln
Ser Ser Gly	Leu Tyr 180	Ser Leu	Ser	Ser 185	Val	Val	Thr	Val	Pro 190	Ser	Ser
Ser Leu Gly 195	Thr Lys	Thr Tyr	Thr 200	Cys	Asn	Val	Asp	His 205	Lys	Pro	Ser
Asn Thr Lys 210	Val Asp	Lys Arg		Glu	Ser	Lys	Tyr 220	Gly	Pro	Pro	Cys
Pro Pro Cys 225	Pro Ala	Pro Glu 230	Phe	Leu	Gly	Gly 235	Pro	Ser	Val	Phe	Leu 240
Phe Pro Pro	Lys Pro 245	Lys Asp	Thr	Leu	Tyr 250	Ile	Thr	Arg	Glu	Pro 255	Glu
Val Thr Cys	Val Val 260	Val Asp	Val	Ser 265	Gln	Glu	Asp	Pro	Glu 270	Val	Gln
Phe Asn Trp 275	Tyr Val	Asp Gly	Val 280	Glu	Val	His	Asn	Ala 285	Lys	Thr	Lys
Pro Arg Glu 290	Glu Gln	Phe Asn 295		Thr	Tyr	Arg	Val 300	Val	Ser	Val	Leu
Thr Val Leu 305	His Gln	Asp Trp	Leu	Asn	Gly	Lys 315	Glu	Tyr	Lys	Cys	Lys 320

Val Ser	Asn	Lys	Gly 325	Leu	Pro	Ser	Ser	Ile 330	Glu	Lys	Thr	Ile	Ser 335	Lys
Ala Lys	Gly	Gln 340	Pro	Arg	Glu	Pro	Gln 345	Val	Tyr	Thr	Leu	Pro 350	Pro	Ser
Gln Glu	Glu 355	Met	Thr	Lys	Asn	Gln 360	Val	Ser	Leu	Ser	Cys 365	Ala	Val	Lys
Gly Phe 370		Pro	Ser	Asp	Ile 375	Ala	Val	Glu	Trp	Glu 380	Ser	Asn	Gly	Gln
Pro Glu 385	Asn	Asn	Tyr	Lys 390	Thr	Thr	Pro	Pro	Val 395	Leu	Asp	Ser	Asp	Gly 400
Ser Phe	Phe	Leu	Val 405	Ser	Arg	Leu	Thr	Val 410	Asp	Lys	Ser	Arg	Trp 415	Gln
Glu Gly	Asn	Val 420	Phe	Ser	Cys	Ser	Val 425	Met	His	Glu	Ala	Leu 430	His	Asn
Arg Tyr	Thr 435	Gln	Lys	Ser	Leu	Ser 440	Leu	Ser	Leu	Gly				
<211> <212>		К ССТВ Є	Энная	00П Б	следо)BaTe	Эльно	ОСТЬ						
<220> <223>	Четв	ертая	я пој	липеі	тиді	ная і	цепь	TRII	DENT	A				
<400>	107													
Glu Ile 1	Val	Leu	Thr 5	Gln	Ser	Pro	Gly	Thr 10	Leu	Ser	Leu	Ser	Pro 15	Gly
Glu Arg	Ala	Thr 20	Leu	Ser	Cys	Arg	Ala 25	Ser	Gln	Ser	Val	Ser 30	Ser	Ser
Phe Leu	Ala 35	Trp	Tyr	Gln	Gln	Lys 40	Pro	Gly	Gln	Ala	Pro 45	Arg	Leu	Leu
Ile Tyr 50	Gly	Ala	Ser	Ser	Arg 55	Ala	Thr	Gly	Ile	Pro 60	Asp	Arg	Phe	Ser

Gly Ser Gly Ser Gly Thr Asp Phe Thr Leu Thr Ile Ser Arg Leu Glu

65				70					75					80
Pro Glu	Asp	Phe	Ala 85	Val	Tyr	Tyr	Cys	Gln 90	Gln	Tyr	Gly	Ser	Ser 95	Pro
Trp Thr	Phe	Gly 100	Gln	Gly	Thr	Lys	Val 105	Glu	Ile	Lys	Arg	Thr 110	Val	Ala
Ala Pro	Ser 115	Val	Phe	Ile	Phe	Pro 120	Pro	Ser	Asp	Glu	Gln 125	Leu	Lys	Ser
Gly Thr		Ser	Val	Val	Cys 135	Leu	Leu	Asn	Asn	Phe 140	Tyr	Pro	Arg	Glu
Ala Lys 145	Val	Gln	Trp	Lys 150	Val	Asp	Asn	Ala	Leu 155	Gln	Ser	Gly	Asn	Ser 160
Gln Glu	Ser	Val	Thr 165	Glu	Gln	Asp	Ser	Lys 170	Asp	Ser	Thr	Tyr	Ser 175	Leu
Ser Ser	Thr	Leu 180	Thr	Leu	Ser	Lys	Ala 185	Asp	Tyr	Glu	Lys	His 190	Lys	Val
Tyr Ala	Cys 195	Glu	Val	Thr	His	Gln 200	Gly	Leu	Ser	Ser	Pro 205	Val	Thr	Lys
Ser Phe		Arg	Gly	Glu	Cys 215									
<211> <212>	108 502 БЕЛО: Иску		Энная)ON F	следо)BaTe	Эльн⊙	OCTЬ						
<220> <223>	Перв	ая по	ЭЛИП	Эптиј	цная	цепн	5 TRI	IDENT	ГВ					
<400>	108													
Glu Ile 1	Val	Leu	Thr 5	Gln	Ser	Pro	Ala	Thr 10	Leu	Ser	Leu	Ser	Pro 15	Gly
Glu Arg	Ala	Thr 20	Leu	Ser	Cys	Arg	Ala 25	Ser	Glu	Ser	Val	Asp 30	Asn	Tyr
Gly Met	Ser 35	Phe	Met	Asn	Trp	Phe	Gln	Gln	Lys	Pro	Gly 45	Gln	Pro	Pro

Lys Leu Ieu Ile His Ala Ala Ser Asn Gln Gly Ser Gly Val Pro Ser 55 Arg Phe Ser Gly Ser Gly Ser Gly Thr Asp Phe Thr Leu Thr Ile Ser 70 75 Ser Leu Glu Pro Glu Asp Phe Ala Val Tyr Phe Cys Gln Gln Ser Lys 85 90 Glu Val Pro Tyr Thr Phe Gly Gly Gly Thr Lys Val Glu Ile Lys Gly 100 105 110 Gly Gly Ser Gly Gly Gly Gln Val Gln Leu Val Gln Ser Gly Ala 120 115 Glu Val Lys Lys Pro Gly Ala Ser Val Lys Val Ser Cys Lys Ala Ser 130 135 140 Gly Tyr Ser Phe Thr Ser Tyr Trp Met Asn Trp Val Arg Gln Ala Pro 150 155 160 145 Gly Gln Gly Leu Glu Trp Ile Gly Val Ile His Pro Ser Asp Ser Glu 165 170 175 Thr Trp Leu Asp Gln Lys Phe Lys Asp Arg Val Thr Ile Thr Val Asp 180 185 Lys Ser Thr Ser Thr Ala Tyr Met Glu Leu Ser Ser Leu Arg Ser Glu 195 200 Asp Thr Ala Val Tyr Tyr Cys Ala Arg Glu His Tyr Gly Thr Ser Pro 210 215 220 Phe Ala Tyr Trp Gly Gln Gly Thr Leu Val Thr Val Ser Ser Gly Gly 230 225 235 Cys Gly Gly Glu Val Ala Ala Cys Glu Lys Glu Val Ala Ala Leu 245 250 Glu Lys Glu Val Ala Ala Leu Glu Lys Glu Val Ala Ala Leu Glu Lys 260 265 270 Gly Gly Gly Asp Lys Thr His Thr Cys Pro Pro Cys Pro Ala Pro Glu 275 280 285

Ala Ala Gly Gly Pro Ser Val Phe Leu Phe Pro Pro Lys Pro Lys Asp 290 295 300 Thr Leu Tyr Ile Thr Arg Glu Pro Glu Val Thr Cys Val Val Val Asp 310 315 320 Val Ser His Glu Asp Pro Glu Val Lys Phe Asn Trp Tyr Val Asp Gly 325 330 Val Glu Val His Asn Ala Lys Thr Lys Pro Arg Glu Glu Gln Tyr Asn 340 345 Ser Thr Tyr Arg Val Val Ser Val Leu Thr Val Leu His Gln Asp Trp 360 355 365 Leu Asn Gly Lys Glu Tyr Lys Cys Lys Val Ser Asn Lys Ala Leu Pro 370 375 380 Ala Pro Ile Glu Lys Thr Ile Ser Lys Ala Lys Gly Gln Pro Arg Glu 385 390 395 400 Pro Gln Val Tyr Thr Leu Pro Pro Ser Arg Glu Glu Met Thr Lys Asn 405 410 415 Gln Val Ser Leu Trp Cys Leu Val Lys Gly Phe Tyr Pro Ser Asp Ile 420 425 Ala Val Glu Trp Glu Ser Asn Gly Gln Pro Glu Asn Asn Tyr Lys Thr 435 440 Thr Pro Pro Val Leu Asp Ser Asp Gly Ser Phe Phe Leu Tyr Ser Lys 450 455 Leu Thr Val Asp Lys Ser Arg Trp Gln Gln Gly Asn Val Phe Ser Cys 465 470 475 Ser Val Met His Glu Ala Leu His Asn His Tyr Thr Gln Lys Ser Leu 485 490 Ser Leu Ser Pro Gly Lys 500

<210> 109 <211> 448 <212> БЕЛОК

043373 <213> Искусственная последовательность <220> <223> Третья полипептидная цепь TRIDENT В <400> 109 Gln Val Gln Leu Val Glu Ser Gly Gly Gly Val Val Gln Pro Gly Arg 10 Ser Leu Arg Leu Ser Cys Ala Ala Ser Gly Phe Thr Phe Ser Ser Tyr 20 25 Thr Met His Trp Val Arg Gln Ala Pro Gly Lys Gly Leu Glu Trp Val 40 Thr Phe Ile Ser Tyr Asp Gly Ser Asn Lys His Tyr Ala Asp Ser Val 55

Lys Gly Arg Phe Thr Val Ser Arg Asp Asn Ser Lys Asn Thr Leu Tyr

Leu Gln Met Asn Ser Leu Arg Ala Glu Asp Thr Ala Ile Tyr Tyr Cys 85 90 95

Ala Arg Thr Gly Trp Leu Gly Pro Phe Asp Tyr Trp Gly Gln Gly Thr

Leu Val Thr Val Ser Ser Ala Ser Thr Lys Gly Pro Ser Val Phe Pro 115 120

Leu Ala Pro Ser Ser Lys Ser Thr Ser Gly Gly Thr Ala Ala Leu Gly 130 135

Cys Leu Val Lys Asp Tyr Phe Pro Glu Pro Val Thr Val Ser Trp Asn 145 150 155 160

Ser Gly Ala Leu Thr Ser Gly Val His Thr Phe Pro Ala Val Leu Gln 165 170

Ser Ser Gly Leu Tyr Ser Leu Ser Ser Val Val Thr Val Pro Ser Ser 180 185 190

Ser Leu Gly Thr Gln Thr Tyr Ile Cys Asn Val Asn His Lys Pro Ser 195 200 205

Asn Thr Lys Val Asp Lys Arg Val Glu Pro Lys Ser Cys Asp Lys Thr

	210					215					220				
His 225	Thr	Cys	Pro	Pro	Cys 230	Pro	Ala	Pro	Glu	Ala 235	Ala	Gly	Gly	Pro	Ser 240
Val	Phe	Leu	Phe	Pro 245	Pro	Lys	Pro	Lys	Asp 250	Thr	Leu	Tyr	Ile	Thr 255	Arg
Glu	Pro	Glu	Val 260	Thr	Cys	Val	Val	Val 265	Asp	Val	Ser	His	Glu 270	Asp	Pro
Glu	Val	Lys 275	Phe	Asn	Trp	Tyr	Val 280	Asp	Gly	Val	Glu	Val 285	His	Asn	Ala
Lys	Thr 290	Lys	Pro	Arg	Glu	Glu 295	Gln	Tyr	Asn	Ser	Thr 300	Tyr	Arg	Val	Val
Ser 305	Val	Leu	Thr	Val	Leu 310	His	Gln	Asp	Trp	Leu 315	Asn	Gly	Lys	Glu	Tyr 320
Lys	Cys	Lys	Val	Ser 325	Asn	Lys	Ala	Leu	Pro 330	Ala	Pro	Ile	Glu	Lys 335	Thr
Ile	Ser	Lys	Ala 340	Lys	Gly	Gln	Pro	Arg 345	Glu	Pro	Gln	Val	Tyr 350	Thr	Leu
Pro	Pro	Ser 355	Arg	Glu	Glu	Met	Thr 360	Lys	Asn	Gln	Val	Ser 365	Leu	Ser	Cys
Ala	Val 370	Lys	Gly	Phe	Tyr	Pro 375	Ser	Asp	Ile	Ala	Val 380	Glu	Trp	Glu	Ser
Asn 385	Gly	Gln	Pro	Glu	Asn 390	Asn	Tyr	Lys	Thr	Thr 395	Pro	Pro	Val	Leu	Asp
Ser	Asp	Gly	Ser	Phe 405	Phe	Leu	Val	Ser	Lys 410	Leu	Thr	Val	Asp	Lys 415	Ser
Arg	Trp	Gln	Gln 420	Gly	Asn	Val	Phe	Ser 425	Cys	Ser	Val	Met	His 430	Glu	Ala
Leu	His	Asn 435	Arg	Tyr	Thr	Gln	Lys 440	Ser	Leu	Ser	Leu	Ser 445	Pro	Gly	Lys

<211 <212 <213	2> :	БЕЛОК													
	<220> <223> Третья полипептидная цепь TRIDENT C														
<400> 110															
Glu 1	Ile	Val	Leu	Thr 5	Gln	Ser	Pro	Gly	Thr 10	Leu	Ser	Leu	Ser	Pro 15	Gly
Glu	Arg	Ala	Thr 20	Leu	Ser	Cys	Arg	Ala 25	Ser	Gln	Ser	Val	Ser 30	Ser	Ser
Phe	Leu	Ala 35	Trp	Tyr	Gln	Gln	Lys 40	Pro	Gly	Gln	Ala	Pro 45	Arg	Leu	Leu
Ile	Tyr 50	Gly	Ala	Ser	Ser	Arg 55	Ala	Thr	Gly	Ile	Pro 60	Asp	Arg	Phe	Ser
Gly 65	Ser	Gly	Ser	Gly	Thr 70	Asp	Phe	Thr	Leu	Thr 75	Ile	Ser	Arg	Leu	Glu 80
Pro	Glu	Asp	Phe	Ala 85	Val	Tyr	Tyr	Cys	Gln 90	Gln	Tyr	Gly	Ser	Ser 95	Pro
Trp	Thr	Phe	Gly 100	Gln	Gly	Thr	Lys	Val 105	Glu	Ile	Lys	Gly	Gly 110	Gly	Gly
Ser	Gly	Gly 115	Gly	Gly	Ser	Gly	Gly 120	Gly	Gly	Ser	Gln	Val 125	Gln	Leu	Val
Glu	Ser 130	Gly	Gly	Gly	Val	Val 135	Gln	Pro	Gly	Arg	Ser 140	Leu	Arg	Leu	Ser
Cys 145	Ala	Ala	Ser	Gly	Phe 150	Thr	Phe	Ser	Ser	Tyr 155	Thr	Met	His	Trp	Val 160
Arg	Gln	Ala	Pro	Gly 165	Lys	Gly	Leu	Glu	Trp 170	Val	Thr	Phe	Ile	Ser 175	Tyr
Asp	Gly	Ser	Asn 180	Lys	His	Tyr	Ala	Asp	Ser	Val	Lys	Gly	Arg	Phe	Thr

Val Ser Arg Asp Asn Ser Lys Asn Thr Leu Tyr Leu Gln Met Asn Ser 195 200 205

043373

Leu	Arg 210	Ala	Glu	Asp	Thr	Ala 215	Ile	Tyr	Tyr	Cys	Ala 220	Arg	Thr	Gly	Trp
Leu 225	Gly	Pro	Phe	Asp	Tyr 230	Trp	Gly	Gln	Gly	Thr 235	Leu	Val	Thr	Val	Ser 240
Ser	Glu	Ser	Lys	Tyr 245	Gly	Pro	Pro	Cys	Pro 250	Pro	Cys	Pro	Ala	Pro 255	Glu
Phe	Leu	Gly	Gly 260	Pro	Ser	Val	Phe	Leu 265	Phe	Pro	Pro	Lys	Pro 270	Lys	Asp
Thr	Leu	Tyr 275	Ile	Thr	Arg	Glu	Pro 280	Glu	Val	Thr	Cys	Val 285	Val	Val	Asp
Val	Ser 290	Gln	Glu	Asp	Pro	Glu 295	Val	Gln	Phe	Asn	Trp 300	Tyr	Val	Asp	Gly
Val 305	Glu	Val	His	Asn	Ala 310	Lys	Thr	Lys	Pro	Arg 315	Glu	Glu	Gln	Phe	Asn 320
Ser	Thr	Tyr	Arg	Val 325	Val	Ser	Val	Leu	Thr 330	Val	Leu	His	Gln	Asp 335	Trp
Leu	Asn	Gly	Lys 340	Glu	Tyr	Lys	Cys	Lys 345	Val	Ser	Asn	Lys	Gly 350	Leu	Pro
Ser	Ser	Ile 355	Glu	Lys	Thr	Ile	Ser 360	Lys	Ala	Lys	Gly	Gln 365	Pro	Arg	Glu
Pro	Gln 370	Val	Tyr	Thr	Leu	Pro 375	Pro	Ser	Gln	Glu	Glu 380	Met	Thr	Lys	Asn
Gln 385	Val	Ser	Leu	Ser	Cys 390	Ala	Val	Lys	Gly	Phe 395	Tyr	Pro	Ser	Asp	Ile 400
Ala	Val	Glu	Trp	Glu 405	Ser	Asn	Gly	Gln	Pro 410	Glu	Asn	Asn	Tyr	Lys 415	Thr
Thr	Pro	Pro	Val 420	Leu	Asp	Ser	Asp	Gly 425	Ser	Phe	Phe	Leu	Val 430	Ser	Arg
Leu	Thr	Val 435	Asp	Lys	Ser	Arg	Trp 440	Gln	Glu	Gly	Asn	Val 445	Phe	Ser	Cys

Ser Val Met His Glu Ala Leu His Asn Arg Tyr Thr Gln Lys Ser Leu 450 460

Ser Leu Ser Leu Gly 465

ФОРМУЛА ИЗОБРЕТЕНИЯ

- 1. Биспецифичная молекула, содержащая:
- (A) один или более сайтов связывания эпитопа, способных иммунноспецифично связываться с эпитопом PD-1, содержащих VH-домен PD-1 mAb 6-I VH (SEQ ID NO: 86) и VL-домен PD-1 mAb 6-SQ (SEQ ID NO: 87); и
- (B) один или более сайтов связывания эпитопа, способных иммунноспецифично связываться с эпитопом CTLA-4, содержащих VH-домен CTLA-4 mAb 3 (SEQ ID NO: 90) и VL-домен CTLA-4 mAb 3 (SEQ ID NO: 91).
- 2. Биспецифичная молекула по п.1, характеризующаяся тем, что указанная молекула содержит Fсфрагмент.
- 3. Биспецифичная молекула по п.2, характеризующаяся тем, что указанный Fc-фрагмент представляет собой вариант Fc-фрагмента, который содержит:

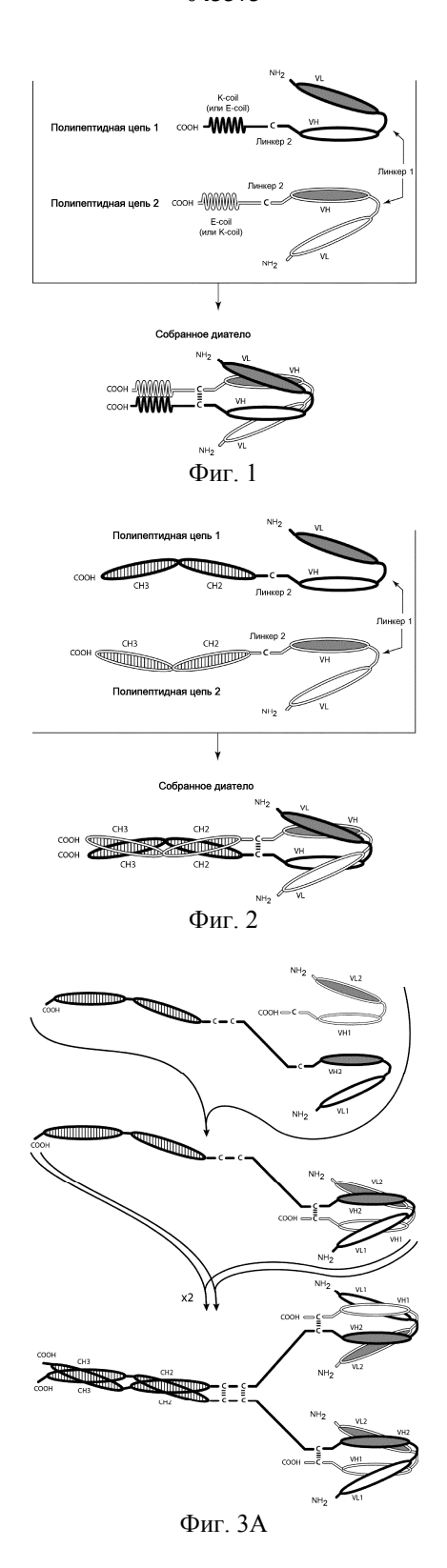
одну или более модификаций аминокислот, снижающих аффинность варианта Fc-фрагмента в отношении Fc_γR, или

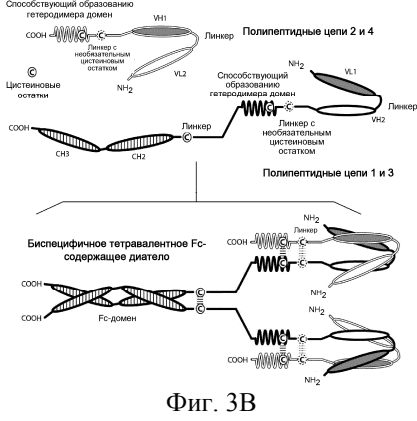
одну или более модификаций аминокислот, которые увеличивают время полужизни варианта Fсфрагмента в сыворотке крови, или

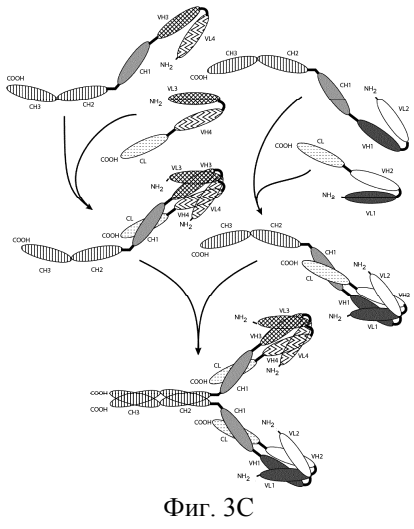
одну или более модификаций аминокислот, снижающих аффинность варианта Fc-фрагмента в отношении $Fc\gamma R$ и одну или более модификаций аминокислот, которые увеличивают время полужизни варианта Fc-фрагмента в сыворотке крови.

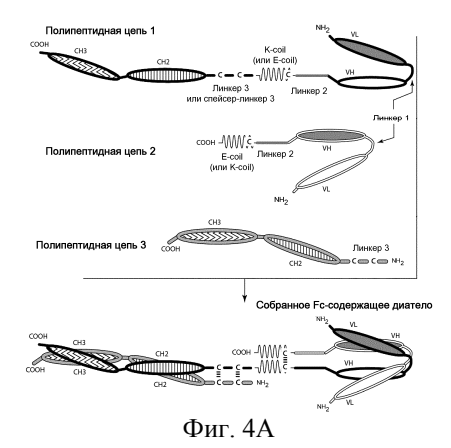
- 4. Биспецифичная молекула по п.3, характеризующаяся тем, что указанные модификации, которые снижают аффинность варианта Fc-фрагмента в отношении FcγR, включают замену L234A; L235A или L234A и L235A, где указанная нумерация соответствует индексу EC по Кэбату.
- 5. Биспецифичная молекула по п.3 или 4, характеризующаяся тем, что указанные модификации, которые увеличивают время полужизни варианта Fc-фрагмента в сыворотке крови, включают замену M252Y; M252Y и S254T; M252Y и T256E; M252Y, S254T и T256E или K288D и H435K, где указанная нумерация соответствует индексу EC по Кэбату.
- 6. Биспецифичная молекула по любому из пп.1-5, содержащая две полипептидные цепи, содержащие SEQ ID NO: 99, и две полипептидные цепи, содержащие SEQ ID NO: 100.
- 7. Биспецифичная молекула по любому из пп.1-5, содержащая одну полипептидную цепь, содержащую SEQ ID NO: 104, одну полипептидную цепь, содержащую SEQ ID NO: 105, одну полипептидную цепь, содержащую SEQ ID NO: 107.
- 8. Биспецифичная молекула по любому из пп.1-5, содержащая две полипептидные цепи, содержащие SEQ ID NO: 101, и две полипептидные цепи, содержащие SEQ ID NO: 100.
- 9. Биспецифичная молекула по любому из пп.1-5, содержащая одну полипептидную цепь, содержащую SEQ ID NO: 108, одну полипептидную цепь, содержащую SEQ ID NO: 105, одну полипептидную цепь, содержащую SEQ ID NO: 107.
- 10. Фармацевтическая композиция, содержащая биспецифичную молекулу по любому из пп.1-9 и фармацевтически приемлемый носитель.
- 11. Фармацевтическая композиция по п.10, причем указанная фармацевтическая композиция содержит эффективное количество указанной биспецифичной молекулы.
- 12. Применение фармацевтической композиции по п.10 или 11 в изготовлении медикамента, подходящего для стимуляции опосредованного иммунной системой ответа.
- 13. Применение фармацевтической композиции по п.10 или 11 в изготовлении медикамента, подходящего для лечения заболевания или состояния, связанного с супрессией иммунной системы.
- 14. Применение биспецифической молекулы по любому из пп.1-9 в изготовлении медикамента, пригодного для стимуляции опосредованного иммунной системой ответа.
- 15. Применение биспецифической молекулы по любому из пп.1-9 в изготовлении медикамента, пригодного для лечения заболевания или состояния, связанного с супрессией иммунной системы.
- 16. Применение фармацевтической композиции по п.10 или 11 для стимуляции опосредованного иммунной системой ответа.
- 17. Применение фармацевтической композиции по п.10 или 11 для лечения заболевания или состояния, связанного с супрессией иммунной системы.

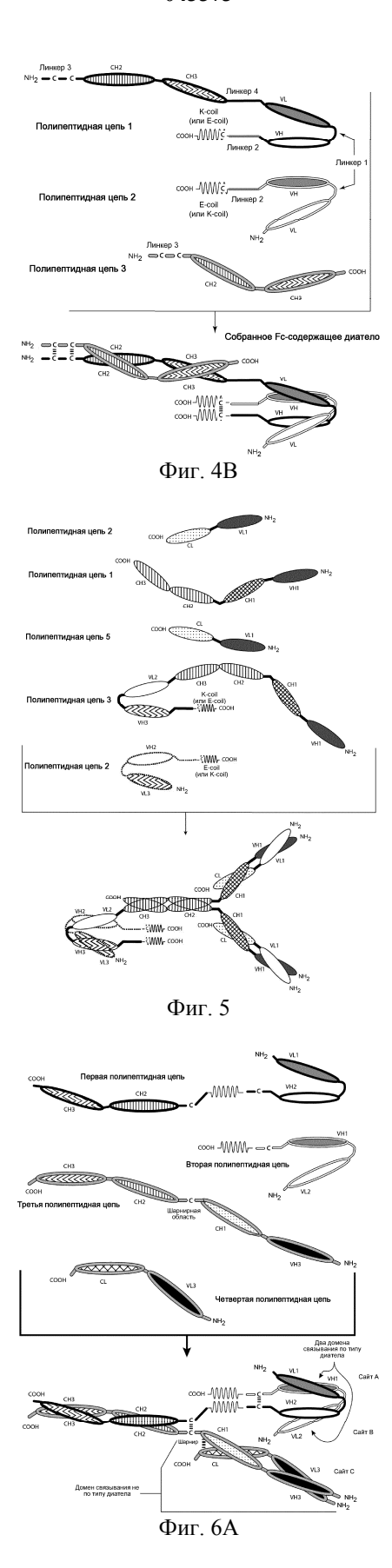
- 18. Применение биспецифичной молекулы по любому из пп.1-9 для стимуляции опосредованного иммунной системой ответа.
- 19. Применение биспецифичной молекулы по любому из пп.1-9 для лечения заболевания или состояния, связанного с супрессией иммунной системы.
- 20. Применение по любому из пп.13, 15, 17 и 19, характеризующееся тем, что указанное заболевание или состояние представляет собой рак или инфекцию.
- 21. Применение по п.20, характеризующееся тем, что указанный рак характеризуется присутствием раковой клетки, выбранной из группы, состоящей из клетки опухоли надпочечника, ассоциированного со СПИДом рака, альвеолярной саркомы мягких тканей, астроцитарной опухоли, рака мочевого пузыря, рака кости, рака головного и спинного мозга, метастатической опухоли головного мозга, рака молочной железы, опухоли каротидного тельца, рака шейки матки, хондросаркомы, хордомы, хромофобной почечно-клеточной карциномы, светлоклеточной карциномы, рака толстой кишки, рака толстой и прямой кишки, кожной доброкачественной фиброзной гистиоцитомы, десмопластической мелкокруглоклеточной опухоли, эпендимомы, саркомы Юинга, внескелетной мукоидной хондросаркомы, несовершенного костного фиброгенеза, фиброзной дисплазии кости, рака желчного пузыря или рака желчного протока, рака желудка, гестационной трофобластической болезни, эмбрионально-клеточной опухоли, рака головы и шеи, гепатоклеточной карциномы, опухоли островковых клеток поджелудочной железы, саркомы Капоши, рака почки, лейкоза, липомы/доброкачественной липоматозной опухоли, липосаркомы/злокачественной липоматозной опухоли, рака печени, лимфомы, рака легких, медуллобластомы, меланомы, менингиомы, множественной эндокринной неоплазии, множественной миеломы, миелодиспластического синдрома, нейробластомы, нейроэндокринных опухолей, рака яичников, рака поджелудочной железы, паппилярной тиреокарциномы, опухоли паращитовидной железы, педиатрического рака, опухоли оболочек периферических нервов, феохромоцитомы, опухоли гипофиза, рака предстательной железы, задней увеальной меланомы, редкого гематологического расстройства, метастатического рака почки, рабдоидной опухоли, рабдомиосаркомы, саркомы, рака кожи, саркомы мягких тканей, плоскоклеточного рака, рака желудка, синовиальной саркомы, рака яичка, рака вилочковой железы, тимомы, метастатического рака щитовидной железы и рака матки.
- 22. Применение по п.20, характеризующееся тем, что указанный рак характеризуется присутствием раковой клетки, выбранной из группы, состоящей из клетки рака толстой и прямой кишки, рака легких, рака шейки матки, рака головы и шеи, рака предстательной железы, саркомы и тимомы.
- 23. Применение по п.20, характеризующееся тем, что указанный рак характеризуется присутствием раковой клетки, выбранной из группы, состоящей из клетки рака толстой и прямой кишки, гепатоклеточной карциномы, глиомы, рака почки, рака молочной железы, множественной миеломы, рака мочевого пузыря, нейробластомы, саркомы, неходжкинской лимфомы, немелкоклеточного рака легких, рака яичников, рака поджелудочной железы и рака прямой кишки.
- 24. Применение по п.20, характеризующееся тем, что указанный рак характеризуется присутствием раковой клетки, выбранной из группы, состоящей из клетки рака толстой и прямой кишки, рака желудка, меланомы, рака предстательной железы, рака поджелудочной железы, рака почки, рака мочевого пузыря, рака молочной железы, рака легкого, фибросаркомы, мантийноклеточной лимфомы человека и лимфомы Беркитта Raji.
- 25. Применение по п.20, характеризующееся тем, что указанная инфекция характеризуется присутствием бактериального, грибкового, вирусного или протозойного патогена.
- 26. Фармацевтическая композиция, содержащая биспецифичную молекулу по любому из пп.1-9 и профилактический агент или терапевтический агент.
- 27. Фармацевтическая композиция по п.26, характеризующаяся тем, что указанный профилактический агент содержит опухоль-специфическое антитело.
- 28. Набор для стимуляции опосредованного иммунной системой ответа, содержащий биспецифичную молекулу по любому из пп.1-9 и профилактический агент или терапевтический агент.
- 29. Набор для лечения заболевания или состояния, связанного с супрессией иммунной системы у субъекта, содержащий биспецифичную молекулу по любому из пп.1-9 и профилактический агент или терапевтический агент.
- 30. Набор по п.28 или 29, характеризующийся тем, что указанный профилактический агент или терапевтический агент содержит опухоль-специфическое антитело.
- 31. Набор по любому из пп.28-30, характеризующийся тем, что указанная биспецифичная молекула находится в первом контейнере, а указанный профилактический агент или терапевтический агент находится во втором контейнере.
- 32. Набор по любому из пп.28-30, характеризующийся тем, что указанная биспецифичная молекула и указанный профилактический агент или терапевтический агент находятся в одном контейнере.
- 33. Способ лечения заболевания или состояния, связанного с супрессией иммунной системы, у субъекта, включающий введение указанному субъекту эффективного количества фармацевтической композиции по п.10.

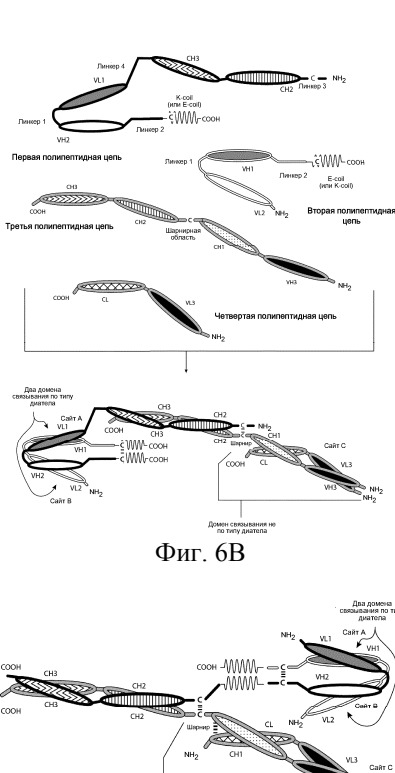


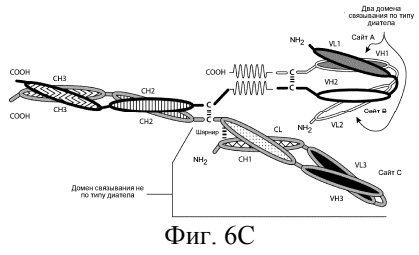


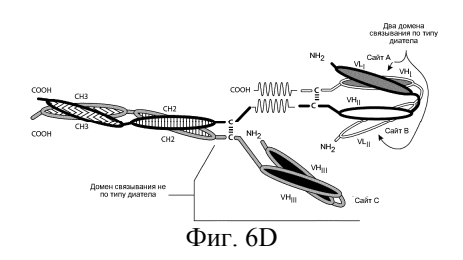


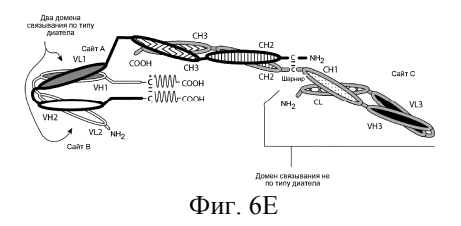


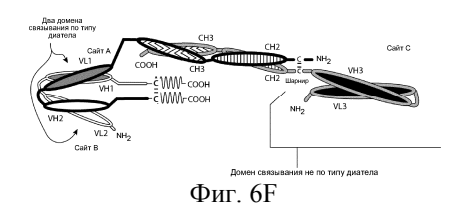


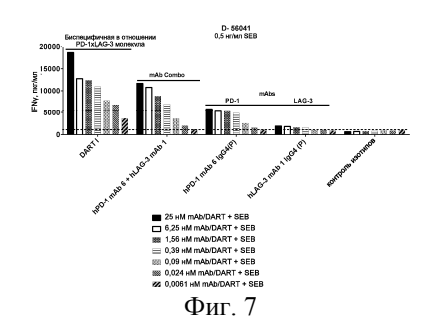




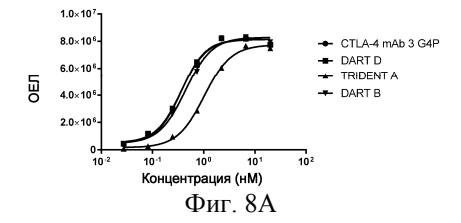




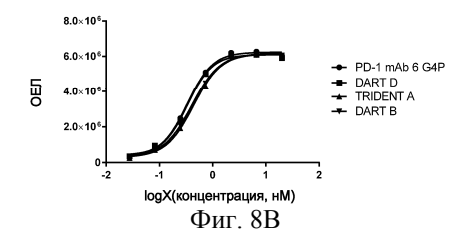


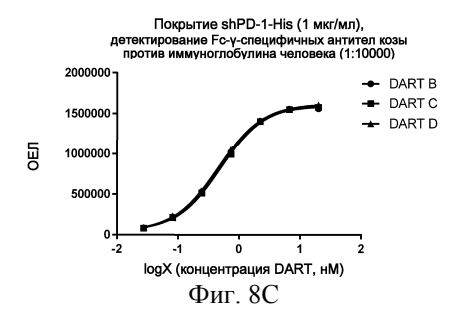


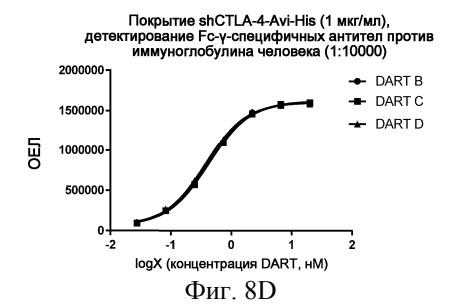
Связывание с иммобилизированным CTLA-4



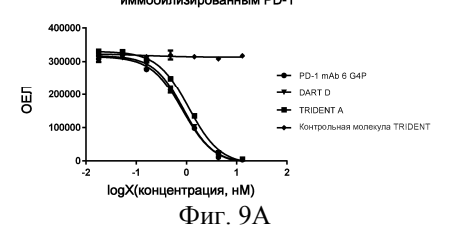
Связывание с иммобилизированным PD-1



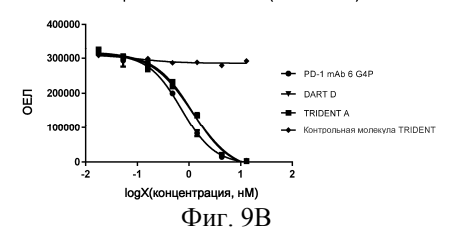


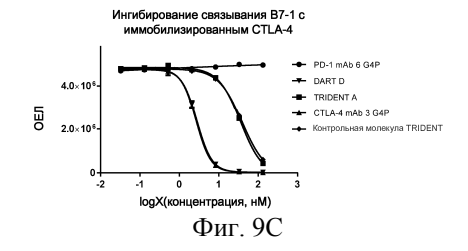


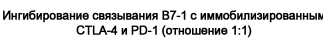
Ингибирование связывания PD-L1 с иммобилизированным PD-1

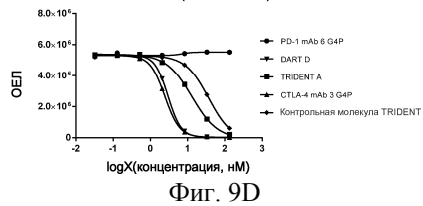


Ингибирование связывания PD-L1 с иммобилизированным PD-1 и CTLA-4 (отношение 1:1)

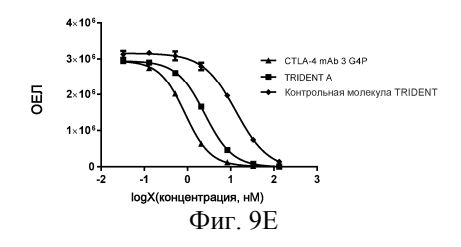




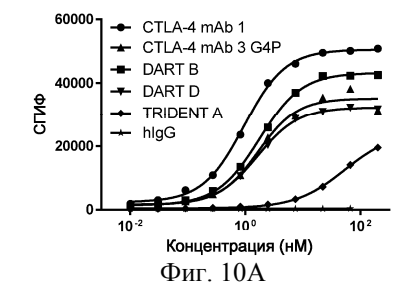




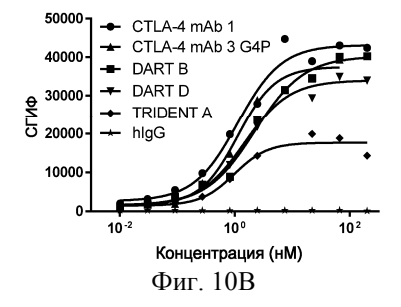
Ингибирование связывания В7-1 с иммобилизированным CTLA-4 и PD-1 (отношение 1:4)



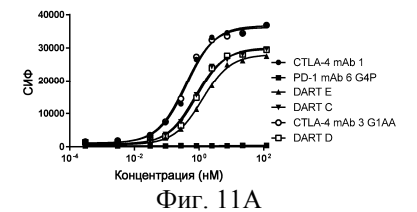
Связывание с Cyno-CTLA-4/CHO

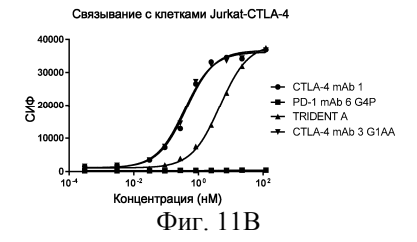


Связывание с Hu-CTLA-4/CHO



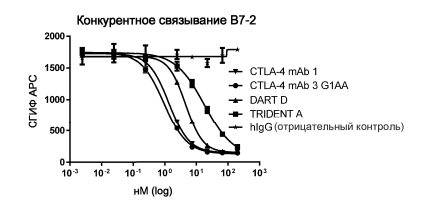
Связывание с клетками Jurkat-CTLA-4





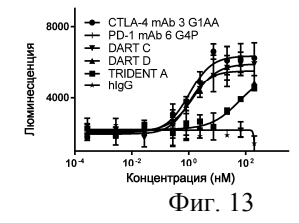


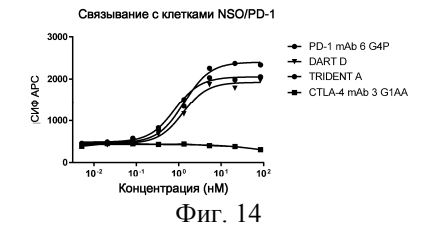
в7-1: 10 нг/мл Фиг. 12A

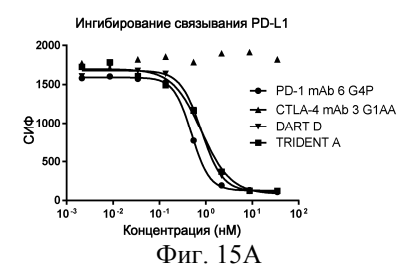


в7-2: 116,8 нг/мл Фиг. 12B

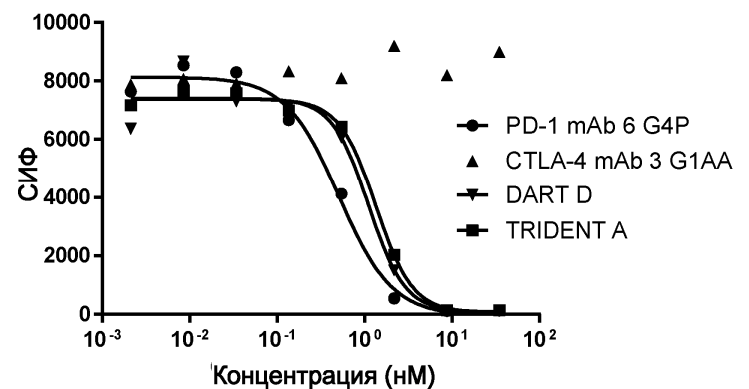
Репортерный анализ блокирования на клетках Jurkat-CTLA-4





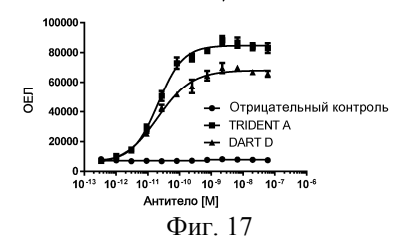


Ингибирование связывания PD-L2

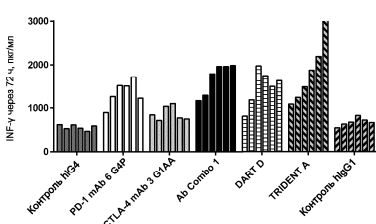


$\Phi_{M\Gamma}.\ 15B$ Опосредованная CD3 активация (анализ на клетках NFAT-luc2/PD-1 Jurkat) - PD-1 mAb 6 G4P - CTLA-4 mAb 3 G1AA - DART D - TRIDENT A Фиг. 16

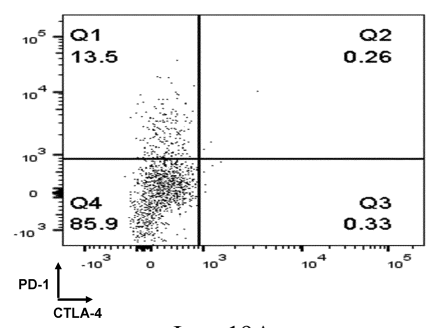
Клетки линии U2OS PD-1 (1-199)/CTLA-4, клон # 9 16 ч, 37°C



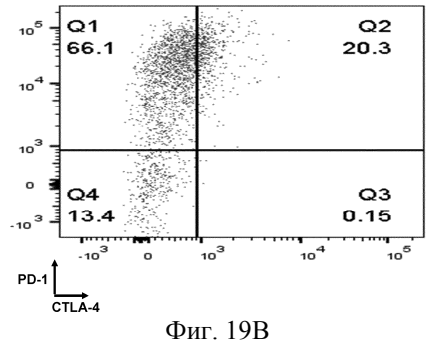
D21298 APC + D36774 CD4+ Т-клетки

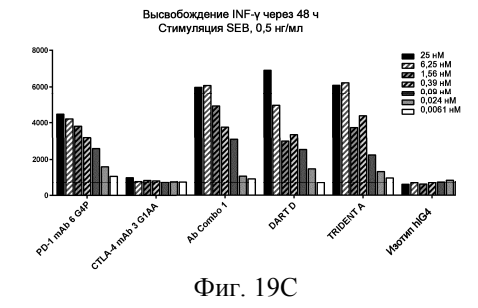


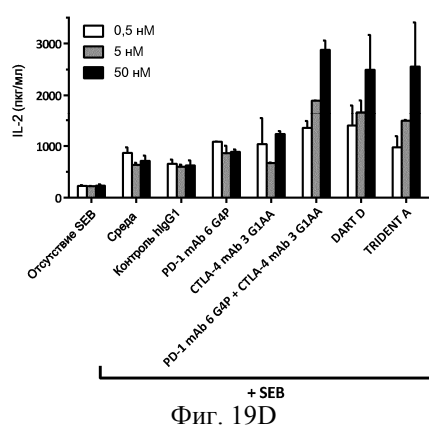
Концентрация (нМ) | 0,016 | 0,08 | 0,4 | 2 | 10 | 50 | Фиг. 18

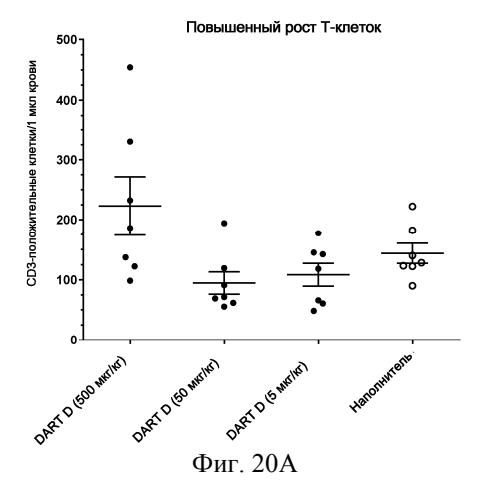


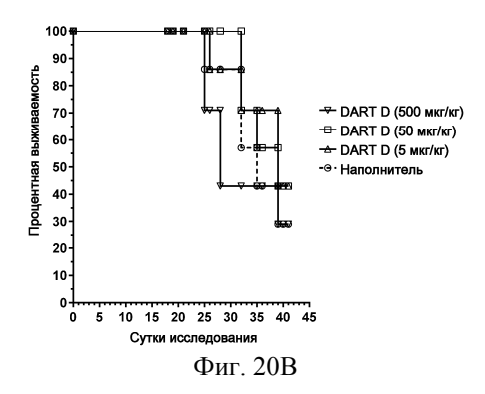
Фиг. 19А











DART D (50 мкг/кг)

